



การศึกษาลักษณะทางไฟฟ้าของทรานซิสเตอร์ด้วยโปรแกรม PSpice

Study of Electrical characteristic of Transistor with PSpice

นายกฤษฎา

อ่อนสุด

รหัส 46380309

นางสาวอรุวรรณ

สุนันต์

รหัส 46380318

| |
|-----------------------------------|
| ห้องสมุดคณะวิศวกรรมศาสตร์ |
| วันที่รับ..... 24/๗.พ. 2552/..... |
| เลขทะเบียน..... 1436076X |
| เลขเรียกหนังสือ..... ๙๕ |
| มหาวิทยาลัยมหิดล ๗๒๗๙ ๑ |

2551

ปริญญานิพนธ์นี้เป็นส่วนหนึ่งของการศึกษาหลักสูตรวิศวกรรมศาสตรบัณฑิต

สาขาวิชาวิศวกรรมไฟฟ้า ภาควิชาวิศวกรรมไฟฟ้าและคอมพิวเตอร์

คณะวิศวกรรมศาสตร์ มหาวิทยาลัยนเรศวร

ปีการศึกษา 2551



ใบรับรองโครงการวิศวกรรม

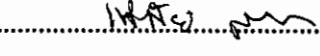
| | | | |
|------------------|---|---------|---------------|
| หัวข้อโครงการ | การศึกษาลักษณะทางไฟฟ้าของทรายซิสเตอร์ด้วยโปรแกรม PSpice | | |
| ผู้ดำเนินโครงการ | นายฤทธิ์ จันทร์ | อ่อนสุค | รหัส 46380309 |
| | นางสาวอรุณรัตน์ | สุนันต์ | รหัส 46380318 |
| อาจารย์ที่ปรึกษา | ดร.สมพร เรืองสินชัยวนิช | | |
| สาขาวิชา | วิศวกรรมไฟฟ้า | | |
| ภาควิชา | วิศวกรรมไฟฟ้าและคอมพิวเตอร์ | | |
| ปีการศึกษา | 2551 | | |

คณะวิศวกรรมศาสตร์ มหาวิทยาลัยนเรศวร อนุมัติให้โครงการฉบับนี้เป็นส่วนหนึ่งของการศึกษา
ตามหลักสูตรวิศวกรรมศาสตรบัณฑิต สาขาวิชาวิศวกรรมไฟฟ้า

คณะกรรมการสอบโครงการวิศวกรรม

.....ประธานกรรมการ
(ดร.สมพร เรืองสินชัยวนิช)

.....กรรมการ
(ดร.ไพศาล มุณีสว่าง)

.....กรรมการ
(อาจารย์แสงชัย มังกรทอง)

กิตติกรรมประกาศ

ในการทำปริญญาบัตรนี้สำเร็จคุณล่วงไปด้วยดีโดยได้รับความช่วยเหลือและให้คำแนะนำจาก ดร. สมพร เรืองสินชัยวนิช อาจารย์ที่ปรึกษาปริญญาบัตรนี้ และขอขอบคุณ นายพีรวัฒนา แอกเอม และนางสาวสุชาดา อินตีชัย ที่ช่วยแนะนำวิธีการใช้โปรแกรม PSpice และเอื้อเพื่อข้อมูลในการทำปริญญาบัตรนี้ในครั้งนี้ และขอขอบคุณบุคคลต่างๆ ที่ไม่ได้กล่าวถึงที่เป็นผู้สนับสนุนการทำปริญญาบัตรนี้ในด้านค่างๆ มาโดยตลอด

ผู้จัดทำ

นายกฤชฎา

อ่อนสุศ

นางสาวอรวรรณ

สุนันดี



| | | | |
|------------------|---|-----------------|---------------|
| หัวข้อโครงการ | การศึกษาลักษณะทางไฟฟ้าของทรานซิสเตอร์ด้วยโปรแกรม PSpice | | |
| ผู้ดำเนินโครงการ | นายกฤษฎา | อ่อนสุด | รหัส 46380309 |
| | นางสาวอรุณรัตน์ | สุนัต๊ะ | รหัส 46380318 |
| อาจารย์ที่ปรึกษา | ดร.สมพร | เรืองสินชัยวนิช | |
| สาขาวิชา | วิศวกรรมไฟฟ้า | | |
| ภาควิชา | วิศวกรรมไฟฟ้าและคอมพิวเตอร์ | | |
| ปีการศึกษา | 2551 | | |

บทคัดย่อ

โครงการนี้เป็นการศึกษาลักษณะทางไฟฟ้าของทรานซิสเตอร์และมีการออกแบบวงจรการทดลองโดยใช้โปรแกรม PSpice โดยในการวิเคราะห์ในระบบกระแสตรงของอุปกรณ์ข้างต้นจะอธิบายถึงความสัมพันธ์ระหว่างกระแสและแรงดันของวงจร ส่วนการวิเคราะห์สัญญาณขนาดเล็กจะอธิบายถึงอัตราขยายของวงจร ซึ่งอัตราขยายที่ได้จากการทดลองนี้สามารถนำไปใช้ในการออกแบบและพัฒนาวงจรขยายต่อไปได้

Project Title Study of Electrical characteristic of Transistor with PSpice.

Name Mr. Kitsada Onsud ID.46380309
Miss. Orawan Sunanta ID.46380318

Project Advisor Dr. Somporn Ruangsinchaiwanich

Major Electrical Engineering.

Department Electrical and Computer Engineering.

Academic Year 2008

ABSTRACT

This project is aimed to study of Electrical characteristic of Transistor and design experimental circuit by using PSpice program. DC Analysis of above equipments can explain the relationship between current and voltage of the circuit. While, analysis of small signal will be used to explain voltage gain of circuit. This result can be applied further in design and development of voltage gain.

สารบัญ

หน้า

| | |
|--|----|
| บทคัดย่อภาษาไทย..... | ก |
| บทคัดย่อภาษาอังกฤษ..... | ช |
| กิตติกรรมประกาศ..... | ค |
| สารบัญ..... | จ |
| สารบัญตาราง..... | ชช |
| สารบัญรูป..... | ชศ |
| บทที่ 1 บทนำ..... | 1 |
| 1.1 ที่มุ่งและความสำคัญของโครงการ..... | 1 |
| 1.2 วัตถุประสงค์..... | 1 |
| 1.3 ขอบข่ายงาน..... | 1 |
| 1.4 กิจกรรมการดำเนินงาน..... | 2 |
| 1.5 ผลที่คาดว่าจะได้รับ..... | 2 |
| 1.6 งบประมาณ..... | 2 |
| บทที่ 2 ความรู้พื้นฐานและทฤษฎีที่เกี่ยวข้อง | |
| 2.1 ความรู้พื้นฐานเกี่ยวกับภาพพิมพ์ลายน้ำคิจitol..... | 3 |
| 2.1.1 ความเป็นมา..... | 3 |
| 2.1.2 ประเภทของภาพพิมพ์ลายน้ำคิจitol..... | 4 |
| 2.1.3 เทคนิคของภาพพิมพ์ลายน้ำประเภทต่าง ๆ..... | 5 |
| 2.1.4 คุณสมบัติที่ภาพพิมพ์ลายน้ำควรมี..... | 6 |
| 2.1.5 การใช้ประโยชน์จากภาพพิมพ์ลายน้ำ..... | 6 |
| 2.2 ความรู้พื้นฐานเกี่ยวกับโหมดคสี..... | 7 |
| 2.3 ไฟล์ฟอร์แมตของรูปภาพคิจitol (Digital Image File Format)..... | 8 |

สารบัญ (ต่อ)

| | หน้า |
|---|------|
| บทที่ 3 การออกแบบและการพัฒนา..... | 9 |
| 3.1 การออกแบบและพัฒนาการสร้างภาพพิมพ์ลายน้ำคิจitol- โดยใช้เทคนิคในสปาเชียลโคเมนแบบที่มองเห็นได้..... | 10 |
| 3.2 การออกแบบและพัฒนาการถูคืนภาพพิมพ์ลายน้ำคิจitol - โดยเทคนิคในสปาเชียลโคเมนแบบที่มองเห็นได้..... | 15 |
| 3.3 การออกแบบและพัฒนาการสร้างภาพพิมพ์ลายน้ำคิจitol- โดยเทคนิคในสปาเชียลโคเมนแบบที่มองไม่เห็น..... | 17 |
| 3.4 การออกแบบและพัฒนาการถูคืนภาพลายน้ำคิจitol- โดยเทคนิคในสปาเชียลโคเมนแบบมองไม่เห็น..... | 21 |
| 3.5 ขั้นตอนการออกแบบการทำงานของ – Graphic User Interface (GUI)..... | 24 |
| บทที่ 4 ผลการทดลอง..... | 25 |
| 4.1 การทดสอบโปรแกรม ส่วนติดต่อผู้ใช้ (Graphic User Interface (GUI))..... | 25 |
| 4.2 การทดสอบการสร้างภาพพิมพ์ลายน้ำและ- การถูกลับคืนภาพพิมพ์ลายน้ำที่มองเห็น ได..... | 28 |
| 4.2.1 การสร้างภาพพิมพ์ลายน้ำและการถูกลับคืนภาพพิมพ์ลายน้ำ- ในแบบ ออคินารี โอเวอร์แลปปิ้ง (Ordinary Overlapping)..... | 28 |
| 4.2.2 การสร้างภาพพิมพ์ลายน้ำและการถูกลับคืนภาพพิมพ์ลายน้ำ- แบบ โอเวอร์แลปปิ้ง (Overlapping)..... | 30 |
| 4.2.3 การสร้างภาพพิมพ์ลายน้ำและการถูกลับคืนภาพพิมพ์ลายน้ำ- แบบ ไลด์โอเวอร์แลปปิ้ง (Light Overlapping)..... | 32 |
| 4.2.4 การสร้างภาพพิมพ์ลายน้ำและการถูกลับคืนภาพพิมพ์ลายน้ำ- แบบ ออดิโนรี (Edge Only)..... | 33 |
| 4.2.5 การสร้างภาพพิมพ์ลายน้ำและการถูกลับคืนภาพพิมพ์ลายน้ำ- แบบ ชาร์โมนี (Harmony)..... | 34 |

สารบัญ (ต่อ)

| | |
|---|------|
| | หน้า |
| 4.2.6 การสร้างภาพพิมพ์ลักษณะและการถูกกลับคืนภาพพิมพ์ลายน้ำ- แบบ ทรีไดเมนชัน (Three Dimension)..... | 36 |
| 4.3 การทดสอบการสร้างภาพพิมพ์ลายน้ำและ- การถูกกลับคืนภาพพิมพ์ลายน้ำแบบที่มองไม่เห็น..... | 38 |
| | |
| บทที่ 5 บทสรุป..... | 40 |
| 5.1 สรุปผล..... | 40 |
| 5.2 ปัญหาและแนวทางแก้ไข..... | 40 |
| | |
| เอกสารอ้างอิง..... | 41 |
| | |
| ภาคผนวก..... | 42 |
| ภาคผนวก ก..... | 43 |
| Index Source Code..... | 75 |
| | |
| ประวัติผู้จัดทำโครงงาน..... | 76 |

สารบัญตาราง

| ตารางที่ | หน้า |
|---|------|
| 1.1 กิจกรรมการดำเนินงาน..... | 2 |
| 4.1 ผลการทดสอบการสร้างภาพพิมพ์ลายน้ำแบบมองเห็นได้ - ที่สามารถถูกลับคืนได้..... | 28 |
| 4.2 ผลการทดสอบการสร้างภาพพิมพ์ลายน้ำแบบมองไม่เห็น - ที่สามารถถูกลับคืนได้..... | 28 |



สารบัญรูป

| หัวที่ | หน้า |
|---|------|
| 3.1 ขั้นตอนการสร้างภาพพิมพ์ลายนำแบบมองเห็นได้..... | 10 |
| 3.2 ขั้นตอนการถูกลับคืนภาพลายนำแบบมองเห็นได้..... | 15 |
| 3.3 ขั้นตอนการสร้างภาพลายนำแบบมองไม่เห็น..... | 17 |
| 3.4 ขั้นตอนการถูกลับคืนภาพลายนำแบบมองไม่เห็น..... | 21 |
| 3.5 ขั้นตอนการทำงานของ GUI..... | 24 |
| 4.1 หน้าต่างของส่วนติดต่อผู้ใช้..... | 25 |
| 4.2 แสดงการเลือกการทำภาพพิมพ์ลายนำใน Picture1..... | 26 |
| 4.3 แสดงผลของการเลือกการทำภาพพิมพ์ลายนำใน Picture1..... | 26 |
| 4.4 แสดงการเลือกการทำการถูกลับคืนภาพใน Picture1..... | 27 |
| 4.5 แสดงผลการเลือกการทำถูกลับคืนภาพใน Picture1..... | 27 |
| 4.6 ภาพพิมพ์ลายนำ้ออคินาวา ไอเวอร์แล็บปีง ที่เข้มที่สุดที่ถูกลับคืนได้..... | 29 |
| 4.7 ภาพพิมพ์ลายนำ้ออคินาวา ไอเวอร์แล็บปีง ที่ถูกลับคืนไม่ได้..... | 30 |
| 4.8 ภาพพิมพ์ลายนำ้ออคินาวา ไอเวอร์แล็บปีงที่เข้มที่สุดที่ถูกลับคืนได้..... | 31 |
| 4.9 ภาพพิมพ์ลายนำ้ออคินาวา ไอเวอร์แล็บปีง ที่ไม่สามารถถูกคืนได้..... | 31 |
| 4.10 ภาพพิมพ์ลายนำ้ໄลท์ไอเวอร์แล็บปีง ที่เข้มที่สุดที่ถูกลับคืนได้..... | 32 |
| 4.11 ภาพพิมพ์ลายนำ้ໄลท์ไอเวอร์แล็บปีง ที่ถูกลับคืนไม่ได้..... | 33 |
| 4.12 ภาพพิมพ์ลายนำ้ออคิโอนารี ที่เข้มที่สุดที่ถูกลับคืนได้..... | 34 |
| 4.13 ภาพพิมพ์ลายนำ้ออคิโอนารี ที่ไม่สามารถถูกลับคืนได้..... | 34 |
| 4.14 ภาพพิมพ์ลายนำ้ ยาร์โนนีที่เข้มที่สุดที่ถูกลับคืนได้..... | 35 |
| 4.15 ภาพพิมพ์ลายนำ้ ยาร์โนนี ที่ถูกลับคืนไม่ได้..... | 36 |
| 4.16 ภาพพิมพ์ลายนำ้ทรีไคอมเซ็น ที่เข้มที่สุดที่ถูกลับคืนได้..... | 37 |
| 4.17 ภาพพิมพ์ลายนำ้ ทรีไคอมเซ็น ที่ไม่สามารถถูกลับคืนได้..... | 37 |
| 4.18 ภาพพิมพ์ลายนำ้ k=1..... | 38 |
| 4.19 ภาพพิมพ์ลายนำ้ k=20..... | 39 |
| 4.20 ภาพพิมพ์ลายนำ้ที่ถูกคืนกลับไม่ได้..... | 39 |

บทที่ 1

บทนำ

1.1 ที่มาและความสำคัญของโครงการ

อุปกรณ์ทางอิเล็กทรอนิกส์เป็นอุปกรณ์ที่มีการพัฒนาและมีเทคโนโลยีที่เปลี่ยนแปลงอย่างรวดเร็ว ทำให้เกิดขึ้นมือที่ผลิตจากอุปกรณ์จำพวกอิเล็กทรอนิกส์มีการเปลี่ยนแปลงไปอย่างมาก เช่น ทรานซิสเตอร์ ซึ่งเป็นอุปกรณ์ทางอิเล็กทรอนิกส์ประเภทสารคั่งตัวนำที่ถูกพัฒนาขึ้นจากหลอดสูญญากาศ เมื่อเทียบกับหลอดสูญญากาศแล้ว ทรานซิสเตอร์มีข้อดีหลายประการ เช่น ด้านขนาด ราคา ประสิทธิภาพและความประยุกต์เพราะทรานซิสเตอร์ไม่เกิดการสูญเสียความร้อน แต่ในระเบณอนักมีความยุ่งยากในการผลิตและมีสัญญาณรบกวนมาก ทำให้ใช้งานได้ไม่แพร่หลายมากนัก แต่ต่อมาได้มีการพัฒนาขึ้นอย่างต่อเนื่องจนทรานซิสเตอร์เริ่มเป็นที่นิยมกันอย่างแพร่หลายจนถึงปัจจุบัน

จากข้อมูลดังกล่าวจึงเกิดแนวคิดที่จะศึกษาเกี่ยวกับลักษณะทางไฟฟ้าและหลักการทำงานของทรานซิสเตอร์โดยต่อไปโดยใช้โปรแกรม PSpice ในการออกแบบและวิเคราะห์วงจรเพื่อเป็นแนวทางในการพัฒนาและประยุกต์ใช้ต่อไป

1.2 วัตถุประสงค์ของโครงการ

- เพื่อศึกษาหลักการทำงานของทรานซิสเตอร์และเฟต
- เพื่อศึกษาการใช้โปรแกรม PSpice
- เพื่อศึกษาวิธีการออกแบบวงจรและวิเคราะห์ผลการทำงานได้
- เพื่อนำผลการทำงานที่ได้มามิวิเคราะห์ เปรียบเทียบและแสดงตัวอย่างการนำไปใช้งานของอุปกรณ์
- เพื่อนำความรู้ที่ได้ไปพัฒนาและประยุกต์ใช้ในการออกแบบวงจรต่อไปได้

1.3 ขอบข่ายของโครงการ

- สามารถออกแบบวงจรขยายสัญญาณให้เหมาะสมกับการใช้งาน โดยใช้ทรานซิสเตอร์และเฟต
- นำผลการทำงานที่ได้มามิวิเคราะห์ เปรียบเทียบและแสดงตัวอย่างการนำไปใช้งานของอุปกรณ์

1.4 ขั้นตอนการดำเนินงาน

1. ศึกษาข้อมูลเกี่ยวกับลักษณะทางไฟฟ้าของทรานซิสเตอร์และเฟต
2. ศึกษาการทำงานของโปรแกรม PSpice
3. ออกแบบวงจรและทดสอบการทำงานของอุปกรณ์
4. บันทึกและวิเคราะห์ผลการทดลอง
5. สรุปผลการทดลอง

1.5 ตารางการดำเนินงาน

| กิจกรรมการดำเนินงาน | มี.ค.51 | เม.ย.51 | พ.ค.51 | มิ.ย.51 | ก.ค.51 | ส.ค.51 | ก.ย.51 |
|---|---------|---------|--------|---------|--------|--------|--------|
| 1. ศึกษาข้อมูลเกี่ยวกับลักษณะทางไฟฟ้าของ ทรานซิสเตอร์และเฟต | | | ↔ | | | | |
| 2. ศึกษาการทำงานของโปรแกรม PSpice | | ↔ | ↔ | | | | |
| 3. ออกแบบวงจรและทดสอบการทำงานโดยใช้โปรแกรม PSpice | | | ↔ | | | | |
| 4. ทดสอบการทำงานของวงจร โดย การปฏิบัติจริง | | | | ↔ | | | |
| 5. วิเคราะห์และสรุปผลการทดลอง | | | | | ↔ | | |
| 6. จัดทำรูปเล่มรายงาน | | | | | | ↔ | |

1.6 ผลที่คาดว่าจะได้รับ

1. มีความรู้ความเข้าใจเกี่ยวกับลักษณะทางไฟฟ้าของทรานซิสเตอร์และเฟต
2. ใช้โปรแกรม PSpice ในการออกแบบ, ทดสอบและวิเคราะห์วงจรได้
3. นำความรู้ที่ได้ไปพัฒนาและประยุกต์ใช้ต่อไป

1.7 งบประมาณที่ใช้

| | |
|--------------------------------|------------------|
| 1. ค่าเอกสารประกอบการทำโครงการ | 700 บาท |
| 2. ค่ากระดาษ | 200 บาท |
| 3. ค่าถ่ายเอกสาร | 300 บาท |
| 4. ค่าจัดทำรูปเลื่อม | 600 บาท |
| 5. ค่าอุปกรณ์อิเล็กทรอนิกส์ | <u>200 บาท</u> |
| รวมเป็นเงิน | <u>2,000 บาท</u> |

(สองพันบาทถ้วน)

(หมายเหตุ ถ้าเฉลี่ยหุกรายการ)



บทที่ 2

หลักการและทฤษฎี

ทรานซิสเตอร์ เป็นอุปกรณ์ทางอิเล็กทรอนิกส์ประเภทสารกึ่งตัวนำที่ถูกพัฒนาขึ้นจากหลอดสุญญากาศและถูกพัฒนาเรื่อยมาจนกระทั่งปัจจุบันได้มีการผลิตทรานซิสเตอร์แบบร้อยต่อคู่ (Bipolar Junction Transistor, BJTs) และทรานซิสเตอร์แบบสนามไฟฟ้า (Field Effect Transistors, FETs) ขึ้นมาใช้กันอย่างแพร่หลาย ทรานซิสเตอร์จะมีขาเชื่อมต่อสามจุด เมื่อมีการปรับเพิ่มแรงดันไฟฟ้าที่ขาหนึ่ง ก็จะทำให้แรงดันไฟฟ้าระหว่างขาที่เหลือเปลี่ยนแปลง โดยหลักการทำงานของทรานซิสเตอร์ทั้งสองแบบสามารถนำไปใช้ประโยชน์ในด้านการขยายสัญญาณต่างๆ เช่น การขยายสัญญาณเสียง การขยายสัญญาณความถี่วิทยุ ควบคุมระดับแรงดัน เป็นแหล่งจ่ายไฟฟ้าแบบสวิชชิ่ง นอกจากนี้ยังสามารถนำไปใช้งานในลักษณะเปิด/ปิด ในวงจรคิจิตอต เช่น วงจรตรรกะ (Logic gate), หน่วยความจำแบบสุ่ม (Random Access Memory, RAM) และไมโครโปรเซสเซอร์ เป็นต้น

2.1 ทรานซิสเตอร์แบบร้อยต่อคู่ (Bipolar Junction Transistor, BJTs)

2.1.1 โครงสร้างและชนิดของทรานซิสเตอร์แบบร้อยต่อคู่

โครงสร้างของทรานซิสเตอร์แบบร้อยต่อคู่ ประกอบด้วยเรเจโนเมเนียม (Ge) หรือซิลิคอน (Si) เป็นสารกึ่งตัวนำชนิดพิเศษ เอ็นต่อชานกัน โดยการเดินสารเจือปน (Doping) จำนวน 3 ชั้นทำให้เกิดร้อยต่อ (Junction) ขึ้นจำนวน 2 รอยต่อ และต่อขาอອกมาใช้งาน 3 ขา คือ ขาเบส (B) ขาอิมิเตอร์ (E) และขาคอลเลกเตอร์ (C)

ทรานซิสเตอร์แบบร้อยต่อคู่แบ่งออกเป็น 2 ชนิด คือ

- ชนิด NPN
- ชนิด PNP

ทรานซิสเตอร์ชนิด NPN โครงสร้างของมันก็คือ สารกึ่งตัวนำชนิด P ประกอบด้วยชนิด N ทึ้งสองข้าง จากนั้นต่อขาจากสารกึ่งตัวนำทึ้งสารชั้นอອกใช้งาน ขาที่ต่อจากชั้นสารที่อยู่ตรงกลางเรียกว่า ขาเบส (B, Base) ส่วนบริมทึ้งสอง คือขาคอลเลกเตอร์ (C, Collector) และขาอิมิเตอร์ (E, Emitter) ดังรูปที่ 2.1 (บน)

ส่วนทรานซิสเตอร์ชนิด PNP โครงสร้างประกอบด้วย สารกึ่งตัวนำชนิด N ประกอบด้วยสารชนิด P ทึ้งสองข้าง และขาที่ต่ออອกจากชั้นสารที่อยู่ตรงกลางเรียกว่า ขาเบส (B) ส่วนสองขาที่เหลือคือ ขาคอลเลกเตอร์ (C) และขาอิมิเตอร์ (E) ดังรูปที่ 2.1 (ล่าง)

ถึงแม่สารที่ถูกต่อขาเป็นขา C และ E เป็นชนิดเดียวกันก็ตาม แต่คุณสมบัติทางไฟฟ้าของมันต่างกัน เพราะฉะนั้น เวลาประกอบทราบซิสเตอร์ลงในการทดลองจริงจะเป็นอย่างยิ่งที่ต้องศึกษาแน่นๆ ให้ถูกต้อง ถ้าคุณประกอบผิดก็อาจทำให้วงจรที่คุณสร้างเสียหายได้

ประเทศญี่ปุ่นผู้ผลิตชื่นส่วนอิเล็กทรอนิกส์รายใหญ่ของโลก จะใช้รหัสบลอกชนิดของทรานซิสเตอร์ โดยคุณจากเบอร์ทรานซิสเตอร์จาก ด้วยอักษรที่ตามหลัง 2S ... เช่น 2SC1815 คือ ทรานซิสเตอร์ชนิด NPN ใช้ในย่านความถี่สูง นอกจากอักษร C แล้วขึ้นมาอักษรตัวอื่น อีกด้วยดังนี้

A : PNP ใช้ในย่านความถี่สูง

B : PNP ใช้ในย่านความถี่ต่ำ

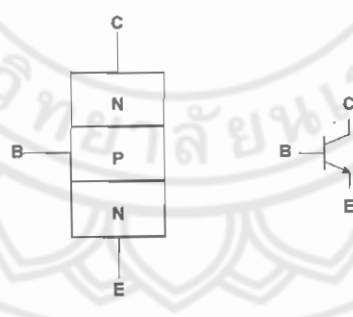
C : NPN ใช้ในย่านความถี่สูง

D : NPN ใช้ในย่านความถี่ต่ำ

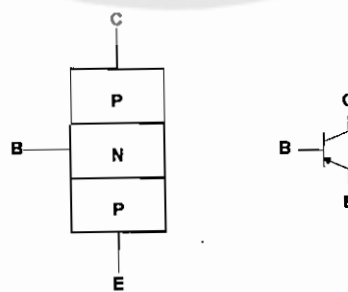
แต่ถ้าเป็นทรานซิสเตอร์ของผู้ผลิตในอเมริกา เบอร์ของทรานซิสเตอร์จะเขียนตัวต่อไปนี้ ตามด้วยหมายเลข (หมายเลข 2 ที่นำหน้าเบอร์ หมายถึง 2 รอยต่อ) เช่น 2N2222A เป็นต้น

ทรานซิสเตอร์ถูกนำไปใช้ในวงจรค่าๆ อย่างมากมาย ด้วยหลักการให้กระแสที่ขา B เป็นตัวควบคุมกระแสที่ไหลผ่านทางขา C และ E ที่เห็นและคุณเคยกันมากที่สุดอย่างหนึ่งคือ วงจรขยายเสียง และในโครงงานอิเล็กทรอนิกส์ค่าๆ ก็ใช้ทรานซิสเตอร์ ในบางวงจรอาจเห็นว่าทรานซิสเตอร์ ถูกเปรียบเทียบกับสวิตช์หรืออาจจะเป็นตัวขยาย เป็นเพราะความสามารถจัดไฟและให้มันทำงานเหมือนกับเลือกว่าให้มันเป็นสวิตช์หรือตัวขยายก็ได้

สัญลักษณ์ของทรานซิสเตอร์



ชนิด NPN



ชนิด PNP

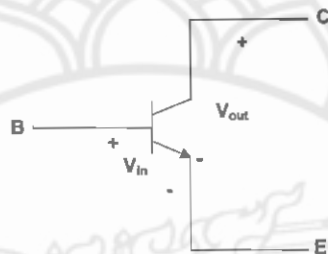
รูปที่ 2.1 สัญลักษณ์ของทรานซิสเตอร์แบบรอยต่อๆ

2.1.2 รูปแบบการต่อใช้งานของทรานซิสเตอร์

ถึงแม้ว่าทรานซิสเตอร์จะถูกนำไปใช้งานในวงจรต่าง ๆ มากมาย แต่วงจรเหล่านี้ก็ยังสามารถที่จะจัดแยกออกเป็นกลุ่มได้ 3 รูปแบบ ดังนี้

1. วงจรอิมิตเตอร์ร่วม C-E (Common - Emitter)

สัญญาณอินพุตจะถูกป้อนเข้าระหว่างขาเบส และขาอิมิตเตอร์ ในขณะที่สัญญาณเอาต์พุตจะปรากฏระหว่างขาคอลเลกเตอร์และขาอิมิตเตอร์ จากการจัดรูปแบบของวงจรในลักษณะนี้ จะเห็นว่า สัญญาณอินพุตจะเป็นตัวควบคุมกระแสของทรานซิสเตอร์ซึ่งก็จะเป็นการควบคุมกระแส คอลเลกเตอร์ซึ่งเป็นเอาต์พุตของวงจรด้วย ส่วนขาอิมิตเตอร์จะเป็นขาร่วม (Common)

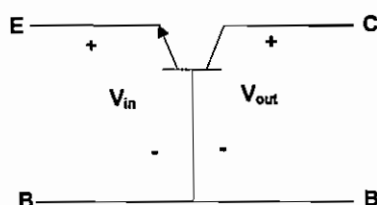


วงจรอิมิตเตอร์ร่วมนี้คุณสมบัติเฉพาะตัวสามารถสรุปได้ดังนี้

1. อินพุตอิมพีเดนซ์ (Z_i) มีค่าต่ำประมาณ $500\Omega - 1k\Omega$
2. เอาต์พุตอิมพีเดนซ์ (Z_o) มีค่าสูงประมาณ $50k\Omega$
3. สัญญาณอินพุตกับสัญญาณเอาต์พุตมีเฟสต่างกันประมาณ 180° (Out Off Phase)
4. อัตราขยายกระแส (Current Gain) แทนด้วยสัญลักษณ์ A_i ซึ่งมีค่าประมาณ 20–50 เท่า
5. อัตราขยายแรงดัน (Voltage Gain) แทนด้วยสัญลักษณ์ A_v ซึ่งมีค่าสูงประมาณ 200–300 เท่า

2. วงจรเบสร่วม (Common - Base)

สัญญาณอินพุตจะถูกป้อนเข้าระหว่างขาอิมิตเตอร์และขาเบส โดยสัญญาณเอาต์พุตจะไปปรากฏระหว่างขาคอลเลกเตอร์และขาเบส ส่วนขาเบสของวงจรรูปแบบนี้จะใช้เป็นขาร่วม (Common) ให้กับทั้งอินพุตและเอาต์พุต

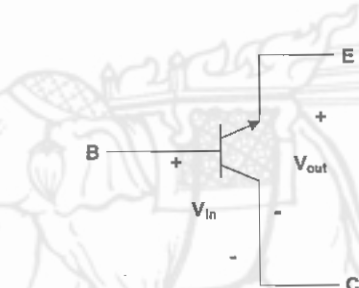


วงจรเบสร่วมนี้คุณสมบัติเฉพาะตัวสามารถสรุปได้ดังนี้

1. อินพุตอิมพีเดนซ์ (Z_i) มีค่าต่ำมาก ประมาณ $30\Omega - 50\Omega$
2. เอ้าต์พุตอิมพีเดนซ์ (Z_o) มีค่าสูงมาก ประมาณ $300k\Omega - 1M\Omega$
3. สัญญาณอินพุตกับสัญญาณเอ้าต์พุตมีเฟสตรงกัน (Inphase)
4. อัตราขยายกระแส (Current Gain) แทนด้วยสัญลักษณ์ A_i ซึ่งมีค่าน้อยกว่า 1 แสดงว่าไม่มีการขยายกระแส
5. อัตราขยายแรงดัน (Voltage Gain) แทนด้วยสัญลักษณ์ A_v ซึ่งมีค่าสูงประมาณ $300-1,000$ เท่า

3. วงจรคอลเลกเตอร์ร่วม C-C (Common – Collector)

สัญญาณอินพุตจะถูกป้อนเข้ามาระหว่างขาเบสและขาคอลเลกเตอร์ส่วนสัญญาณเอ้าต์พุตที่ได้จะไปปรากฏอยู่บนขาอิมิตเตอร์ และขาคอลเลกเตอร์ โดยจะใช้ขาคอลเลกเตอร์เป็นขาร่วม (Common) ของทั้งอินพุตและเอ้าต์พุต

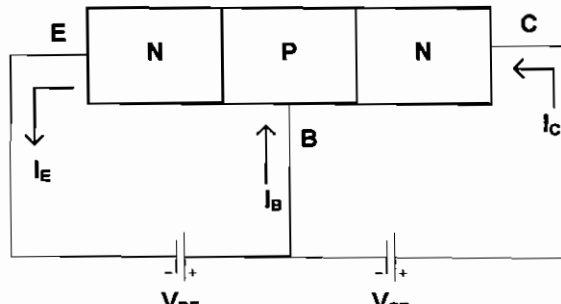


วงจรคอลเลกเตอร์ร่วมมีคุณสมบัติเฉพาะตัวสามารถสรุปได้ดังนี้

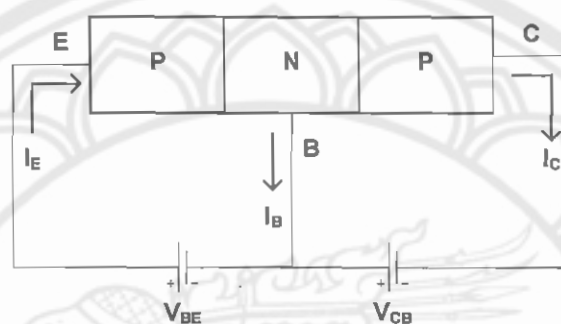
1. อินพุตอิมพีเดนซ์ (Z_i) มีค่าสูงประมาณ $100k\Omega - 500k\Omega$
2. เอ้าต์พุตอิมพีเดนซ์ (Z_o) มีค่าต่ำประมาณ $100\Omega - 1k\Omega$
3. สัญญาณอินพุตกับสัญญาณเอ้าต์พุตมีเฟสตรงกัน (Inphase)
4. อัตราขยายกระแส (Current Gain) แทนด้วยสัญลักษณ์ A_i ซึ่งมีค่าประมาณ $20 - 50$ เท่า
5. อัตราขยายแรงดัน (Voltage Gain) แทนด้วยสัญลักษณ์ A_v ซึ่งมีค่าน้อยกว่า 1 แสดงว่าไม่มีการขยายแรงดัน

2.1.3 การวิเคราะห์ผลตอบสนองชิงไฟฟ้ากระแสตรง

จากที่ทราบแล้วว่าได้โอดชนิดอยู่ต่อ P-N เมื่อได้รับไฟอัลตรاجาวยอนให้กระแสไฟฟ้าไหลผ่านได้แต่ถ้าได้รับการไฟอัลตรากลับ ได้โอดจะแสดงคุณสมบัติต้านการไฟของกระแสไฟฟ้า สำหรับทรานซิสเตอร์ก็เช่นเดียวกัน จะต้องได้รับการไฟอัลที่เหมาะสมจึงจะทำให้ทรานซิสเตอร์ทำงานได้ถูกต้อง



ชนิด NPN



ชนิด PNP

รูปที่ 2.2 การใบอัลเบิ่งตันให้ทรานซิสเตอร์

การใบอัลตรอง กือ การจ่ายแรงดันให้ตรงตามชนิดของสารกึ่งตัวนำ กือถ้าเป็นชนิด P แรงดันใบอัลตรองคือแรงดันบวก (Positive) และถ้าเป็นชนิด N แรงดันใบอัลตรองคือแรงดันลบ (Negative) ส่วนแรงดันใบอัลที่จ่ายให้กับขาคอลเลคเตอร์เทียบกับขาเบสต้องเป็นใบอัลลับ ผลของการจ่ายใบอัลลับทำให้ค่าดีเพลี้ยชั่นริจิตรอยขอต่อเพิ่มขึ้น นั่นคือค่าความต้านทานตรงรอยต่อเพิ่มขึ้นและค่าการไหลของกระแสไม่ให้ไหลผ่านรอยต่อ เสมือนการจ่ายใบอัลลับให้ได้โดย

จากูปที่ 2.2 เป็นลักษณะการจ่ายใบอัลเบิ่งตันให้กับทรานซิสเตอร์เพื่อให้ทรานซิสเตอร์สามารถนำกระแสได้ การจ่ายแรงดันใบอัลให้ทรานซิสเตอร์ไม่ว่าแบบใดก็ตามส่วนสำคัญคือ ขาอิมิเตอร์ (E) และขาเบส (B) จะได้รับใบอัลตรองเสมอ ส่วนขาคอลเลคเตอร์ (C) จะได้รับใบอัลลับเทียบกับขาเบส กระแสที่เกิดขึ้นในตัวทรานซิสเตอร์เป็นกระแสที่ผ่านขาทั้ง 3 ของทรานซิสเตอร์ ซึ่งจะมีที่แตกต่างกัน ดังนี้

1. กระแสอิมิเตอร์ (Emitter Current: I_E) เป็นกระแสที่ไหลผ่านขาอิมิเตอร์ มีค่ากระแสประมาณ 100%
2. กระแสคอลเลคเตอร์ (Collector Current: I_C) เป็นกระแสที่ไหลผ่านขาคอลเลคเตอร์ มีค่ากระแสประมาณ 95% - 98%
3. กระแสเบส (Base Current: I_B) เป็นกระแสที่ไหลผ่านขาเบส มีค่าประมาณ 2% - 5%

ค่ากระแสทั้งสามชนิดนี้จะมีขนาดกระแทกที่ใกล้ผ่านตัวทรานซิสเตอร์ที่ไม่เท่ากัน จากกฎของ เครื่องซอฟสามารถเขียนเป็นสมการ ได้ดังนี้

$$I_E = I_C + I_B \quad (2.1)$$

เนื่องจากกระแสบีมีค่าน้อยมากเมื่อเทียบกับกระแสออกลูกเลคเตอร์สามารถเขียนสมการ ได้ดังนี้

$$I_E \approx I_C \text{ และ } \alpha = \frac{I_C}{I_E}$$

เมื่อ α (Alpha) คือ ค่าพิกัดชนิดหนึ่งของทรานซิสเตอร์ ตัวประกอบที่ทำให้กระแสไฟฟ้าที่ใกล้จากขั้วเบสไปยังขั้วคอลเลคเตอร์เปลี่ยนแปลงเร็วกว่า อัตราขยายกระแสไฟฟ้า (Current Gain) แทนค่าบีด้วยค่า β (Beta) ดังสมการ

$$\beta = \frac{I_C}{I_B} \text{ หรือ } I_C = \beta I_B \quad (2.2)$$

แทนสมการที่ 2.2 ในสมการที่ 2.1 สามารถเขียนได้ใหม่ดังนี้

$$I_E = I_C + I_B = \beta I_B + I_B \\ I_E = (\beta + 1) I_B \quad (2.3)$$

โดยทั่วไปสเปคของทรานซิสเตอร์จะระบุค่าเบต้าแค่จะไม่ระบุค่าอัลฟานี้องจากมักใช้ค่าเบต้า สำหรับ การคำนวณในวงจรทรานซิสเตอร์มากกว่าอัลฟ้า แต่ในบางกรณีก็จำเป็นต้องหาค่าอัลฟ้าเพื่อ คำนวณค่าพารามิเตอร์อื่นๆต่อไป

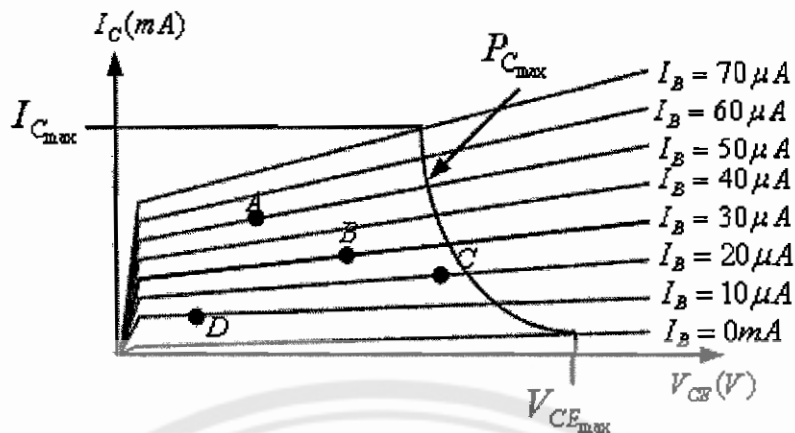
กราฟคุณลักษณะของทรานซิสเตอร์

กราฟคุณลักษณะของทรานซิสเตอร์เป็นกราฟที่ใช้ในการอธิบายการทำงานของทรานซิสเตอร์ โดยจะแสดงความสัมพันธ์ระหว่าง I_C, I_B และ V_{CE} ดังรูปที่ 2.3 โดยกราฟจะแบ่ง ออกเป็น 3 บริเวณ คือ

1. บริเวณคัตอฟ (Cut-off Region) คือ บริเวณ $I_B \leq 0 \text{ mA}$

2. บริเวณอินตัว (Saturation Region) คือ บริเวณ $V_{CE} \leq V_{CE_{SAT}}$

3. บริเวณแอคทีฟ (Active Region) คือ บริเวณ $V_{CE_{SAT}} \leq V_{CE} \leq V_{CE_{MAX}}$



รูปที่ 2.3 กราฟคุณลักษณะของทรานซิสเตอร์

การทำงานที่บีบริเวณกัตตอฟ

การต่อแหล่งจ่ายไฟฟ้าให้ทรานซิสเตอร์ทำงานในบีบริเวณกัตตอฟเป็นการไปอัสกลับที่ร้อยต่อหัว 2 ตำแหน่ง ซึ่งจะทำให้กระแสที่ไหลผ่านขั้วทั้งสามมีค่าใกล้ศูนย์ จากการต่อวงจรในลักษณะดังกล่าว บีบริเวณปลดออกพากะทั้งสองบีบริเวณ จะขยายกว้างขึ้น จึงมีเพียงกระแสเดียว กลับ (Reverse Current) กระแสรั่วไหลปริมาณต่ำมากเท่านั้นที่ไหลจากคอลเลคเตอร์ไปยังอิมิตเตอร์ได้

การทำงานที่บีบริเวณอื้มตัว

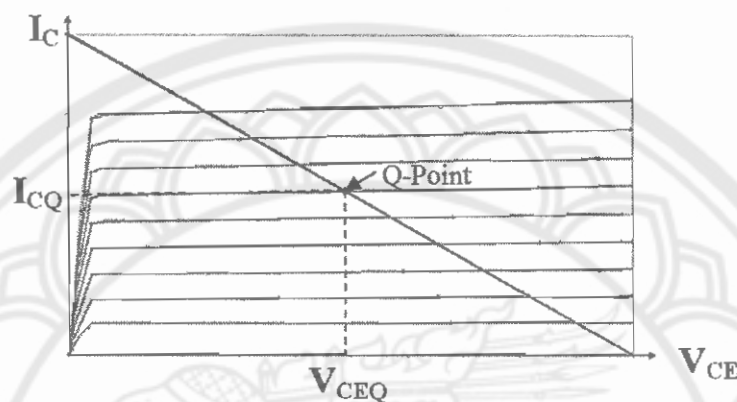
การต่อแหล่งจ่ายไฟฟ้าให้ทรานซิสเตอร์ทำงานในบีบริเวณอื้มตัว เป็นการไปอัสตรงที่ร้อยต่อหัว 2 ตำแหน่ง และจากสมการ $I_C = \beta I_B$ ทำให้ทราบว่าถ้าค่า I_B เพิ่มขึ้น I_C ก็จะเพิ่มขึ้นด้วย เมื่อ I_C เพิ่มขึ้นจนถึงค่าสูงสุด ($I_{C_{max}}$) หรือเรียกว่า ทรานซิสเตอร์เกิดการอื้มตัว ณ ตำแหน่งนี้ค่า I_C จะเพิ่มตามค่า I_B ไม่ได้อีกแล้ว

การทำงานที่บีบริเวณแอกตีฟ

การต่อแหล่งจ่ายไฟฟ้าให้ทรานซิสเตอร์ทำงานในบีบริเวณแอกตีฟเป็นการไปอัสตรงที่ร้อยต่อ อิมิตเตอร์-เบส และไปอัสกลับที่ร้อยต่อคอลเลคเตอร์-เบส การทำงานในย่านแอกตีฟจะถูกนำไปใช้ประโยชน์ในการขยายสัญญาณต่อไป

จุดทำงานของทรานซิสเตอร์

จุดทำงานของทรานซิสเตอร์ คือ จุดที่เกิดจากการลากเส้นให้คลั่งบนกราฟคุณลักษณะของทรานซิสเตอร์ โดยจุดทำงานของทรานซิสเตอร์หรือจุด Q-Point นี้ จะเป็นจุดที่ใช้กำหนดค่าแรงดัน (V_{CEQ}) และค่ากระแส (I_{CQ}) ของวงจรนั้นๆ ซึ่งเรามีความจำเป็นจะต้องใช้ค่า V_{CEQ} และ I_{CQ} ในการหาค่าพารามิเตอร์อื่นๆ ของวงจรต่อไป



รูปที่ 2.4 การหาจุดทำงานของวงจรทรานซิสเตอร์

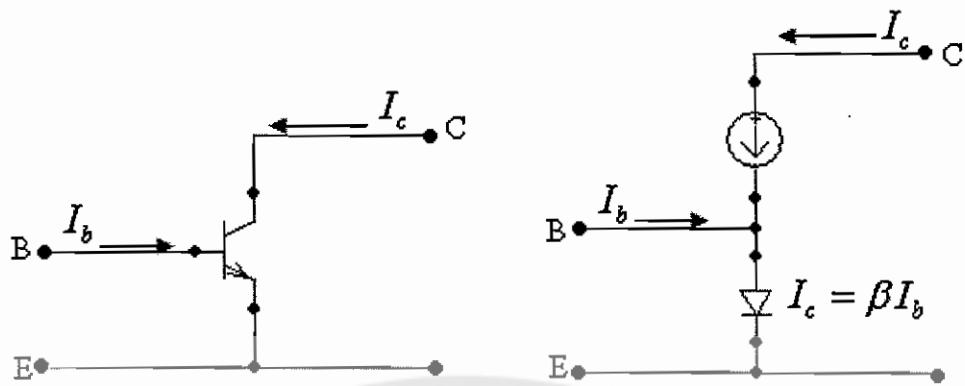
2.1.4 การวิเคราะห์ผลตอบสนองเชิงไฟฟ้ากระแสสัมบันดุ

การขยายสัญญาณไฟฟ้ากระแสสัมบันดุ คือ การที่วงจรขยาย já กำลังไฟฟ้ากระแสตรงส่วนหนึ่ง นำรวมกับสัญญาณกระแสสัมบันดุอินพุต ส่งผลให้สัญญาณกระแสสัมบันดุเข้าคู่ผู้คนใหม่แยกพิสูจน์มากกว่าสัญญาณกระแสสัมบันดุอินพุต

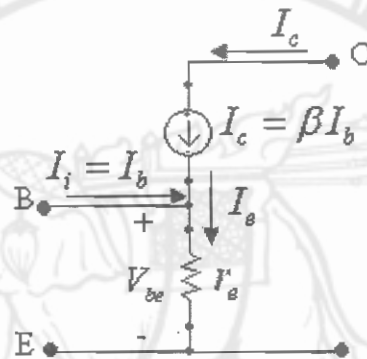
แบบจำลองของวงจรขยายของทรานซิสเตอร์

แบบจำลองของทรานซิสเตอร์ คือการจำลองของส่วนย่อยต่างๆ ของวงจร คุณสมบัติเฉพาะที่เกี่ยวเนื่องกัน เพื่อใช้อธิบายพฤติกรรมและการทำงานของอุปกรณ์สารกึ่งตัวนำ ภายใต้เงื่อนไขจุดทำงานเฉพาะตัวของอุปกรณ์นั้น แบบจำลองของใบโพลาร์ทรานซิสเตอร์ที่นิยมใช้กันอย่างกว้างขวาง คือแบบจำลอง r_e และแบบจำลอง hybrid- π ซึ่งในที่นี้จะขอใช้แบบจำลองแบบ r_e เป็นหลัก พิจารณาวงจรขยายสัญญาณของใบโพลาร์ทรานซิสเตอร์

ในวงจรเทียบเคียงของทรานซิสเตอร์ เราจะแทนทรานซิสเตอร์ด้วยไดโอดและแหล่งจ่ายกระแส (Dependent Source) และเมื่อแทนค่าความต้านทานของไดโอดด้วย r_d จะได้ว่า ดังรูป



จากรูปข้างต้น เมื่อแทนค่าความต้านทานของไอดีโอดด้วย r_e จะได้วงจร ดังรูป



จากรูป เป็นแบบจำลอง r_e ของวงจรอินิเตอร์ร์วัมของทรานซิสเตอร์แบบ npn โดย r_e คือ ความต้านทานกระแสลับของไอดีโอด ซึ่งหาได้จาก

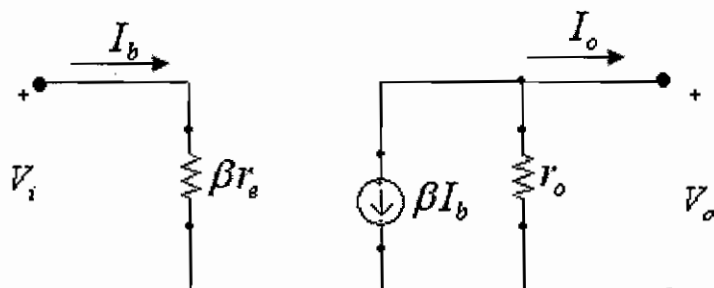
$$r_e = \frac{26mV}{I_E} \quad (2.4)$$

จาก KVL;

$$V_i = V_{BE} = I_e R_e = \beta I_b r_e$$

$$Z_i = \frac{V_i}{I_i} = \frac{V_{be}}{I_b} = \frac{\beta I_b r_e}{I_b} = \beta r_e$$

แทนค่า Z_i ในวงจร จะได้วงจารเทียบเคียง r_e ดังรูป



รูปที่ 2.5 แบบจำลอง r_e ของวงจรกรานชิสเทอร์

จากกฎป่วงจรเทียบเคียง r_e (รูปที่ 2.5) จะได้ว่า

$$I_i = I_b$$

$$I_o = -\beta I_b$$

$$Z_i = \beta r_e$$

$$Z_o = r_o \| R_L$$

จากกฎของโอล์มจะได้

$$V_o = I_o Z_o$$

$$V_o = (-\beta I_b)(r_o \| R_L)$$

และ

$$V_i = I_i Z_i$$

$$V_i = I_b (\beta r_e)$$

เนื่องจาก

$$A_V = \frac{V_o}{V_i}$$

$$A_V = \frac{(-\beta I_b)(r_o \| R_L)}{I_b (\beta r_e)} = -\frac{(r_o \| R_L)}{r_e}$$

เนื่องจากค่า r_o มีค่าสูงมาก ($r_o \approx \infty$) ค่าอัมพิแคนซ์เอตพุตจึงมีค่าเท่ากับ R_L

ฉะนั้น

$$A_V = -\frac{R_L}{r_e}$$

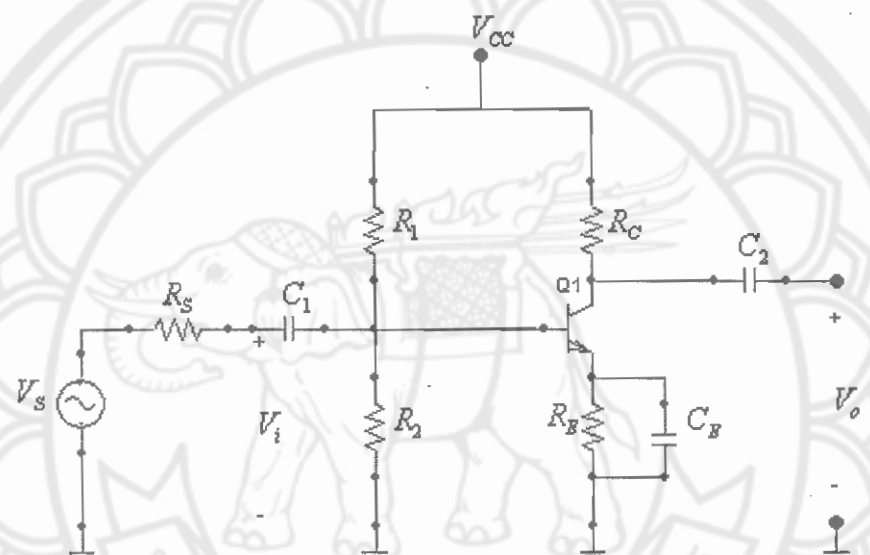
เนื่องจาก

$$A_i = \frac{I_o}{I_i}$$

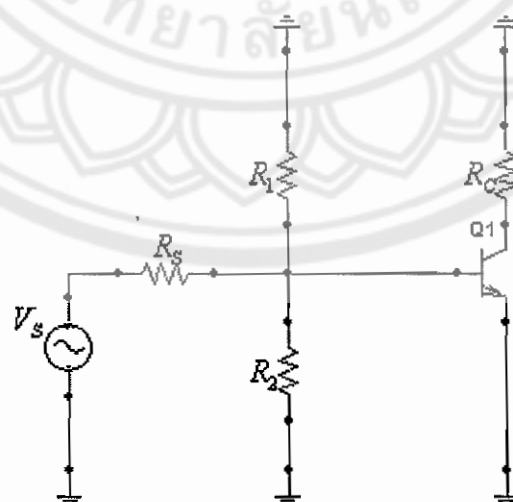
จะได้

$$A_i = \frac{\beta I_b}{I_b} = \beta$$

ในการวิเคราะห์สัญญาณขนาดเล็กของไบโพลาร์ทรานซิสเตอร์ส่วนที่เป็นแหล่งจ่ายกระแสตรง V_{CC} จะแทนด้วยวงจรสมมูลที่มีศักย์ไฟฟ้าเป็นศูนย์ (หรือแทนที่ด้วยกราวต์) และตัวเก็บประจุ C_1, C_2 และ C_E ในวงจรแทนด้วยวงจรสมมูลที่มีศักย์ไฟฟ้าเป็นศูนย์ (หรือ วงจรสมมูลแบบลัดวงจร) ดังรูป



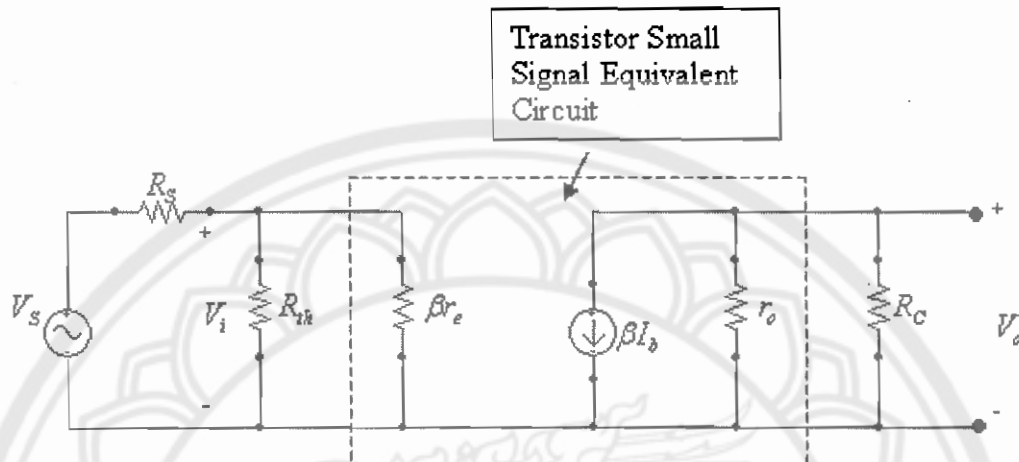
รูปที่ 2.6a



รูปที่ 2.6b

รูปที่ 2.6 วงจรขยายของไบโพลาร์จักรั่นทรานซิสเตอร์

จากวงจร ในรูป 2.6a ในกรณีที่เราต้องวิเคราะห์คุณสมบัติต่างๆของการขยายสัญญาณ สามารถแทนด้วยวงจรสมมูลดังในรูป 2.6b จะเห็นว่าความต้านทาน R_1 และ R_2 จะต่อขนานกันอยู่ และความต้านทาน R_C ต่อเข้ากับขาอินพุตเตอร์หรือต่อลงกราวด์ ดังนั้นจักรูปวงจรใหม่ แสดงได้ดังในรูป 2.7



รูป 2.7 แบบจำลองสมมูลที่ใช้วิเคราะห์parametric เครื่องต่างๆของการขยายสัญญาณ

จากรูปที่ 2.7 เราสามารถคำนวณหาค่าparametric ต่างๆ ของวงจรเพื่อใช้ในการวิเคราะห์หากำลังอัตราการขยายแรงดัน A_V , อัตราการขยายกระแส A_I , ความต้านทานอินพุต Z_i และความต้านทานเอาท์พุต Z_o ซึ่งการวิเคราะห์เพื่อปริมาณต่างๆ นั้นเราจะใช้หลักการของแบบจำลองของไบโพลาร์ทรานซิสเตอร์แบบ r_e เป็นหลัก

2.2 การออกแบบจุดทำงานและการวิเคราะห์สัญญาณนาคเล็กของ BJT

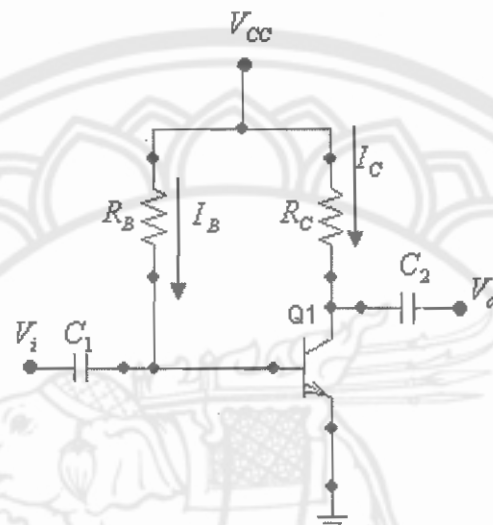
การออกแบบจุดทำงานหรือจุดไบอสของวงจรขยายโดยใช้ทรานซิสเตอร์นี้ ค่าของความต้านทานที่ต่อร่วมกันในวงจรและรูปแบบการต่อใช้งานนี้ เป็นส่วนที่สามารถเปลี่ยนแปลงหรือกำหนดค่าได้โดยผู้ออกแบบเอง เพื่อให้ได้จุดไบอสของวงจรตามที่ต้องการ โดยการวิเคราะห์ห่วงจรแต่ละวงจร จะแยกวิเคราะห์ทีละกรณี ดังนี้

1. วิเคราะห์หาผลตอบสนองเชิงไฟฟ้ากระแสตรงของระบบ เพื่อกำหนดจุดทำงานของทรานซิสเตอร์
 2. วิเคราะห์หาผลตอบสนองเชิงไฟฟ้ากระแสสลับหรือสัญญาณของระบบเพื่อหาอัตราการขยายของสัญญาณหรือผลตอบสนองเชิงความถี่ของสัญญาณ
- ตัวอย่างวงจรที่ใช้ในการออกแบบจุดทำงานและวิเคราะห์สัญญาณนาคเล็กของวงจรไบโพลาร์ทรานซิสเตอร์ มีดังนี้

2.2.1 วงจรไบอัสแบบตายตัว (Fixed – Bias Circuit)

1. การวิเคราะห์ผลตอบสนองสัมผัสด้วยไฟฟ้ากระแสตรง

วงจร Fixed-Bias เป็นวงจรพื้นฐานสำหรับการวิเคราะห์วงจรไบอัสกระแสตรงของทรานซิสเตอร์ ดังรูป วงจรจะแยกสัญญาณ AC input ออกไปโดยการใช้ ตัวเก็บประจุ C_1 และป้องกันการไหลของกระแส DC ออกจากด้านเอาท์พุตด้วย C_2



วงจร Fixed-Bias

การวิเคราะห์วงจร Fixed-Bias สามารถแยกพิจารณาเป็น 2 ส่วน ดังนี้

1. Base-Emitter loop

จาก Kirchhoff's Voltage Law (KVL) สามารถเขียนได้ดังนี้

$$V_{CC} = I_B R_B + V_{BE}$$

$$I_B = \frac{V_{CC} - V_{BE}}{R_B}$$

โดยค่า V_{BE} ของซิลิกอนໄດ້ໂອດຈະນີຄໍາທ່າກັບ 0.7 V และ V_{BE} ของເຊື່ອຮົມເນີຍໄດ້ໂອດຈະນີຄໍາທ່າກັບ 0.3V

2. Collector-Emitter loop

จาก KVL สามารถเขียนได้ดังนี้

$$V_{CC} = I_C R_C + V_{CE} + V_E$$

$$V_{CE} = V_{CC} - I_C R_C - V_E$$

เมื่อขา E ต่อลงกราวด์ทำให้ $V_E = 0V$ ดังนั้น

$$V_{CE} = V_{CC} - I_C R_C$$

$$I_C = \frac{V_{CC} - V_{CE}}{R_C}$$

และ $V_{CE} = V_C$

โดยที่ V_C คือ แรงดันตกคร่อมกอตเตกเตอร์กับกราวด์

จากสมการ $I_B = \frac{V_{CC} - V_{BE}}{R_B}$, I_B ถูกควบคุมโดย R_B และเนื่องจาก I_C สัมพันธ์กับ I_B ด้วยค่า β (สมการที่ 2.2) เพราะฉะนั้นถึงแม้จะปรับค่า R_C ของสมการ $I_C = \frac{V_{CC} - V_{CE}}{R_C}$ ก็ไม่มีผลกระทบกับค่า I_C และ I_B

จุดอิ่มตัวของทรานซิสเตอร์

เมื่อทรานซิสเตอร์อิ่มตัวจะทำให้แรงดัน $V_{CE} = 0V$ หากทำการลัดวงจรระหว่างขา Collector และขา Emitter ของทรานซิสเตอร์ จะสามารถหากระแส Collector ที่จุดอิ่มตัวได้ดังนี้

$$V_{CE} = 0 \text{ และทำให้ } V_{R_C} = V_{CC}$$

จากกฎของโอห์ม สามารถเขียนได้ดังนี้

$$V_{CC} = I_{C_{sat}} R_C$$

$$I_{C_{sat}} = \frac{V_{CC}}{R_C}$$

การวิเคราะห์ DC Load-line

เส้น DC Load – Line เป็นเส้นตรงที่ใช้ในการกำหนดจุดทำงานของทรานซิสเตอร์ เกิดจากการลากเส้นเชื่อมระหว่างจุด 2 จุด ที่ได้จากการเอาต์พุตของวงจร โดยที่สมการเอาต์พุตของวงจร Fixed-Bias คือ $V_{CE} = V_{CC} - I_C R_C$

จุดตัดของ DC Load-line กับเส้นลักษณะสมบัติของทรานซิสเตอร์ จะเป็นจุดทำงานหรือ Q-point ของวงจร โดยจุดทำงานที่เหมาะสมจะอยู่ใน Active Region และ DC Load-line ห้ามออกจากจุดสองจุด คือ

1. จุดตัดบนแกน X

$$\text{ที่ } I_C = 0A; \quad V_{CE} = V_{CC} - I_C R_C$$

$$V_{CE} = V_{CC} - (0)R_C$$

$$V_{CE} = V_{CC} \Big|_{I_C=0mA}$$

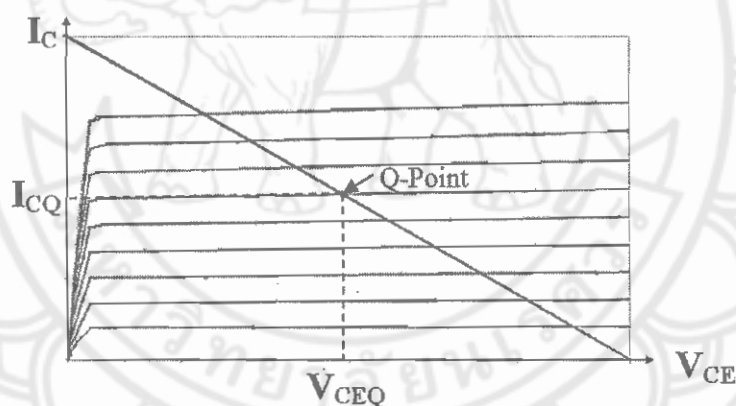
2. จุดตัดบนแกน Y

$$\text{ที่ } V_{CE} = 0V; \quad V_{CE} = V_{CC} - I_C R_C$$

$$0 = V_{CC} - I_C R_C$$

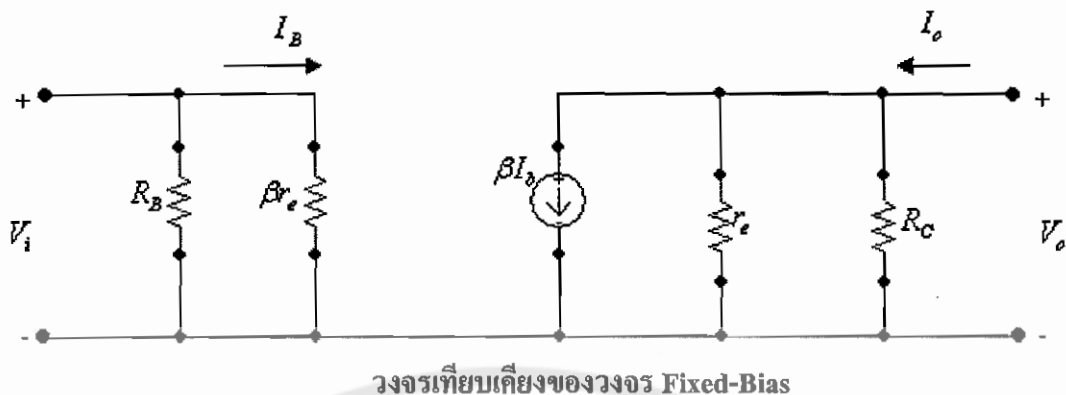
$$I_C = \frac{V_{CC}}{R_C} \Big|_{V_{CE}=0V}$$

นำจุดตัดทั้งสองมาplotลงในกราฟคุณลักษณะของทรานซิสเตอร์ จะได้เส้น DC Load-line ดังรูป



2. การวิเคราะห์ผลตอบสนองเชิงไฟฟ้ากระแสสลับ

การวิเคราะห์สัญญาณนาคเด็กของทรานซิสเตอร์ ทำได้โดยการนำ V_{CC} ลงกราวด์และล็ักวงจร C_1 และ C_2 และแทนทรานซิสเตอร์ด้วยแบบจำลอง r_e จะได้วงจรเทียบเคียง ดังรูป



กรณีคิด r_o

จะได้

$$Z_i = R_B \parallel \beta r_e \approx \beta r_e$$

$$Z_o = r_o \parallel R_C$$

$$A_v = -\frac{R_c \parallel r_o}{r_e}$$

$$A_i = \frac{r_o \beta}{r_o + R_C}$$

กรณีไม่คิด r_o ($r_o = \infty$)

จะได้

$$Z_i = R_B \parallel \beta r_e \approx \beta r_e$$

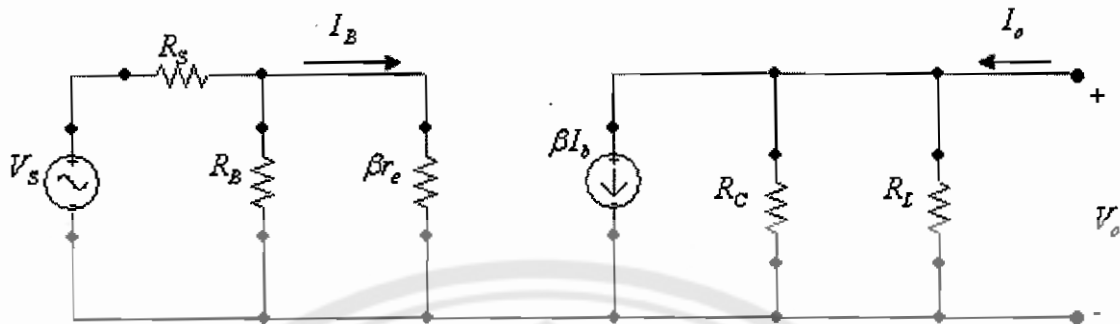
$$Z_o = R_C$$

$$A_{v_{NL}} = -\frac{R_c}{r_e}$$

$$A_i = \beta$$

เนื่องจาก A_v เป็นค่าที่คิดลบ แสดงว่าสัญญาณอินพุตและสัญญาณเอาต์พุตมีเฟสต่างกัน 180 องศาและเนื่องจาก r_o มีค่าสูงกว่า R_C มาก ทำให้ $r_o \parallel R_C \approx R_C$ ถ้าจะคิดถึงผลกระทบของ r_o แต่ A_v และ A_i ไม่เกิดการเปลี่ยนแปลง

กรณีที่คิดผลกระทบของ R_L และ R_s



วงจรเทียบเคียงของวงจร Fixed-Bias กรณีที่คิดผลกระทบของ R_L และ R_s

จากรูป คือวงจรเทียบเคียงของวงจรขยาย Fixed-Bias ซึ่งต่อเข้ากับอัมพิแคนซ์โอลด์ (R_L) และความต้านทานแหล่งจ่าย (R_s)

จากกฎปัจจุบัน

$$Z_i = R_B \parallel \beta r_e$$

$$Z_o = R_C \parallel R_L$$

$$A_v = -\frac{(R_C \parallel R_L)}{r_e}$$

$$A_{V_s} = \frac{V_o}{V_s} = \frac{V_o}{V_i} \frac{V_i}{V_s} = \frac{Z_i}{Z_i + R_s}$$

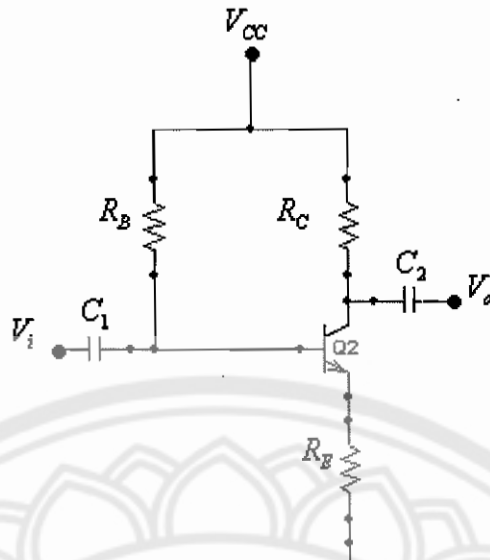
$$A_i = -A_v \frac{Z_i}{R_L}$$

$$A_{i_s} = \frac{I_o}{I_s} = \frac{I_o}{I_i} \frac{I_i}{I_s} = -A_{v_s} \frac{Z_i + R_s}{R_L}$$

2.2.2 วงจร Emitter - Stabilized Bias

1. การวิเคราะห์ผลตอบสนองเชิงไฟฟ้ากระแสตรง

วงจร Emitter - Stabilized Bias คือวงจร Fixed-Bias ที่เพิ่มตัวต้านทานที่ขาอิมิเตอร์ (R_E) เข้าไป เพื่อทำให้วงจรมีเสถียรภาพที่ดีขึ้น จุดทำงานไม่เปลี่ยนแปลงได้ง่ายตามอุณหภูมิ



วงจร Emitter - Stabilized Bias

การวิเคราะห์วงจร Emitter - Stabilized Bias สามารถแยกพิจารณาเป็น 2 ส่วน คันนี้

1. Base - Emitter loop

จาก Kirchhoff's Voltage Law (KVL) สามารถเขียนได้ดังนี้

$$V_{CC} = I_B R_B + V_{BE} + (\beta + 1) I_B R_E$$

$$I_B = \frac{V_{CC} - V_{BE}}{R_B + (\beta + 1) R_E}$$

2. Collector - Emitter loop

จาก KVL สามารถเขียนได้ดังนี้

$$V_{CC} = I_C R_C + V_{CE} + I_C R_E$$

$$V_{CE} = V_{CC} - I_C (R_C + R_E)$$

จุดอิ่มตัวของทรานซิสเตอร์

เมื่อทรานซิสเตอร์อิ่มตัวจะทำให้แรงดัน $V_{CE} = 0V$ หากทำการลัดวงจรระหว่างขา Collector และขา Emitter ของทรานซิสเตอร์ จะสามารถหากระแส Collector ที่จุดอิ่มตัวได้ดังนี้

$$V_{CE} = 0 \text{ และทำให้ } V_{R_C} + V_{R_E} = V_{CC}$$

จากกฎของโอห์ม สามารถเขียนได้ดังนี้

$$V_{CC} = I_C (R_C + R_E)$$

$$I_{C_{sat}} = \frac{V_{CC}}{R_C + R_E}$$

การวิเคราะห์ DC Load-line

สมการเอาต์พุตของวงจร Emitter - Stabilized Bias คือ $V_{CE} = V_{CC} - I_C (R_C + R_E)$
และ DC Load-line หาได้จากจุดสองจุด คือ

1 จุดตัดบนแกน X

$$\text{ที่ } I_C = 0A; \quad V_{CE} = V_{CC} - I_C (R_C + R_E)$$

$$V_{CE} = V_{CC} \Big|_{I_C=0mA}$$

2 จุดตัดบนแกน Y

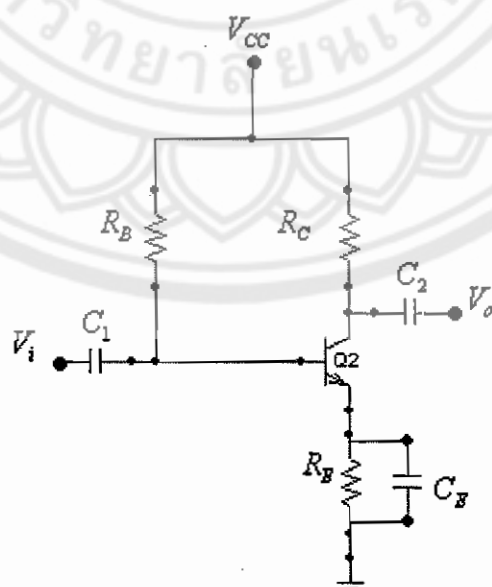
$$\text{ที่ } V_{CE} = 0V; \quad V_{CE} = V_{CC} - I_C (R_C + R_E)$$

$$I_C = \frac{V_{CC}}{R_C + R_E} \Big|_{V_{CE}=0V}$$

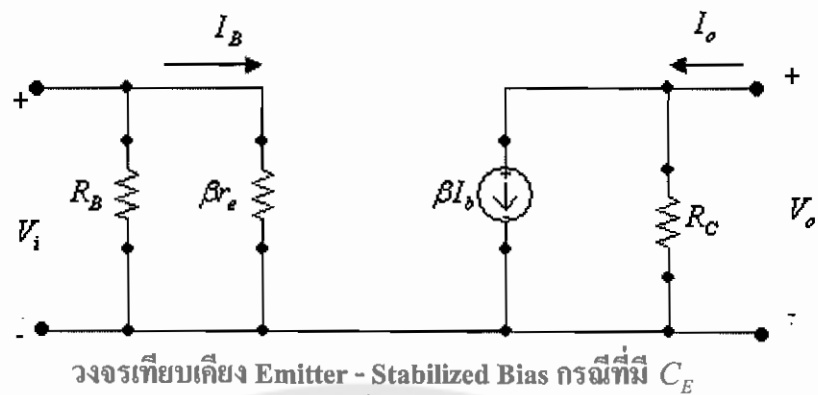
2. การวิเคราะห์ผลตอบสนองเชิงไฟฟ้ากระแสสลับ

การวิเคราะห์สัญญาณขนาดเล็กของทรานซิสเตอร์ ทำได้โดยการนำ V_{CC} ลงกราว์ดและล็ัดวงจร C_1 และ C_2 และแทนทรานซิสเตอร์ด้วยแบบจำลอง τ_e

กรณีที่มี C bypassed จะได้วงจรดังรูป

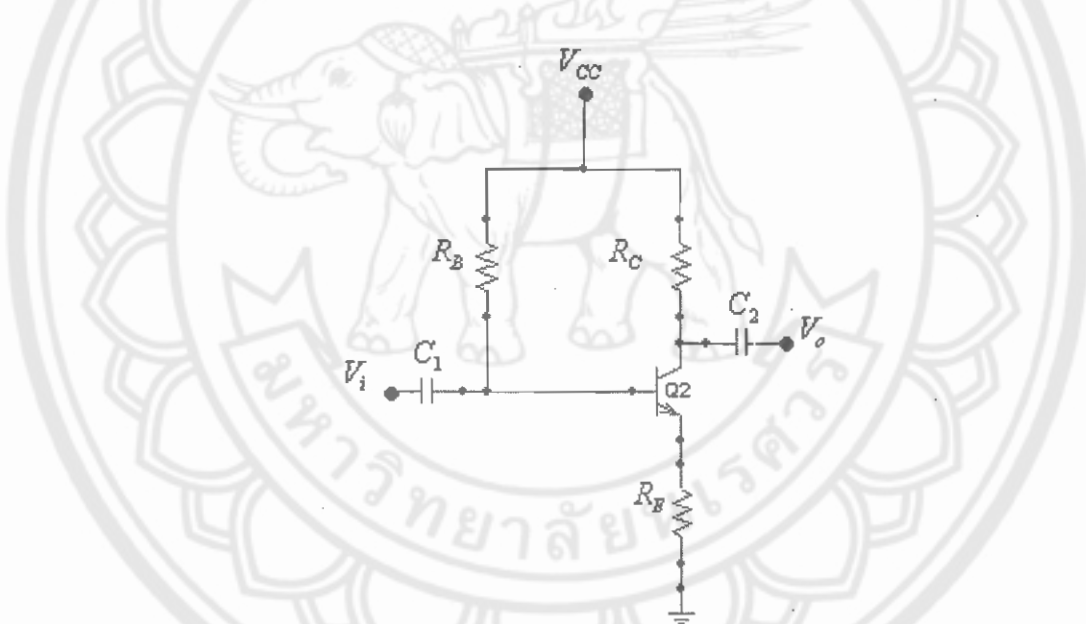


วงจร Emitter - Stabilized Bias กรณีที่มี C_E

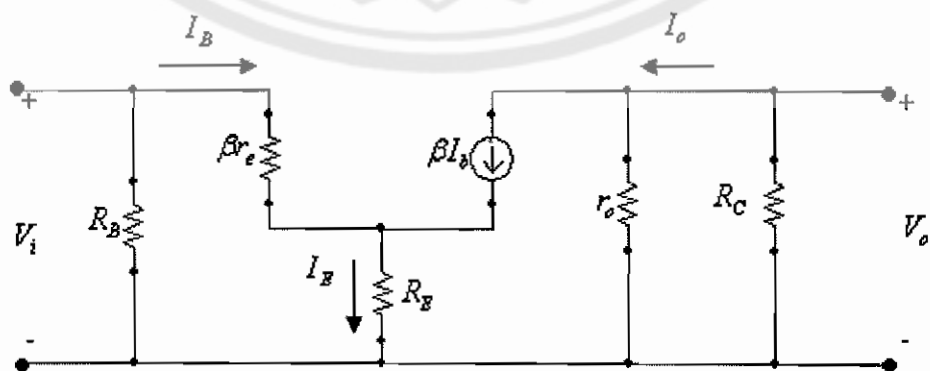


ค่าพารามิเตอร์ต่างๆ ของวงจร Emitter - Stabilized Bias กรณฑ์ที่มี C_E จะเหมือนกับค่าพารามิเตอร์ของวงจร Fixed - Bias

กรณฑ์ที่ไม่มี C bypassed วงจรขยาย Emitter - Stabilized Bias ที่ไม่มีตัวเก็บประจุ C_E มาต่อคร่อมตัวด้านบน R_E จะทำให้มีกระแสไฟฟ้าไหลผ่านตัวด้านบน R_E ดังรูป



วงจร Emitter - Stabilized Bias กรณฑ์ที่ไม่มี C_E



วงจรเทียบเคียง Emitter - Stabilized Bias กรณฑ์ที่ไม่มี C_E

กรณีคิด r_o

จะได้

$$Z_b = \frac{V_i}{I_b} = \beta(r_e + R_E)$$

$$Z_i = R_B \parallel Z_b$$

$$Z_o = r_o \parallel R_C$$

$$A_v = -\frac{R_c \parallel r_o}{r_e + R_E}$$

$$A_i = -A_V \frac{Z_i}{R_C}$$

กรณีไม่คิด r_o ($r_o = \infty$)

จะได้

$$Z_b = \beta(r_e + R_E)$$

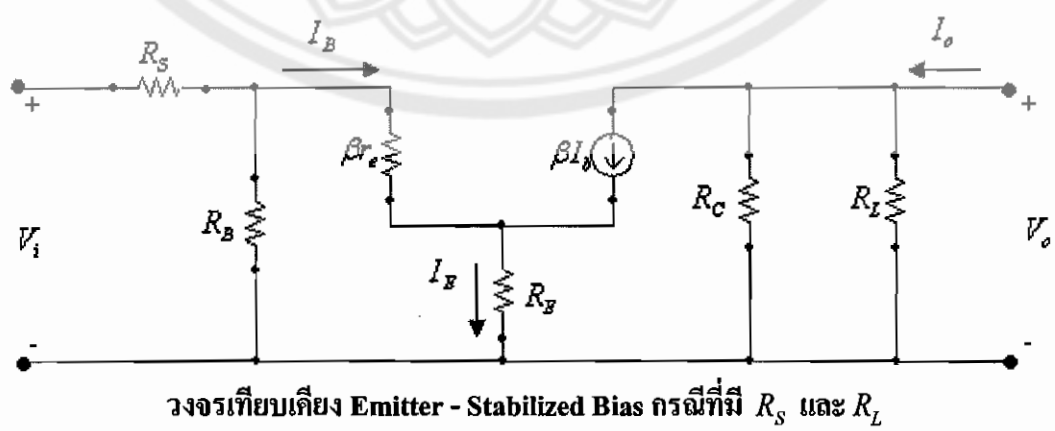
$$Z_i = R_B \parallel Z_b$$

$$Z_o = R_C$$

$$A_v = -\frac{R_c}{r_e + R_E}$$

$$A_i = \frac{I_o}{I_b} \frac{I_b}{I_i} = \frac{\beta R_B}{R_B + Z_B} = -A_V \frac{Z_i}{R_C}$$

กรณีที่คิดผลกรบทบของ R_L และ R_S



ห้องปฏิบัติฯวิศวกรรมศาสตร์ มหาวิทยาลัยนเรศวร

จะได้

$$Z_b = \beta(r_e + R_E)$$

$$Z_i = R_B \parallel Z_B$$

$$Z_o = R_C \parallel R_L$$

$$A_v = -\frac{(R_c \parallel R_L)}{(r_e + R_E)}$$

1436076 X
พร.
12790

$$A_{V_s} = \frac{V_o}{V_i} \frac{V_i}{V_s} = A_v \frac{Z_i}{Z_i + R_s}$$

$$A_i = -A_v \frac{Z_i}{R_L}$$

2551

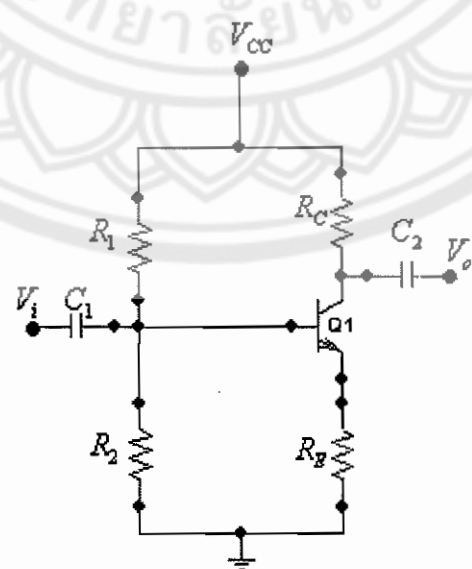
$$A_{i_s} = -A_{V_s} \frac{Z_i + R_s}{R_L}$$

2.2.3 วงจร Voltage – Divider Bias

1. การวิเคราะห์ผลตอบสนองเชิงไฟฟ้ากระแสตรง

วงจร Voltage - Divider Bias เป็นวงจรในอัสทรานซิสเตอร์ที่ได้รับความนิยมมากที่สุด เพราะว่า มีเสถียรภาพดี และวงจรนี้จะเปลี่ยนแปลงน้อยมากเมื่อ β เปลี่ยนหรือเรียกได้ว่า วงจรนี้ไม่ขึ้นอยู่กับ β

ในการวิเคราะห์วงจรนี้เราไม่สามารถทำการวิเคราะห์วงจรได้โดยตรง จะต้องมีการแปลงวงจร เสียใหม่ โดยอาศัยหลักการของเทวินนิมาช่วยในการวิเคราะห์



วงจร Voltage - Divider Bias

การวิเคราะห์วงจร Voltage – Divider Bias สามารถแยกพิจารณาเป็น 2 ส่วน ดังนี้

1. Base - Emitter loop

$$R_{th} = R_{B1} \parallel R_{B2}$$

จากกฎการแบ่งแรงดัน $E_{th} = V_{R2} = V_{CC} \frac{R_{B2}}{R_{B1} + R_{B2}}$

จาก Kirchhoff's Voltage Law (KVL) สามารถเขียนได้ดังนี้

$$E_{th} = I_B R_{th} + V_{BE} + I_E R_E$$

และจาก

$$I_E = (\beta + 1) I_B$$

จะได้

$$E_{th} = I_B R_{th} + V_{BE} + (\beta + 1) I_B R_E$$

$$I_B = \frac{E_{th} - V_{BE}}{R_{th} + (\beta + 1) R_E}$$

2. Collector - Emitter loop

จาก KVL สามารถเขียนได้ดังนี้

$$V_{CC} = I_C R_C + V_{CE} + I_C R_E$$

$$V_{CE} = V_{CC} - I_C (R_C + R_E)$$

จุดอิ่มตัวของทรานซิสเตอร์

เมื่อทรานซิสเตอร์อิ่มตัวจะทำให้แรงดัน $V_{CE} = 0V$ หากทำการลัดวงจรระหว่างขา Collector และขา Emitter ของทรานซิสเตอร์ จะสามารถหากระแส Collector ที่จุดอิ่มตัวได้ดังนี้

$$V_{CE} = 0 \text{ และทำให้ } V_{R_C} + V_{R_E} = V_{CC}$$

จากกฎของโอล์ม สามารถเขียนได้ดังนี้

$$V_{CC} = I_C (R_C + R_E)$$

$$I_{Csat} = \frac{V_{CC}}{R_C + R_E}$$

การวิเคราะห์ DC Load-line

สมการเอาต์พุตของวงจร Voltage – Divider Bias คือ $V_{CE} = V_{CC} - I_C(R_C + R_E)$ และ DC Load-line หาได้จากจุดสองจุด คือ

1 จุดตัดบนแกน X

$$\text{ที่ } I_C = 0A; \quad V_{CE} = V_{CC} - I_C(R_C + R_E)$$

$$V_{CE} = V_{CC} \Big|_{I_C=0mA}$$

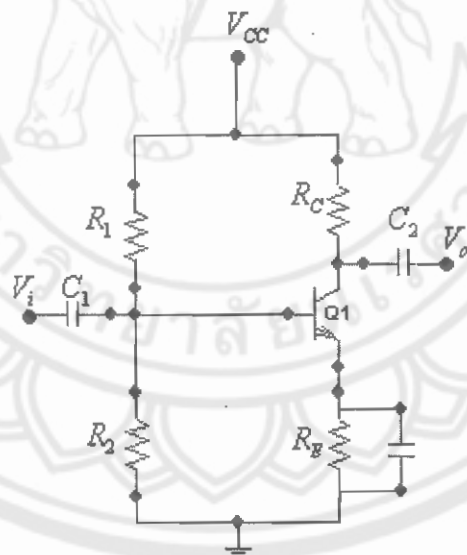
2 จุดตัดบนแกน Y

$$\text{ที่ } V_{CE} = 0V; \quad V_{CE} = V_{CC} - I_C(R_C + R_E)$$

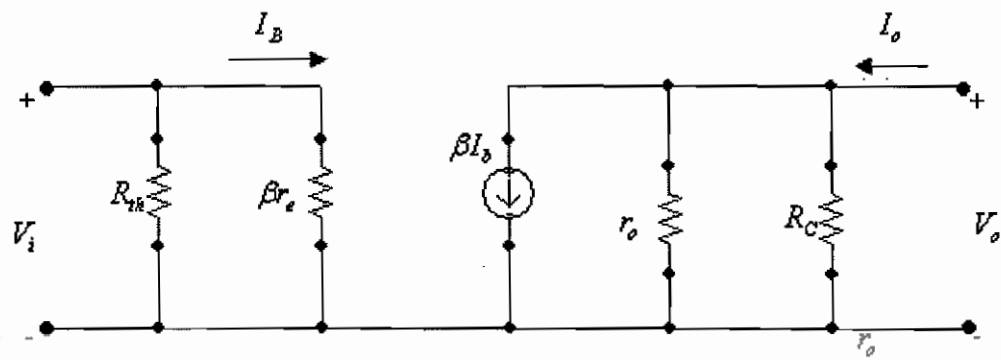
$$I_C = \frac{V_{CC}}{R_C + R_E} \Big|_{V_{CE}=0V}$$

2. การวิเคราะห์ผลตอบสนองเชิงไฟฟ้ากระแสลับ

การวิเคราะห์สัญญาณขนาดเล็กของทรานซิสเตอร์ ทำได้โดยการนำ V_{CC} ลงกราวด์และถ้าวงจร C_1 และ C_2 และแทนทรานซิสเตอร์ด้วยแบบจำลอง r_e



วงจร Voltage - Divider Bias กรามที่มี C_E

วงจรเทียบเคียง Voltage - Divider Bias กรณีที่มี C_E กรณีคิด r_o

จะได้

$$Z_i = R_{Th} \parallel \beta r_e$$

$$Z_0 = r_o \parallel R_c$$

$$A_v = -\frac{R_c \parallel r_o}{r_e}$$

$$A_i = \left(\frac{\beta r_o}{r_o + R_c} \right) \left(\frac{R_{th}}{R_{Th} + \beta r_e} \right)$$

$$\text{หรือ } A_i = -A_v \left(\frac{Z_i}{R_c} \right)$$

กรณีไม่คิด r_o ($r_o = \infty$)

$$R_{Th} = R_{B1} \parallel R_{B2}$$

$$Z_i = R_{Th} \parallel \beta r_e$$

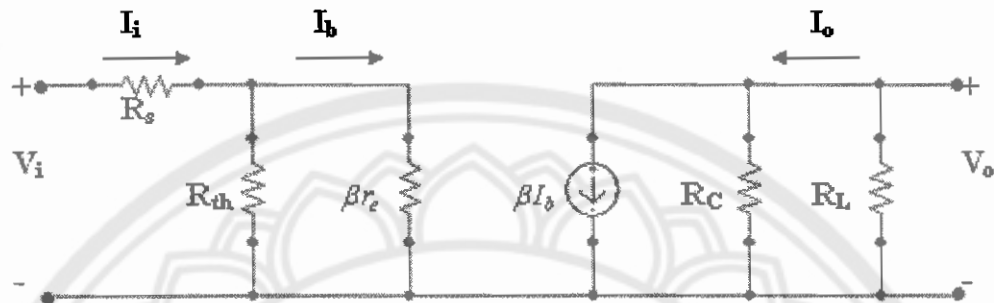
$$Z_0 = R_c$$

$$A_v = -\frac{R_c}{r_e}$$

$$A_i = \left(\frac{I_0}{I_b} \frac{I_b}{I_i} \right) = \left(\frac{\beta R_{Th}}{R_{Th} + \beta r_e} \right)$$

หรือ $A_i = -A_v \left(\frac{Z_i}{R_c} \right)$

กรณีที่คิดผลกระบวนการของ R_L และ R_S



วงจรเทียบเคียง Voltage - Divider Bias กรณีที่มี R_S และ R_L

จะได้

$$Z_i = R_{Th} \parallel \beta r_e$$

$$Z_0 = R_C \parallel R_L$$

$$A_v = \frac{V_o}{V_i} = -\frac{(R_C \parallel R_L)}{r_e}$$

$$A_{V_s} = \frac{V_o}{V_i} \frac{V_i}{V_s} = -\frac{(R_C \parallel R_L)}{r_e} \frac{Z_i}{Z_i + R_s}$$

หรือ $A_{V_s} = A_v \frac{Z_i}{Z_i + R_s}$

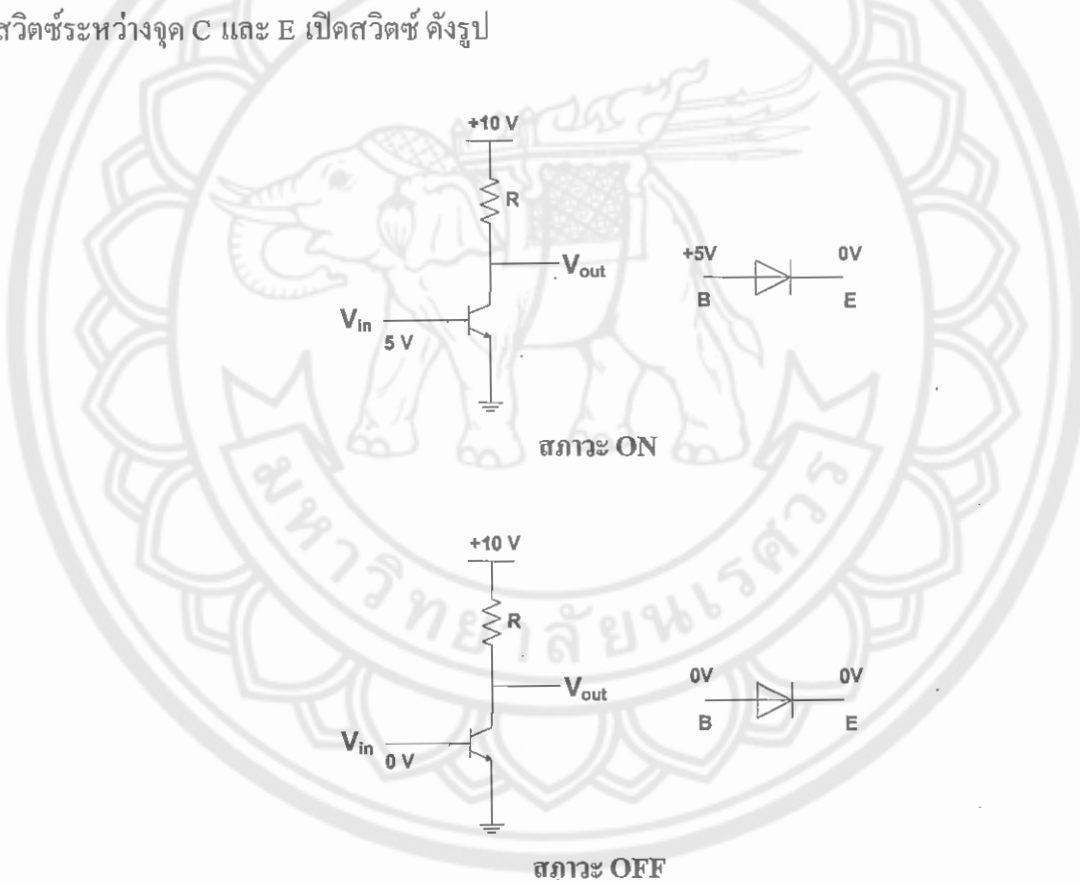
$$A_i = -A_v \frac{Z_i}{R_L}$$

$$A_{i_s} = -A_{v_s} \frac{Z_i + R_s}{R_L}$$

2.3 ตัวอย่างการนำทรานซิสเตอร์ไปใช้งาน

2.3.1 ทรานซิสเตอร์ทำงานเป็นสวิตช์

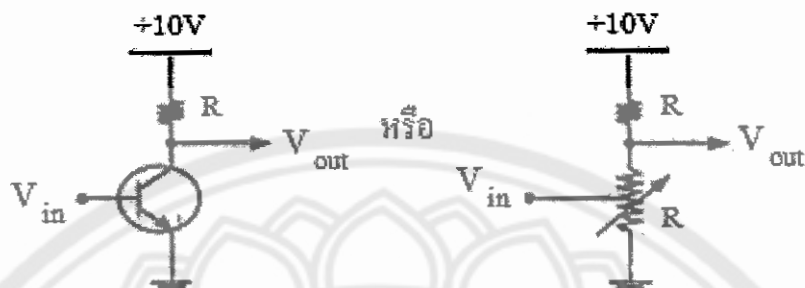
การนำทรานซิสเตอร์ไปใช้งานเป็นสวิตช์ในการปิด-เปิดวงจรของทรานซิสเตอร์จะถูกควบคุมโดยเบส-อัมปิลิเตอร์ไดโอด (B-E) นั่นคือ เมื่อ เบส-อัมปิลิเตอร์ไดโอด ได้รับไฟฟ้าสูงสุด จึงจะต้องเปิด ให้กับเบสของทรานซิสเตอร์ เพื่อให้รอยต่อระหว่าง คอลเลกเตอร์กับ อัมปิลิเตอร์นำกระแสได้ และต้องจ่ายกระแสไฟให้ทรานซิสเตอร์นำกระแสงานอิมคัลจัล กีดกระแสไฟหลักผ่านรอยต่อคอลเลกเตอร์กับอัมปิลิเตอร์ เปรียบได้ว่า สวิตช์ระหว่างจุด C และ E ทำงาน ได้ แต่ถ้าเบส-อัมปิลิเตอร์ไดโอด ได้รับไฟฟ้าต่ำสุด จึงจะอยู่ในสถานะ OFF คือเมื่อหยุดปล่อย กระแสไฟให้กับเบสของทรานซิสเตอร์จะไม่สามารถทำงานเป็นสวิตช์ได้ กระแสคอลเลกเตอร์จะไม่ ไหลผ่านรอยต่อไปสู่อัมปิลิเตอร์ ($I_C = 0$) ขณะนี้ทรานซิสเตอร์จะอยู่ในสถานะคัตออฟ เปรียบได้ว่า สวิตช์ระหว่างจุด C และ E เปิดสวิตช์ ดังรูป



รูปที่ 2.8 ทรานซิสเตอร์ทำงานเป็นสวิตช์

2.3.2 ทรานซิสเตอร์ทำงานเป็นตัวต้านทานชนิดปรับค่าได้

การใช้งานทรานซิสเตอร์นอกจากจะใช้เป็นสวิตช์เปิดปิดจะแล้วความสามารถด้านอื่นของทรานซิสเตอร์ คือ ใช้เป็นตัวต้านทานชนิดปรับค่าได้ โดยมีวงจรสมมูลดังรูป



รูปที่ 2.9 ทรานซิสเตอร์ทำงานเป็นตัวต้านทานปรับค่าได้

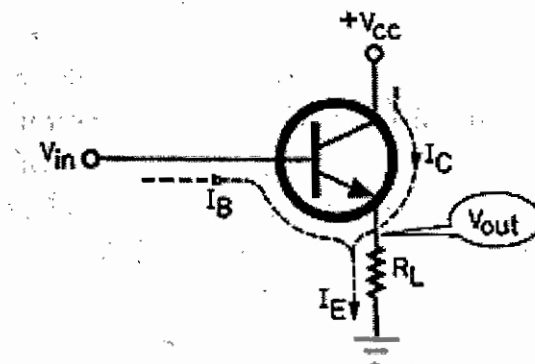
ที่ผ่านมาจะเห็นได้ว่าแรงดันไฟฟ้า +5 V ที่เบสอินพุตทำให้เกิดค่าความต้านทานต่ำระหว่าง อัมปิลิเตอเร่อและคอลเลกเตอเร่อ (เปิดสวิตช์) และเมื่อให้แรงดันไฟฟ้า 0 V จ่ายเข้าที่เบสอินพุต กลับทำให้ เกิดค่าความต้านทานสูงระหว่างอัมปิลิเตอเร่อและคอลเลกเตอเร่อ (เปิดสวิตช์)

2.3.3 การใช้ทรานซิสเตอร์รักษาแรงดันให้คงที่

การขยายกระแสของทรานซิสเตอร์ยังสามารถนำมาใช้เป็นวงจรแรงดันให้คงที่ (Voltage regulator) ได้อีกด้วยโดยต่อวงจรดังรูปที่ 2.27 ซึ่งจะได้แรงดันที่ขา E น้อยกว่าแรงดันที่ B ประมาณ 0.6 โวลต์ นั่นคือ

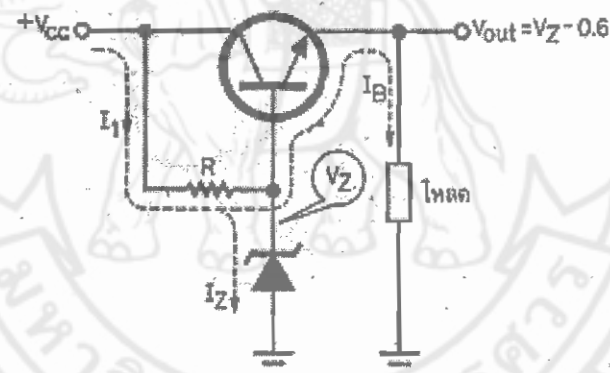
$$V_{out} = V_{in} - 0.6$$

จะเห็นว่าแม้ว่า R_L จะเปลี่ยนค่าไปเท่าไรก็ตาม V_{out} จะไม่เปลี่ยนแปลงตามไปด้วย ที่เป็นเหตุนี้ ได้ ก็เพราะว่าเมื่อ R_L มีค่า負荷 I_B จะมีค่ามากขึ้น ผลก็คือ I_C จะมีค่ามากขึ้นจนทำให้ผลรวมของ I_C และ R_L ซึ่งก็คือ V_{out} มีค่าเท่าเดิม ทำองเดียวกัน ถ้า R_L มีค่ามากขึ้น I_C จะลดลงตามไปด้วยผล รวมของ I_C และ R_L ยังคงได้ผลเท่าเดิมเช่นกัน



รูปที่ 2.10 การใช้ทรานซิสเตอร์รักษาแรงดันให้คงที่ตามค่า V_{in}

จากหลักการในรูปที่ 2.27 แรงดัน V_{out} ที่ได้จะขึ้นอยู่กับ V_{in} โดยตรงและไม่ขึ้นกับโหลด R_L ดังนั้นจึงต้องหาแหล่งจ่าย V_{in} ที่คงที่ ก็คือใช้ซีเนอเริคโอดมาร์ต่อดังรูปที่ 2.28 ซึ่งจะทำให้แรงดันที่ขา B ของทรานซิสเตอร์คงที่อยู่เสมอเท่ากับ V_Z ของซีเนอเริคโอด แรงดัน V_{out} จึงมีค่าเป็น $V_Z - 0.6V$ เสมอ ตัวอย่างเช่น เมื่อต้องการแรงดัน V_{out} เป็น 4.5 โวลต์ก็เลือกซีเนอเริคโอดขนาด 5.1 โวลต์ เป็นดีన



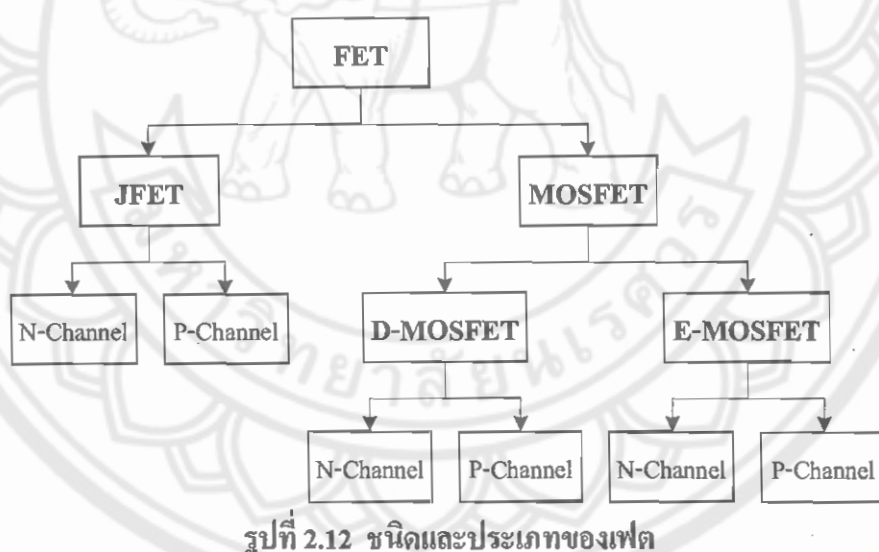
รูปที่ 2.11 การใช้ซีเนอเริคโอดรักษาแรงดันให้คงที่โดยต่อร่วมกับทรานซิสเตอร์

2.4 ทรานซิสเตอร์สนามไฟฟ้า (Field Effect Transistors, FETs)

เฟต มาจากคำว่า Field Effect Transistor เป็นอุปกรณ์สารกึ่งตัวนำอีกตัวหนึ่งที่มีประโยชน์และมีการนำมาใช้งานกันมาก เฟตเป็นทรานซิสเตอร์แบบหนึ่ง เนื่องจากทรานซิสเตอร์ปกติจะมีข้อด้อยในด้านอินพุตอิมพีเดนซ์ที่ค่อนข้างต่ำ ดังนั้นถ้าหากนำมาใช้ในวงจรที่ต้องการอินพุตอิมพีเดนซ์สูงๆ จะต้องออกแบบวงจรค่อนข้างซับซ้อน แต่ปัญหานี้จะหมดไปถ้าหากใช้เฟตแทนทรานซิสเตอร์ เนื่องจากเฟตมีอินพุตอิมพีเดนซ์ที่สูงมาก ทรานซิสเตอร์ธรรมดามักจะทำงานด้วยกระแสไฟฟ้า แต่สำหรับเฟตแล้วจะใช้สนามไฟฟ้าควบคุมการทำงานจึงได้ ชื่อว่า Field effect transistor

2.4.1 โครงสร้างและชนิดของทรานซิสเตอร์สนามไฟฟ้า

เฟตมีด้วยกัน 2 ชนิดคือ เจเฟต (JFET) และมอสเฟต (MOSFET) และแต่ละชนิดยังสามารถแบ่งออกได้เป็น 2 แบบคือ แบบ P – Channel และแบบ N - Channel ดังรูป ส่วนทรานซิสเตอร์แบบสนามไฟฟ้าประเภทที่นิยมใช้กันมากที่สุดในอุปกรณ์อิเล็กทรอนิกส์ต่างๆ คือ MOSFET โดยเฉพาะคิมอสเฟตจะมีอินพุตอิมพีเดนซ์สูงกว่าเจเฟต เราสามารถควบคุมกระแสเสาต์พุคของวงจรได้โดยการควบคุมแรงดันอินพุต (V_i หรือ V_{GS})



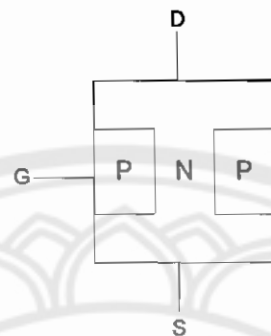
1. เจเฟต (JFET)

เจเฟต (JFET) ย่อมาจากคำว่า Junction Field Effect Transistor ลักษณะโครงสร้างและสัญลักษณ์ แสดงดังรูป เฟตมีขาต่อใช้งาน 3 ขา คือ ขาเกต (gate) เครน (drain) และซอร์ส (source) ระหว่างขาเครนกับซอร์สจะได้รับไนแอสตรอง ดังนั้นกระแสจะไหลจากขาเครนไปยังขาซอร์ส จากกฎของเคอร์ชอฟ สามารถเขียนเป็นสมการได้ดังนี้

$$I_S = I_G + I_D$$

เนื่องจากค่า R_G มีค่าสูงมาก ดังนั้น

$$I_G \approx 0A \text{ และที่ได้ } I_S \approx I_D$$



โครงสร้างของ JFET N – Channel



สัญลักษณ์ N – Channel สัญลักษณ์ P – Channel
รูปที่ 2.13 โครงสร้างและสัญลักษณ์ของ JFET

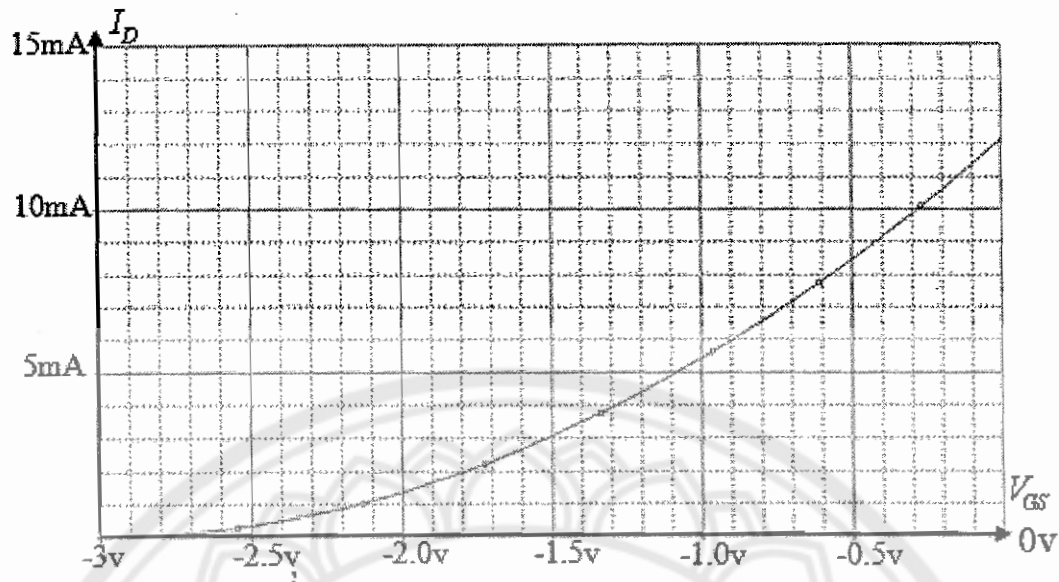
ความสามารถในการนำกระแสของเฟตจ์บีนอยู่กับแรงดันที่ขาเกต ถ้าหากแรงดันที่เกตเป็นลบมากกระแทกจะจางลงอย่างช้าๆ หากแรงดันที่ขาเกตเป็นลบถึงค่าหนึ่ง ก็จะทำให้ไม่มีกระแสเดินทางไป แรงดันเกตที่ค่านี้จะเรียกว่า แรงดันพิทช์อฟ (Pitch off voltage) โดยปกติมีค่าประมาณ -5 โวลต์

คุณลักษณะการถ่ายโอน

ความสัมพันธ์ระหว่างกระแสเอาด์พุต (I_D) และแรงดันอินพุต (V_{GS}) มีลักษณะที่ไม่เป็นเชิงเส้น แสดงในสมการขอกเลย ดังนี้

$$I_D = I_{DSS} \left(1 - \frac{V_{GS}}{V_P} \right)^2 \quad (2.5)$$

จากสมการขอกเลย สามารถเขียนกราฟคุณลักษณะการถ่ายโอนได้ดังรูป



รูปที่ 2.14 กราฟคุณลักษณะการถ่ายโอนของ JFET

หรือใช้วิธีดัง โดยการใช้ค่าจากตารางที่ 2.1

ตารางที่ 2.1 แสดงค่าที่ใช้ในการเขียนกราฟถ่ายโอน

| V_{GS} | I_D |
|----------|-------------|
| 0 | I_{DSS} |
| $0.3V_P$ | $I_{DSS}/2$ |
| $0.5V_P$ | $I_{DSS}/4$ |
| V_P | 0 |

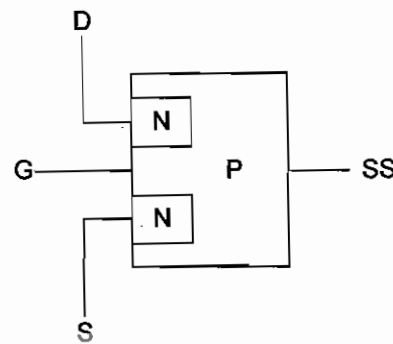
2. นอสเฟต (MOSFET)

นอสเฟตมาจากคำว่า Metal Oxide Semiconductor Field Effect Transistor เป็นทรานซิสเตอร์ชนิดหนึ่งซึ่งมีข้อดีคือ มีค่าความต้านทานอินพุตสูงมากและใช้สนาณไฟฟ้าควบคุมการทำงาน นอสเฟตยังแบ่งเป็น 2 แบบ คือ แบบดีเพลชั่น (depletion) และแบบเอนยานช์เม้นต์ (enhancement)

ดีเพลชั่นนอสเฟต (D - MOSFET)

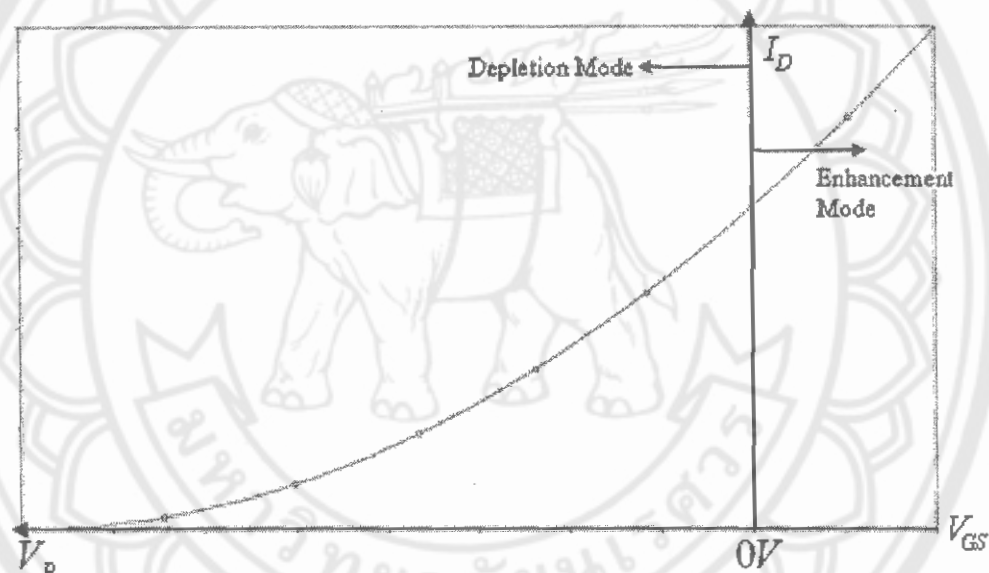
กำหนดให้ V_{GS} มีค่าเป็นศูนย์ แล้วจ่าย V_{DD} ที่ขั้ว D และ S ขั้ว D สามารถดึงดูดอิเล็กตรอนอิสระผ่านชั้นแอนอล ทำให้เกิดกระแส $I_D = I_S = I_{DSS}$ ให้หล่อผ่านชั้นแอนอล ได้

ถ้าจ่าย V_{GS} ที่มีค่าเป็นลบมากจนให้กับขั้วเกท I_D จะมีค่าน้อยลง การทำงานขณะ V_{GS} เป็นลบนี้เราระยกว่า การทำงานในโหมดดีเพลชั่น ถ้าจ่าย V_{GS} มีค่าเป็นบวกให้กับขั้วเกท กระแส I_D จะเพิ่มขึ้นจนมีค่ามากกว่า I_{DSS} การทำงานขณะ V_{GS} เป็นบวกนี้เราระยกว่า การทำงานในโหมดเอนยานช์เม้นต์



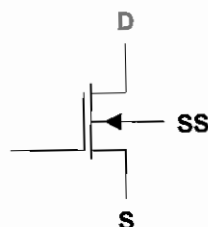
รูปที่ 2.15 โครงสร้างของตีมอสเฟต ชนิด N-Channel

จากสมการซอกเล็ก $I_D = I_{DSS} \left(1 - \frac{V_{GS}}{V_P}\right)^2$ สามารถเขียนกราฟคุณลักษณะได้ดังรูป

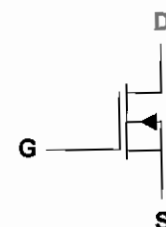


รูปที่ 2.16 กราฟคุณลักษณะของตีมอสเฟต ชนิด N

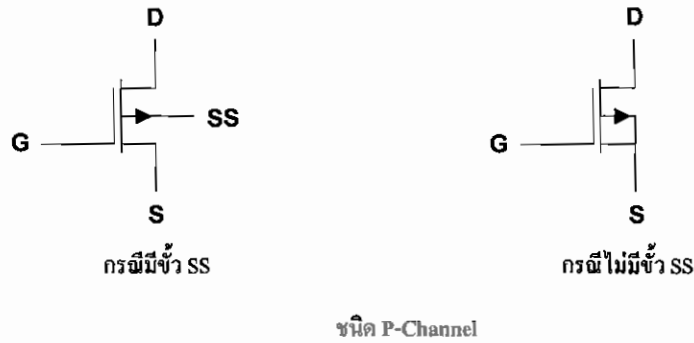
สัญลักษณ์ของตีมอสเฟต



กรณีข้าว SS



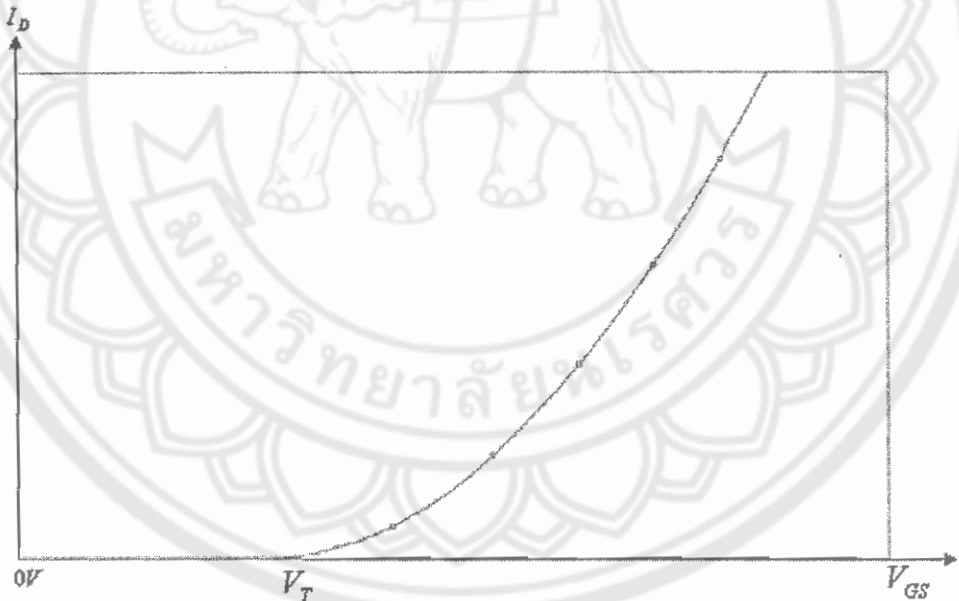
ชนิด N-Channel



รูปที่ 2.17 แสดงสัญลักษณ์ของคิมอสเฟต

สำหรับคิมอสเฟตชนิด P ก็มีหลักการทำงานเช่นเดียวกันกับชนิด N แต่ทิศทางกระแสและขี้วของแรงดันจะกลับกันเท่านั้น

เอนฮานซ์เมเนต์มอสเฟต (E- MOSFET)



รูปที่ 2.18 กราฟคุณลักษณะของอิมอสเฟต ชนิด N

จากกราฟคุณลักษณะของอิมอสเฟต กระแส I_D จะยังไม่เกิดขึ้นจนกระทั่ง V_{GS} จะมีค่าสูงถึงค่าเฉลี่ยค่าหนึ่ง ค่า V_T ที่ทำให้กระแส I_D ไหลได้นี เรียกว่า แรงดันเซอร์สโไฮด์ (Threshold Voltage) สัญลักษณ์ $V_T, V_{GS(Th)}$ ความสัมพันธ์ระหว่าง I_D กับ V_{GS} มีลักษณะที่ไม่เป็นเชิงเส้นดังสมการ

$$I_D = k(V_{GS} - V_T)^2 \quad (2.6)$$

เมื่อ k เป็นค่าคงที่ของโครงสร้างของอีมอสเฟต มีหน่วยคือ A/V^2 ซึ่งหาค่า k ได้จาก

$$k = \frac{I_{D(on)}}{\left(V_{GS(on)} - V_T \right)^2} \quad (2.7)$$

เมื่อ $I_{D(on)}$ และ $V_{GS(on)}$ เป็นค่ากระแสและแรงดันที่ทำให้เกิดขุคเฉพาะบนกราฟคุณลักษณะของมอสเฟต



รูปที่ 2.19 แสดงสัญลักษณ์ของอีมอสเฟต

สำหรับอีมอสเฟตชนิด P ก็มีหลักการทำงานเช่นเดียวกันกับชนิด N แต่ทิศทางกระแสและขี้วของแรงดันจะกลับกันเท่านั้น

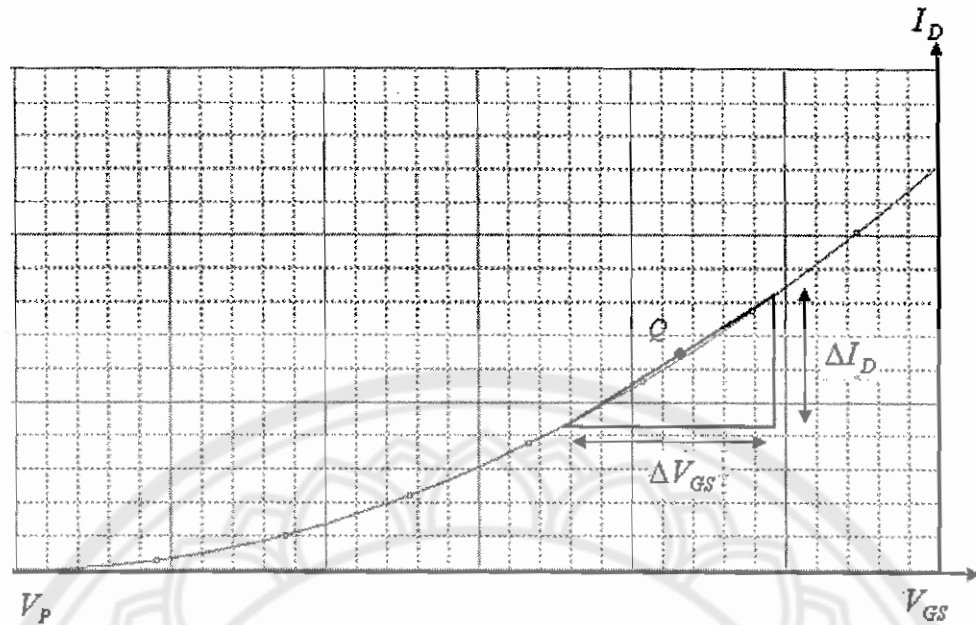
2.4.2 แบบจำลองของเฟต

ในวงจรเทียบคีบของเฟตจะมีค่าอนคักแทนที่ถ่ายโอน (g_m) และความต้านทานเอาต์พุต (r_d) เป็นองค์ประกอบที่สำคัญ ซึ่ง g_m หาได้จากสมการของดังนี้

$$g_m = g_{m0} \left(1 - \frac{V_{GS}}{V_P} \right) \quad (2.8)$$

และ

$$g_{m0} = \frac{2I_{DSS}}{|V_P|} \quad (2.9)$$



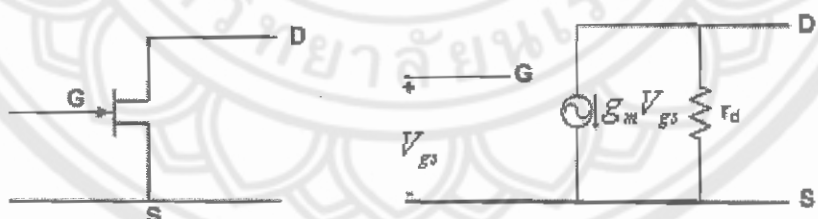
กราฟถ่ายโอนของเฟต

จากรูป จะได้ว่า

$$g_m = \frac{\Delta I_D}{\Delta V_{GS}}$$

วงจรเที่ยบเคียงของเฟต

ในวงจรเที่ยบเคียงของเฟต เราจะแทนเฟตด้วยแหล่งจ่ายกระแสที่ถูกแรงดันควบคุมต่อขนาด กับความต้านทานเอาต์พุต (ความต้านทานระหว่างขั้ว D กับขั้ว S) ดังรูป



รูปที่ 2.20 วงจรเที่ยบเคียงของเฟต

ความต้านทานเอาต์พุตของเฟต หาได้จาก

$$r_d = \frac{\Delta V_{DS}}{\Delta I_D} = \frac{1}{y_{os}}$$

2.5 การออกแบบจุดทำงานและการวิเคราะห์สัญญาณขนาดเล็กของ FET

การออกแบบจุดทำงานหรือจุดในอั况ของวงจรขยายโดยใช้เฟตันน์ จะเหมือนกับการออกแบบจุดทำงานของทรานซิสเตอร์ คือ จะมีการแยกวิเคราะห์ทีละกรณี ดังนี้

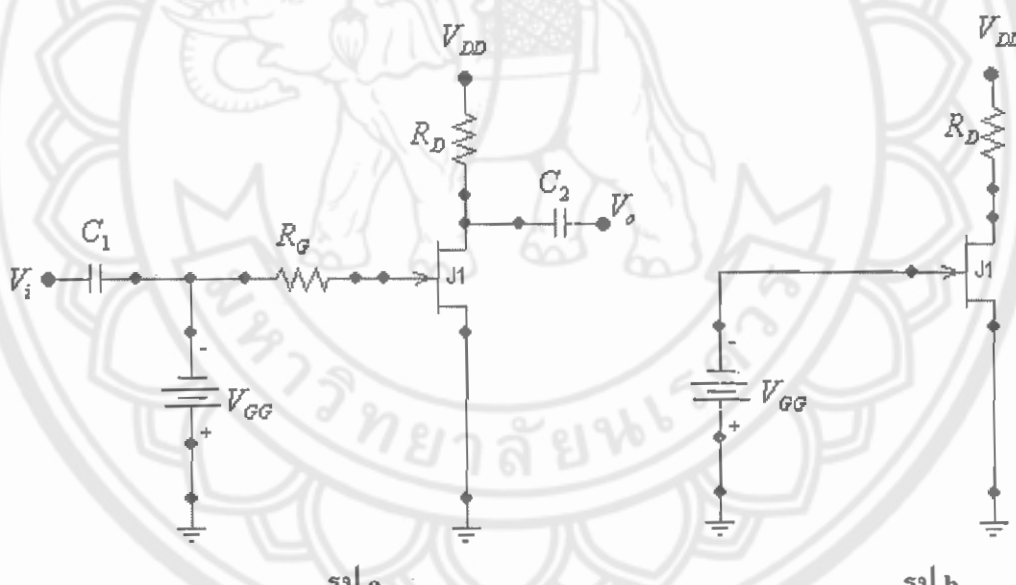
1. วิเคราะห์หาผลตอบสนองเชิงไฟฟ้ากระแสตรงของระบบเพื่อกำหนดจุดทำงานของทรานซิสเตอร์

2. วิเคราะห์หาผลตอบสนองเชิงไฟฟ้ากระแสลับหรือสัญญาณของระบบเพื่อหาอัตราขยายของสัญญาณหรือผลตอบสนองเชิงความถี่ของสัญญาณ

ตัวอย่างวงจรที่ใช้ในการออกแบบจุดทำงานและวิเคราะห์สัญญาณขนาดเล็กของวงจรทรานซิสเตอร์สามารถแบ่งเป็น 2 แบบ ดังนี้

2.5.1 วงจร JFET Fixed – Bias

1. การวิเคราะห์ผลตอบสนองเชิงไฟฟ้ากระแสตรง



วงจร JFET Fixed – Bias

ในการวิเคราะห์ระบบไฟฟ้ากระแสตรงเราจะแทนค่าปั๊ซิเตอร์ C_1, C_2 ด้วยการเปิดวงจร และเมื่อจากค่า R_G มีค่าสูงมากๆ ดังนี้

$$I_G = 0A$$

$$V_{R_G} = I_G R_G = (0A) R_G = 0V$$

สามารถเขียนวงจรเทียบเคียงได้ในรูปดังนี้

จาก KVL จะได้

$$V_{GS} = -V_{GG}$$

$$V_{DS} = V_{DD} - I_D R_D$$

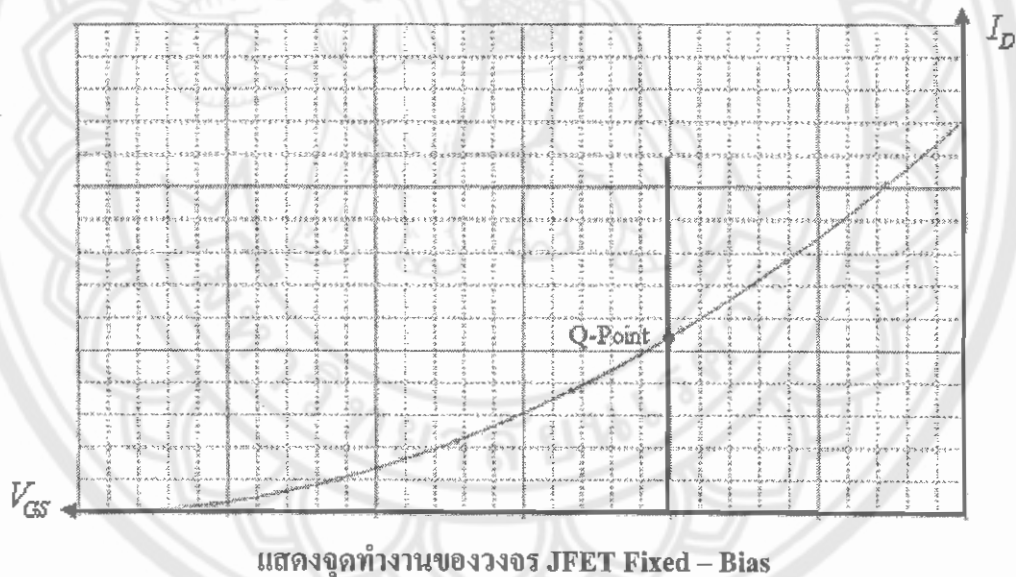
$$V_S = 0V$$

$$V_D = V_{DS} + V_S = V_{DS}$$

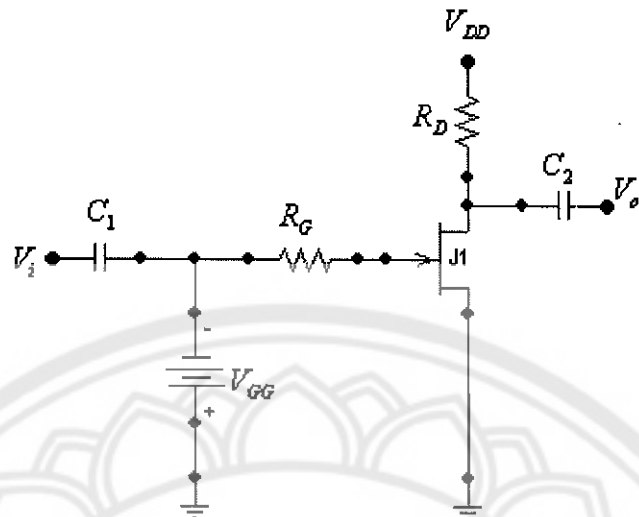
$$V_G = V_{GS} + V_S = V_{GS}$$

จุดทำงานของเฟต

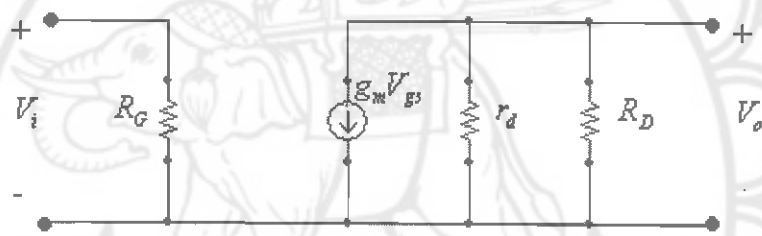
จากกราฟคุณลักษณะการถ่ายโอนของเฟตและสมการเส้นโหลดของวงจร JFET Fixed – Bias จะได้จุดทำงาน (จุด Q - Point) ของวงจร ดังรูป



2. การวิเคราะห์ผลตอบสนองส่วนตัวไฟฟ้ากระแสสัมบูรณ์



วงจร JFET Fixed - Bias



วงจรเทียบเคียง JFET Fixed - Bias

กรณีคิด r_d

จากรูป จะได้

$$Z_i = R_G \text{ และ } Z_o = R_D \parallel r_d$$

หาอัตราขยายแรงดัน (A_V) ได้ดังนี้

$$V_o = -I_o Z_o = -g_m V_{gs} (R_D \parallel r_d)$$

$$V_i = V_{gs}$$

ตั้งนั้น

$$A_V = \frac{V_o}{V_i} = \frac{-g_m V_{gs} (R_D \parallel r_d)}{V_{gs}}$$

$$A_V = -g_m (R_D \parallel r_d)$$

กรณีไม่คิด r_d

จะได้

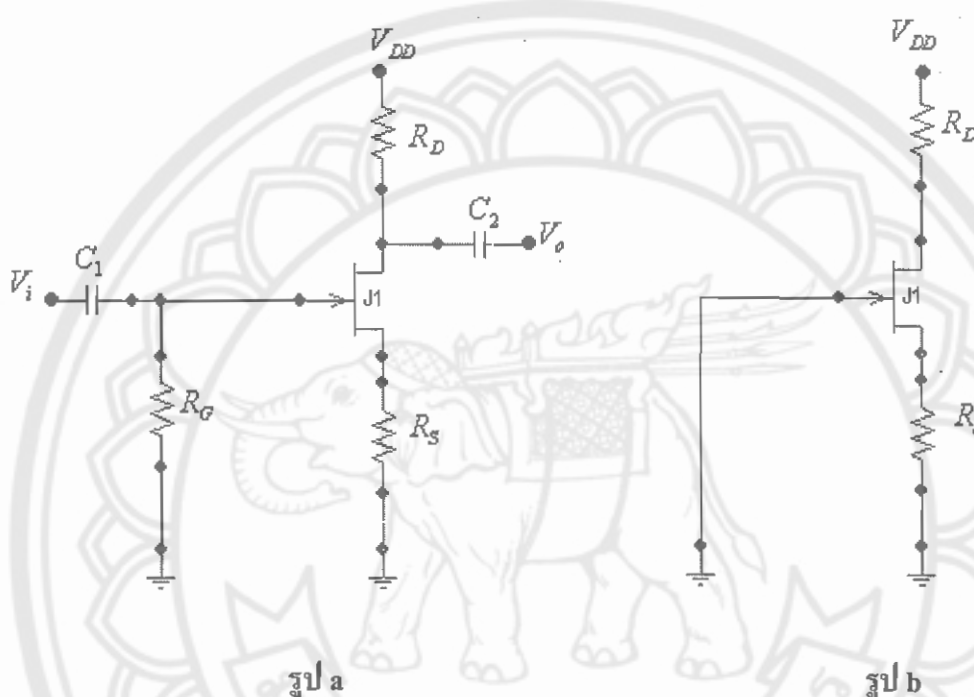
$$Z_i = R_G$$

$$Z_o = R_D$$

$$A_V = -g_m R_D$$

2.5.2 วงจร JFET Self-Bias

1. การวิเคราะห์ผลตอบสนองเชิงไฟฟ้ากระแสตรง



ในการวิเคราะห์ระบบไฟฟ้ากระแสตรงเราจะแทนค่าปั๊มต่อร์ C_1, C_2 ด้วยการเปิดวงจร และเนื่องจากค่า R_G มีค่าสูงมากๆ ดังนั้น

$$I_G = 0A$$

$$V_{R_G} = I_G R_G = (0A) R_G = 0V$$

สามารถเขียนวงจรเทียบเคียงได้ใหม่ดังรูป b

จาก KVL จะได้

$$V_{GS} = -I_D R_S$$

$$V_{DS} = V_{DD} - I_D (R_D + R_S)$$

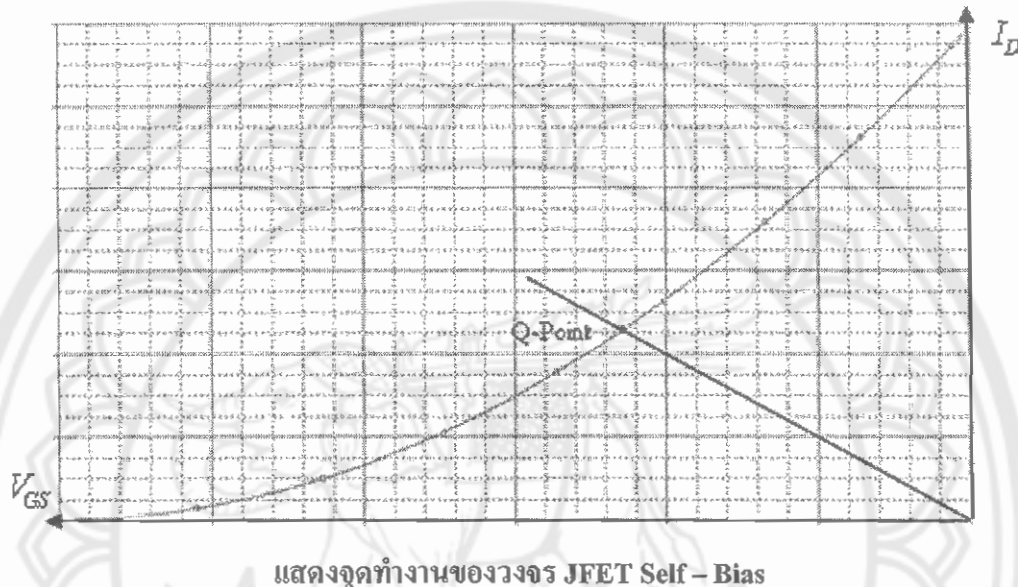
$$V_S = I_D R_S$$

$$V_D = V_{DS} + V_S$$

$$V_G = V_{GS} + V_s$$

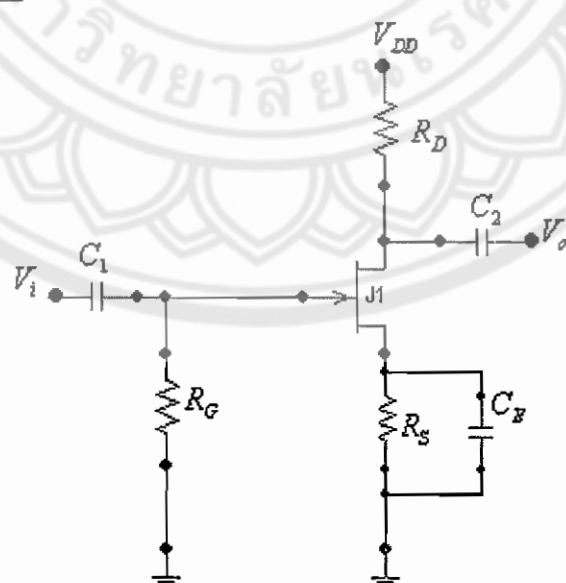
จุดทำงานของเฟต

จากราฟคุณลักษณะการถ่ายโอนของเฟตและสมการเส้นโหลดของวงจร JFET Self – Bias จะได้จุดทำงาน (จุด Q - Point) ของวงจร ดังรูป

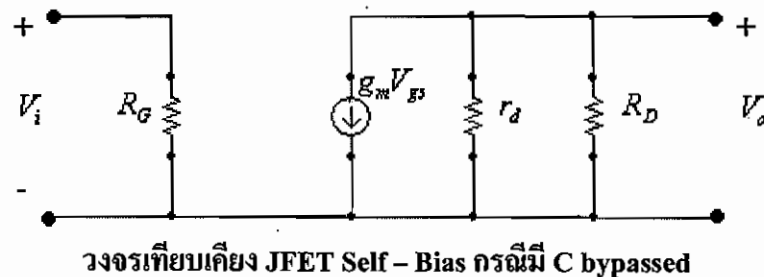


2. การวิเคราะห์ผลตอบสนองเชิงไฟฟ้ากระแสสัมบูรณ์

กรณี C bypassed



วงจร JFET Self – Bias กรณี C bypassed



กรณีคิด r_d

หากรูป จะได้

$$Z_i = R_G$$

$$Z_o = R_D \parallel r_d$$

หาอัตรายยาแรงดัน (A_V) ได้ดังนี้

$$V_o = -I_o Z_o = -g_m V_{gs} (R_D \parallel r_d)$$

$$V_i = V_{gs}$$

ดังนั้น

$$A_V = \frac{V_o}{V_i} = \frac{-g_m V_{gs} (R_D \parallel r_d)}{V_{gs}}$$

$$A_V = -g_m (R_D \parallel r_d)$$

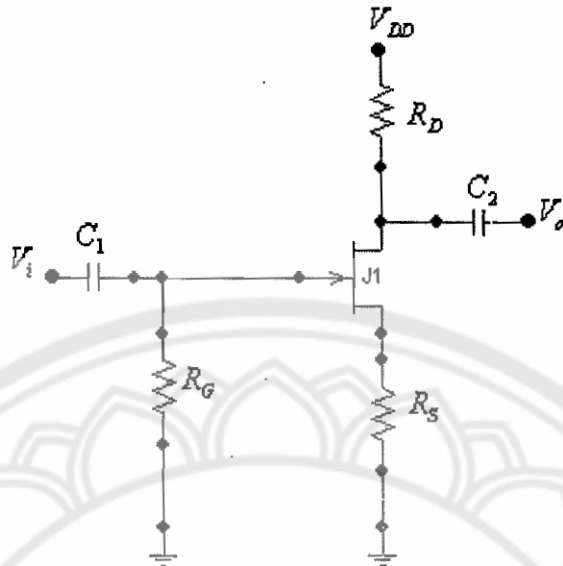
กรณีไม่คิด r_d

จะได้

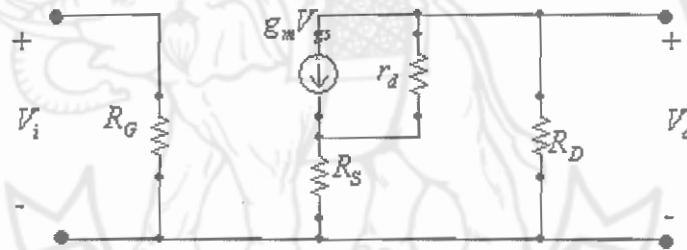
$$Z_i = R_G \text{ และ } Z_o = R_D$$

$$A_V = -g_m R_D$$

กรัณฑ์ไม่มี C bypassed



วงจร JFET Self – Bias กรณฑ์ไม่มี C bypassed



วงจรเทียบเคียง JFET Self – Bias กรณฑ์ไม่มี C bypassed

กรณฑ์คิด r_d

จากกฎ จะได้

$$Z_i = R_G$$

$$Z_o = R_D$$

หากอัตราขยายแรงดัน (A_V) ได้ค้างนี้

จาก KCL จะได้

$$I_D = g_m V_{gs} + I'$$

$$\text{เนื่องจาก } V_{gs} = V_i - V_S = V_i - I_D R_S \text{ และ } I' = \frac{V_o - V_S}{r_d} = \frac{V_o - I_D R_S}{r_d}$$

จะได้

$$I_D = g_m V_i - g_m I_D R_S - \frac{I_D R_D}{r_d} - \frac{I_D R_S}{r_d}$$

$$I_D = \frac{g_m V_i}{1 + g_m R_S + \frac{R_D + R_S}{r_d}}$$

เนื่องจาก $V_o = -I_D R_D$

จะได้

$$V_o = -\frac{g_m V_i R_D}{1 + g_m R_S + \frac{R_D + R_S}{r_d}}$$

$$A_V = \frac{V_o}{V_i} = -\frac{g_m R_D}{1 + g_m R_S + \frac{R_D + R_S}{r_d}}$$

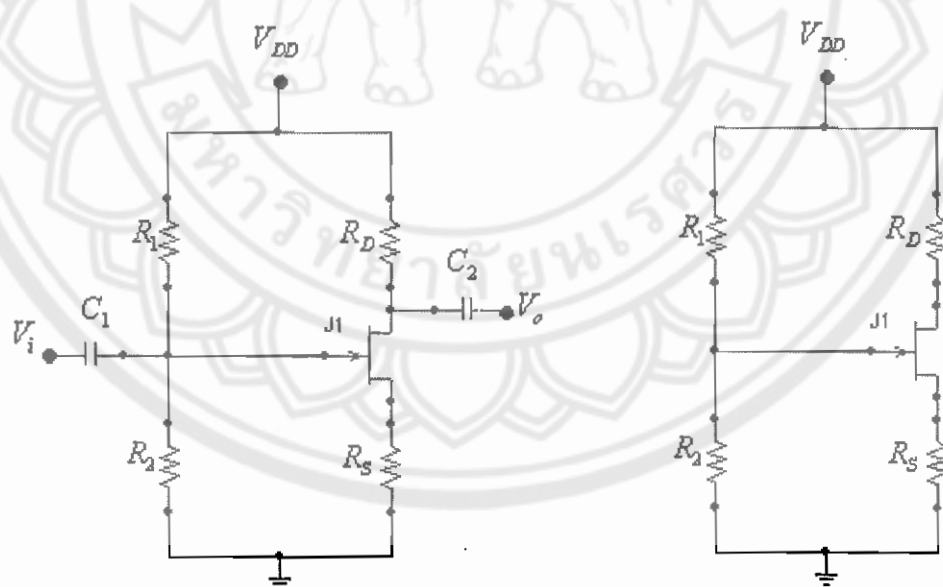
กรณีไม่คิด r_d

จะได้

$$A_V = \frac{V_o}{V_i} = -\frac{g_m R_D}{1 + g_m R_S}$$

2.5.3 วงจร JFET Voltage – Divider Bias

1. การวิเคราะห์ผลตอบสนองของไฟฟ้ากระแสตรง



รูป a

รูป b

วงจร JFET Voltage - Divider

ในการวิเคราะห์ระบบไฟฟ้ากระแสตรงเราจะแทนค่าปัจจิตร์ C_1, C_2 ด้วยการเปิดวงจร
ดังนี้จะได้

$$I_G = 0A$$

สามารถเขียนวงจรเทียบเคียงได้ใหม่ดังรูป ๖

จากกฎการแบ่งแรงดัน

$$V_G = V_{DD} \frac{R_2}{R_1 + R_2}$$

จาก KVL จะได้

$$V_{GS} = V_G - I_D R_S$$

$$V_{DS} = V_{DD} - I_D (R_D + R_S)$$

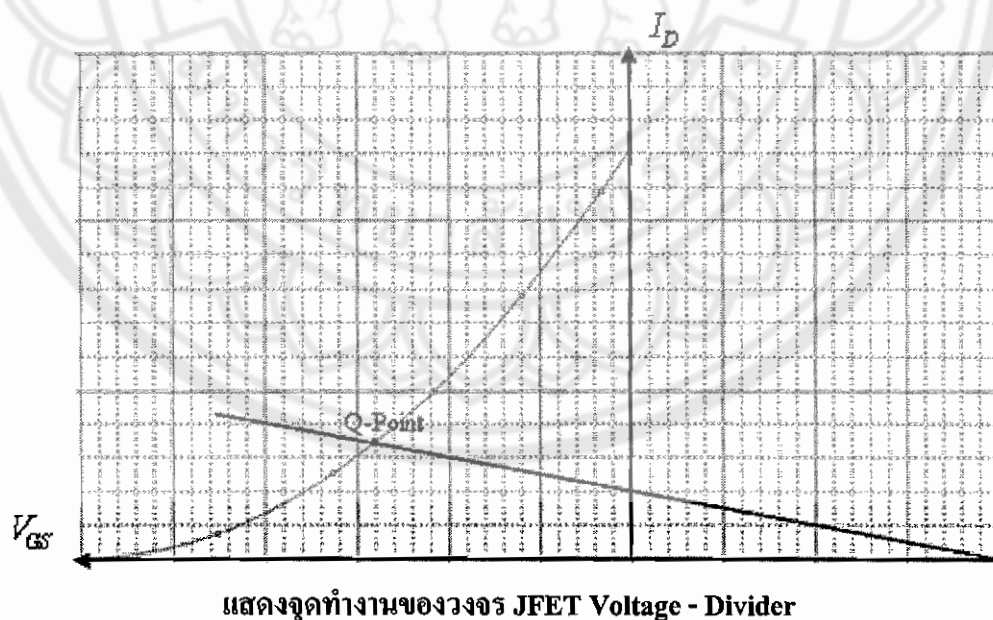
$$V_S = I_D R_S$$

$$V_D = V_{DS} + V_S$$

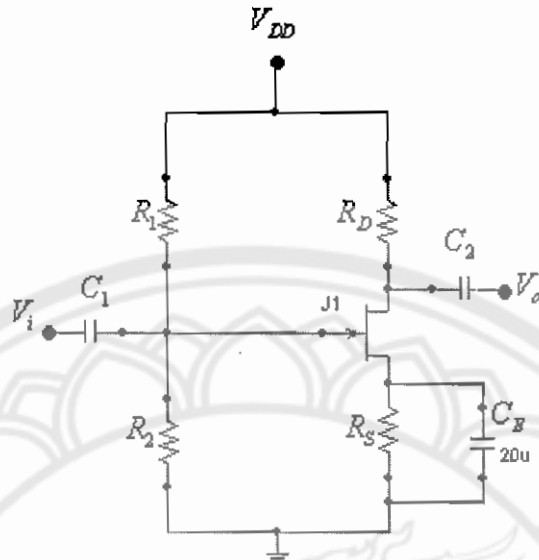
$$V_G = V_{GS} + V_S$$

จุดทำงานของเพด

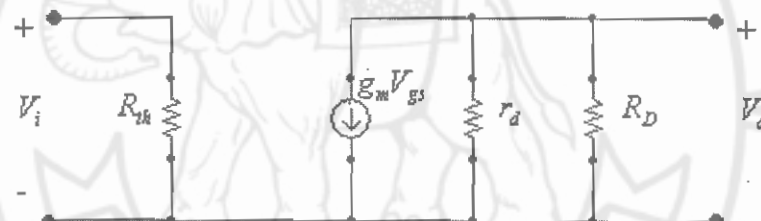
จากราฟคุณลักษณะการถ่ายโอนของเฟตและสมการเดินทางของวงจร JFET Voltage-Divider จะได้จุดทำงาน (จุด Q - Point) ของวงจร ดังรูป



2. การวิเคราะห์ผลตอบสนองเชิงไฟฟ้ากระแสสัมบูรณ์
กรณี C bypassed



วงจร JFET Voltage – Divider กรณี C bypassed



วงจรเทียบเคียง JFET Voltage – Divider กรณี C bypassed

กรณีคิด r_d

จากที่ได้

$$Z_i = R_{th}$$

$$Z_o = R_D \parallel r_d$$

หาอัตราขยายแรงดัน (A_V) ได้ดังนี้

$$V_o = -I_o Z_o = -g_m V_{gs} (R_D \parallel r_d)$$

$$V_i = V_{gs}$$

ดังนั้น

$$A_V = \frac{V_o}{V_i} = \frac{-g_m V_{gs} (R_D \parallel r_d)}{V_{gs}}$$

$$A_V = -g_m (R_D \parallel r_d)$$

กรณ์ไม่คิด r_d

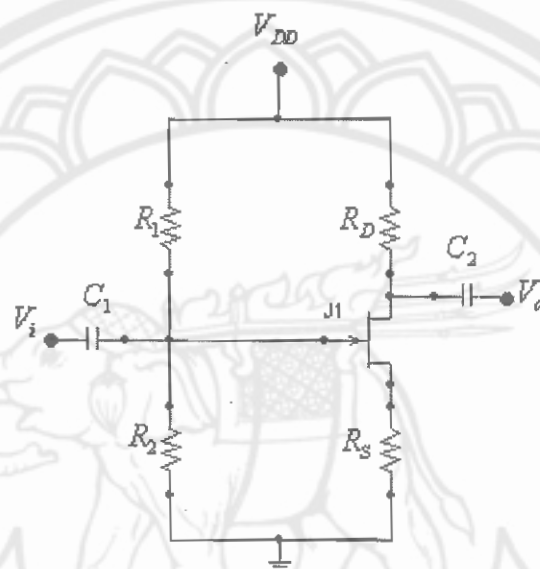
จะได้

$$Z_i = R_{th}$$

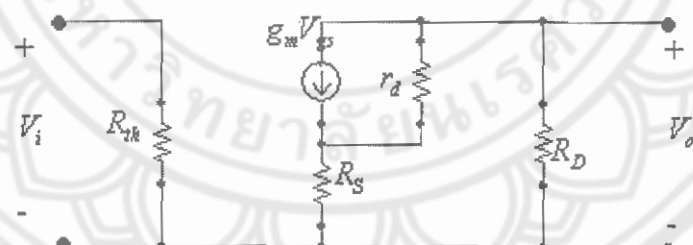
$$Z_o = R_D$$

$$A_V = -g_m R_D$$

กรณ์ไม่มี C bypassed



วงจร JFET Voltage – Divider กรณ์ไม่มี C bypassed



วงจรเทียบเคียง JFET Voltage – Divider กรณ์ไม่มี C bypassed

กรณ์คิด r_d

จากรูป จะได้

$$Z_i = R_{th}$$

$$Z_o = R_D$$

หาอัตราขยายแรงดัน (A_V) ให้ดังนี้

จาก KCL จะได้

$$I_D = g_m V_{gs} + I'$$

$$I_D = \frac{g_m V_i}{1 + g_m R_S + \frac{R_D + R_S}{r_d}}$$

เนื่องจาก $V_o = -I_D R_D$

จะได้

$$V_o = -\frac{g_m V_i R_D}{1 + g_m R_S + \frac{R_D + R_S}{r_d}}$$

$$A_V = \frac{V_o}{V_i} = -\frac{g_m R_D}{1 + g_m R_S + \frac{R_D + R_S}{r_d}}$$

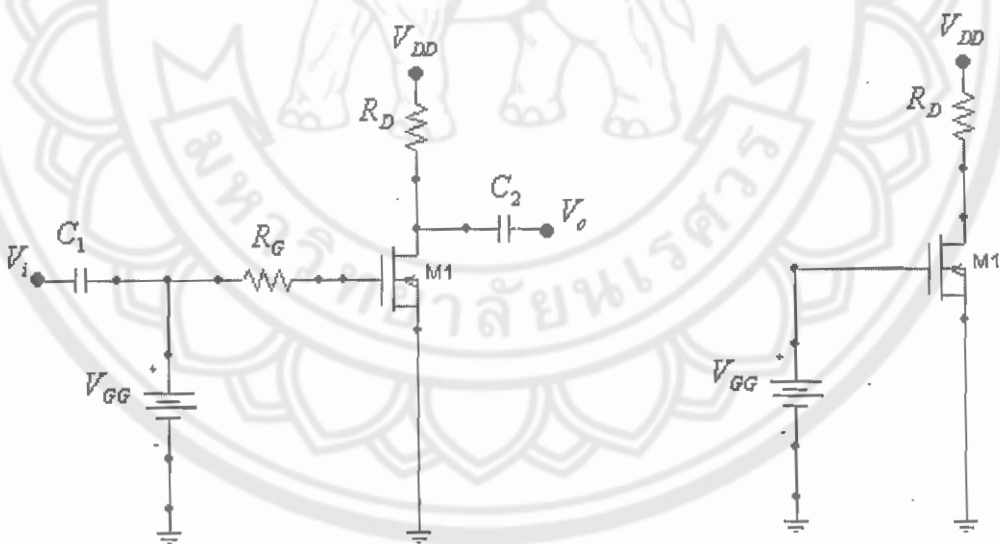
กรณีไม่คิด r_d

จะได้

$$A_V = \frac{V_o}{V_i} = -\frac{g_m R_D}{1 + g_m R_S}$$

2.5.4 วงจร D - MOSFET Fix - Bias

1. การวิเคราะห์ผลตอบสนองเชิงไฟฟ้ากระแสสัมภาร



รูป a

รูป b

วงจร D - MOSFET Fixed – Bias

ในการวิเคราะห์ระบบไฟฟ้ากระแสสัมภาระแทนค่าปัจจิตร์ C_1, C_2 ด้วยการเปิดวงจร และเนื่องจากค่า R_G มีค่าสูงมากๆ ดังนี้

$$I_G = 0A$$

$$V_{R_G} = I_G R_G = (0A) R_G = 0V$$

สามารถเขียนวงจรเทียบเคียงได้ใหม่ดังรูป ๖

จาก KVL จะได้ $V_{GS} = V_{GG}$

และ $V_{DD} = I_D R_D + V_{DS}$

$$V_{DS} = V_{DD} - I_D R_D$$

$$V_S = 0V$$

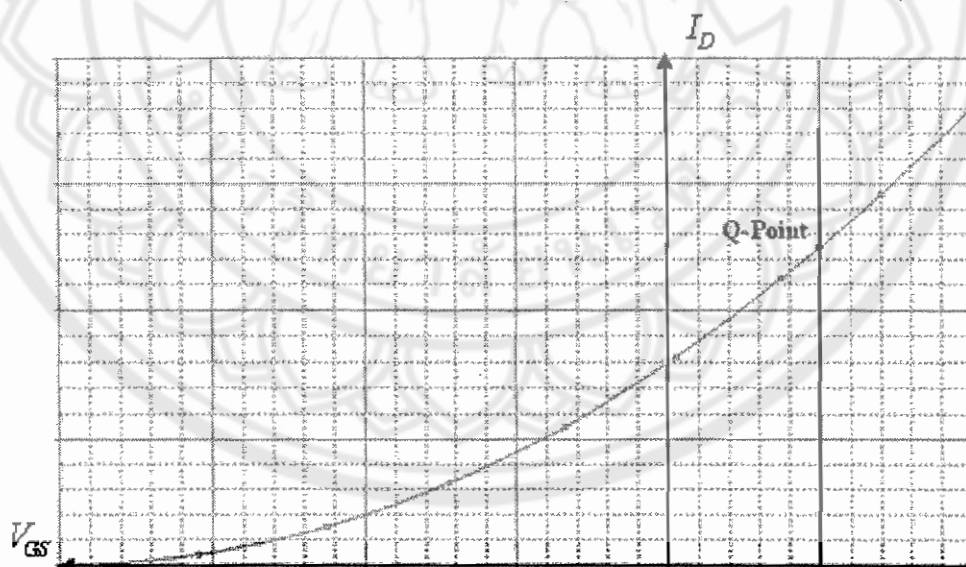
$$V_D = V_{DS} + V_S = V_{DS}$$

$$V_G = V_{GS} + V_S = V_{GS}$$

จุดทำงานของเฟต

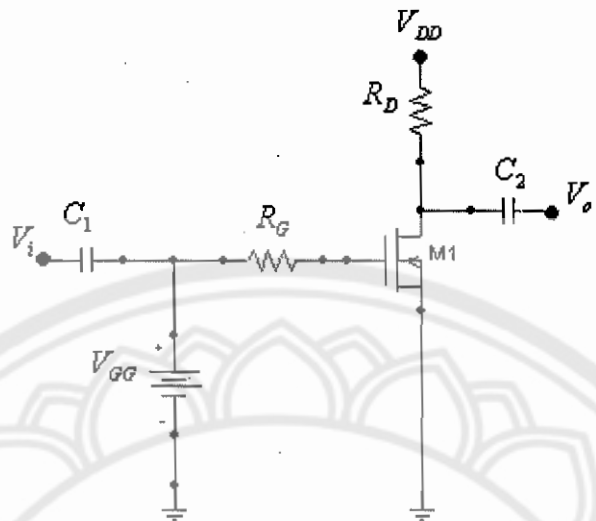
จากราฟคุณลักษณะการถ่ายโอนของเฟตและสมการเส้นโหลดของวงจร D - MOSFET Fixed

- Bias จะได้จุดทำงาน (จุด Q - Point) ของวงจร ดังรูป

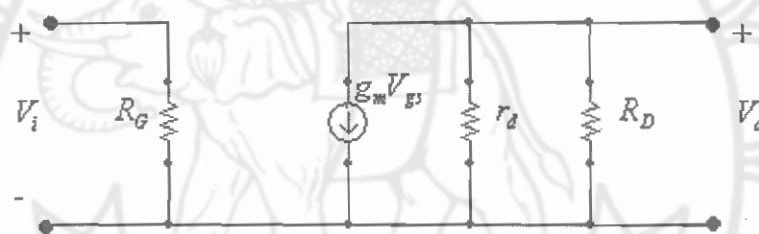


แสดงจุดทำงานของวงจร D - MOSFET Fixed – Bias

2. การวิเคราะห์ผลตอบสนองเชิงไฟฟ้ากระแสสัมบัน



วงจร D - MOSFET Fixed - Bias



วงจรเทียบเคียง D - MOSFET Fixed - Bias

กรณีคิด r_d

จากกฎปัจจุบันได้

$$Z_i = R_G$$

$$Z_o = R_D \parallel r_d$$

หาอัตราขยายแรงดัน (A_V) ได้ดังนี้

$$V_o = -I_o Z_o = -g_m V_{gs} (R_D \parallel r_d)$$

$$V_i = V_{gs}$$

ดังนั้น

$$A_V = \frac{V_o}{V_i} = \frac{-g_m V_{gs} (R_D \parallel r_d)}{V_{gs}}$$

$$A_V = -g_m (R_D \parallel r_d)$$

กรณีไม่มีคิด r_d

จะได้

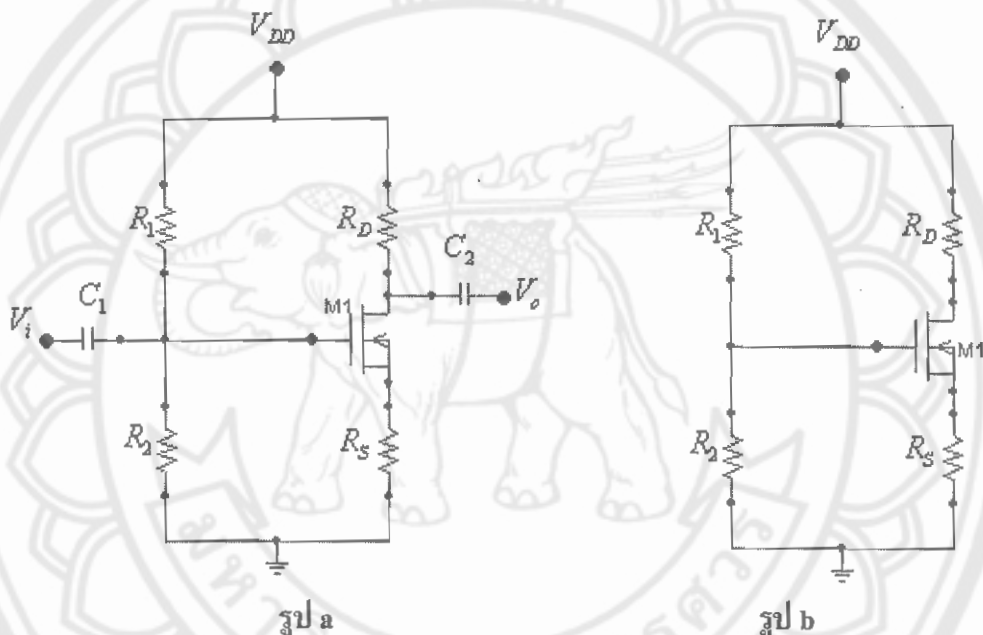
$$Z_i = R_G$$

$$Z_o = R_D$$

$$A_v = -g_m R_D$$

2.5.5 วงจร D – MOSFET Voltage Divider Bias

1. การวิเคราะห์ผลตอบสนองเชิงไฟฟ้ากระแสสัมภาร



วงจร D - MOSFET Voltage - Divider

ในการวิเคราะห์ระบบไฟฟ้ากระแสสัมภาร เราจะแทนค่าปั๊ซิเตอร์ C_1, C_2 ด้วยการเปิดวงจรจะได้

$$I_G = 0A$$

สามารถเขียนวงจรเทียบเคียงได้ใหม่ดังรูป b

จากกฎการแบ่งแรงดัน

$$V_G = V_{DD} \frac{R_2}{R_1 + R_2}$$

จาก KVL จะได้

$$V_{GS} = V_G - I_D R_S$$

และ

$$V_{DS} = V_{DD} - I_D (R_D + R_S)$$

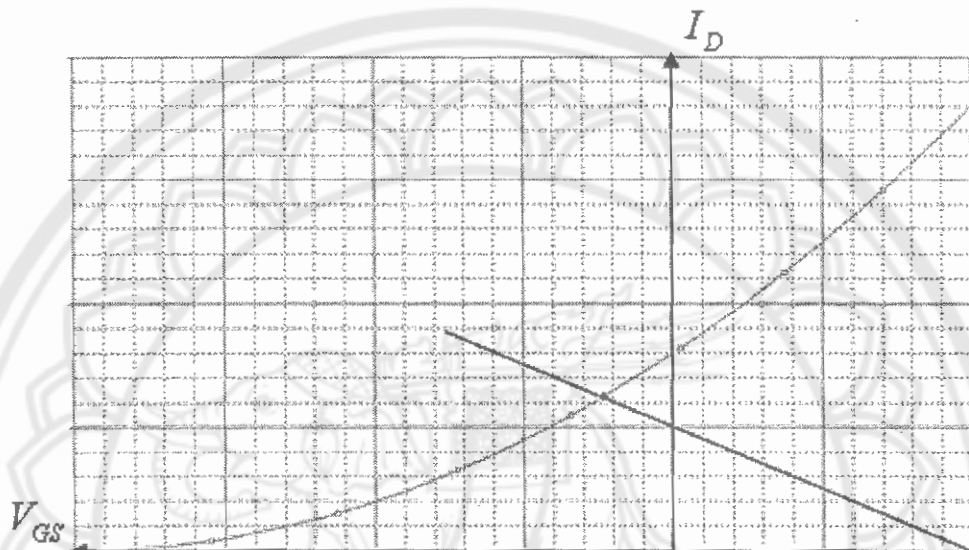
$$V_S = I_D R_S$$

$$V_D = V_{DS} + V_s$$

$$V_G = V_{GS} + V_s$$

จุดทำงานของเฟต

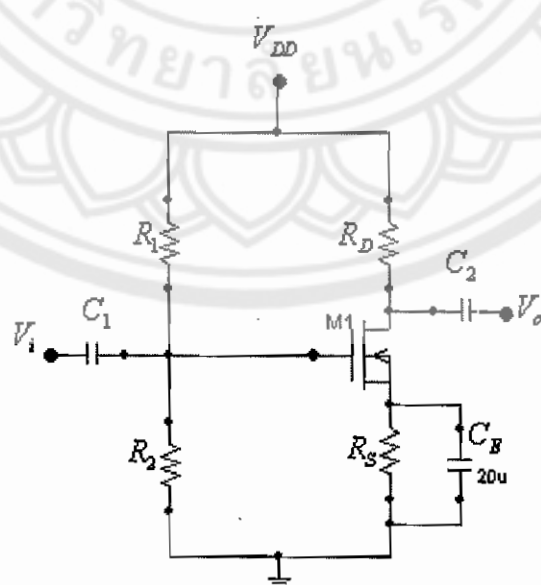
จากการคุณลักษณะการถ่ายโอนของเฟตและสมการเด่น โหลดของวงจร D - MOSFET Voltage – Divider จะได้จุดทำงาน (จุด Q - Point) ของวงจร ดังรูป



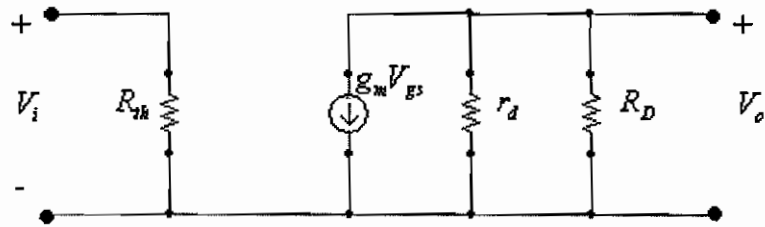
แสดงจุดทำงานของวงจร D - MOSFET Voltage – Divider

2. การวิเคราะห์ผลตอบสนองเชิงไฟฟ้ากระแสลับ

กรณี C bypassed



วงจร D - MOSFET Voltage – Divider กรณี C bypassed



วงจรเที่ยบเคียง D - MOSFET Voltage - Divider กรณี C bypassed

กรณีคิด r_d

จากรูปจะได้

$$Z_i = R_{th}$$

$$Z_o = R_D \parallel r_d$$

หาอัตราย่างเร่งดัน (A_V) ได้ดังนี้

$$V_o = -I_o Z_o = -g_m V_{gs} (R_D \parallel r_d)$$

$$V_i = V_{gs}$$

คั่งน้ำ

$$A_V = \frac{V_o}{V_i} = \frac{-g_m V_{gs} (R_D \parallel r_d)}{V_{gs}}$$

$$A_V = -g_m (R_D \parallel r_d)$$

กรณีไม่คิด r_d

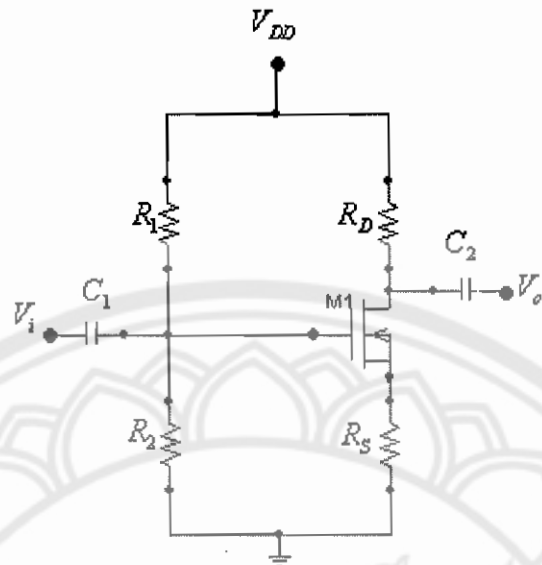
จะได้

$$Z_i = R_G$$

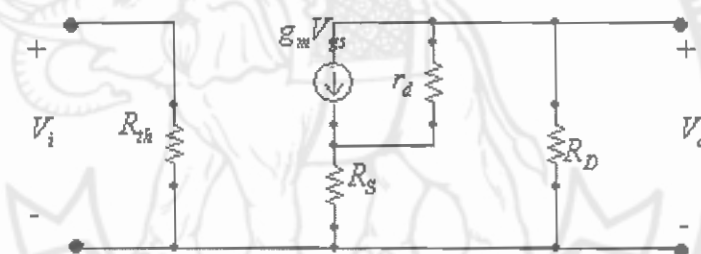
$$Z_o = R_D$$

$$A_V = -g_m R_D$$

กรณีไม่มี C bypassed



วงจร D - MOSFET Voltage – Divider กรณีไม่มี C bypassed



วงจรเทียบเคียง D - MOSFET Voltage – Divider กรณีไม่มี C bypassed

กรณีคิด r_d

จากรูป จะได้

$$Z_i = R_{ih}$$

$$Z_o = R_D$$

หาอัตรารายแรงดัน (A_V) ได้ดังนี้

จาก KCL จะได้ $I_D = g_m V_{gs} + I'$

$$I_D = \frac{g_m V_i}{1 + g_m R_S + \frac{R_D + R_S}{r_d}}$$

$$\text{เนื่องจาก } V_o = -I_D R_D \quad \text{จะได้} \quad V_o = -\frac{g_m V_i R_D}{1 + g_m R_S + \frac{R_D + R_S}{r_d}}$$

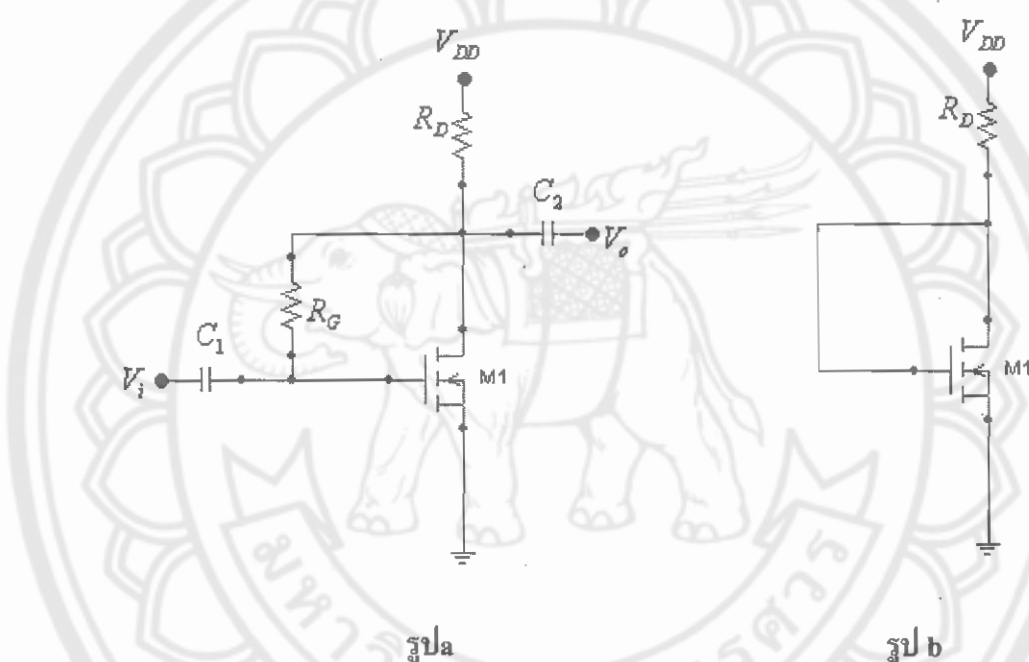
$$A_V = \frac{V_o}{V_i} = -\frac{g_m R_D}{1 + g_m R_S + \frac{R_D + R_S}{r_d}}$$

กรณีไม่คิด r_d จะได้

$$A_V = \frac{V_o}{V_i} = -\frac{g_m R_D}{1 + g_m R_S}$$

2.5.6 วงจร E – MOSFET Voltage Feedback

1. การวิเคราะห์ผลตอบสนองเชิงไฟฟ้ากระแสตรง



วงจร E - MOSFET Voltage – Feedback

ในการวิเคราะห์ระบบไฟฟ้ากระแสตรงเราจะแทนค่าปัจจิตร์ C_1, C_2 ด้วยการเปิดวงจร และเนื่องจากค่า R_G มีค่าสูงมากๆ ดังนั้น

$$I_G = 0A$$

$$V_{R_G} = I_G R_G = (0A) R_G = 0V$$

สามารถเขียนวงจรเทียบเคียงได้ใหม่ดังรูป b

จาก KVL จะได้

$$V_{GS} = V_{DS}$$

และ

$$V_{DS} = V_{DD} - I_D R_D$$

จะมี

$$V_{GS} = V_{DD} - I_D R_D$$

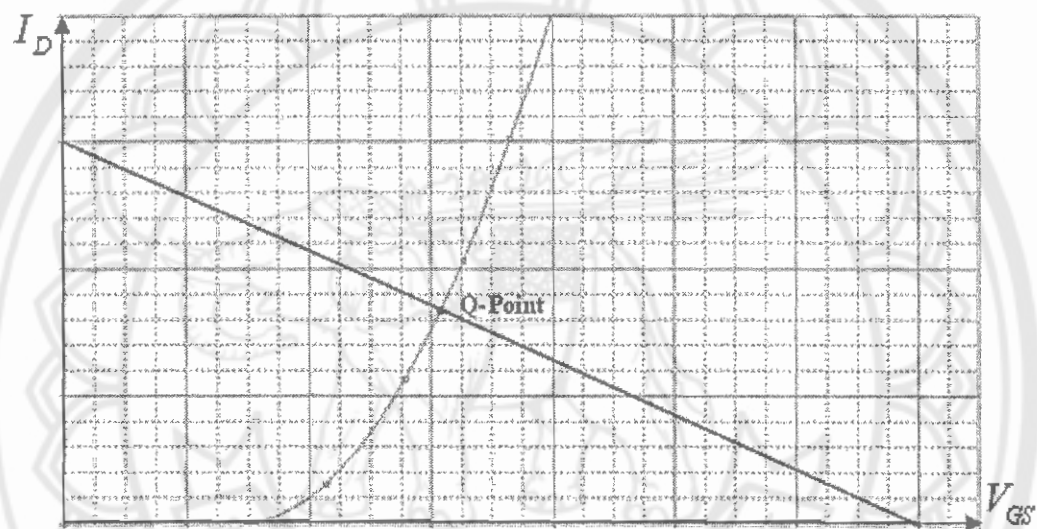
$$V_S = 0V$$

$$V_D = V_{DS} + V_S = V_{DS}$$

$$V_G = V_{GS} + V_S = V_{GS}$$

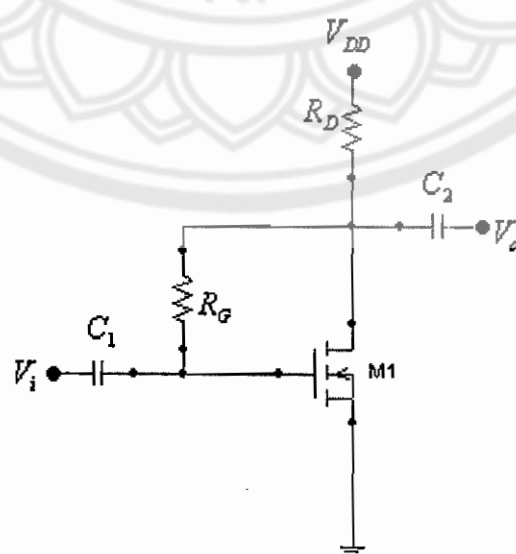
จุดทำงานของไฟต์

จากการฟุ้กถ่ายผลของการถ่ายโอนของเฟตและสมการเส้นโหลดของวงจร E - MOSFET Voltage – Feedback จะได้จุดทำงาน (จุด Q - Point) ของวงจร ดังรูป

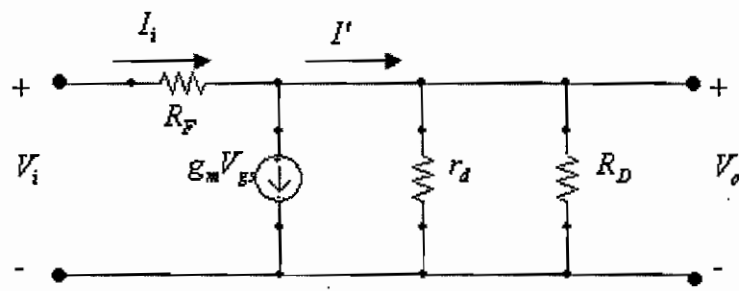


แสดงจุดทำงานของวงจร E - MOSFET Voltage – Feedback

2. การวิเคราะห์ผลตอบสนองเชิงไฟฟ้ากระแสลับ



วงจร E - MOSFET Voltage – Feedback



วงจรเกียบเดียว E - MOSFET Voltage - Feedback

กราฟที่คิด r_o

จากกฎปิชี KCL จะได้

$$I_i = I' + g_m V_{gs}$$

เมื่อจาก

$$I' = \frac{V_o}{r_d \| R_D} \text{ และ } V_{gs} = V_i$$

$$I_i = \frac{V_o}{r_d \| R_D} + g_m V_i$$

จะได้

$$V_o = (I_i - g_m V_i)(r_d \| R_D)$$

จากกฎปิชี ได้

$$I_i = \frac{V_i - V_o}{R_F} = \frac{V_i - (I_i - g_m V_i)(r_d \| R_D)}{R_F}$$

$$I_i R_F = V_i - (r_d \| R_D) I_i + (r_d \| R_D) g_m V_i$$

$$I_i (R_F + (r_d \| R_D)) = V_i (1 + g_m (r_d \| R_D))$$

จะได้

$$Z_i = \frac{V_i}{I_i} = \frac{R_F + (r_d \| R_D)}{1 + g_m (r_d \| R_D)}$$

และ

$$Z_o = R_F \| r_d \| R_D \approx R_D$$

จากสมการข้างต้น

$$I_i = I' + g_m V_{gs}$$

และเมื่อจาก

$$I_i = \frac{V_i - V_o}{R_F}, I' = \frac{V_o}{r_d \| R_D} \text{ และ } V_{gs} = V_i$$

จะได้

$$\frac{V_i - V_o}{R_F} = \frac{V_o}{r_d \| R_D} + g_m V_i$$

$$V_i \left(\frac{1}{R_F} - g_m \right) = V_o \left(\frac{1}{r_d \| R_D} + \frac{1}{R_F} \right)$$

$$A_V = \frac{V_o}{V_i} = \frac{\frac{1}{R_F} - g_m}{\frac{1}{r_d \| R_D} + \frac{1}{R_F}}$$

เนื่องจาก R_F มีค่าสูงมากฉะนั้น $A_V = -g_m (r_d \| R_D)$

กรณีที่ไม่คิด r_o ($r_o = \infty$)

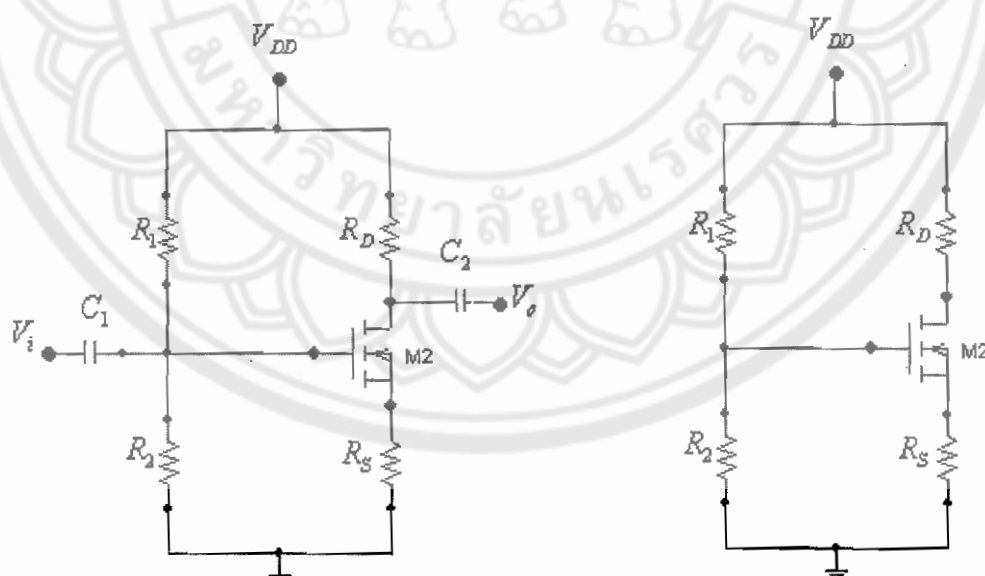
$$Z_i = \frac{R_F + R_D}{1 + g_m R_D} \approx \frac{R_F}{1 + g_m R_D}$$

$$Z_o = R_F \| R_D \approx R_D$$

$$A_V = -g_m R_D$$

2.5.7 วงจร E – MOSFET Voltage - Divider Bias

1. การวิเคราะห์ผลตอบสนองเชิงไฟฟ้ากระแสตรง



รูป a

รูป b

วงจร E - MOSFET Voltage – Divider

ในการวิเคราะห์ระบบไฟฟ้ากระแสตรงเราจะแทนค่าปัจจัยต่อร์ C_1, C_2 ด้วยการเปิดวงจร

ดังนี้จะได้

$$I_G = 0A$$

สามารถเขียนวงจรเที่ยบเคียงได้ใหม่ดังรูป ๖

จากกฎการแบ่งแรงดัน

$$V_G = V_{DD} \frac{R_2}{R_1 + R_2}$$

จาก KVL จะได้

$$V_{GS} = V_G - I_D R_S$$

และ

$$V_{DS} = V_{DD} - I_D (R_D + R_S)$$

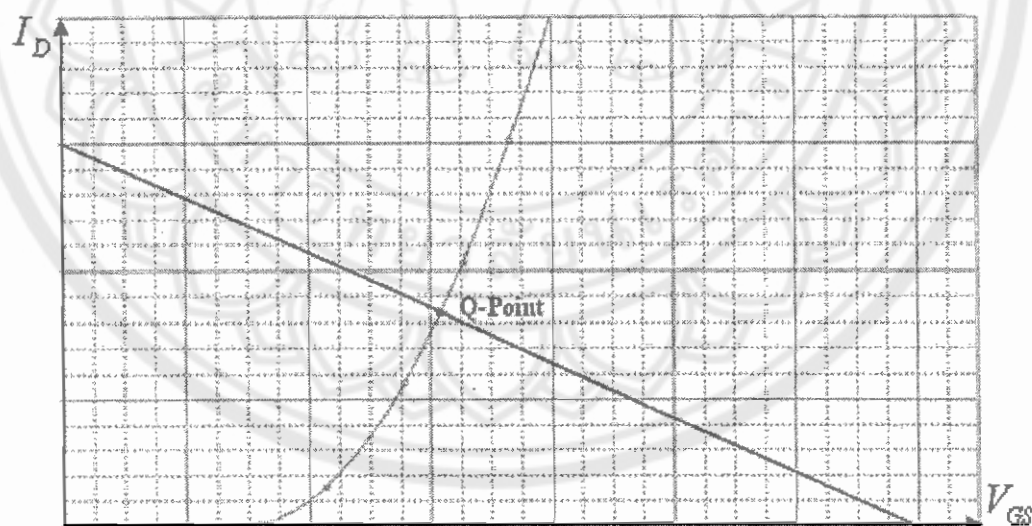
$$V_S = I_D R_S$$

$$V_D = V_{DS} + V_S$$

$$V_G = V_{GS} + V_S$$

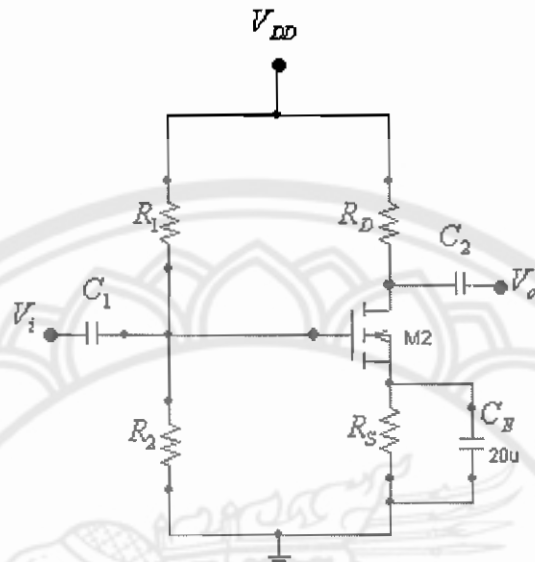
จุดทำงานของเฟต

จากราฟคุณลักษณะการถ่ายโอนของเฟตและสมการเส้น โหลดของวงจร E - MOSFET Voltage – Divider จะได้จุดทำงาน (จุด Q - Point) ของวงจร ดังรูป

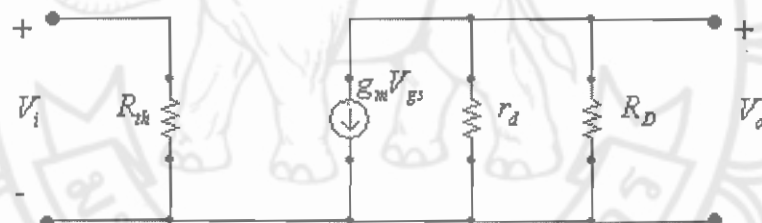


แสดงจุดทำงานของวงจร E - MOSFET Voltage – Divider

2. การวิเคราะห์ผลตอบสนองเชิงไฟฟ้ากระแสสัมบันห์
กรณี C bypassed



วงจร E - MOSFET Voltage – Divider กรณี C bypassed



วงจรเทียนเดี่ยง E - MOSFET Voltage – Divider กรณี C bypassed

กรณีคิด r_d

จากูปจะได้

$$Z_i = R_{th}$$

$$Z_o = R_D \parallel r_d$$

$$A_V = -g_m (R_D \parallel r_d)$$

กรณีไม่คิด r_d

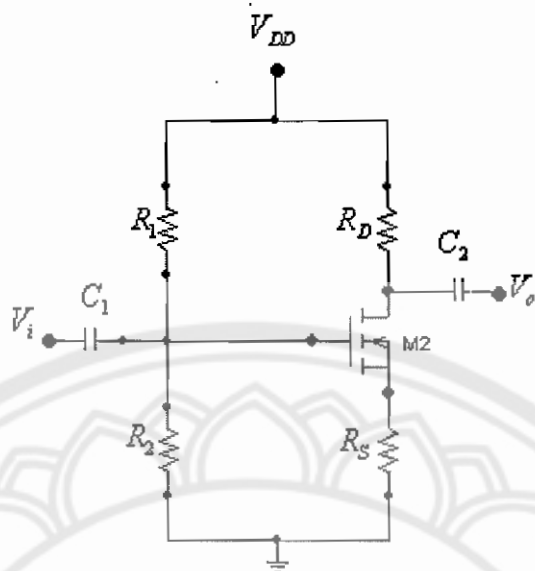
จะได้

$$Z_i = R_{th}$$

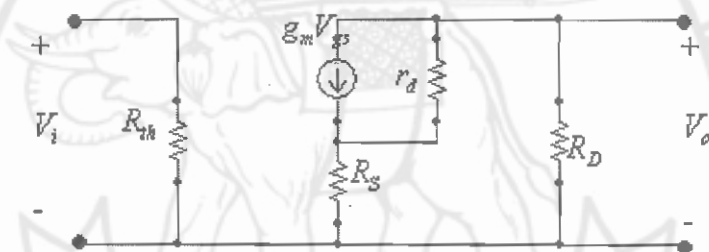
$$Z_o = R_D$$

$$A_V = -g_m R_D$$

กรณีไม่มี C bypassed



วงจร JFET Voltage – Divider กรณีไม่มี C bypassed



วงจรเทียบเคียง JFET Voltage – Divider กรณีไม่มี C bypassed

กรณีคิด r_d

จากกฎปัจจุบันได้

$$Z_i = R_h$$

$$Z_o = R_D$$

$$A_V = \frac{V_o}{V_i} = -\frac{g_m R_D}{1 + g_m R_S + \frac{R_D + R_S}{r_d}}$$

กรณีไม่คิด r_d จะได้

$$A_V = \frac{V_o}{V_i} = -\frac{g_m R_D}{1 + g_m R_S}$$

บทที่ 3

การออกแบบการทดลอง

3.1 การออกแบบจร�性ยายน

การวิเคราะห์และการออกแบบจร�性ยายนของทรานซิสเตอร์ต้องพิจารณาทั้งผลตอบเชิงไฟฟ้ากระแสตรงและผลตอบสนองเชิงสัญญาณของระบบ ในการวิเคราะห์จะระบุว่าจะมีกระบวนการใดบ้างที่สามารถดำเนินการได้

1. วิเคราะห์หาผลตอบสนองเชิงไฟฟ้ากระแสตรงของระบบ เพื่อกำหนดจุดทำงานของทรานซิสเตอร์

2. วิเคราะห์หาผลตอบสนองเชิงไฟฟ้ากระแสสลับหรือสัญญาณของระบบเพื่อหาอัตราการขยายของสัญญาณหรือผลตอบสนองเชิงความถี่ของสัญญาณ

ถึงแม้ว่าจะมีวิเคราะห์แต่ผลของไฟฟ้ากระแสตรงก็มีผลต่อผลตอบสนองเชิงไฟฟ้ากระแสสลับ เช่นกัน ค่าแรงดันกระแสที่จุด (Node) และสาขา (Branch) ต่างๆ เป็นค่าที่กำหนดจุดทำงานของทรานซิสเตอร์ และขึ้นอยู่กับคุณลักษณะเฉพาะของทรานซิสเตอร์ด้วย เมื่อจากทรานซิสเตอร์แต่ละชนิด มีคุณลักษณะเฉพาะที่แตกต่างกัน เช่น ค่ากระแสสูงสุดที่ของคอลเลกเตอร์ ($I_{C_{max}}$) หรือค่า V_{CE} สูงสุดและต่ำสุด

ถึงแม้ว่าโครงข่ายการใบเอกสารนี้จะมีหลากหลายรูปแบบ แต่ก็จะมีพารามิเตอร์พื้นฐานที่ใช้ในการวิเคราะห์ร่วมกันในแต่ละรูปลักษณ์ (Configuration) คือ

ทรานซิสเตอร์แบบบอร์ดต่อคู่ (BJT) มีพารามิเตอร์ที่ใช้ในการวิเคราะห์ดังนี้

$$V_{BE} = 0.7V$$

$$I_E = I_C + I_B$$

$$I_E \cong I_C \text{ และ } \alpha = \frac{I_C}{I_E}$$

$$\beta = \frac{I_C}{I_B} \text{ หรือ } I_C = \beta I_B$$

$$I_E = I_C + I_B = \beta I_B + I_B$$

$$I_E = (\beta + 1) I_B$$

ทรานซิสเตอร์สนานไฟฟ้า (JFET และ D-MOSFET) มีพารามิเตอร์ที่ใช้ในการวิเคราะห์ดังนี้

$$I_D = I_{DSS} \left(1 - \frac{V_{GS}}{V_p} \right)^2$$

$$I_D = I_S = I_{DSS}$$

ทรานซิสเตอร์สนานไฟฟ้า (E-MOSFET) มีพารามิเตอร์ที่ใช้ในการวิเคราะห์ดังนี้

$$I_D = k(V_{GS} - V_T)^2$$

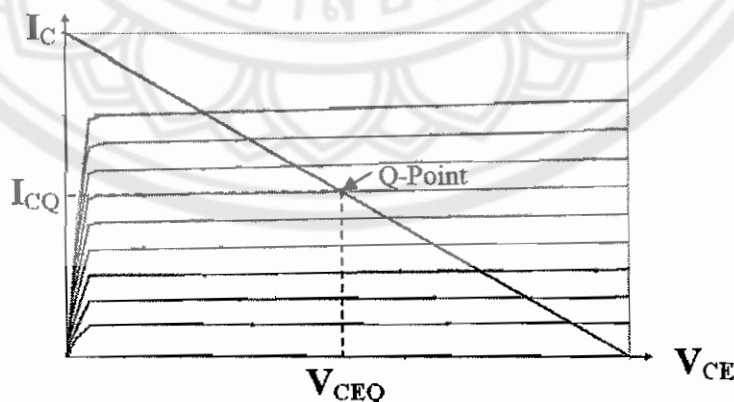
$$k = \frac{I_{D(on)}}{\left(V_{GS(on)} - V_T \right)^2}$$

$$g_m = g_{m0} \left(1 - \frac{V_{GS}}{V_p} \right)$$

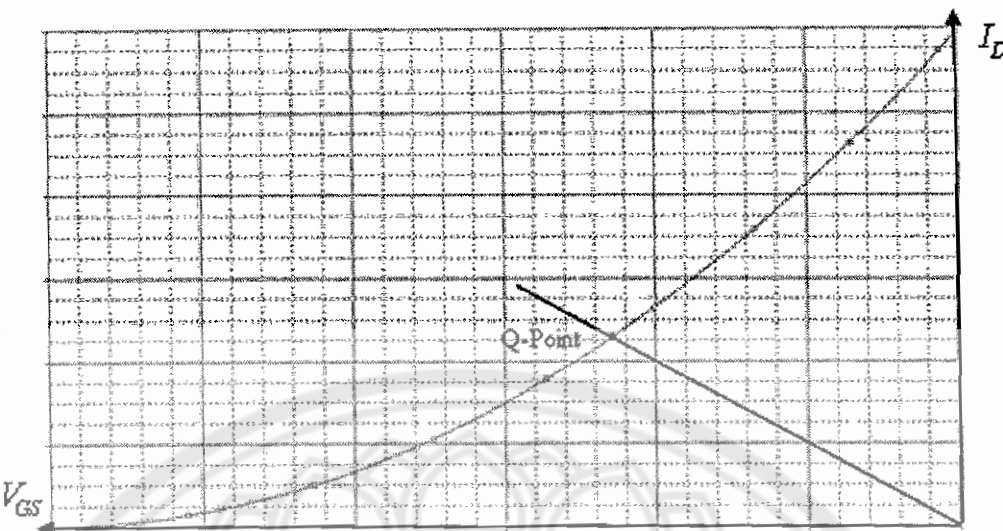
$$g_{m0} = \frac{2I_{DSS}}{|V_p|}$$

จุดปฏิบัติของทรานซิสเตอร์

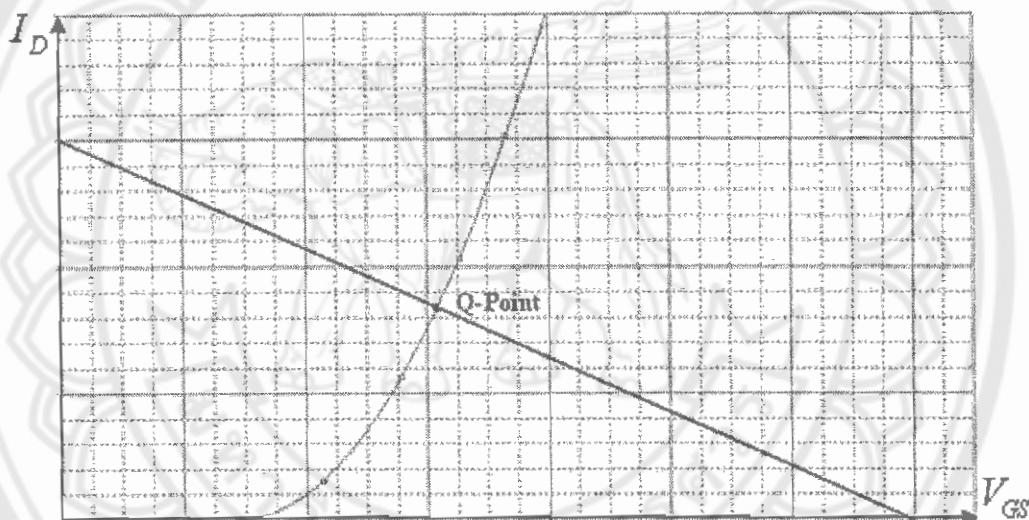
จุดทำงานของทรานซิสเตอร์เป็นจุดที่กำหนดค่าแรงดันหรือกระแสไฟตรงในคุณลักษณะเฉพาะของทรานซิสเตอร์ คุณลักษณะของทรานซิสเตอร์จะมีขอบเขตจำกัด ขอบเขตของการทำงานในย่านแรกที่ฟักก์นำไปใช้ประโยชน์ในการขยายสัญญาณ เมื่อกำหนดจุดทำงานจากกราฟคุณลักษณะเฉพาะของทรานซิสเตอร์แล้ว เราจะเรียกจุดนี้ว่า จุดทำงาน (Quiescent point, Q-Point) หรือจุดปฏิบัติงาน ดังรูป



แสดงจุดทำงานของวงจรทรานซิสเตอร์อยู่ต่อคู่



แสดงจุดทำงานของทรานซิสเตอร์สนามไฟฟ้า (JFET และ D-MOSFET)



แสดงจุดทำงานของทรานซิสเตอร์สนามไฟฟ้า (E-MOSFET)

รูปที่ 3.1 แสดงจุดทำงานของทรานซิสเตอร์ชนิดต่างๆ

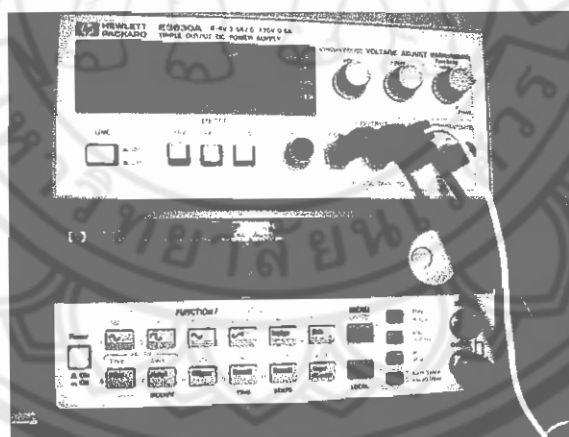
3.2 ขั้นตอนและวิธีการทดลอง

- ศึกษาการทำงานของโปรแกรม PSpice โดยการรวบรวมข้อมูลการทำงานและการแสดงผลของโปรแกรมในส่วนของความรู้เบื้องต้นที่ใช้ในการจำลองแบบของอุปกรณ์หรือวงจร
- ศึกษาและรวบรวมข้อมูลลักษณะทางไฟฟ้าของทรานซิสเตอร์อย่างคู่คู่และทรานซิสเตอร์สนามไฟฟ้าทั้งในส่วนของการวิเคราะห์เชิงกระแสและ การวิเคราะห์สัญญาณขนาดเล็ก
- ออกแบบวงจรในโปรแกรม PSpice โดยใช้วงจรพื้นฐานเป็นหลักแล้วทำการปรับค่าพารามิเตอร์ต่างๆ ของอุปกรณ์ในโปรแกรมให้สอดคล้องกับค่าพารามิเตอร์ของอุปกรณ์ที่มีอยู่จริง

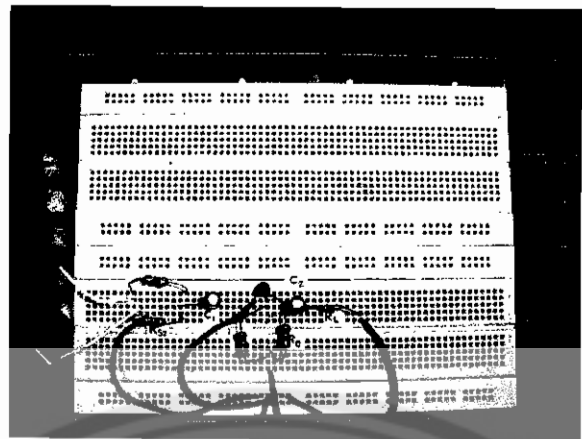
4. Simulate หากำกระแสและแรงดันที่จุดต่างๆ และใช้โปรแกรม Probe ในการสร้างกราฟคุณลักษณะเฉพาะ, กราฟอินพุตและกราฟเอาต์พุตของวงจร
5. นำผลการทดลองจากการ Simulation, การต่อวงจรและการคำนวณของแต่ละวงจร มาเปรียบเทียบ และวิเคราะห์ผล

ในการ Simulation จะใช้โปรแกรม PSpice Schematics ในการสร้างแบบจำลองวงจรและหาค่าพารามิเตอร์ต่างๆ ของวงจร ส่วนการต่อวงจรจริงจะมีอุปกรณ์ต่างๆ ที่ใช้ในการต่อวงจรทดลอง ดังนี้

1. แหล่งจ่ายกระแสตรง (DC Supply)
2. แหล่งจ่ายกระแสสัมบ (Function Gen)
3. บอร์ดทดลอง Analab BU-1
4. ดิจิตอลมัลติมิเตอร์ (DDM)
5. ออสซิลโลสโคป (Oscilloscope)
6. ชุดสายไฟ
7. ตัวด้านทานขนาดต่างๆ
8. ตัวเก็บประจุขนาด $10\mu F$
9. ทรานซิสเตอร์เบอร์ 2N2222A, เฟตเบอร์ 2N3819 และ 2SK2541



รูปที่ 3.2 แหล่งจ่ายกระแสตรง(บน) และแหล่งจ่ายกระแสสัมบ(ล่าง)



รูปที่ 3.3 บอร์ดท่อลง Analab BU-1



รูปที่ 3.4 ดิจิตอลมัลติมิเตอร์



รูปที่ 3.5 ອอสซิลโลสโคป

3.3 โปรแกรม PSpice

การจำลองการทำงานด้วยโปรแกรม PSpice จะช่วยในการออกแบบและจำลองการทำงานของวงจร และยังสามารถควบคุมและปรับเปลี่ยนพารามิเตอร์ต่างๆ ของวงจรได้ง่าย นอกจากนี้ยังเป็นการประยุกต์ สะท้อน ปัลส์คัญและช่วยลดการเสียหายของอุปกรณ์ได้อีกด้วย กระบวนการจำลองเหตุการณ์ของโปรแกรม PSpice ประกอบด้วยโปรแกรมหลักๆ 3 โปรแกรม คือ

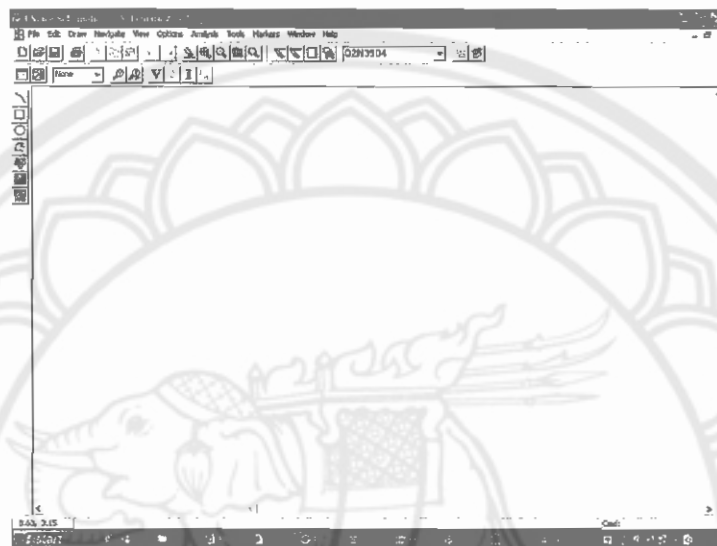
1. โปรแกรม Schematics ทำหน้าที่เป็นส่วนกราฟฟิกของวงจรไฟฟ้าอิเล็กทรอนิกส์ที่ต้องการจะวิเคราะห์ผล เมื่อบันทึกแบบภาพกราฟฟิกวงจรไฟฟ้าที่เขียนขึ้นจากโปรแกรมนี้ ไฟล์ที่ได้จะเป็นนามสกุล .sch
2. โปรแกรม PSpice (หรือ PSpice AD) ทำหน้าที่วิเคราะห์วงจรไฟฟ้าที่เขียนจากโปรแกรม Schematics ผลการวิเคราะห์จะแสดงออกทางไฟล์เอกสารพุด และไฟล์ข้อมูล Probe สำหรับไฟล์เอกสารพุดแสดงในรูปตัวอักษร สามารถดูได้ด้วยโปรแกรมพินพ์เอกสารทั่วไป เช่น Notepad หรือ Word เป็นคืนไฟล์ชนิดนี้มีนามสกุลเป็น .out ส่วนไฟล์ข้อมูล Probe จะแสดงออกในรูปกราฟผ่านทางโปรแกรม Probe ไฟล์ชนิดนี้มีนามสกุล .dat
3. โปรแกรม Probe ทำหน้าที่แสดงผลการวิเคราะห์วงจรในรูปของกราฟ ไฟล์ที่ใช้กับโปรแกรมชนิดนี้จะมีนามสกุลเป็น .dat

เมื่อเขียนวงจรเสร็จแล้วทำการบันทึก จะได้ไฟล์นามสกุล .sch และก่อนทำการ Run Simulate ซอฟท์แวร์จะสร้างไฟล์ที่จำเป็นขึ้นมา 3 ชนิด คือ

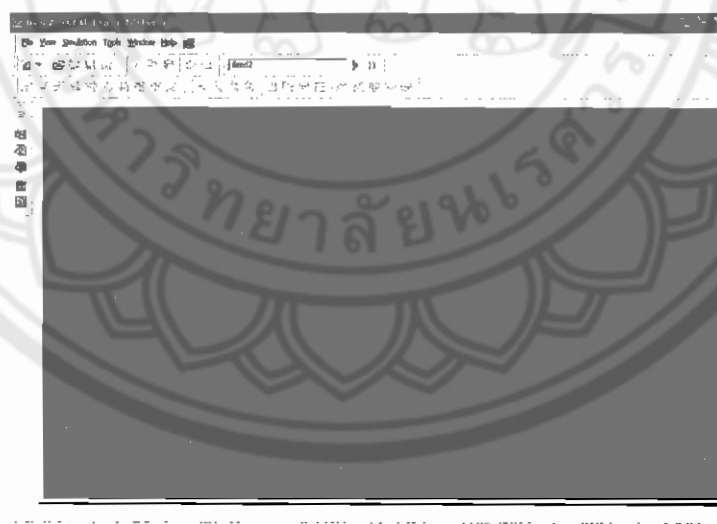
1. ไฟล์วงจร (Circuit File นามสกุล .cir) เป็นไฟล์หลักที่ใช้ในการจำลองสถานการณ์ของโปรแกรม โดยจะอ้างถึงชนิดของการวิเคราะห์ ไลบรารี และไฟล์ Netlist กับไฟล์ Alias และไฟล์อื่นๆ ที่จำเป็น รายละเอียดของไฟล์วงจรเปิดคูด้วยไฟล์ Netlist ไฟล์ Alias และไฟล์อื่นๆ ที่ต้องอยู่ระหว่างสองขั้นตอนนี้
2. ไฟล์แสดงค่าอุปกรณ์ในวงจร (Netlist File นามสกุล .net) เป็นไฟล์ที่แสดงรายการค่าของอุปกรณ์ที่ต้องอยู่ระหว่างสองขั้นตอนนี้
3. ไฟล์แสดงการต่อขาอุปกรณ์ในวงจร (Alias File นามสกุล .als) เป็นไฟล์ที่แสดงรายการของขาอุปกรณ์ที่ต้องอยู่กับโหนดใดๆ

จากที่กล่าวมา สรุปได้ว่า กระบวนการจำลองสถานการณ์ของโปรแกรม PSpice จะมีไฟล์หลักคือไฟล์ .sch จำนวนนี้จะแตกออกเป็นไฟล์ 3 ไฟล์ คือไฟล์ .cir ไฟล์ .net และไฟล์ .als เมื่อการจำลองสถานการณ์สมบูรณ์จะแตกออกอีก 2 ไฟล์ คือไฟล์ .out และไฟล์ .dat เพื่อใช้ในการแสดงผล ส่วนการทำงานที่สำคัญที่สุดของโปรแกรม PSpice Student มี 2 ส่วน คือ

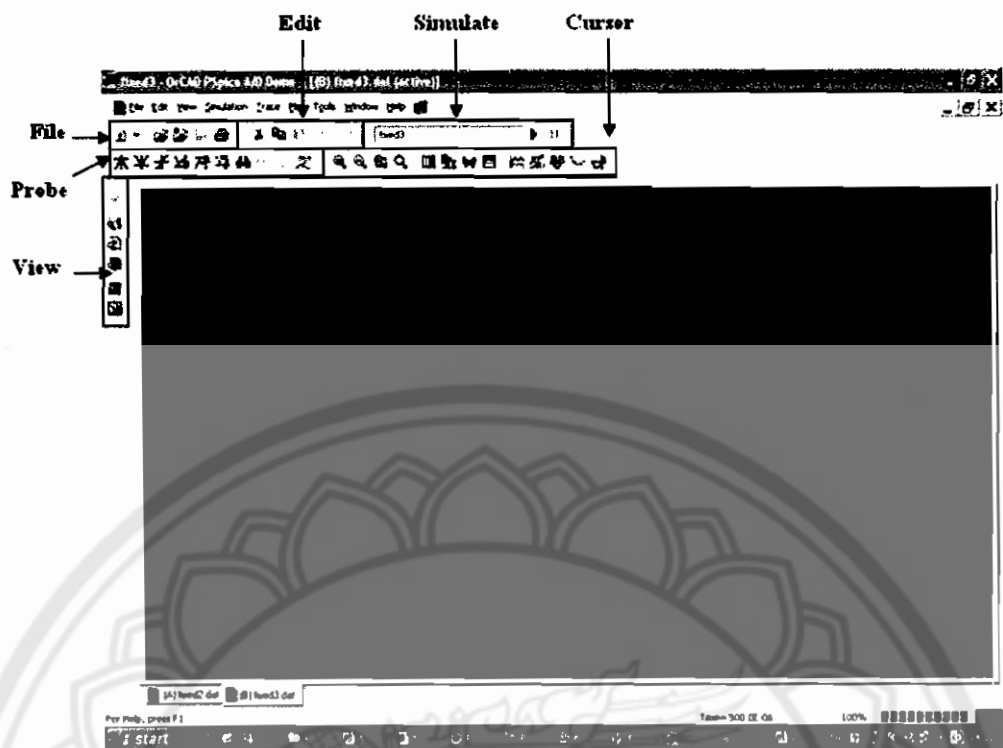
1. โปรแกรม PSpice Schematic ใช้สร้างภาพกราฟิกวงจร กำหนดรายละเอียดต่างๆ ของอุปกรณ์ และกำหนดค่าและเงื่อนไขหรือวิธีการจำลองการทำงานและการคุณลักษณะ
2. โปรแกรม PSpice AD ใช้ในการจำลองการทำงานของวงจรที่เขียนไว้ใน Schematic และ โปรแกรม Probe ใช้ในการคุณลักษณะและวิเคราะห์ผลของการจำลองการทำงาน สำหรับโปรแกรม Probe นี้จะเป็นส่วนหนึ่งของโปรแกรม PSpice AD



รูปที่ 3.6 แสดงหน้าต่างของโปรแกรม PSpice Schematic



รูปที่ 3.7 แสดงหน้าต่างแรกของโปรแกรม PSpice AD Student



รูปที่ 3.8 แสดงหน้าต่างของโปรแกรม PSpice AD Student เมื่อเปิดโปรแกรม Probe

สำหรับกลุ่มคำสั่งหลัก จะแบ่งออกเป็น 6 กลุ่ม คือ

1. File เกี่ยวกับแฟ้มข้อมูลและการพิมพ์ผลลัพธ์
2. Edit เกี่ยวกับการแก้ไขและตัดต่อข้อมูล
3. Simulate เกี่ยวกับการทำ simulations ของไฟล์ .cir, .sch
4. Probe เกี่ยวกับการพล็อตกราฟ การวิเคราะห์และนุมนอง
5. Cursor เกี่ยวกับอ่านค่าต่างๆ บนรูปกราฟที่พล็อต
6. View เกี่ยวกับการเปิดไฟล์รูปต่างๆ ที่เกิดจากผลการ Simulate

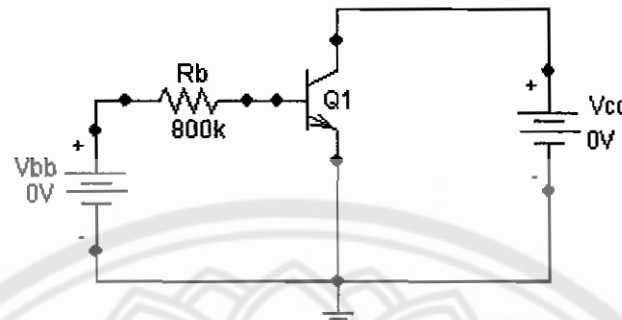
3.4 การใช้โปรแกรม PSpice ในการวิเคราะห์วงจร

การใช้โปรแกรม PSpice เพื่อวิเคราะห์วงจรจะใช้โปรแกรม PSpice Schematic ในการเขียนวงจรและใช้โปรแกรม Probe ในการวิเคราะห์ผลลัพธ์ที่ได้จากการ simulate ที่มีอยู่แล้ว สามารถดูค่าต่างๆ ที่ต้องการได้โดยตรง ไม่ต้องคำนวณด้วยตัวเอง ทำให้การวิเคราะห์วงจรง่ายขึ้น แต่ก็ต้องมีความรู้ทางคณิตศาสตร์และฟิสิกส์อยู่บ้าง

3.4.1 การวิเคราะห์ผลตอบสนองเชิงไฟฟ้ากระแสตรงของ BJT

ขั้นตอนที่ 1 การสร้างวงจรด้วย Schematic

1. เปิดโปรแกรม PSpice Schematic และเขียนวงจรดังรูป โดยเลือกอุปกรณ์ต่างๆ โดยการเลือกเมนู Draw/Get New Part หรือเลือก Ctrl+G หรือการคลิกที่ไอคอน 

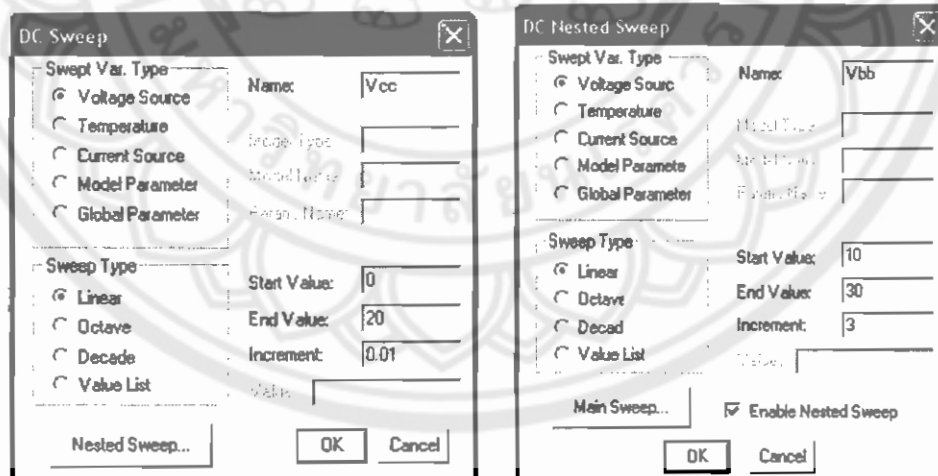


วงจรการหากราฟคุณลักษณะของทรานซิสเตอร์

2. ลากจุดเริ่มต้นโดยการเลือกเมนู Draw/Wire หรือเลือก Ctrl+W หรือการคลิกที่ไอコン 
 3. บันทึกไฟล์ในชื่อ BJT.sch

ขั้นตอนที่ 2 การกำหนดเงื่อนไขการทำงาน

1. เลือกเมนู Analysis/Setup หรือคลิกที่ไอคอน 
 2. เลือก DC Sweep และตั้งค่า Main Sweep และ Nested Sweep ตามรูป

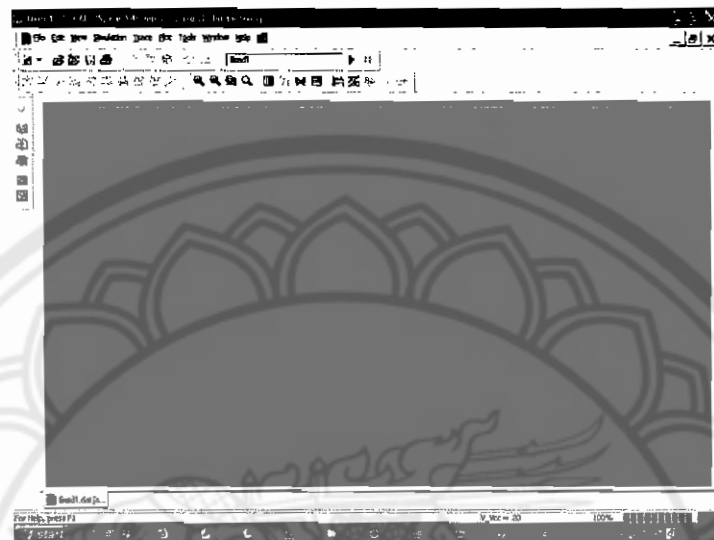


การตั้งค่า DC Sweep / Main Sweep และ Nested Sweep ของ BJT

3. เลือกเมนู Analysis/Probe Setup เลือกตั้งค่า Probe อัตโนมัติ

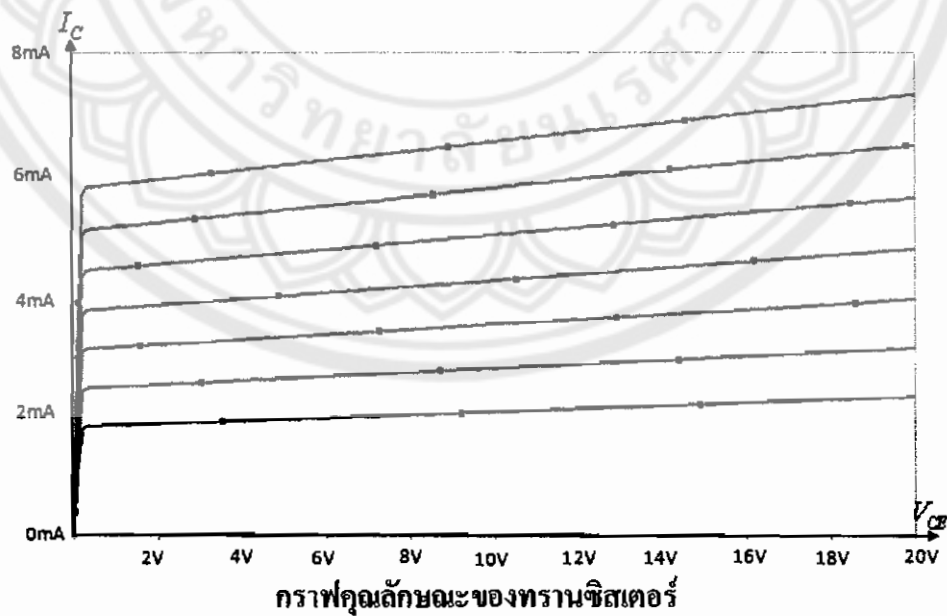
ขั้นตอนที่ 3 การหากราฟคุณลักษณะของทรานซิสเตอร์

1. เลือกเมนู Analysis/Simulate หรือกด F11 หรือคลิกที่ไอคอน 
2. เมื่อโปรแกรม Simulate เสร็จจะปรากฏหน้าต่างโปรแกรม PSpice/AD และ PSpice/AD Probe ดังรูป

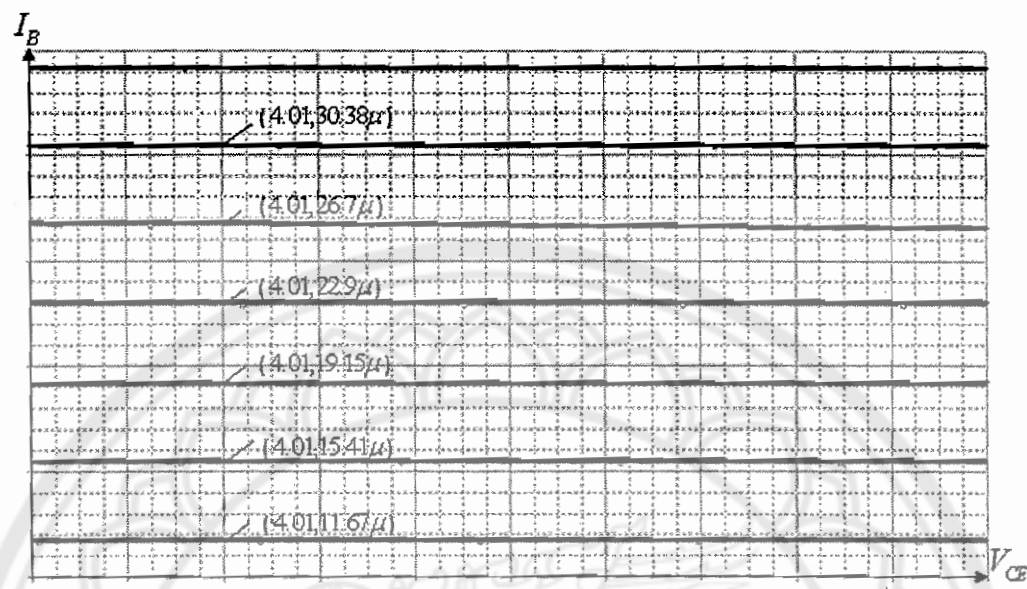


แสดงหน้าต่างของโปรแกรม PSpice AD และ PSpice AD Probe

3. เลือกเมนู Trace/Add Trace หรือคลิกที่ไอコン  และเลือกเอาต์พุต $IC(Q1)$ จะได้กราฟระหว่าง V_{CE} กับ I_C ซึ่งเป็นกราฟคุณลักษณะของทรานซิสเตอร์ ดังรูป



4. เปิดหน้าต่างโปรแกรม PSpice/AD ใหม่ โดยการเลือกเมนู Window/New Window และเลือกเอกสารพื้นที่ $IB(Q1)$ จะได้กราฟดังรูป



กราฟแสดงค่า I_B

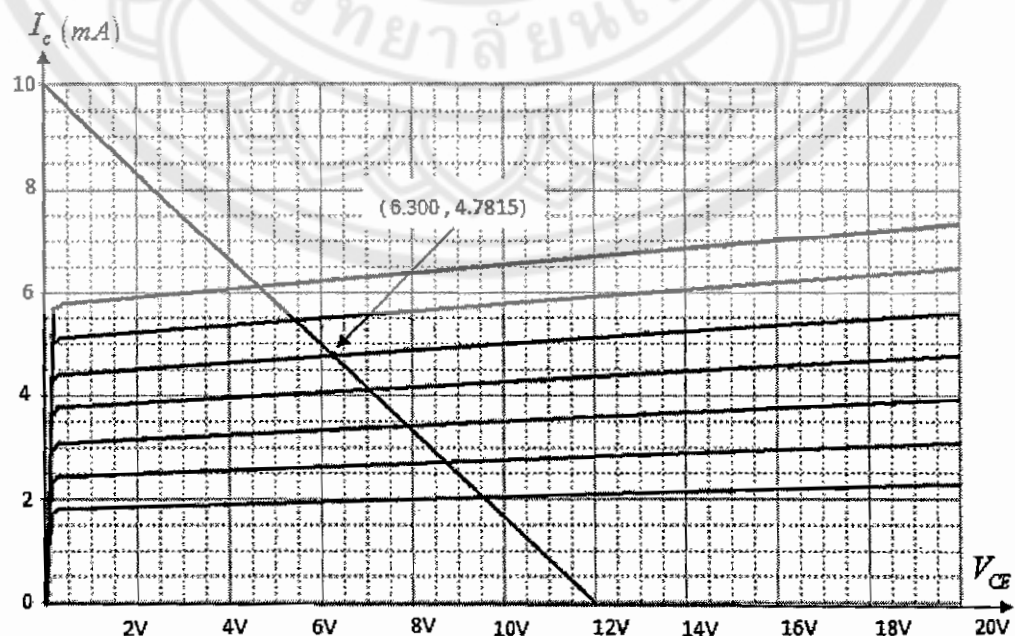
ขั้นตอนที่ 4 การหาจุดทำงานของวงจร

1. จากวงจร Fixed-Bias หาค่า R_B โดยกำหนดให้ $V_{CC} = 12V$ และ $R_C = 1.2k\Omega$ จะได้

จุดตัดบนแกน X คือ จุด $V_{CE} = V_{CC} = 12V$

$$\text{จุดตัดบนแกน Y คือ } I_C = \frac{V_{CC}}{R_C} = \frac{12V}{1.2k\Omega} = 10mA$$

2. ลากเส้น荷ลูกทับบนกราฟคุณลักษณะของทรานซิสเตอร์ ดังรูป



แสดงจุดทำงาน (Q-Point) ของวงจร ทรานซิสเตอร์ Fixed – Bias

ขั้นตอนที่ 5 การคำนวณหาค่าพารามิเตอร์ต่างๆ ของวงจร

- จากรูปที่ และ จะได้ค่า $I_{CQ} = 4.8mA$, $I_B = 26.7\mu A$, $V_{CEQ} = 6.3V$ นำค่าที่ได้มาคำนวณหาค่าตัวค่านทางที่เหลือของวงจร

จากสมการ $\beta = \frac{I_C}{I_B}$

$$\beta = \frac{4.8mA}{26.7\mu A} = 180$$

จากสมการ $V_{CC} = I_B R_B + V_{BE}$

$$R_B = \frac{V_{CC} - V_{BE}}{I_B}$$

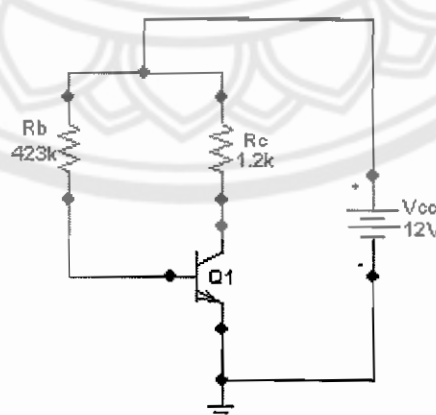
$$R_B = \frac{12 - 0.7}{26.7\mu} = 423k\Omega$$

จากสมการ $V_{CC} = I_C R_C + V_{CE}$

$$R_C = \frac{V_{CC} - V_{CE}}{I_C}$$

$$R_C = \frac{12 - 6.3}{4.8m} = 1.2k\Omega$$

- นำค่าพารามิเตอร์ที่คำนวณได้ไปใส่ในวงจรจริงและบันทึกไฟล์ในชื่อ BJT-Fix1.sch

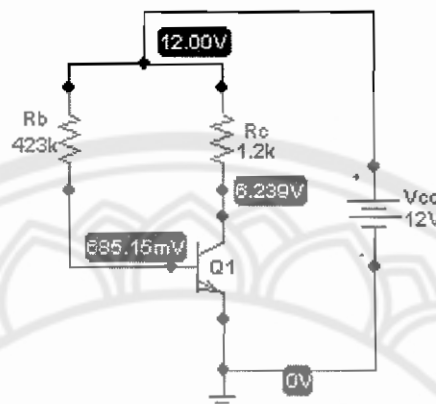


วงจร Fixed – Bias

ขั้นตอนที่ 6 การ Simulate หาค่าพารามิเตอร์ต่างๆ ของวงจร

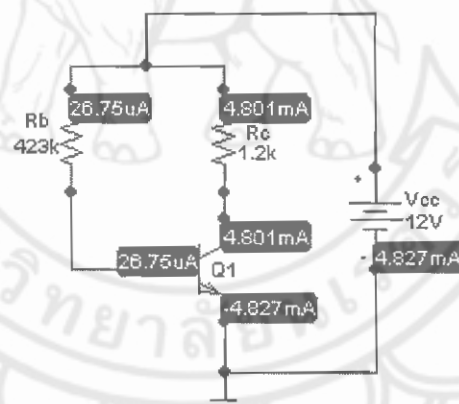
1. เลือก Analysis/Simulate

2. คลิกที่ไอคอน **V** บนหน้าต่าง PSpice Schematic เพื่อคุ่ม่าแรงดันที่จุดต่างๆ



แสดงค่าแรงดันของวงจรทรานซิสเตอร์ Fixed – Bias

3. คลิกที่ไอคอน **H** เพื่อคุ่ม่ากระแสที่จุดต่างๆ

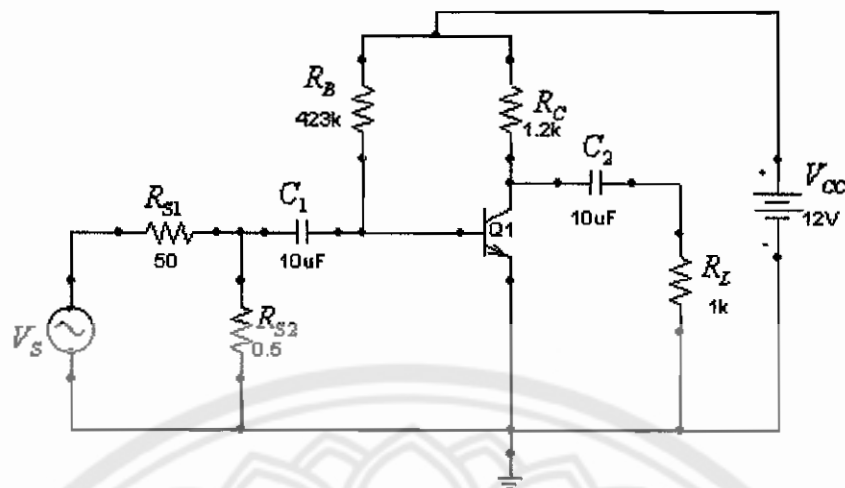


แสดงค่ากระแสของวงจรทรานซิสเตอร์ Fixed – Bias

3.4.2 การวิเคราะห์ผลตอบสนองเชิงไฟฟ้ากระแสสัมบูรณ์ของ BJT

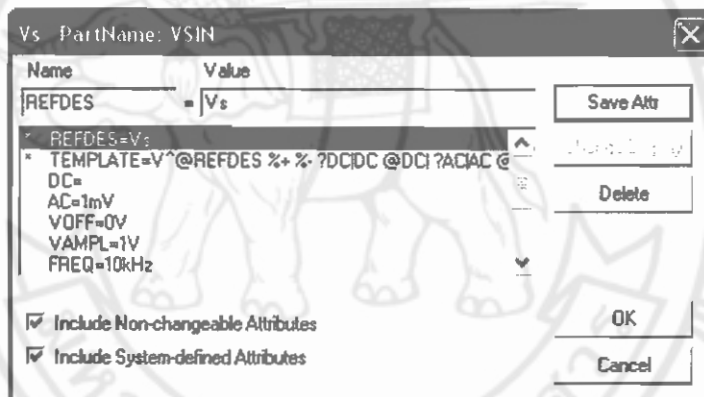
ขั้นตอนที่ 1 การสร้างสัญญาณอินพุต

1. เลือกอุปกรณ์สร้างสัญญาณไวน์ โดยคลิกที่ไอคอน **W** เลือก VSIN และตัวเก็บประจุ ต่อวงจรตามรูป และบันทึกไฟล์ในชื่อ BJT-Fix2.sch



การวิเคราะห์ Small – Signal ของวงจร Fixed – Bias

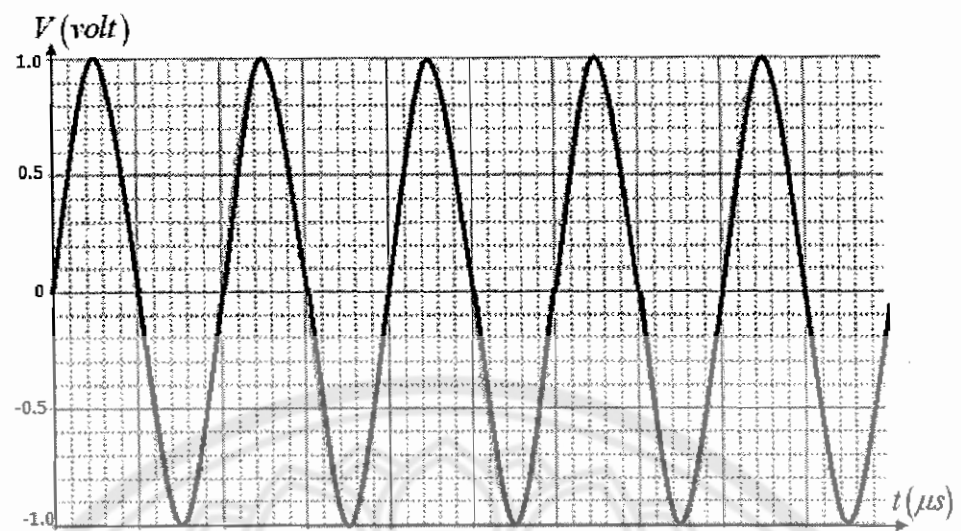
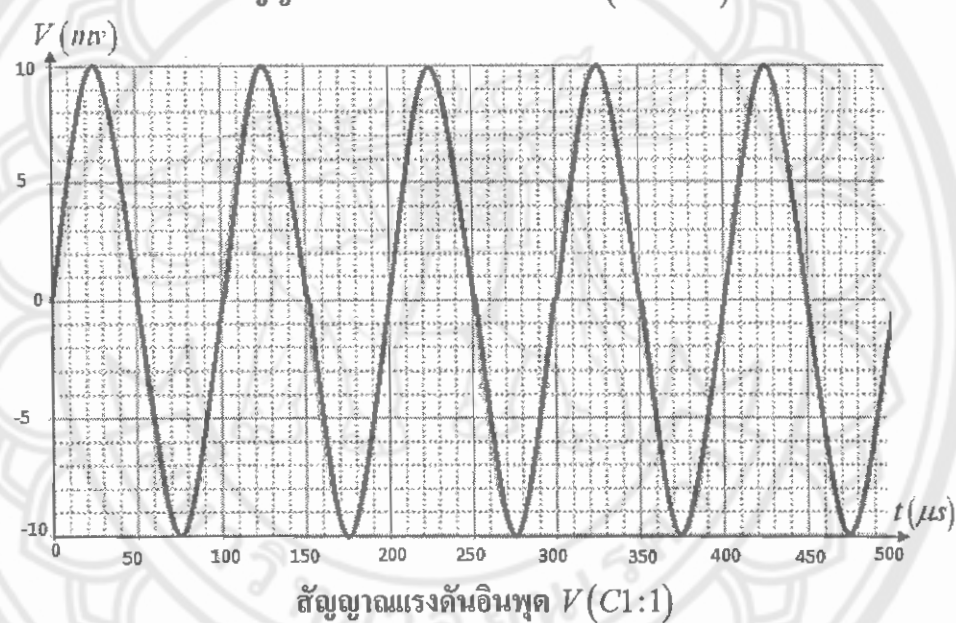
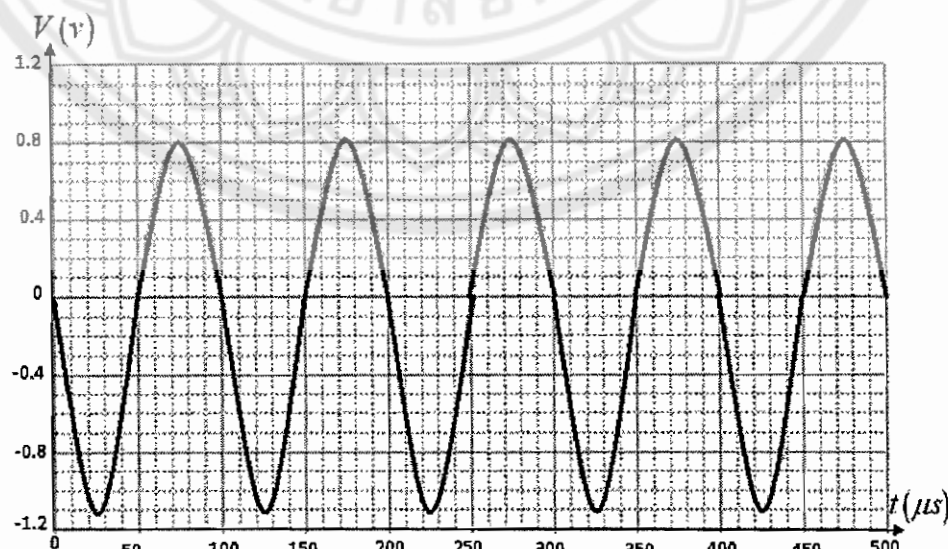
2. ตั้งค่า VSIN โดยกำหนดค่า ดังรูป และเลือก Analysis/Simulate



การกำหนดค่า VSIN

3. เปิดหน้าต่าง PSpice AD และเลือก Analysis Type เป็น Transient

4. เลือก Add-Trace V_s เป็น $V(V \sin : +)$, V_i เป็น $V(C1:1)$ และ V_o เป็น $V(C2:2)$ จะได้กราฟดังรูป

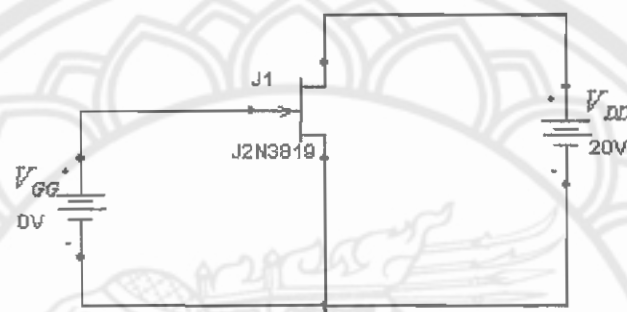
สัญญาณแหล่งจ่ายกระแสสลับ $V(V \sin : +)$ สัญญาณแรงดันอินพุต $V(C1:1)$ แรงดันเอาต์พุต $V(C2:2)$

$$\text{จากราฟจะได้ } A_v = \frac{V_o}{V_i} = -\frac{0.8V}{10mV} = -80$$

3.4.3 การวิเคราะห์ผลตอบสนองเชิงไฟฟ้ากระแสตรงของ FET

ขั้นตอนที่ 1 การสร้างวงจรด้วย Schematic

1. เปิดโปรแกรม PSpice Schematic และเขียนวงจรดังรูป โดยเลือกอุปกรณ์ต่างๆ โดยการเลือกเมนู Draw/Get New Part หรือเลือก Ctrl+G หรือการคลิกที่ไอคอน 

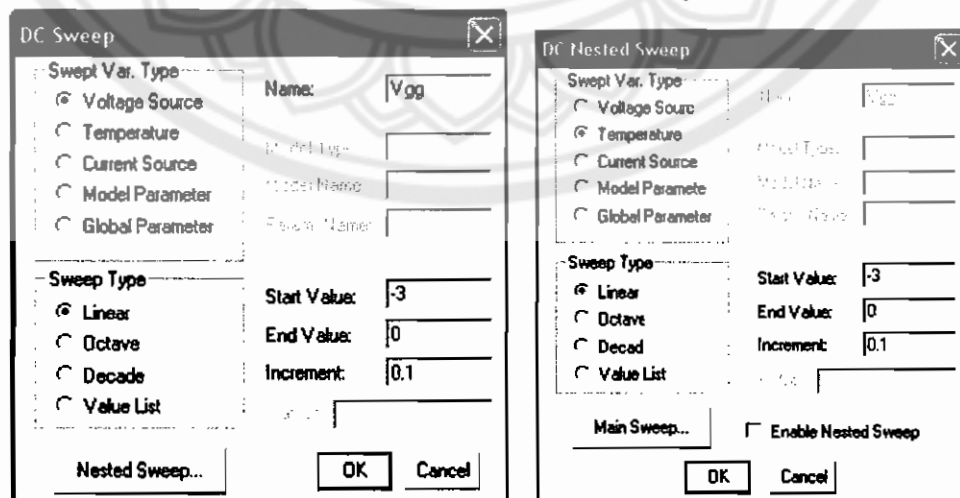


วงจรการหากราฟคุณลักษณะของเฟต

2. ลากจุดเชื่อมต่อโดยการเลือกเมนู Draw/Wire หรือเลือก Ctrl+W หรือการคลิกที่ไอコン 
3. บันทึกไฟล์ในชื่อ JFET.sch

ขั้นตอนที่ 2 การกำหนดเงื่อนไขการทำงาน

1. เลือกเมนู Analysis/Setup หรือคลิกที่ไอคอน 
2. เลือก DC Sweep และตั้งค่า Main Sweep และ Nested Sweep ตามรูป



การตั้งค่า DC Sweep / Main Sweep และ Nested Sweep ของ FET

3. เลือกเมนู Analysis/Probe Setup เลือกตั้งค่า Probe อัตโนมัติ

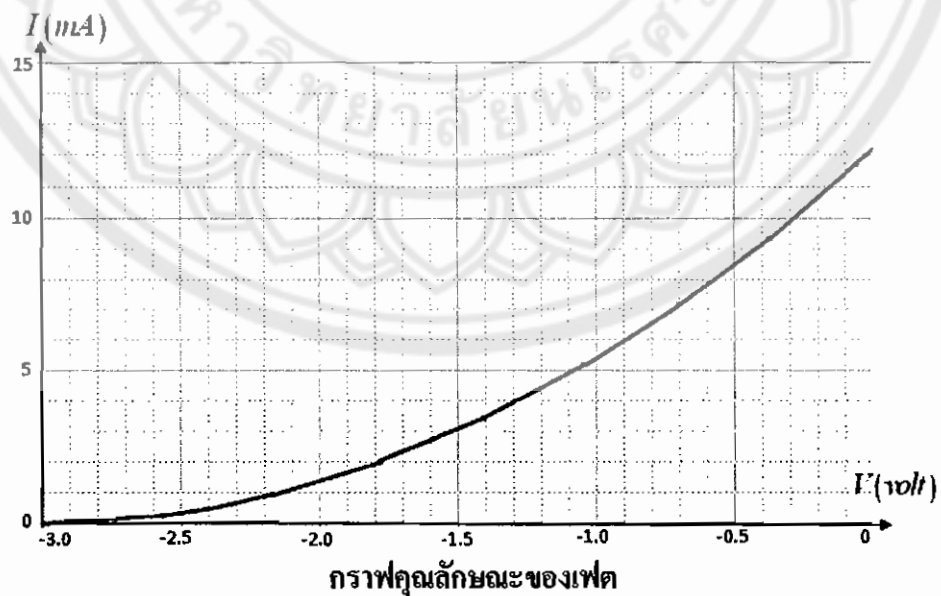
ขั้นตอนที่ 3 การหากราฟคุณลักษณะของเฟต

1. เลือกเมนู Analysis/Simulate หรือกด F11 หรือคลิกที่ไอคอน 
2. เมื่อโปรแกรม Simulate เสร็จจะปรากฏหน้าต่างโปรแกรม PSpice/AD และ PSpice/AD Probe ดังรูป



แสดงหน้าต่างของโปรแกรม PSpice AD และ PSpice AD Probe

3. เลือกเมนู Trace/Add Trace หรือคลิกที่ไอコン  และเลือกเอาต์พุต $ID(J1)$ จะได้กราฟระหว่าง V_{GS} กับ I_D ซึ่งเป็นกราฟคุณลักษณะของเฟต ดังรูป

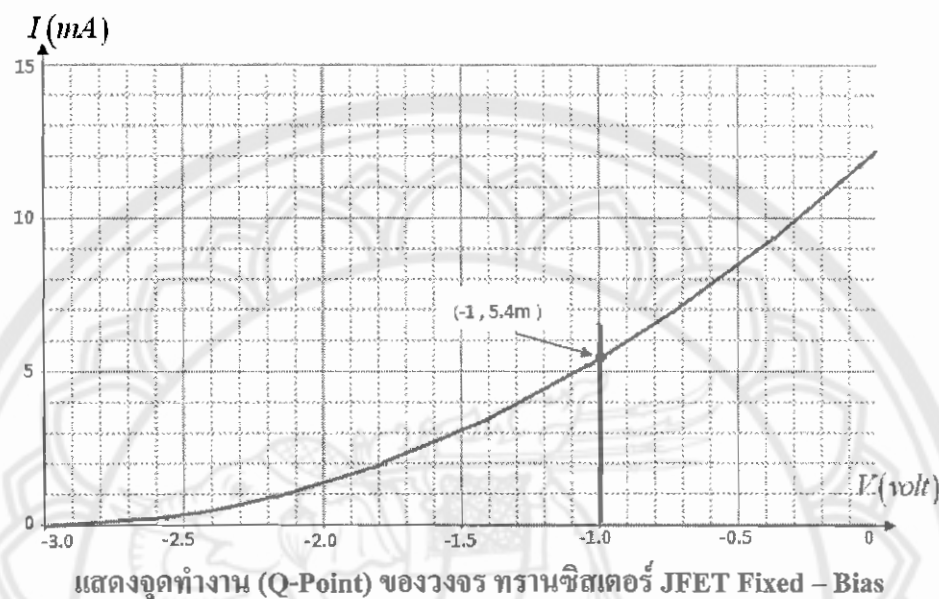


ขั้นตอนที่ 4 การหาจุดทำงานของวงจร

- กำหนดให้ $V_{GG} = 1V$ จากสมการหาสัมประสิทธิ์คงที่ของ JFET Fixed – Bias

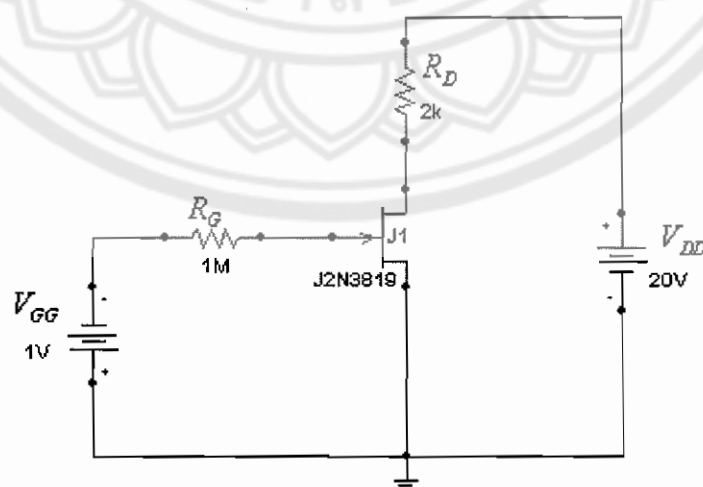
$$V_{GS} = -V_{GG} = -1V$$

สามารถเขียนเส้น荷ลต์ได้ดังรูป



ขั้นตอนที่ 5 การคำนวณหาค่าพารามิเตอร์ต่างๆ ของวงจร

- จากจุด Q-point จะได้ $I_{DQ} = 5.4\text{mA}$ และ $V_{GSQ} = -1V$ และกำหนดให้ $R_D = 2k\Omega$, $R_G = 1M\Omega$, และ $V_{GG} = 1V$
- นำค่าพารามิเตอร์ที่ได้ไปใส่ในวงจรจริงและบันทึกไฟล์ในชื่อ FET-Fix1.sch

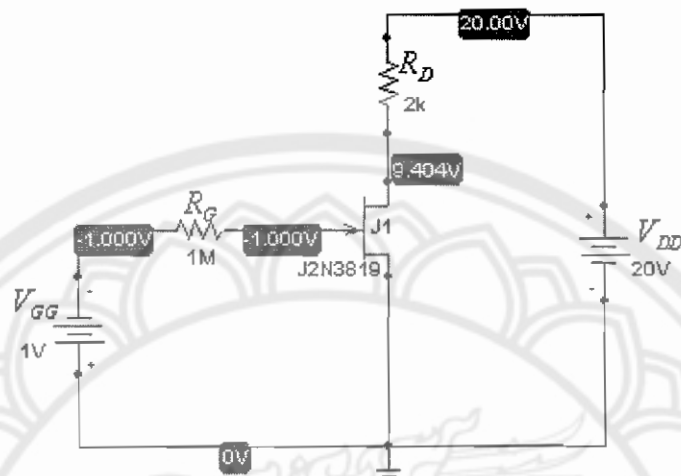


วงจร JFET Fixed – Bias

ขั้นตอนที่ 6 การ Simulate หาค่าพารามิเตอร์ต่างๆ ของวงจร

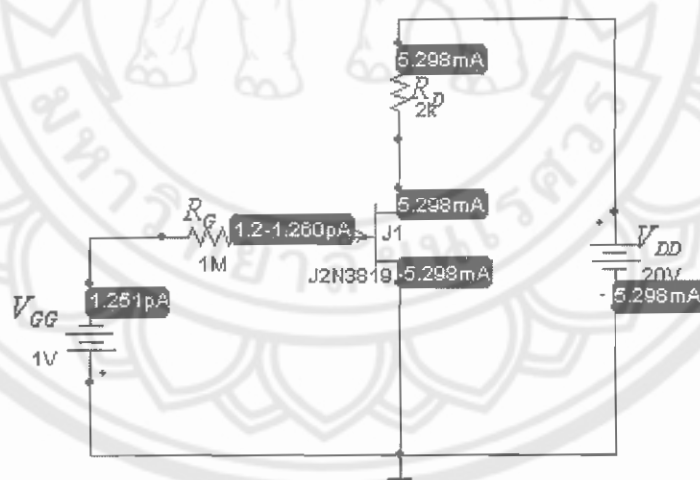
1. เลือก Analysis/Simulate

2. คลิกที่ไอคอน **V** บนหน้าต่าง PSpice Schematic เพื่อค่าแรงดันที่จุดต่างๆ



แสดงค่าแรงดันของวงจร JFET Fixed – Bias

3. คลิกที่ไอคอน **I** เพื่อค่ากระแสที่จุดต่างๆ

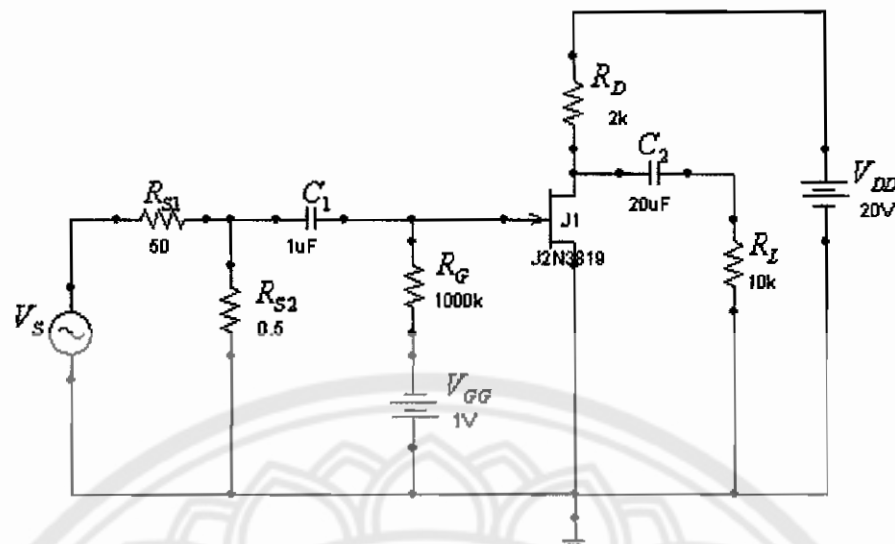


แสดงค่ากระแสของวงจร JFET Fixed – Bias

3.4.4 การวิเคราะห์ผลตอบสนองเชิงไฟฟ้ากระแสสัมบูรณ์ของ FET

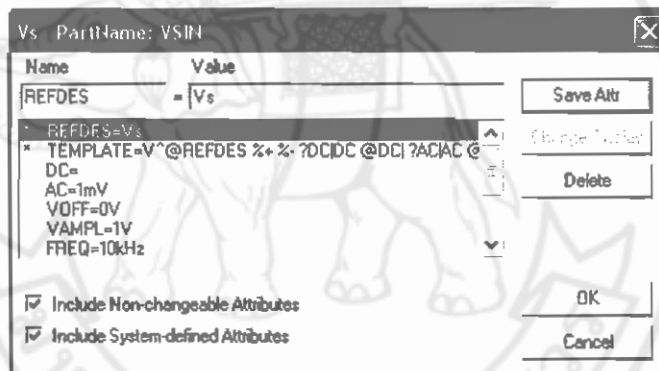
ขั้นตอนที่ 1 การสร้างสัญญาณอินพุต

1. เลือกอุปกรณ์สร้างสัญญาณไซน์ โดยคลิกที่ไอคอน **W** เลือก VSIN และตัวเก็บประจุ ต่อวงจรตามรูป และบันทึกไฟล์ในชื่อ FET-Fix2.sch



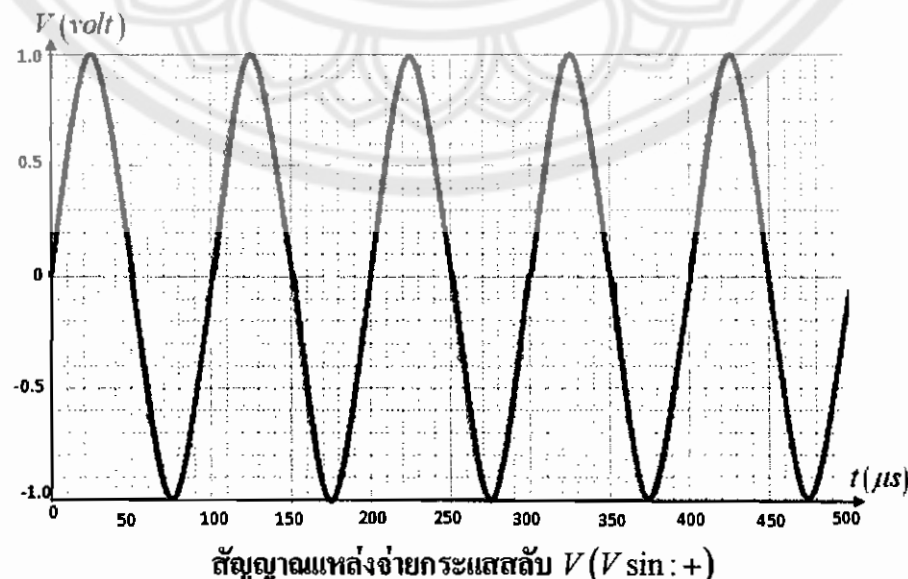
การวิเคราะห์ Small – Signal ของวงจร JFET Fixed – Bias

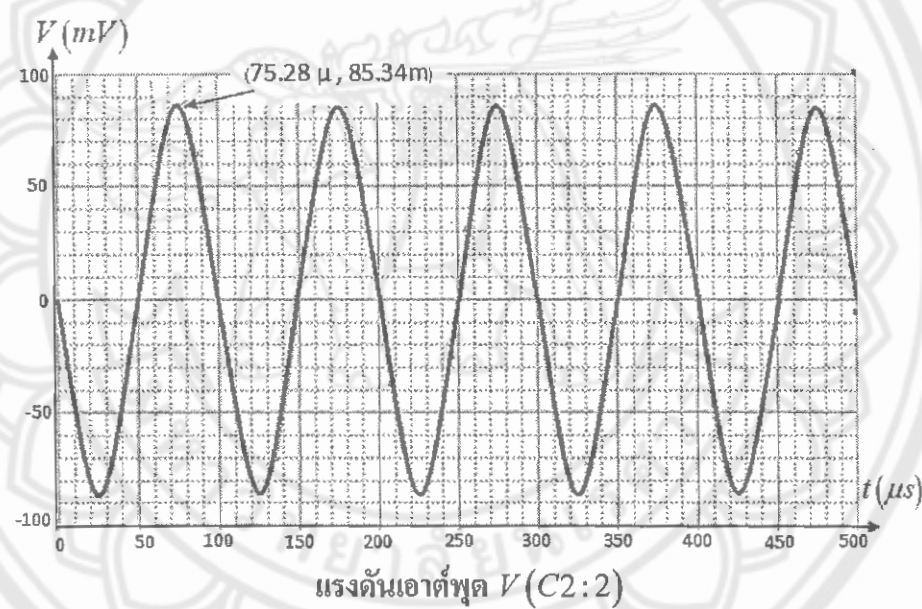
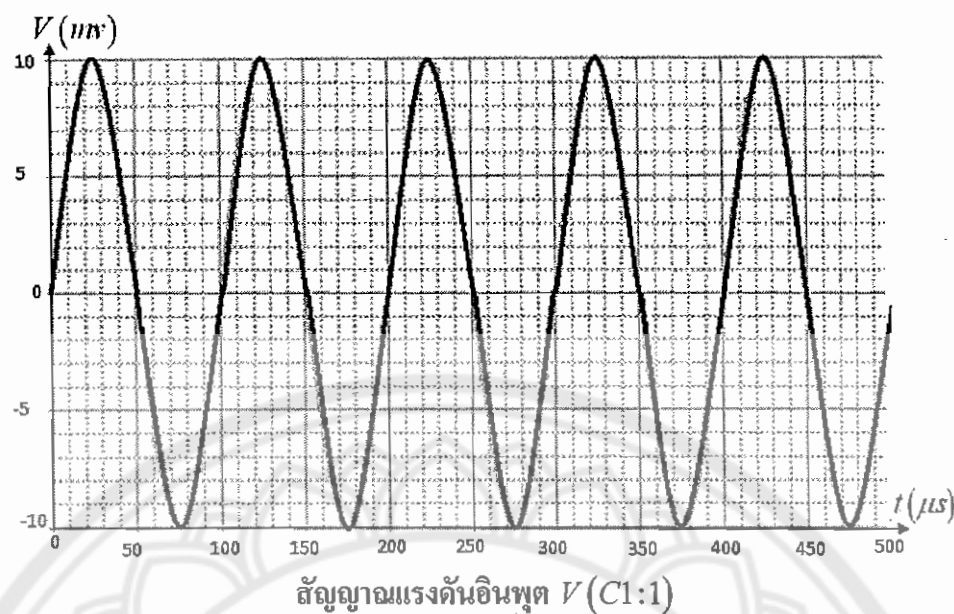
2. ตั้งค่า VSIN โดยกำหนดค่าดังรูป และเลือก Analysis/Simulate



การกำหนดค่า VSIN

4. เลือก Add-Trace V_s เป็น $V(V \sin : +)$, V_i เป็น $V(C1:1)$ และ V_o เป็น $V(C2:2)$ จะได้กราฟดังรูป





$$\text{จะได้ } A_V = \frac{V_o}{V_i} = -\frac{85.34\text{mV}}{10\text{mV}} = -8.5$$

บทที่ 4

ผลการทดลอง

การทดสอบการทำงานของทรานซิสเตอร์ จะมีพารามิเตอร์ที่สำคัญที่ต้องนำมาประกอบในการวิเคราะห์ คือ ความสัมพันธ์ระหว่างกระแสและแรงดันที่จุดต่างๆ แรงดันอินพุตและแรงดันเอาต์พุต สำหรับโครงงานการศึกษาลักษณะทางไฟฟ้าของทรานซิสเตอร์ด้วยโปรแกรม PSpice นี้ จะมีการนำผลที่ได้จากการ Simulation, จากการต่อวงจรและการคำนวณของวงจรพื้นฐานต่างๆ มาเปรียบเทียบและวิเคราะห์ผล

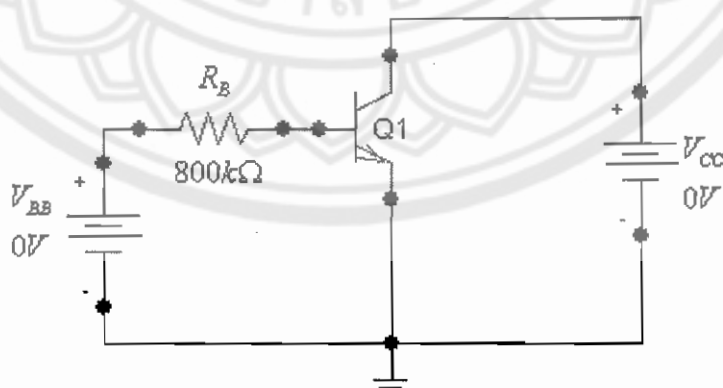
ผลการทดลองที่ได้จากการทำโครงงานนี้ จะแบ่งออกเป็น 2 ส่วน คือ ผลจากแบบจำลองทางไฟฟ้าของทรานซิสเตอร์อยู่ต่อคู่และผลจากแบบจำลองทางไฟฟ้าของทรานซิสเตอร์สำนวนไฟฟ้า ดังนี้

4.1 ผลการทดลองจากการสร้างแบบจำลองของวงจรทรานซิสเตอร์อยู่ต่อคู่ (BJT)

ในการวิเคราะห์แบบจำลองลักษณะทางไฟฟ้าของทรานซิสเตอร์แบบอยู่ต่อคู่ จะแยกวิเคราะห์เป็น 2 กรณี คือ การวิเคราะห์ผลตอบสนองเชิงไฟฟ้ากระแสตรงและการวิเคราะห์ผลตอบสนองเชิงไฟฟ้ากระแสสับหรือแบบจำลองสัญญาณขนาดเล็ก (Small Signal)

4.1.1 ผลการทดลองจากการสร้างแบบจำลองของวงจร Transistor Fix-Bias โดยใช้โปรแกรม PSpice

การสร้างแบบจำลองโดยใช้โปรแกรม PSpice นี้ ต้องต่อวงจรดังรูป โดยสมมุติค่าความต้านทาน R_B ขึ้นมา เพื่อที่จะหาจุดทำงานของวงจร



รูปที่ 4.1 วงจรสมมุติที่ใช้ในการหากราฟคุณลักษณะ

ตั้งค่า Analysis set up เลือก DC Sweep

Name: V_{CC}

Start value: 0

End value: 20

Increment: 0.01

เลือก Nested sweep

Name: V_{BB}

Start value: 10

End value: 30

Increment: 3

ทำการ Simulate จะได้กราฟดังรูป โดย

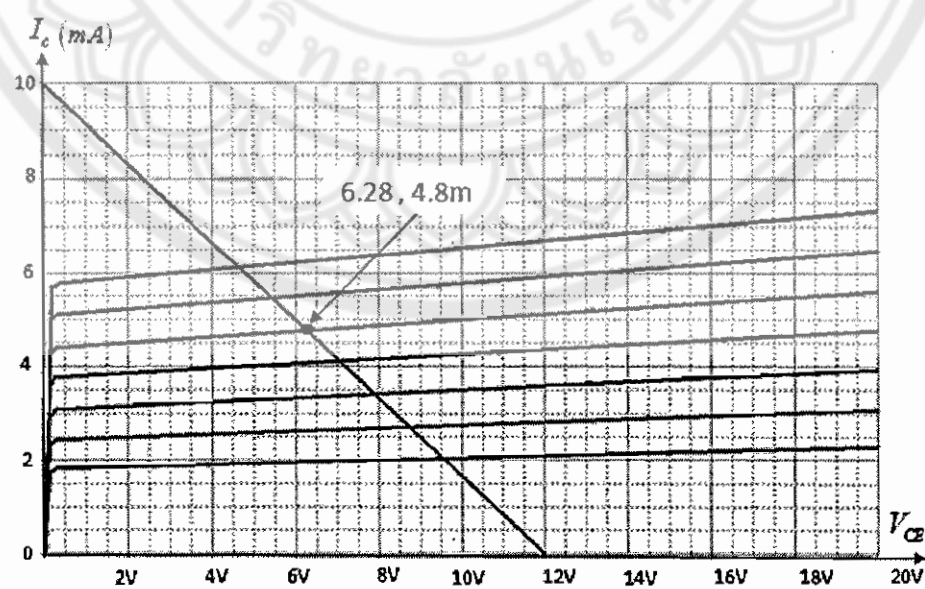
แกน X คือ V_{CE}

แกน Y คือ I_C

กำหนดเส้นโหลดไลน์ โดยกำหนดให้ $V_{CC} = 12V$ และ $R_C = 1.2k\Omega$

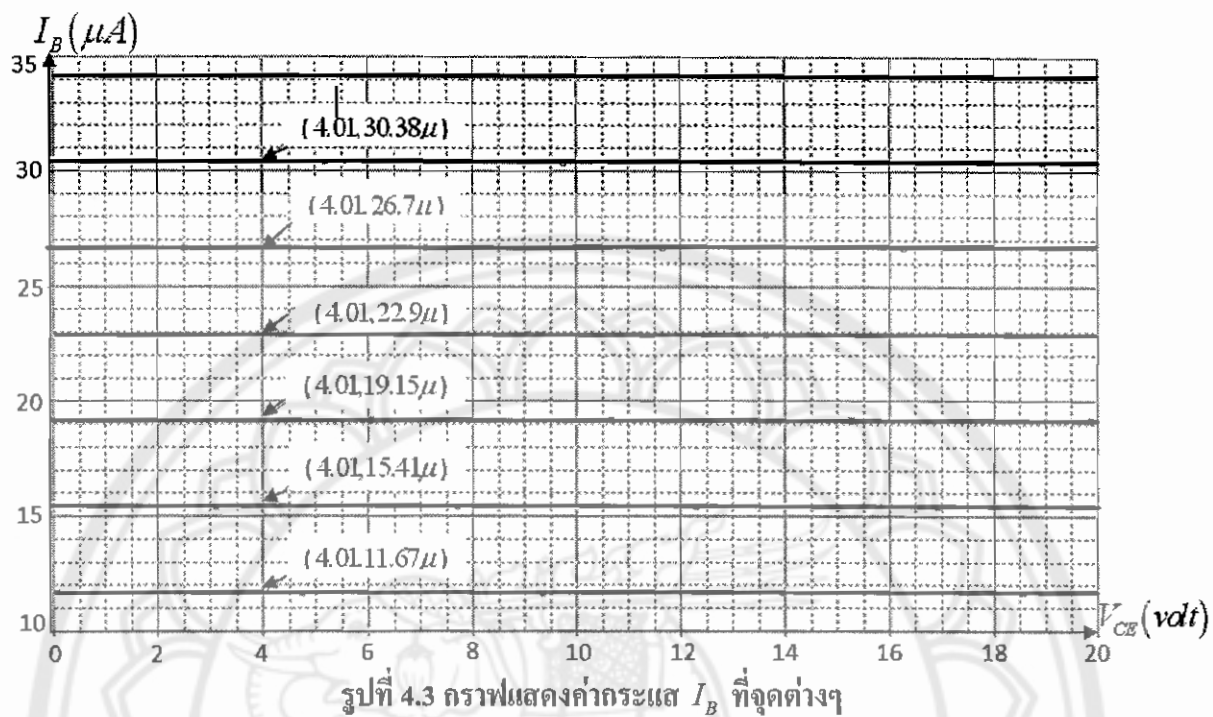
จุดตัดบนแกน X คือ จุดที่ $V_{CE} = V_{CC} = 12V$

$$\text{จุดตัดบนแกน Y คือ จุด } I_{C_{sat}} = \frac{V_{CC}}{R_C} = \frac{12V}{1.2k\Omega} = 10mA$$



รูปที่ 4.2 กราฟคุณลักษณะและเส้นโหลดของวงจร Transistor Fix-Bias

Trace หากระแส I_B จะได้กราฟดังรูป



ค่าพารามิเตอร์ต่างๆ ที่ได้จากการ Simulate คือ

$$I_{CQ} = 4.8mA$$

$$I_B = 26.6\mu A$$

$$V_{CEQ} = 6.3V$$

$$\text{อัตราขยาย } \beta = \frac{I_C}{I_B} = \frac{4.8mA}{26.6\mu A} = 179.775$$

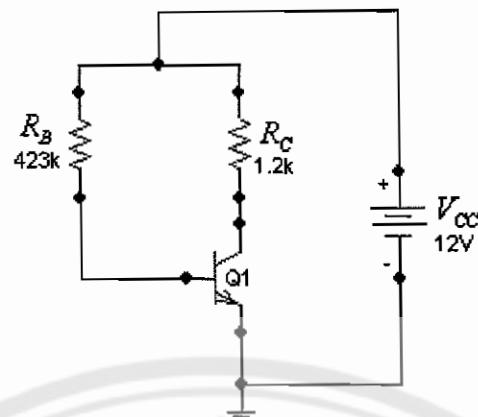
$$\beta = 180$$

หาค่าความต้านทาน R_B, R_C

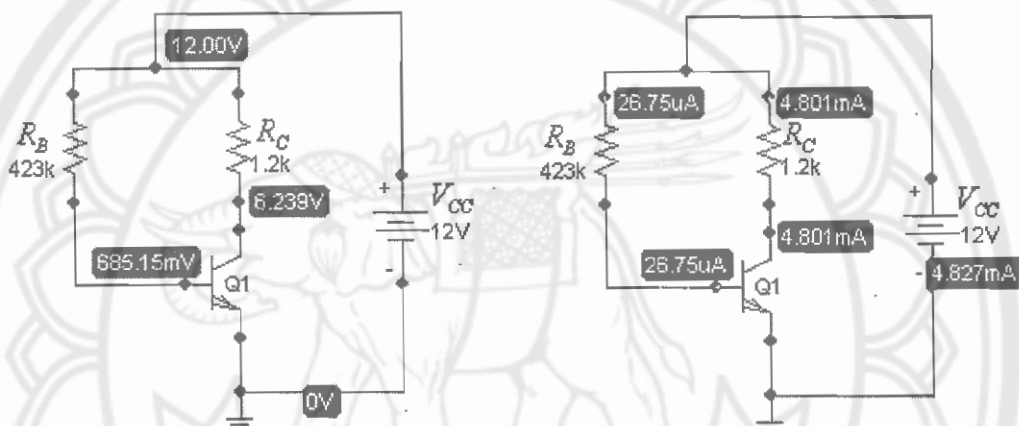
$$R_B = \frac{V_{CC} - V_{BE}}{I_B} = \frac{12 - 0.7}{26.6\mu A} = 423k\Omega$$

$$R_C = \frac{V_{CC} - V_{CE}}{I_C} = \frac{12 - 6.3}{4.8m} = 1.2k\Omega$$

นำค่าความต้านทานที่คำนวณได้มาคือในวงจรจริง จะได้วงจร Transistor Fix-Bias ดังรูปที่ 4.4 สามารถ Simulate หาค่าแรงดันและค่ากระแสที่จุดต่างๆ ของวงจรได้ดังรูปที่ 4.5

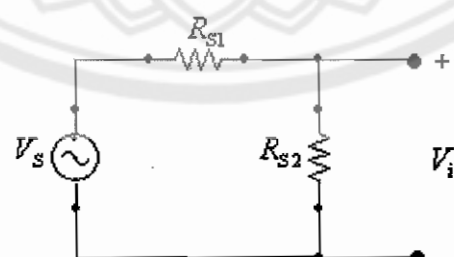


รูปที่ 4.4 แบบจำลองกระแสตรงของวงจร Transistor Fix-Bias



รูปที่ 4.5 แรงดันและกระแสที่จุดด่างๆ ของวงจร Transistor Fix-Bias

เนื่องจากการวิเคราะห์แบบจำลองสัญญาณขนาดเล็กต้องใช้สัญญาณอินพุตที่มีค่าน้อยมาก เพราะถ้าสัญญาณอินพุตมีค่ามากจะทำให้สัญญาณเอาต์พุตถูกขัดจังหวะ (ในการทดลองนี้ใช้ $V_i = 10mV$) แต่แหล่งจ่ายกระแสลับสามารถจ่ายแรงดันได้ต่ำสุด $100mV(p-p)$ จึงต้องมีการลดทอนแรงดันโดยใช้กูการแบ่งแรงดัน ดังรูป

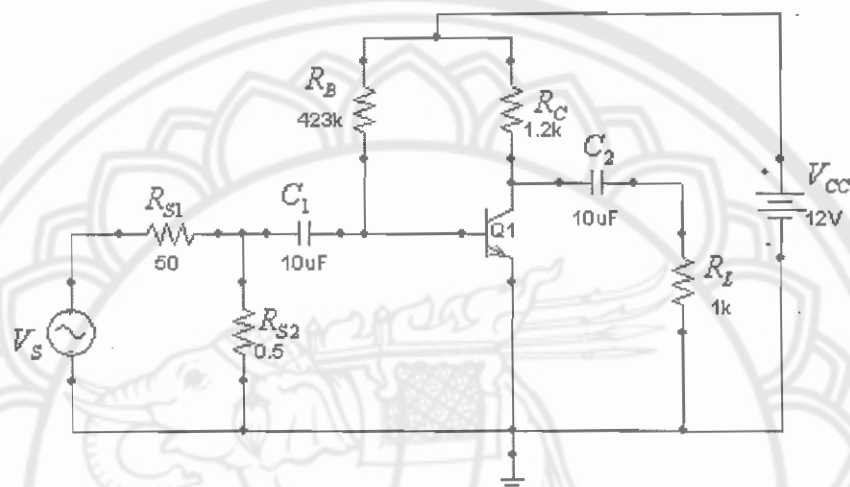


กำหนดให้ $V_s = 1V, R_{S1} = 50\Omega, R_{S2} = 0.5\Omega$ จะได้

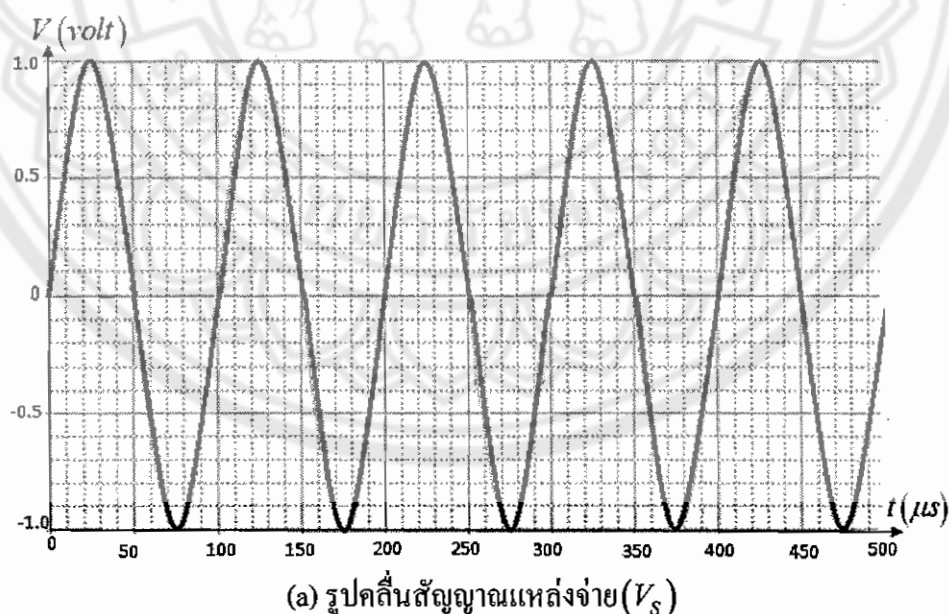
$$V_i = V_s \frac{R_{S2}}{R_{S1} + R_{S2}}$$

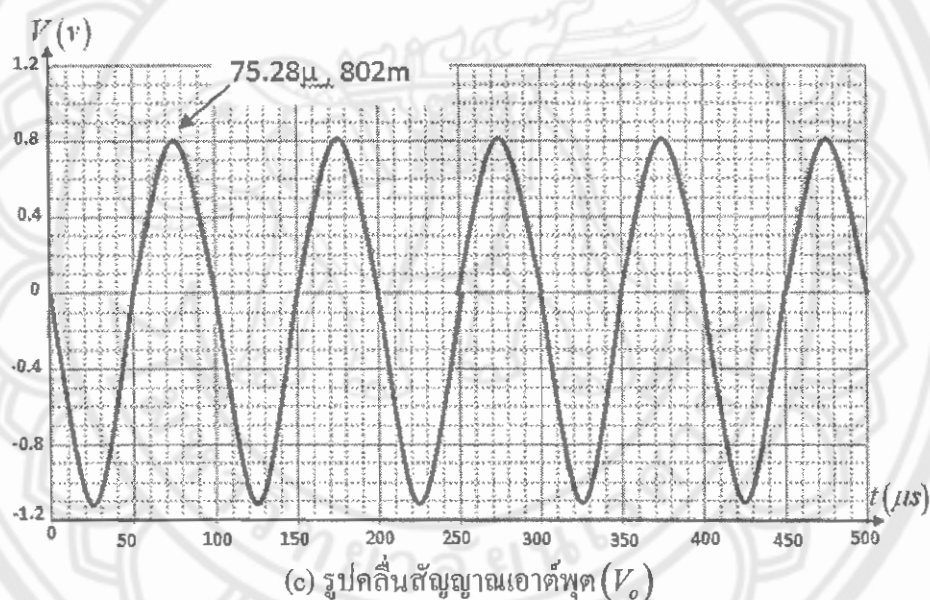
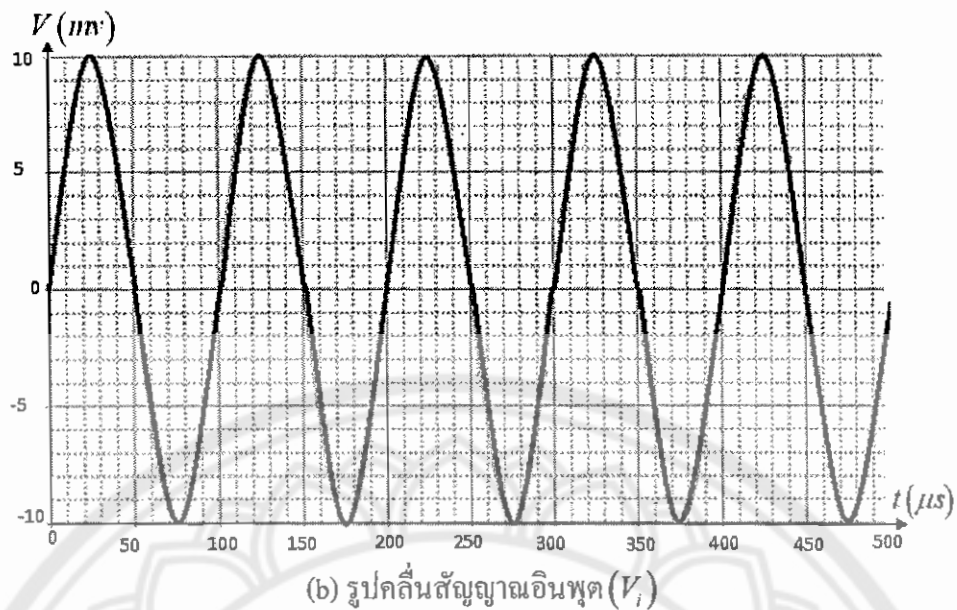
$$V_i = (1V) \frac{0.5\Omega}{50\Omega + 0.5\Omega} = 10mV$$

เมื่อต่อแหล่งจ่ายกระแสต้น (V_{sin}) เข้ากับวงจรในรูปที่ 4.4 จะได้แบบจำลองสัญญาณขนาดเล็กของวงจร Transistor Fix-Bias ดังรูปที่ 4.6 และสามารถใช้โปรแกรม Probe หาสัญญาณแหล่งจ่าย (V_s), สัญญาณอินพุต (V_i) และสัญญาณเอาต์พุต (V_o) ของวงจรได้ดังรูปที่ 4.7



รูปที่ 4.6 แบบจำลองสัญญาณขนาดเล็กของวงจร Transistor Fix-Bias





รูปที่ 4.7 รูปคลื่นสัญญาณที่ได้จากโปรแกรม PSpice

จากการฟังได้ $V_i = 10mV$ และ $V_o = -802.3mV$

$$A_V = \frac{V_o}{V_i} = -\frac{802.3mV}{10mV} = -80.23$$

4.1.2 ผลการทดลองจากการคำนวณวงจร Transistor Fix-Bias

จากการสร้างแบบจำลองโดยใช้โปรแกรม PSpice ค่าพารามิเตอร์ที่ได้จากจุด Q-Point คือ $I_{CQ} = 4.8mA$ และ $V_{CEQ} = 6.3V$ จากนั้นปีที่ 4.5 จะได้

$$\text{จากสมการ } V_{CC} = I_B R_B + V_{BE}$$

$$I_B = \frac{V_{CC} - V_{BE}}{R_B}$$

$$\text{จะได้ } I_B = \frac{12 - 0.7}{423k} = 26.7\mu A$$

เนื่องจากอัตราขยาย $\beta = 180$

$$I_C = \beta I_B = 180 \times 26.7\mu A = 4.8mA$$

$$I_E \equiv I_C$$

$$I_E = 4.8mA$$

$$\text{จากสมการ } V_{CC} = I_C R_C + V_{CE}$$

$$V_{CE} = V_{CC} - I_C R_C$$

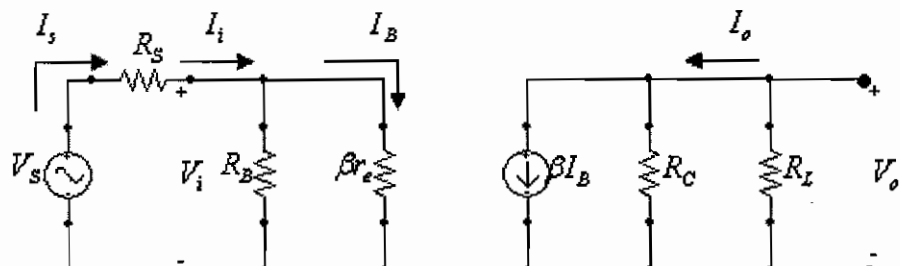
$$\text{จะได้ } V_{CE} = 12V - (4.8mA \times 1.2k) = 6.24V$$

$$\text{และ } V_C = V_{CE} = 6.24V$$

$$V_B = V_{BE} = 0.7V$$

$$V_E = 0V$$

จากรูปที่ 4.6 สามารถเขียนใหม่ในรูปแบบจำลอง r_e ดังรูป

รูปที่ 4.8 แบบจำลอง r_e ของวงจร Transistor Fix-Bias

จากวงจรจะได้ $r_e = \frac{26mV}{I_E} = \frac{26mV}{4.8mV} = 5.42\Omega$

$$\beta r_e = 180 \times 5.42 = 0.97k\Omega$$

$$Z_i = R_B \parallel \beta r_e = 423k \parallel 0.97k = 0.97k\Omega$$

$$R_S = 50\Omega + 0.5\Omega = 50.5\Omega$$

จากสมการ $A_V = -\frac{R_C \parallel R_L}{r_e}$

$$= -\frac{1.2k \parallel 1k}{5.42}$$

$$= -100.6$$

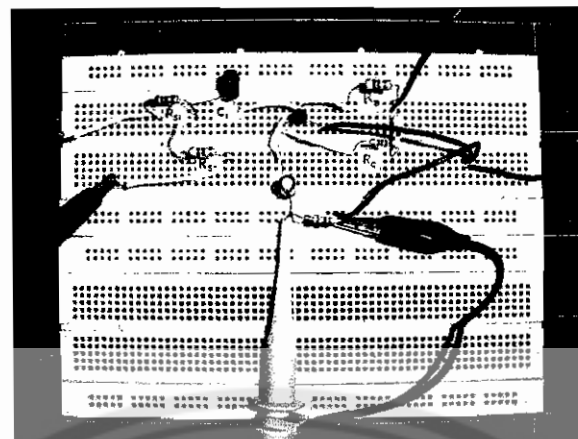
$$A_{V_s} = A_V \frac{Z_i}{Z_i + R_S}$$

$$= (-100.6) \frac{0.97k}{0.97k + 50.5}$$

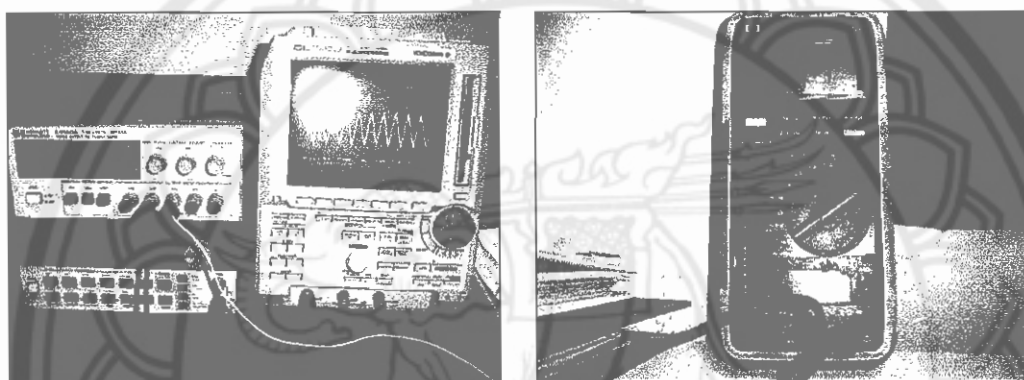
$$= -95.62$$

4.1.3 ผลการทดลองจากการต่อวงจร Transistor Fix-Bias

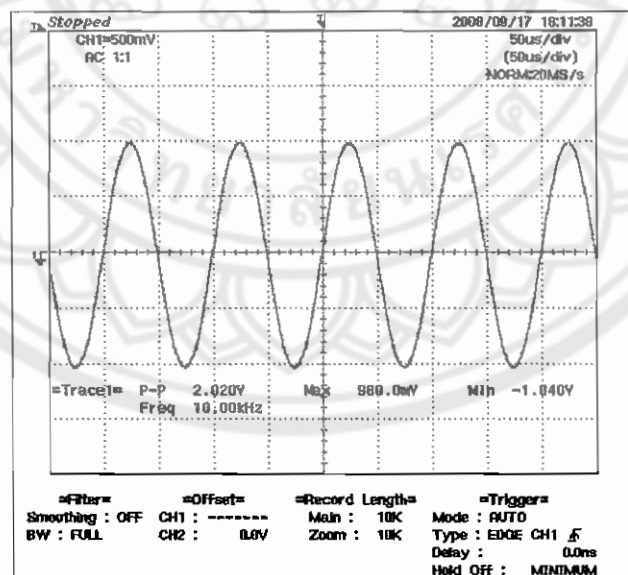
การต่อวงจร Transistor Fix-Bias ลงบอร์ด BU-1 ในการวิเคราะห์เชิงกระแสเดตรจะใช้ ดิจิตอลมัลติมิเตอร์ในการวัดค่ากระแสและแรงดันที่บุคคลต่างๆ สำรวจการวิเคราะห์สัญญาณขนาดเล็กจะใช้ ออสซิลโลสโคปในการวัดค่าและแสดงรูปคลื่นสัญญาณ



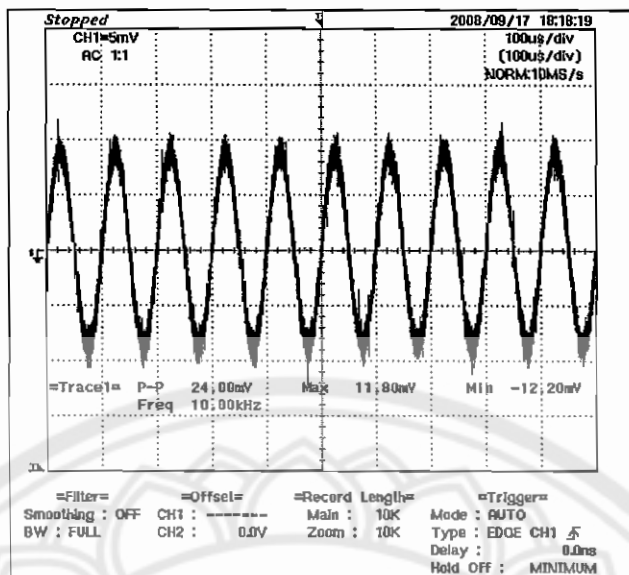
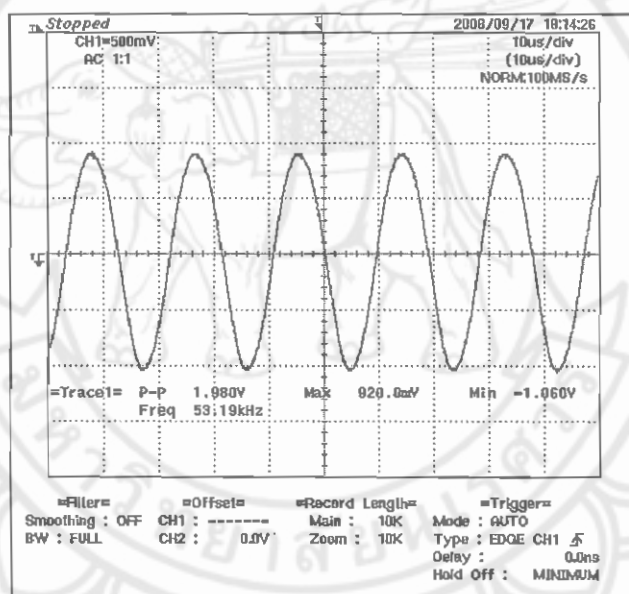
รูปที่ 4.9 การต่อวงจร Transistor Fix-Bias ลงบอร์ด BU-1



รูปที่ 4.10 แหล่งจ่ายและอุปกรณ์วัดค่า



(a) รูปคลื่นสัญญาณแหล่งจ่าย (V_s)

(b) รูปคลื่นสัญญาณอินพุต (V_i)(c) รูปคลื่นสัญญาณเอาต์พุต (V_o)

รูปที่ 4.11 รูปคลื่นสัญญาณที่ได้จากการต่อวงจร

จากรูปคลื่นสัญญาณในรูปที่ 4.11 จะได้ว่า

$$A_v = \frac{V_o}{V_i} = -\frac{920mV}{11.8mV} = -78$$

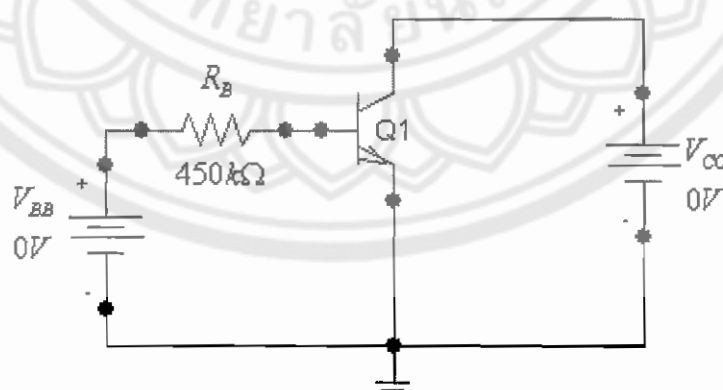
ผลการทดลองจากการสร้างแบบจำลองของวงจรทรานซิสเตอร์รับด้วยคู่หง้า 3 วิชี สามารถสรุปได้ดังตารางที่ 4.1

| พารามิเตอร์ | ค่าจากการ Simulate | ค่าจากการคำนวณ | ค่าจากการต่อจริง |
|-------------|--------------------|----------------|----------------------|
| I_C | 4.8 mA | 4.8 mA | 5 mA |
| I_B | 26.75 μ A | 26.7 μ A | 26.8 μ A |
| I_E | 4.8 mA | 4.8 mA | 5 mA |
| V_C | 6.239 V | 6.24 V | 5.91 V |
| V_B | 0.685 V | 0.7 V | 0.65 V |
| V_E | 0 V | 0 V | 0.7 mV \approx 0 V |
| V_{CE} | 6.239 V | 6.24 V | 5.9 V |
| V_{BE} | 0.685 V | 0.7 V | 0.648 V |
| A_V | -80.23 | -95.62 | -78 |

ตารางที่ 4.1 แสดงค่ากระแสและแรงดันของวงจร Transistor Fix-Bias

4.1.4 ผลการทดลองจากการสร้างแบบจำลองวงจร Transistor Emitter-Stabilized Bias โดยใช้โปรแกรม PSpice

การสร้างแบบจำลองโดยใช้โปรแกรม PSpice นี้ ต้องต่อวงจรดังรูป โดยสมมุติค่าความต้านทาน R_B ขึ้นมา เพื่อที่จะหาค่าทำงานของวงจร



รูปที่ 4.12 วงจรสมมุติที่ใช้ในการหาค่าคุณลักษณะ

ตั้งค่า Analysis set up เลือก DC Sweep

Name: V_{CC}

Start value: 0

End value: 20

Increment: 0.01

เลือก Nested sweep

Name: V_{BB}

Start value: 2

End value: 20

Increment: 3

ทำการ Simulate จะได้กราฟดังรูป โดย

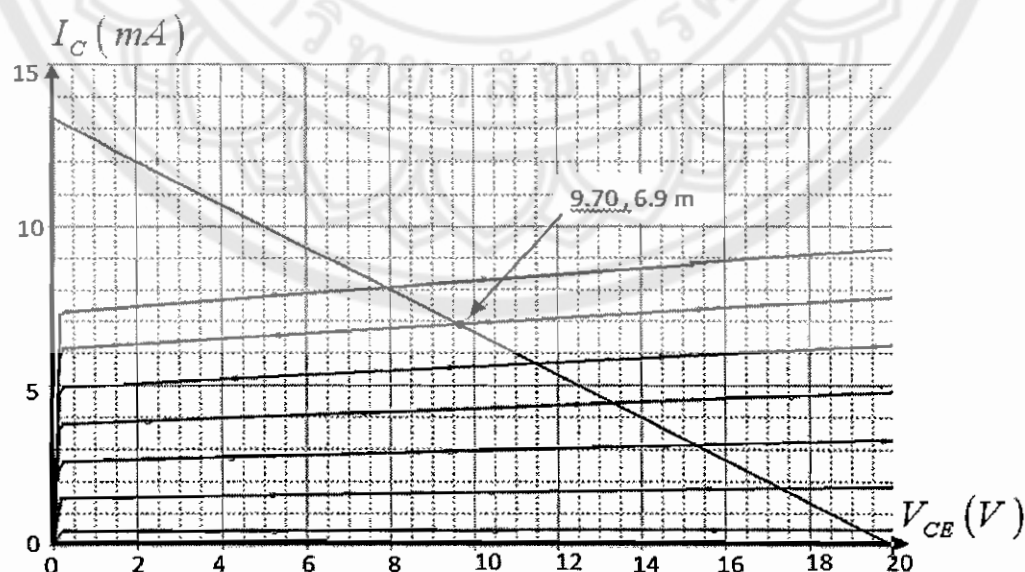
แกน X คือ V_{CE}

แกน Y คือ I_C

กำหนดเส้นโหลดไลน์ โดยกำหนดให้ $V_{CC} = 20V$ และ $R_C + R_E = 1.5k\Omega$

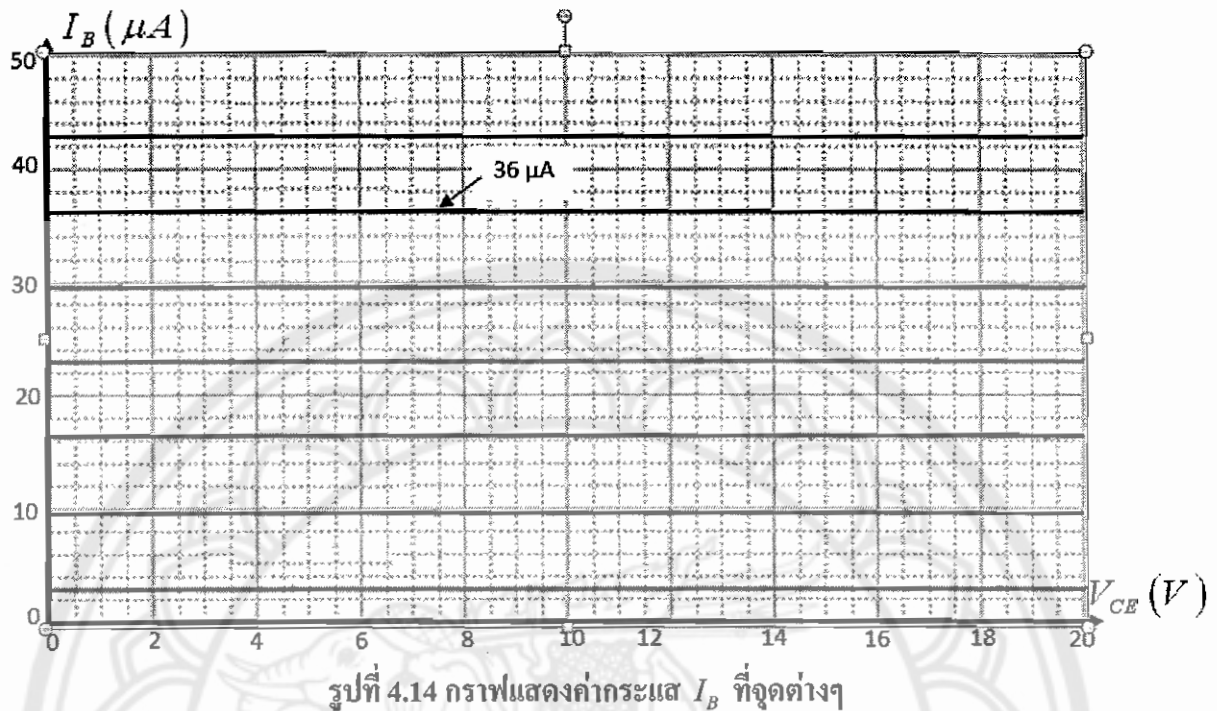
จุดตัดบนแกน X คือ จุดที่ $V_{CE} = V_{CC} = 20V$

$$\text{จุดตัดบนแกน Y คือ } I_{C_{sat}} = \frac{V_{CC}}{R_C + R_E} = 13.33mA$$



รูปที่ 4.13 กราฟคุณลักษณะและเส้นโหลดของวงจร Transistor Emitter-Stabilized Bias

Trace หากระแส I_B จะได้กราฟดังรูป



รูปที่ 4.14 กราฟแสดงค่ากระแส I_B ที่จุดต่างๆ

ค่าพารามิเตอร์ต่างๆ ที่ได้จากการ Simulate คือ

$$I_{CQ} = 6.9mA$$

$$I_B = 36\mu A$$

$$V_{CEQ} = 9.7V$$

อัตราขยาย $\beta = \frac{I_C}{I_B} = \frac{6.9mA}{36\mu A} = 191$

$$\beta = 191$$

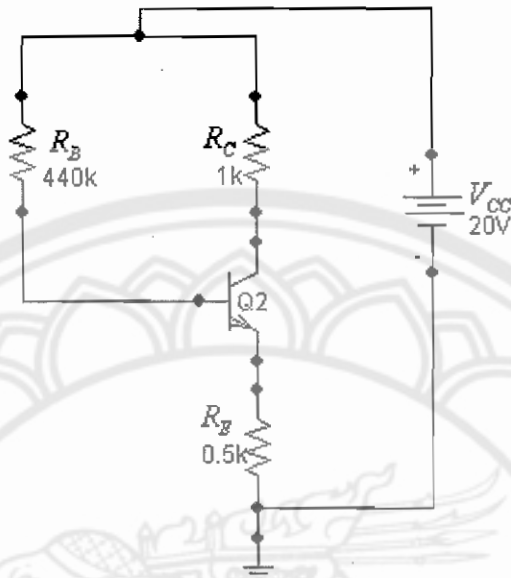
กำหนดให้ $R_C = 1k\Omega$ และ $R_E = 0.5k\Omega$

จาก $V_{CC} = I_B R_B + V_{BE} + I_E R_E$

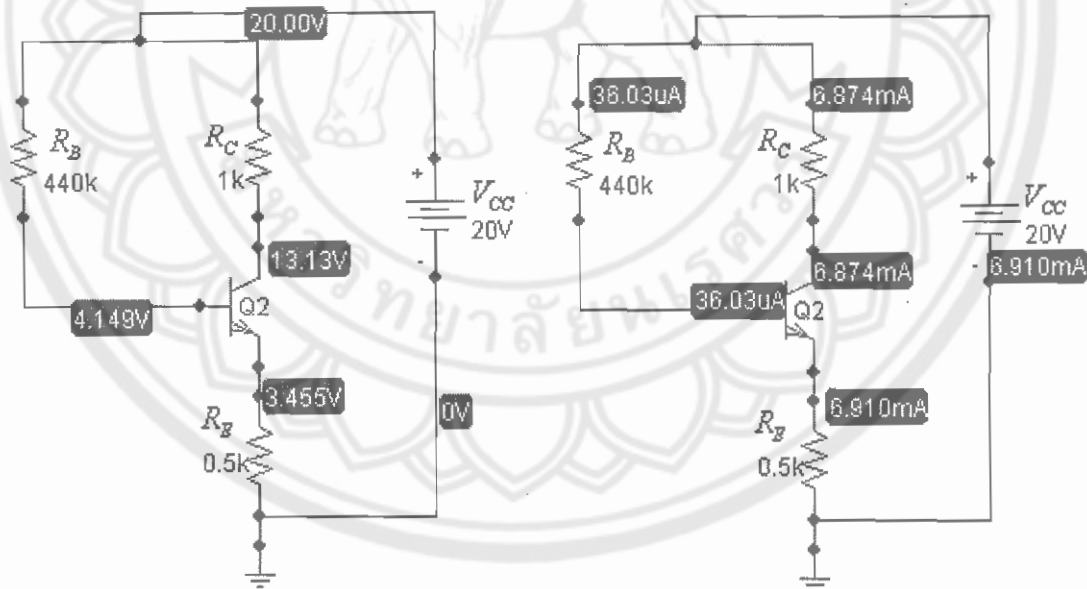
$$R_B = \frac{V_{CC} - V_{BE} - I_E R_E}{I_B}$$

$$R_B = \frac{20V - 0.7V - (6.9m \times 0.5k)}{36\mu} = 440k\Omega$$

นำค่าความด้านท่านที่คำนวณได้มาต่อในวงจรจริง จะได้วงจร Transistor Emitter-Stabilized Bias ดังรูปที่ 4.15 สามารถ Simulate หาค่าแรงดันและค่ากระแสที่จุดต่างๆ ของวงจรได้ดังรูปที่ 4.16

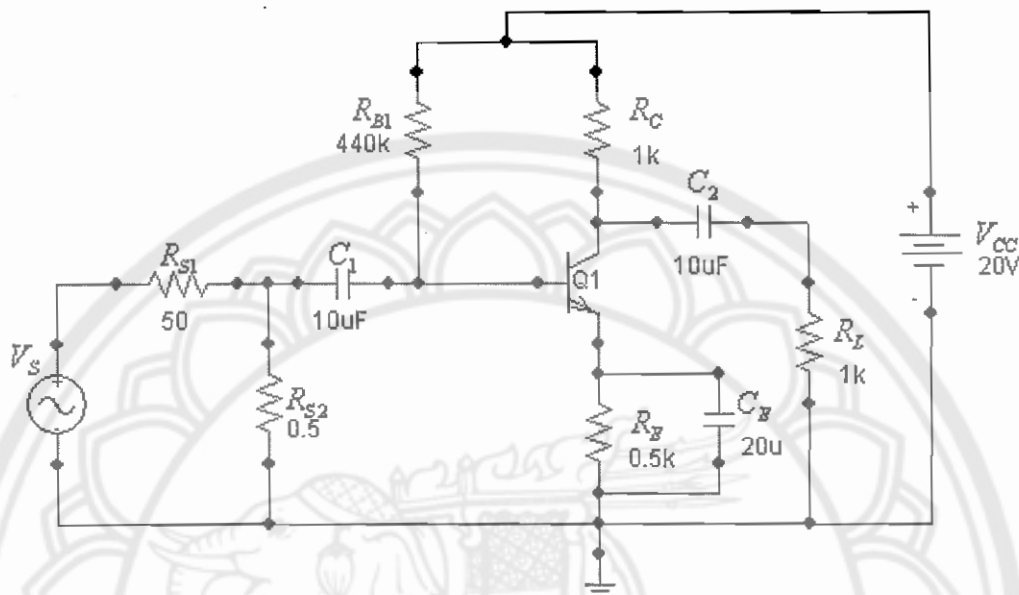


รูปที่ 4.15 แบบจำลองกระแสของวงจร Transistor Emitter-Stabilized Bias

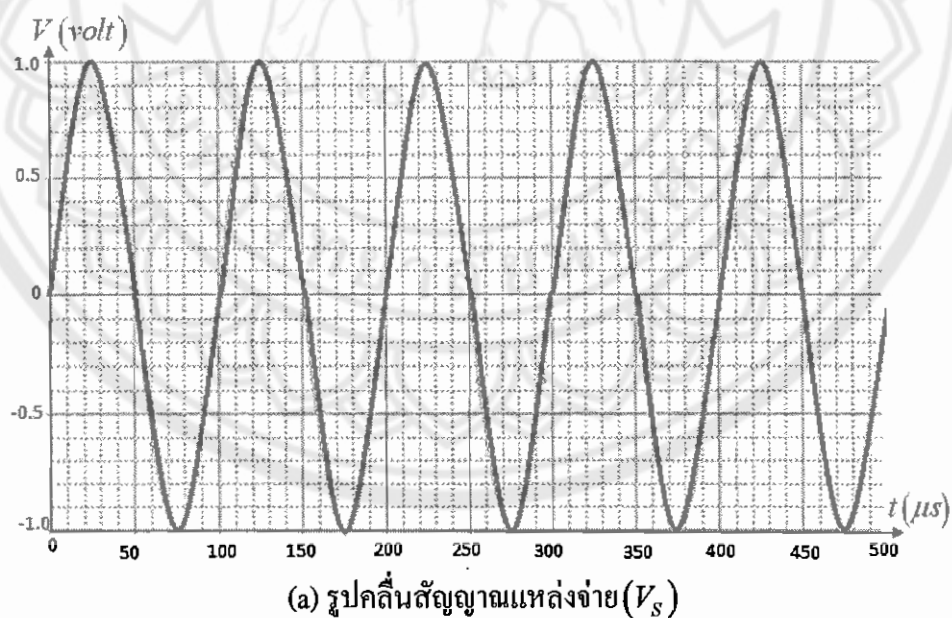


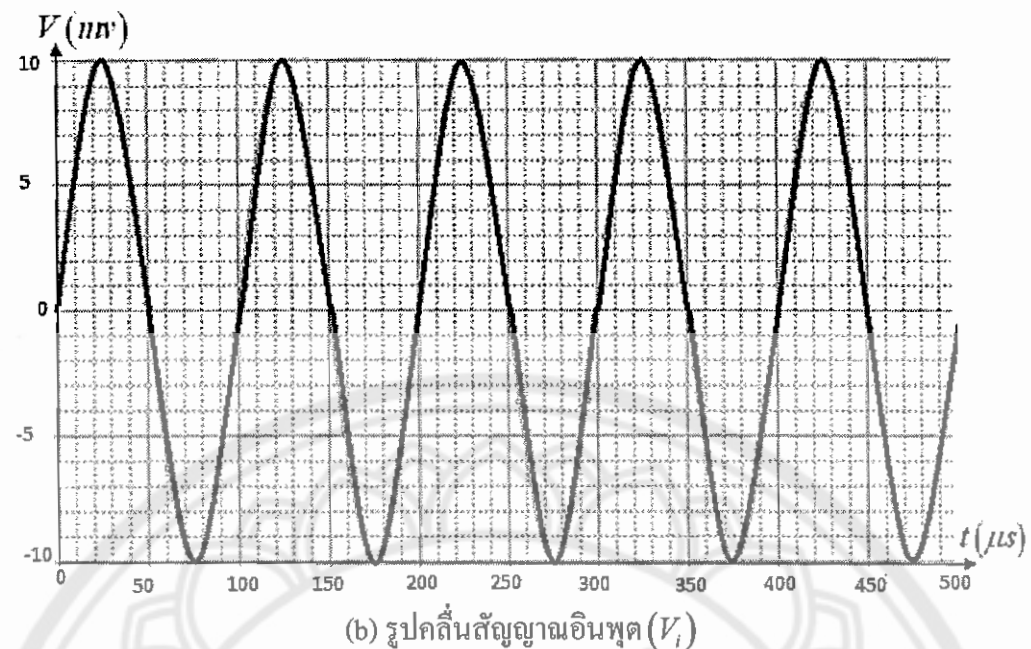
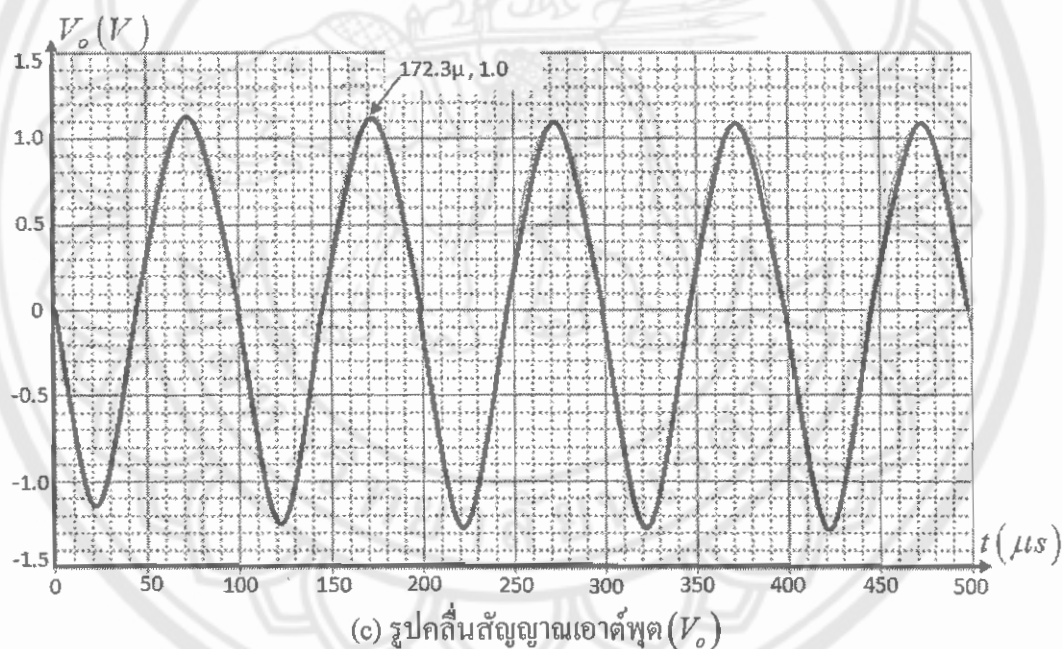
รูปที่ 4.16 แรงดันและกระแสที่จุดต่างๆ ของวงจร Transistor Emitter-Stabilized Bias

เมื่อต่อแหล่งจ่ายกระแสสลับ (V_{sin}) เข้าบวกจรในรูปที่ 4.15 จะได้แบบจำลองสัญญาณขนาดเด็กของวงจร ดังรูปที่ 4.17 และสามารถใช้โปรแกรม Probe หาสัญญาณแหล่งจ่าย (V_s), สัญญาณอินพุต (V_i) และสัญญาณเอาต์พุต (V_o) ของวงจรได้ดังรูปที่ 4.18



รูปที่ 4.17 แบบจำลองสัญญาณขนาดเด็กของวงจร Transistor Emitter-Stabilized Bias



(b) รูปคลื่นสัญญาณอินพุต (V_i)(c) รูปคลื่นสัญญาณเอาต์พุต (V_o)

รูปที่ 4.18 รูปคลื่นสัญญาณที่ได้จากโปรแกรม PSpice

จากการจะได้ $V_i = 10mV$ และ $V_o = -1V$

$$A_v = \frac{V_o}{V_i} = -\frac{1V}{10mV} = -100$$

4.1.5 ผลการทดลองจากการคำนวณจร Transistor Emitter-Stabilized Bias

จากการสร้างแบบจำลองโดยใช้โปรแกรม PSpice ค่าพารามิเตอร์ที่ได้จากจุด Q-Point คือ $I_{C_Q} = 6.9mA$ และ $V_{CEQ} = 9.7V$ จากข้อที่ 4.15 จะได้

$$\text{จากสมการ } V_{CC} = I_B R_B + V_{BE} + I_E R_E$$

$$I_B = \frac{V_{CC} - V_{BE}}{R_B + (\beta + 1)R_E}$$

จะได้

$$I_B = \frac{20 - 0.7}{440k + (191+1)0.5k} = 36\mu A$$

เนื่องจากอัตราขยาย

$$\beta = 191$$

$$I_C = \beta I_B = 191 \times 36\mu = 6.876mA$$

$$I_E \cong I_C$$

$$I_E = 6.876mA$$

จากสมการ

$$V_{CC} = I_C R_C + V_{CE} + I_E R_E$$

จะได้

$$V_{CE} = V_{CC} - I_C (R_C + R_E)$$

$$V_{CE} = 20V - 6.876m(1k \times 0.5k) = 9.876V$$

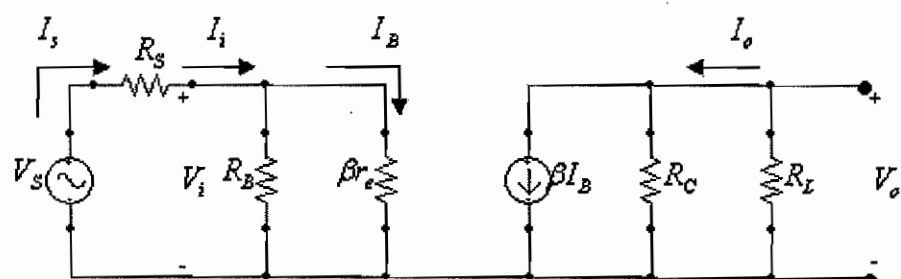
และ

$$V_E = I_E R_E = 6.876m \times 0.5k = 3.438V$$

$$V_C = V_{CE} + V_E = 9.876V + 3.438V = 13.12V$$

$$V_B = V_{BE} + V_E = 0.7 + 3.438 = 4.138V$$

จากข้อที่ 4.17 สามารถเขียนใหม่ในรูปแบบจำลอง r_e ดังรูป



รูปที่ 4.19 แบบจำลอง r_e ของวงจร Transistor Emitter-Stabilized Bias

จากวงจรได้ $\beta = 191$

$$r_e = \frac{26mV}{I_E} = \frac{26mV}{6.9mV} = 3.77\Omega$$

$$\beta r_e = 191 \times 3.77 = 0.72k\Omega$$

$$Z_i = R_B \parallel \beta r_e = 440k \parallel 0.72k = 0.72k\Omega$$

จาก

$$A_V = -\frac{R_C \parallel R_L}{r_e}$$

$$= -\frac{1k \parallel 1k}{3.77}$$

$$= -132.63$$

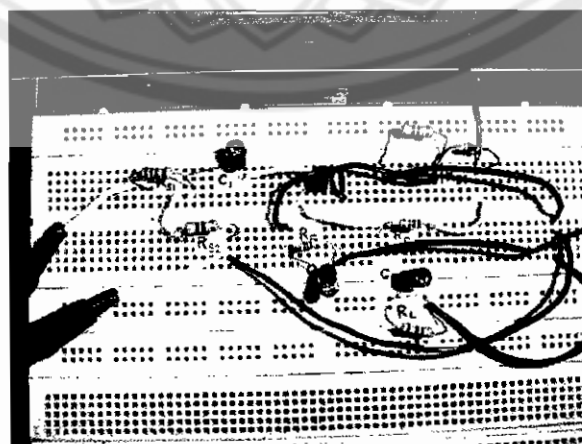
$$A_{V_s} = A_V \frac{Z_i}{Z_i + R_S}$$

$$= (-132.63) \frac{0.72k}{0.72k + 50.5}$$

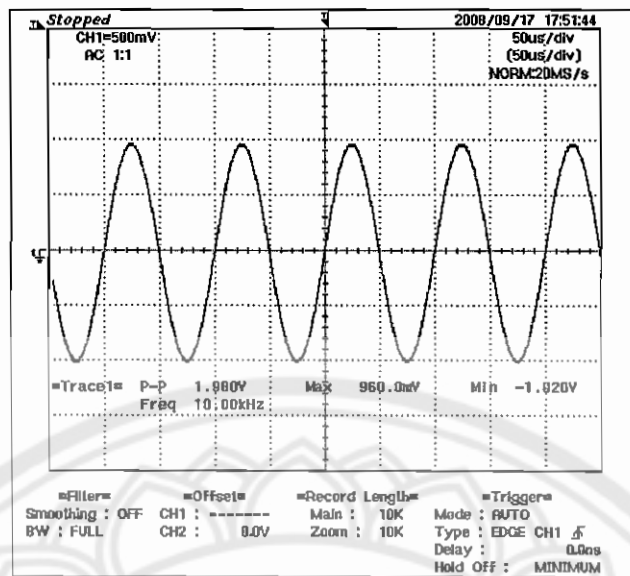
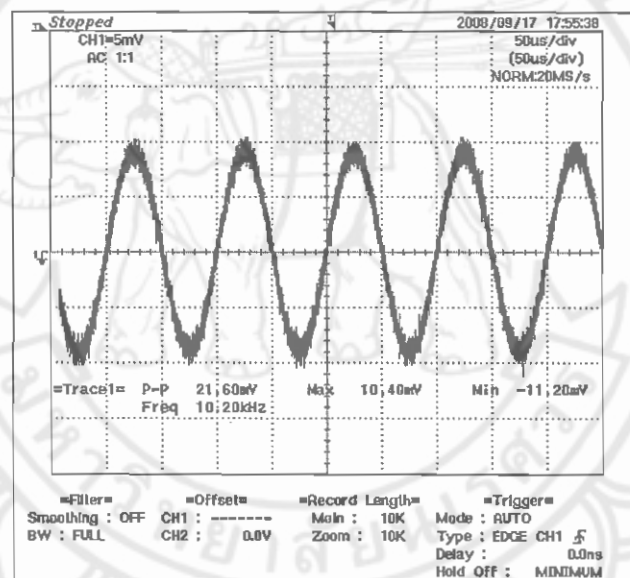
$$= -124$$

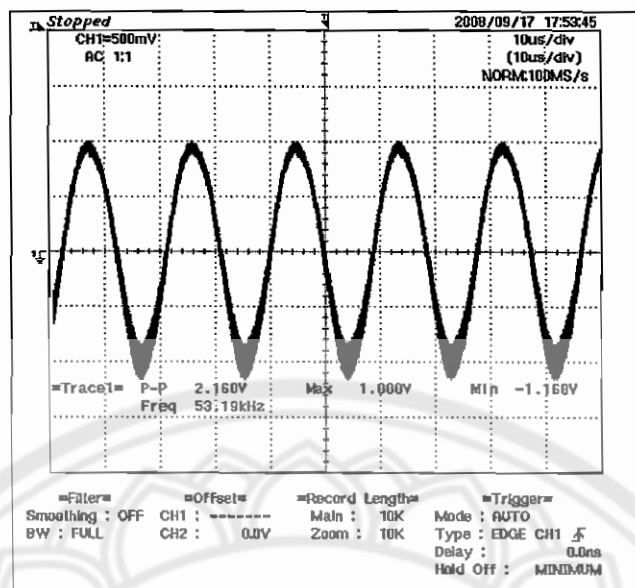
4.1.6 ผลการทดลองจากการต่อวงจร Transistor Emitter-Stabilized Bias

การต่อวงจร Transistor Emitter-Stabilized Bias ลงบอร์ด BU-1 ในการวิเคราะห์เชิงกระแสต้องใช้คิจิตลอกติดมิเตอร์ในการวัดค่ากระแสและแรงดันที่จุดต่างๆ ส่วนการวิเคราะห์สัญญาณนادเด็กจะใช้ออสซิลโลสโคปในการวัดค่ากระแสและแสดงรูปคลื่นสัญญาณ



รูปที่ 4.20 การต่อวงจร Transistor Emitter-Stabilized Bias ลงบอร์ด BU-1

(a) รูปคลื่นสัญญาณแหล่งจ่าย (V_S)(b) รูปคลื่นสัญญาณอินพุต (V_i)

(c) รูปคลื่นสัญญาณเอาต์พุต (V_o)

รูปที่ 4.21 รูปคลื่นสัญญาณที่ได้จากการต่อวงจร

จากรูปคลื่นสัญญาณในรูปที่ 4.21 จะได้ว่า

$$A_V = \frac{V_o}{V_i} = -\frac{1V}{10.4mV} = -96.15$$

ผลการทดลองจากการสร้างแบบจำลองของวงจรทรานซิสเตอร์อยู่ต่ออุ่ง 3 วิชี สามารถสรุปได้ดังตารางที่ 4.2

| พารามิเตอร์ | ค่าจาก การ Simulate | ค่าที่ได้จากการคำนวณ | ค่าที่ได้จากการทดลอง |
|-------------|---------------------|----------------------|----------------------|
| I_C | 6.874 mA | 6.876 mA | 6.9 mA |
| I_B | 36 μ A | 36 μ A | 35.49 μ A |
| I_E | 6.91 mA | 6.876 mA | 6.98 mA |
| V_C | 13.13 V | 13.12 V | 13.06 V |
| V_B | 4.149 V | 4.138 V | 4.11 V |
| V_E | 3.455 V | 3.438 V | 3.49 V |
| V_{CE} | 9.675 V | 9.876 V | 9.57 V |
| V_{BE} | 0.694 V | 0.7 V | 0.65 V |
| A_V | -100 | -124 | -96.15 |

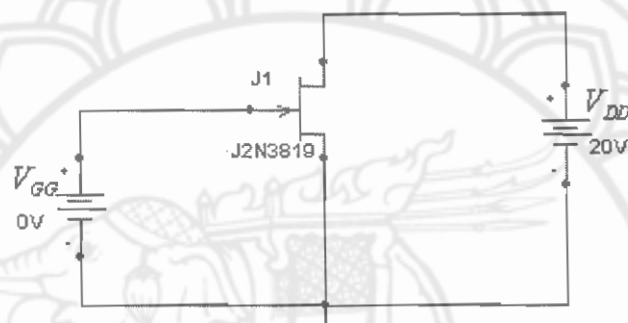
ตารางที่ 4.2 แสดงค่ากระแสและแรงดันของวงจร Transistor Emitter-Stabilized Bias

4.2 ผลการทดลองจากการสร้างแบบจำลองของวงจรทรานซิสเตอร์สำหรับไฟฟ้า (FET)

ในการวิเคราะห์แบบจำลองด้วยแนวทางไฟฟ้าของทรานซิสเตอร์ จะแยกวิเคราะห์เป็น 2 กรณี คือ การวิเคราะห์ผลตอบสนองเชิงไฟฟ้ากระแสตรงและการวิเคราะห์ผลตอบสนองเชิงไฟฟ้ากระแสสัมบูรณ์หรือแบบจำลองสัญญาณขนาดเล็ก (Small Signal)

4.2.1 ผลการทดลองจากการสร้างแบบจำลองวงจร JFET Fix-Bias โดยใช้โปรแกรม PSpice

การสร้างแบบจำลองโดยใช้โปรแกรม PSpice นั้น ต้องต่อวงจรดังรูป โดยกำหนดแหล่งจ่ายแรงดัน $V_{DD} = 20V$ เพื่อที่จะหาจุดทำงานของวงจร



รูปที่ 4.22 วงจรสมมุติที่ใช้ในการหากราฟคุณลักษณะ

ตั้งค่า Analysis set up เลือก DC Sweep

Name: V_{GG}

Start value: -3

End value: 0

Increment: 0.1

เลือก Nested sweep

เลือก Swept Var. Type เป็น Temperature

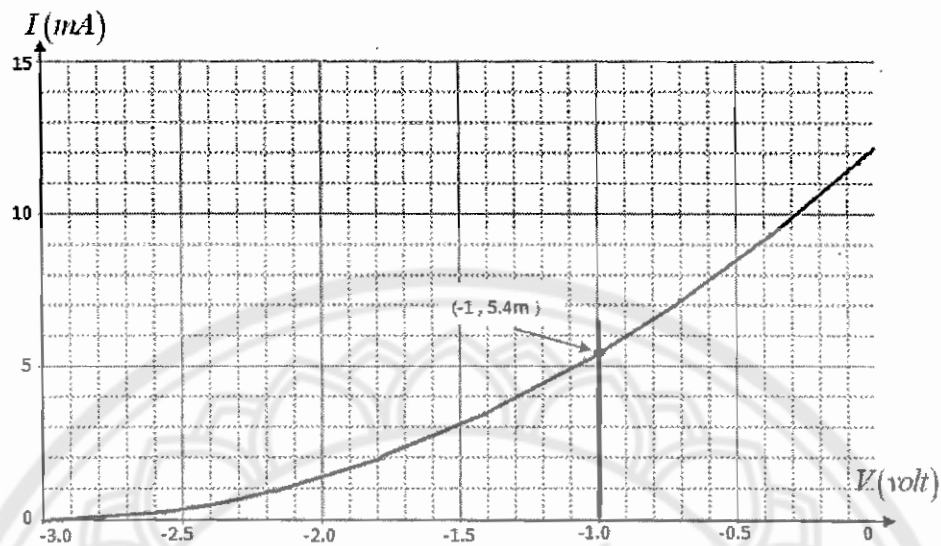
เลือก Swept Type เป็น Linear และไม่เลือก Enable

ทำการ Simulate จะได้กราฟดังรูป โดย

แกน X คือ V_{GS}

แกน Y คือ I_D

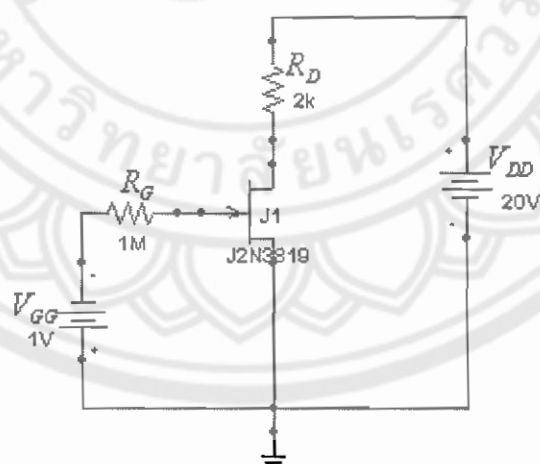
กำหนดให้ $R_D = 2k\Omega$, $R_G = 1M\Omega$, $V_{GG} = 1V$ จะได้เส้นโหลด คือ $V_{GS} = -V_{GG} = -1V$



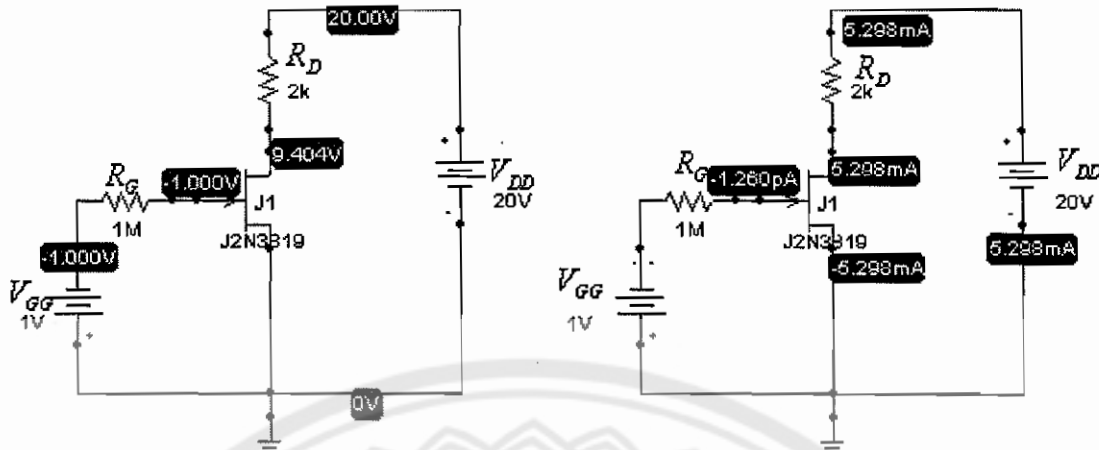
รูปที่ 4.23 กราฟคุณลักษณะและเส้นโหลดของวงจร JFET Fix-Bias

จากจุด Q-point จะได้ $I_{DQ} = 5.4mA$ และ $V_{GSQ} = -1V$

นำค่าความด้านทานที่กำหนดมาต่อในวงจรจริง จะได้วงจร JFET Fix-Bias ดังรูปที่ 4.24 สามารถ Simulate หาค่าแรงดันและค่ากระแสที่จุดต่างๆ ของวงจรได้ดังรูปที่ 4.25

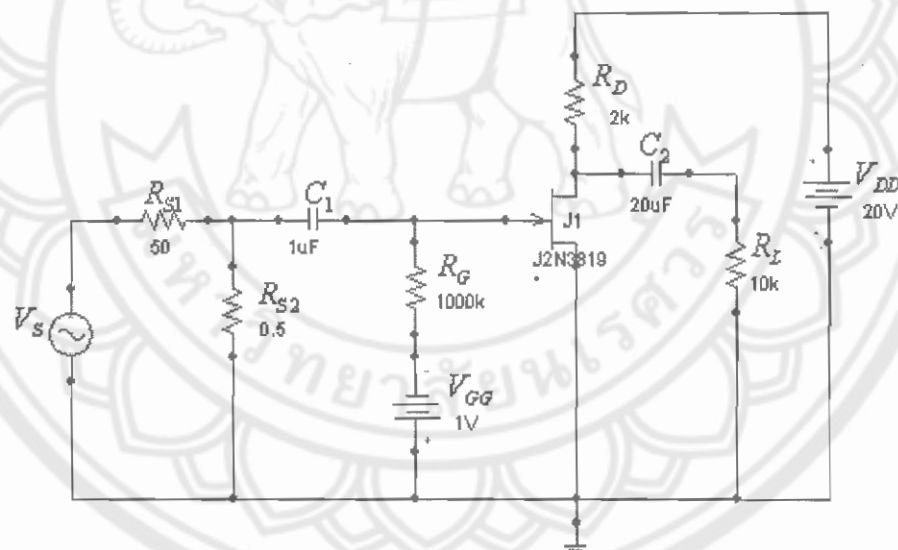


รูปที่ 4.24 แบบจำลองกระแสของวงจร JFET Fix-Bias

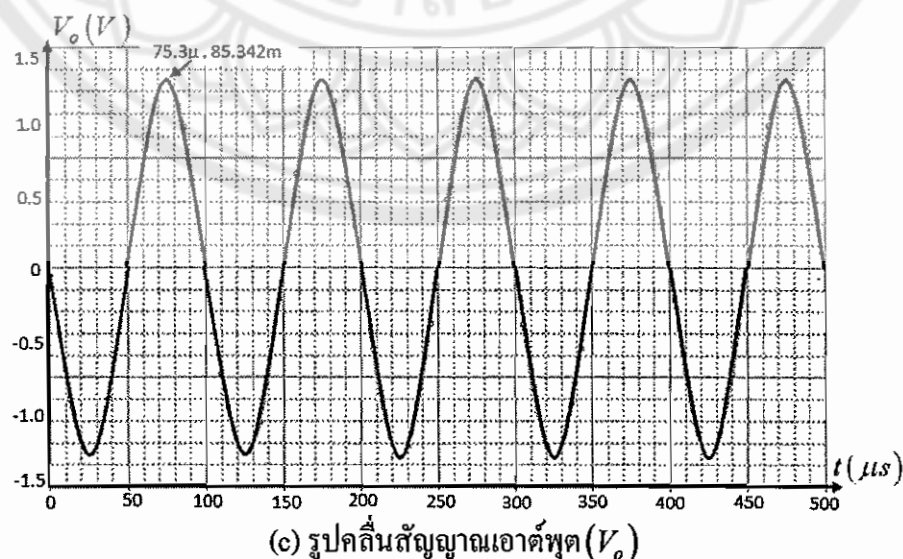
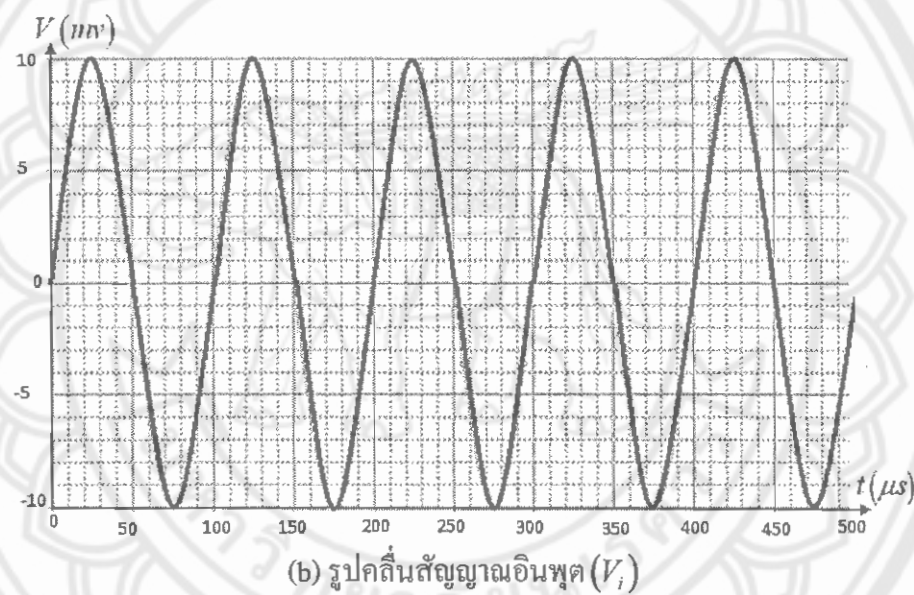
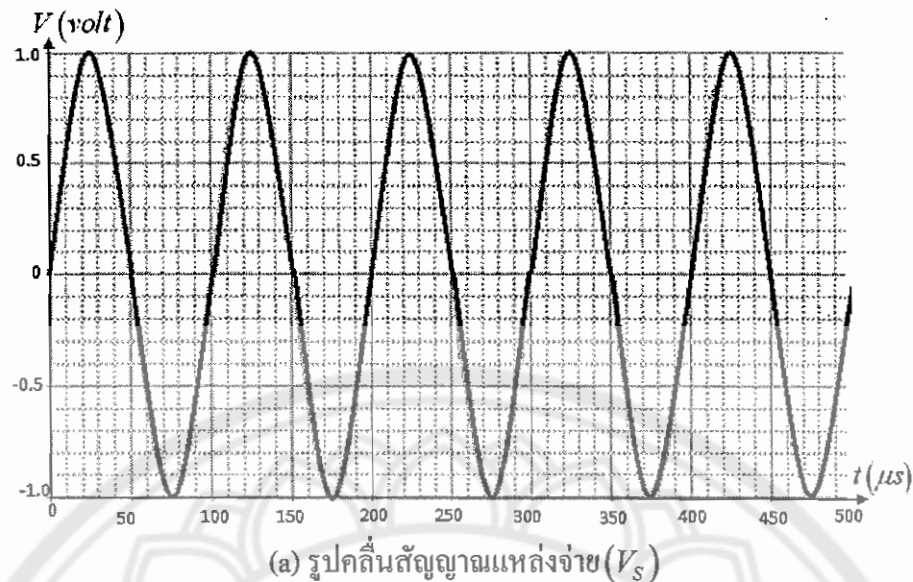


รูปที่ 4.25 แรงดันและกระแสที่จุดต่างๆ ของวงจร JFET Fix-Bias

เมื่อต่อแหล่งจ่ายกระแสลับ (V_{sin}) เข้ากับวงจรในรูปที่ 4.24 จะได้แบบจำลองสัญญาณขนาดเล็ก ดังรูปที่ 4.26 และสามารถใช้โปรแกรม Probe หาสัญญาณแหล่งจ่าย (V_s), สัญญาณอินพุต (V_i) และสัญญาณเอาต์พุต (V_o) ของวงจรได้ดังรูปที่ 4.27



รูปที่ 4.26 แบบจำลองสัญญาณขนาดเล็กของวงจร JFET Fix-Bias



รูปที่ 4.27 รูปคลื่นสัญญาณที่ได้จากโปรแกรม PSpice

จากกราฟจะได้ $V_i = 10mV$ และ $V_o = -85.34mV$

$$A_V = \frac{V_o}{V_i} = -\frac{85.34mV}{10mV} = -8.5$$

4.2.2 ผลการทดสอบจากการคำนวณของ JFET Fix-Bias

จากสมการ

$$V_{DS} = V_{DD} - I_D R_D$$

จะได้

$$V_{DS} = 20 - (5.4m \times 2k) = 9.2V$$

และ

$$V_G = V_{GS} = -1V$$

และ

$$V_D = V_{DS} = 9.2V$$

$$V_S = 0V$$

$$I_G = 0A$$

$$I_D = I_S = 5.4mA$$

จากการทดสอบการไปอัลตรอนของวงจร JFET Fixed – Bias จะได้

$$I_{DSS} = 12.16mA, V_P = -3V, V_{GS} = -1V$$

$$g_{mo} = \frac{2I_{DSS}}{|V_P|}$$

$$= \frac{2 \times 12.16m}{|-3|} = 8.11mS$$

$$g_m = g_{mo} \left(1 - \frac{V_{GS}}{V_P} \right)$$

$$= 8.11m \left(1 - \frac{-1}{-3} \right) = 5.4mS$$

$$Z_i = R_G = 1M\Omega$$

จากสมการ

$$A_V = -g_m (R_D \| R_L)$$

จะได้

$$A_V = -5.4m (2k \| 10k) = -9$$

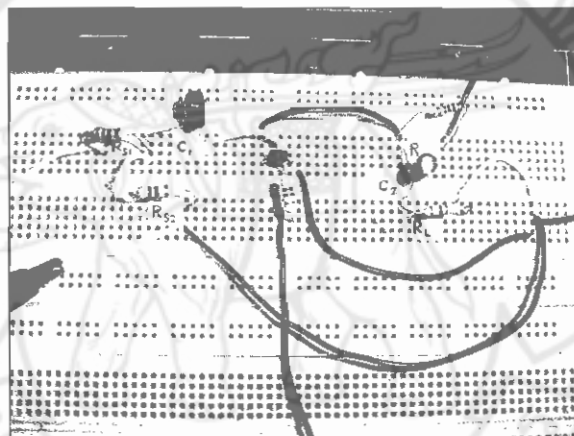
$$A_{V_s} = A_V \frac{Z_i}{Z_i + R_s}$$

$$= (-9) \frac{1M}{1M + 50.5}$$

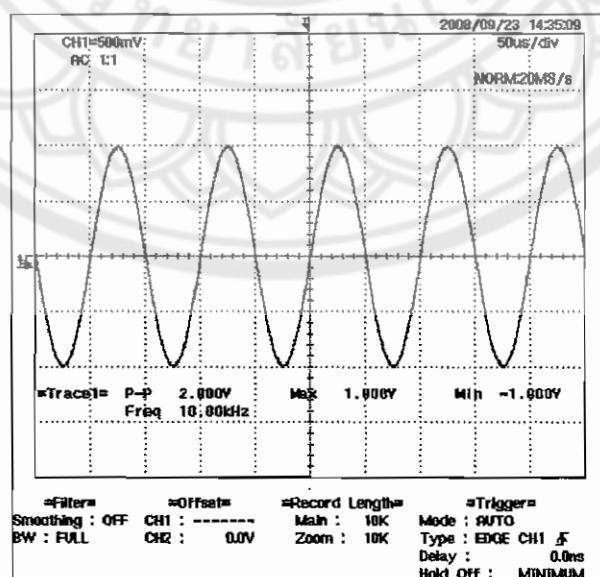
$$= -9$$

4.2.3 ผลการทดลองขากการต่อวงจร JFET Fix-Bias

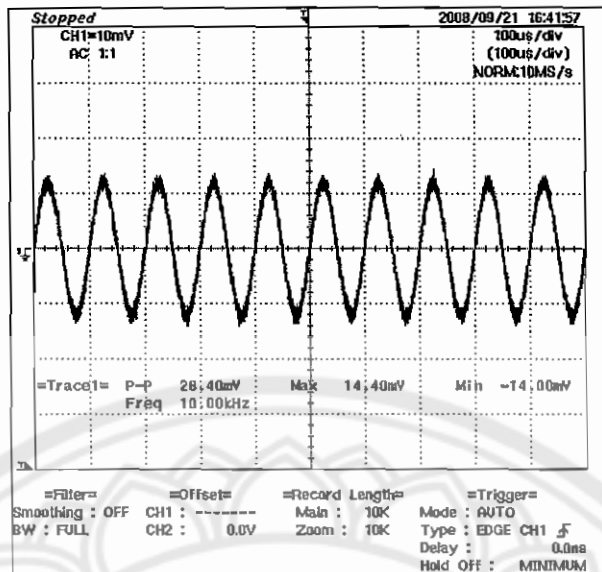
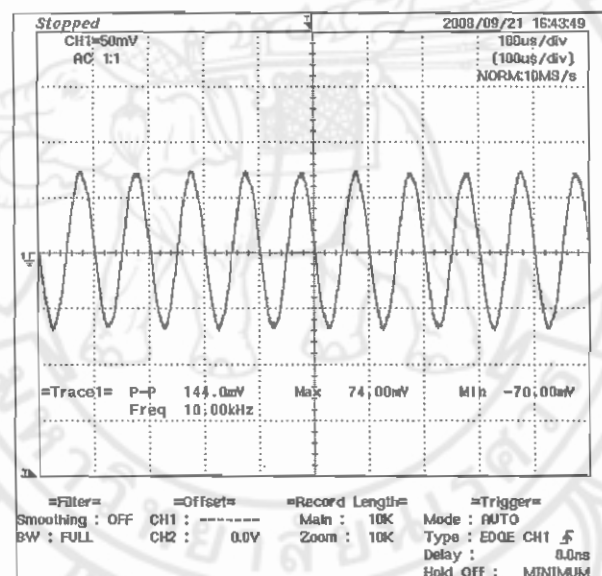
การต่อวงจร JFET Fix-Bias ลงบอร์ด BU-1 ในการวิเคราะห์เชิงกระแสตรงจะใช้คิจิตอลมัตติมิเตอร์ในการวัดค่ากระแสและแรงดันที่จุดต่างๆ ส่วนการวิเคราะห์สัญญาณขนาดเด็กจะใช้oscilloscopeในการวัดค่ากระแสและแรงดันสัญญาณ



รูปที่ 4.28 การต่อวงจร JFET Fix-Bias ลงบอร์ด BU-1



(a) รูปคลื่นสัญญาณแหล่งจ่าย (V_s)

(b) รูปคลื่นสัญญาณอินพุต (V_i)(c) รูปคลื่นสัญญาณเอาต์พุต (V_o)

รูปที่ 4.29 รูปคลื่นสัญญาณที่ได้จากการต่อวงจร

จากรูปคลื่นสัญญาณในรูปที่ 4.29 จะได้ว่า

$$A_V = \frac{V_o}{V_i} = -\frac{74mV}{14.4mV} = -5.14$$

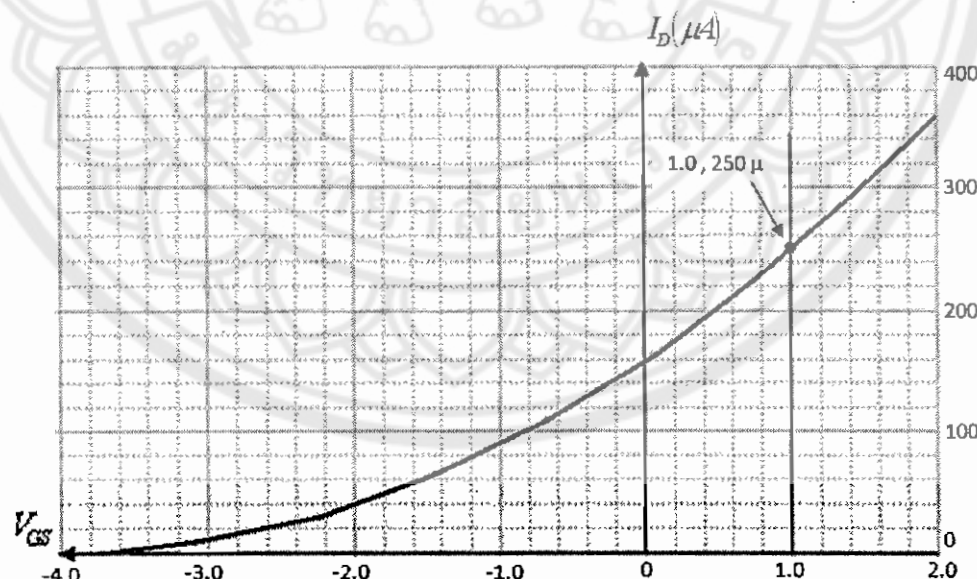
ผลการทดลองจากการสร้างแบบจำลองทั้ง 3 วิธี สามารถสรุปได้ดังตารางที่ 4.3

| พารามิเตอร์ | ค่าจาก การ Simulate | ค่าจาก การคำนวณ | ค่าจาก การต่อวงจร |
|-------------|---------------------|-----------------|-------------------|
| V_{DS} | 9.4 V | 9.2 V | 9.75 V |
| V_{GS} | -1 V | -1 V | -0.9 V |
| V_G | -1 V | -1 V | -0.9 V |
| V_D | 9.4 V | 9.2 V | 10.2 V |
| V_S | 0 V | 0 V | 0 V |
| I_G | 1.2 pA | 0 A | 0 A |
| I_D | 5.298 mA | 5.4 mA | 5.13 mA |
| I_S | 5.298 mA | 5.4 mA | 5.13 mA |
| A_V | -8.5 | -9 | -5.14 |

ตารางที่ 4.3 แสดงค่ากระแสและแรงดันของวงจร JFET Fix-Bias

4.2.4 ผลการทดลองจากการสร้างแบบจำลองวงจร D-MOSFET Fix-Bias โดยใช้โปรแกรม PSpice

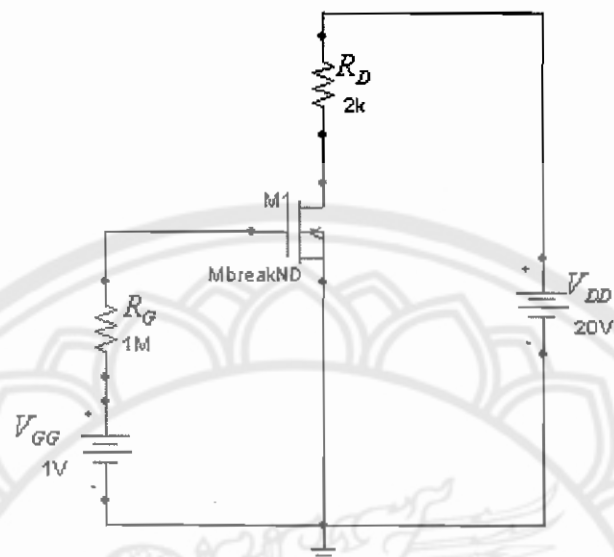
กำหนดให้ $R_D = 2k\Omega$, $R_G = 1M\Omega$, $V_{GG} = 1V$ จะได้สมการเส้นโหลด คือ $V_{GS} = V_{GG} = 1V$



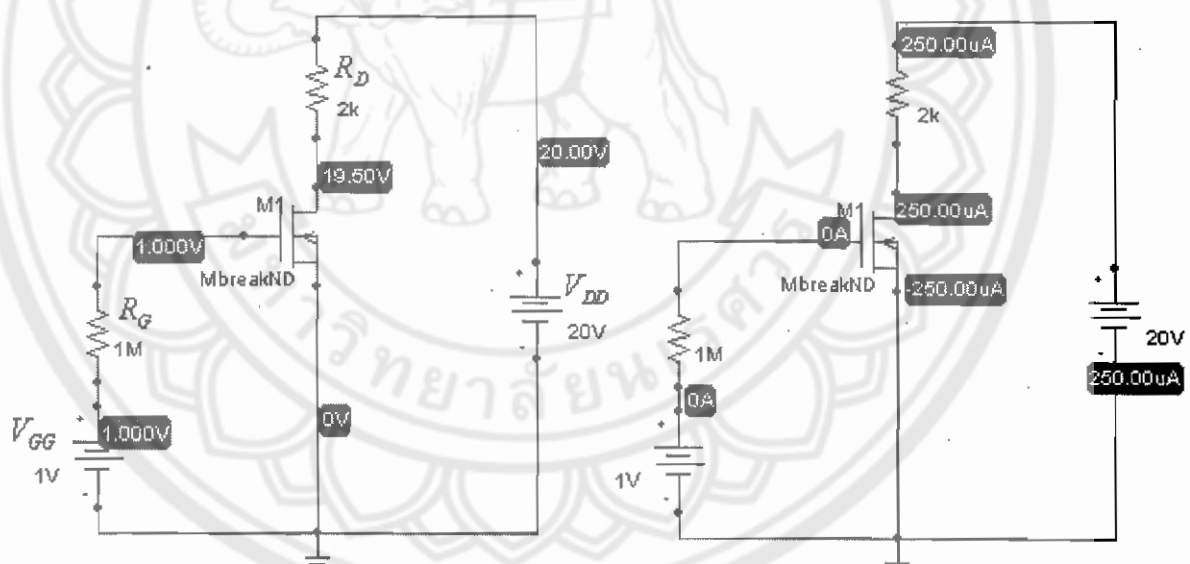
รูปที่ 4.30 กราฟคุณลักษณะและเส้นโหลดของวงจร D-MOSFET Fix-Bias

จากจุด Q-point จะได้ $I_{DQ} = 0.25mA$ และ $V_{GSQ} = 1V$

นำค่าความต้านทานที่กำหนดมาต่อในวงจรจริง จะได้วงจร D-MOSFET Fix-Bias ดังรูปที่ 4.31 สามารถ Simulate หาค่าแรงดันและค่ากระแสที่จุดต่างๆ ของวงจรได้ดังรูปที่ 4.32

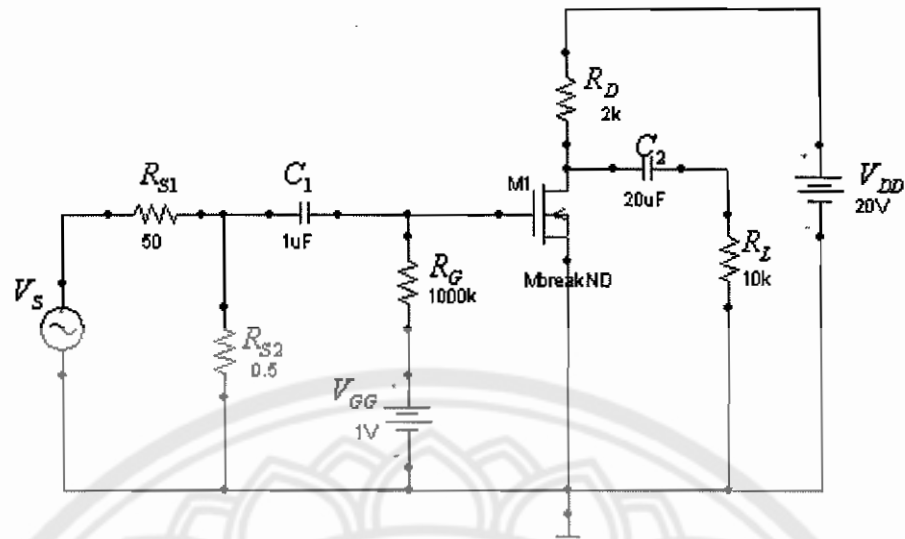


รูปที่ 4.31 แบบจำลองกระแสของวงจร D-MOSFET Fix-Bias

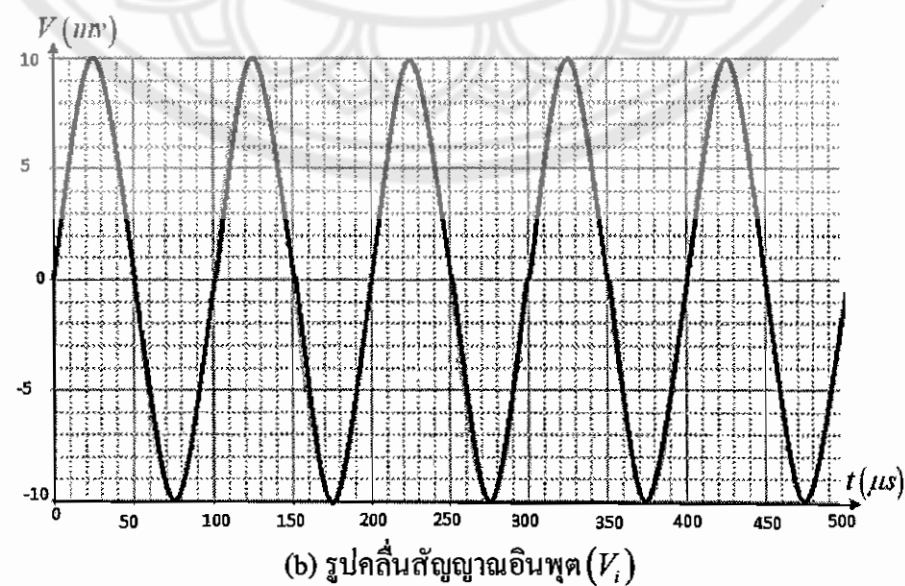
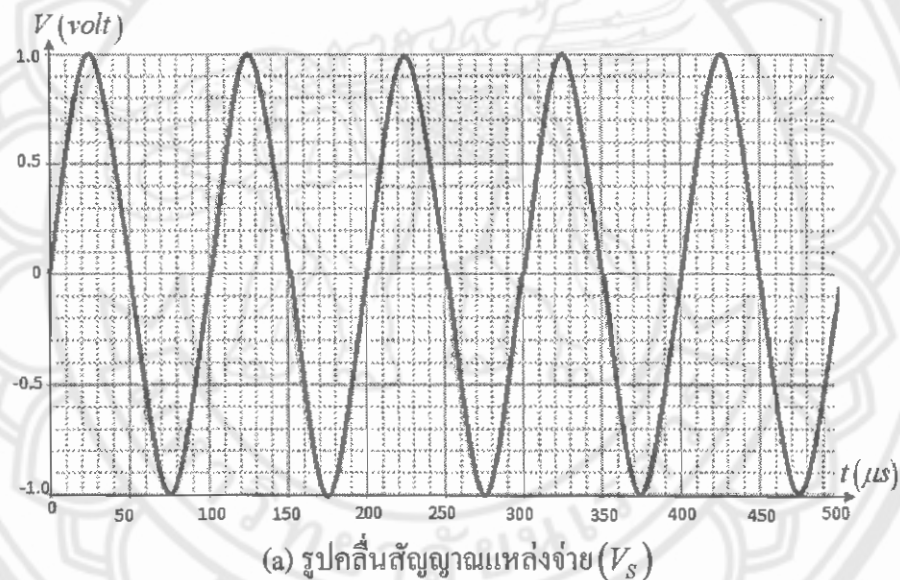


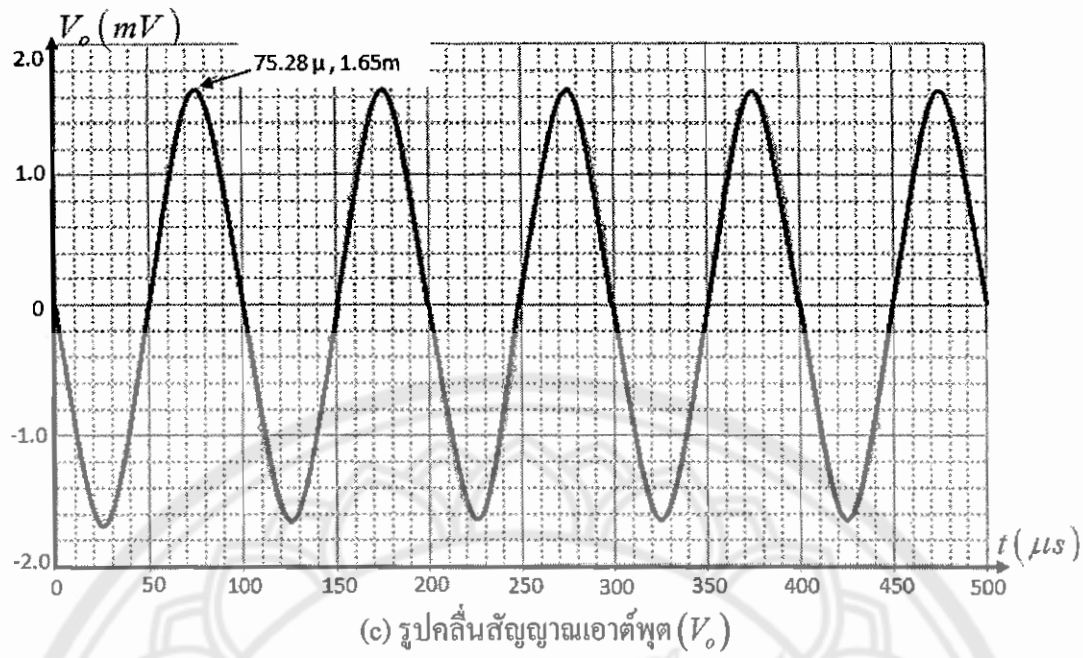
รูปที่ 4.32 แรงดันและกระแสที่จุดต่างๆ ของวงจร D-MOSFET Fix-Bias

เมื่อต่อแหล่งจ่ายกระแสสลับ (V_{sin}) เข้ากับวงจรในรูปที่ 4.31 จะได้แบบจำลองสัญญาณขนาดเล็ก ดังรูปที่ 4.33 และสามารถใช้โปรแกรม Probe หาสัญญาณแหล่งจ่าย (V_s), สัญญาณอินพุต (V_i) และสัญญาณเอาต์พุต (V_o) ของวงจรได้ดังรูปที่ 4.34



รูปที่ 4.33 แบบจำลองสัญญาณขนาดเล็กของวงจร D-MOSFET Fix-Bias





รูปที่ 4.34 รูปคลื่นสัญญาณที่ได้จากโปรแกรม PSpice

จากราฟจะได้ $V_i = 10mV$ และ $V_o = -1.65mV$

$$A_V = \frac{V_o}{V_i} = -\frac{1.65mV}{10mV} = -0.165$$

4.2.5 ผลการทดลองจากการคำนวณวงจร D-MOSFET Fix-Bias

จากสมการ $V_{DS} = V_{DD} - I_D R_D$

จะได้ $V_{DS} = 20 - (0.25m \times 2k) = 19.5V$

และ $V_G = V_{GS} = V_{GG} = 1V$

$$V_D = V_{DS} = 19.5V$$

$$V_S = 0V$$

$$I_G = 0A$$

$$I_D = I_S = 0.25mA$$

จากการทดสอบการใบอัศตรของวงจร D - MOSFET Fixed - Bias จะได้

$$I_{DSS} = 0.16mA, V_p = -4V, V_{GS} = 1V$$

$$g_{mo} = \frac{2I_{DSS}}{|V_p|}$$

$$= \frac{2 \times 0.16m}{|-4|} = 0.08mS$$

$$g_m = g_{mo} \left(1 - \frac{V_{GS}}{V_P} \right)$$

$$= 0.08m \left(1 - \frac{1}{-4} \right) = 0.1mS$$

จากสมการ

$$Z_i = R_G = 1M\Omega$$

$$A_V = -g_m (R_D \| R_L)$$

จะได้

$$A_V = -0.1m (2k \| 10k) = -0.17$$

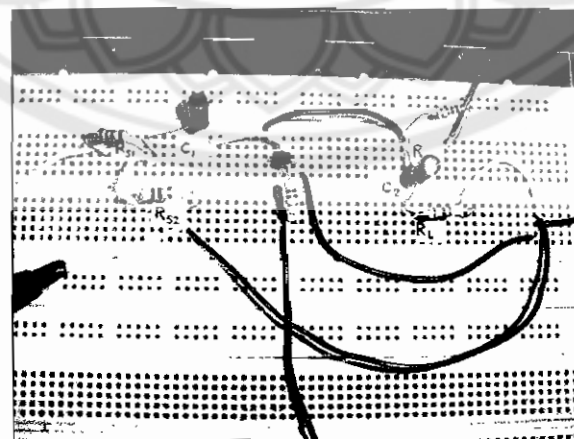
$$A_{V_s} = A_V \frac{Z_i}{Z_i + R_s}$$

$$= (-0.17) \frac{1M}{1M + 50.5}$$

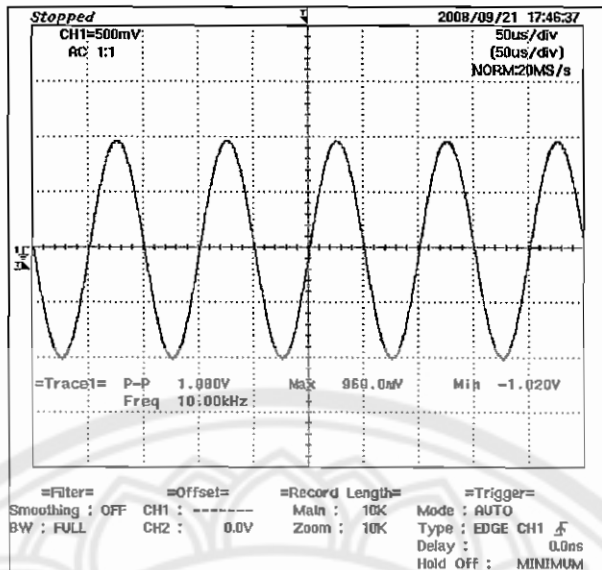
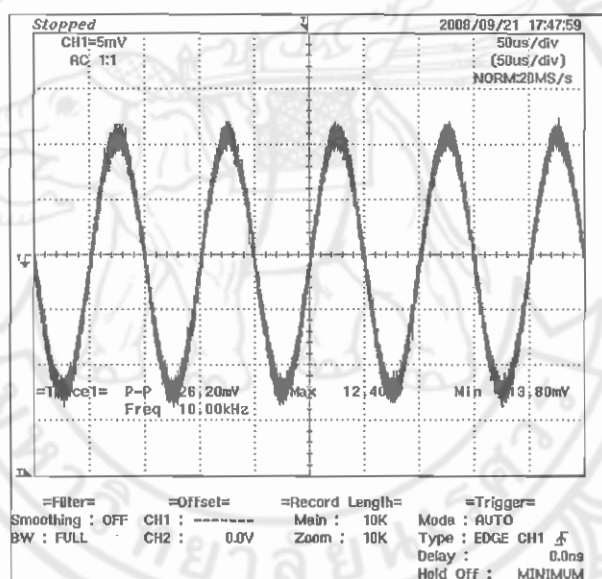
$$= -0.17$$

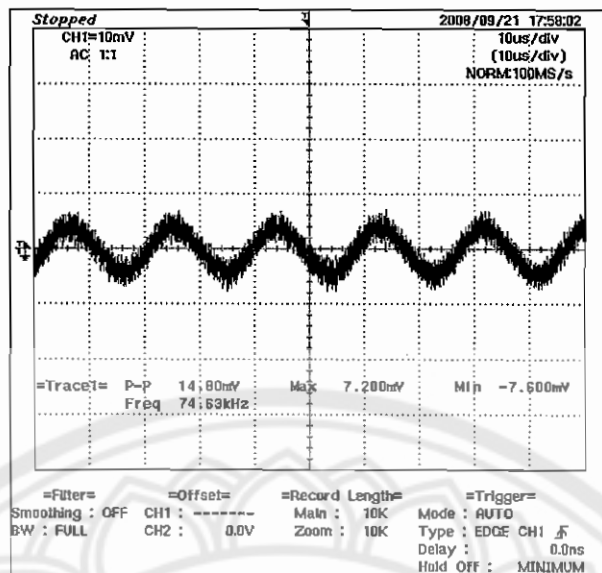
4.2.6 ผลการทดสอบจากการต่อวงจร D-MOSFET Fix-Bias

การต่อวงจร D-MOSFET Fix-Bias ลงบอร์ด BU-1 ในกรณีกระแสเข้ากระแสออกจะใช้คิจitolน้ำมันต้มเทอร์ในการวัดค่ากระแสและแรงดันที่บุคคลต่างๆ ทั่วโลกวิเคราะห์สัญญาณขนาดเล็กจะใช้ออสซิลโลสโคปในการวัดค่ากระแสและแรงดันสัญญาณ



รูปที่ 4.35 การต่อวงจร D-MOSFET Fix-Bias ลงบอร์ด BU-1

(a) រូបភាស់សម្បត្តិមនុសនា ដែលចាយ (V_s)(b) រូបភាស់សម្បត្តិមនុសនា ឯកសារ (V_i)

(c) รูปคลื่นสัญญาณเอาด์พุต (V_o)

รูปที่ 4.36 รูปคลื่นสัญญาณที่ได้จากการต่อวงจร

จากรูปคลื่นสัญญาณในรูปที่ 4.36 จะได้ว่า

$$A_v = \frac{V_o}{V_i} = -\frac{7.2mV}{12.4mV} = -0.58$$

ผลการทดลองจากการสร้างแบบจำลองทั้ง 3 วิธี สามารถสรุปได้ดังตารางที่ 4.4

| พารามิเตอร์ | ค่าจากการ Simulate | ค่าจากการคำนวณ | ค่าจากการต่อวงจร |
|-------------|--------------------|----------------|------------------|
| V_{DS} | 19.5 V | 19.5 V | 19.66 |
| V_{GS} | 1 V | 1 V | 1 V |
| V_G | 1 V | 1 V | 1 V |
| V_D | 19.5 V | 19.5 V | 19.65 |
| V_S | 0 V | 0 V | 0 V |
| I_G | 0 A | 0 A | 0 A |
| I_D | 0.25 mA | 0.25mA | 0.228 mA |
| I_S | 0.25 mA | 0.25 mA | 0.228 mA |
| A_v | -0.165 | -0.17 | -0.58 |

ตารางที่ 4.4 แสดงค่ากระแสและแรงดันของวงจร D-MOSFET Fix-Bias

4.2.7 ผลการทดลองจากการสร้างแบบจำลองวงจร E-MOSFET Voltage-Divider Bias โดยใช้โปรแกรม PSpice

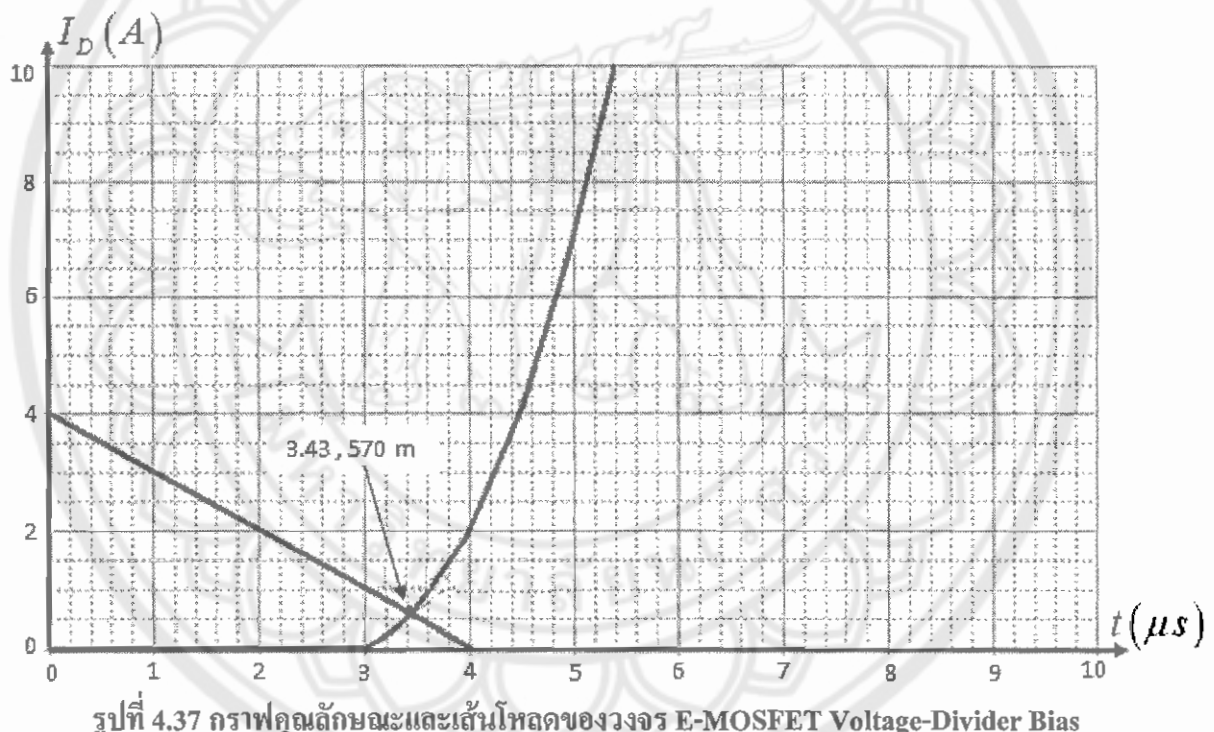
กำหนดให้ $R_1 = 80k\Omega$, $R_2 = 20k\Omega$, $R_D = 2\Omega$, $R_S = 1\Omega$

$$V_G = V_{DD} \frac{R_2}{R_1 + R_2} = 20 \frac{20k}{80k + 20k} = 4V$$

จะได้สมการเส้นโคลด์ คือ $V_{GS} = V_G - I_D R_S$

$$\text{ที่ } I_D = 0, V_{GS} = V_G = 4V$$

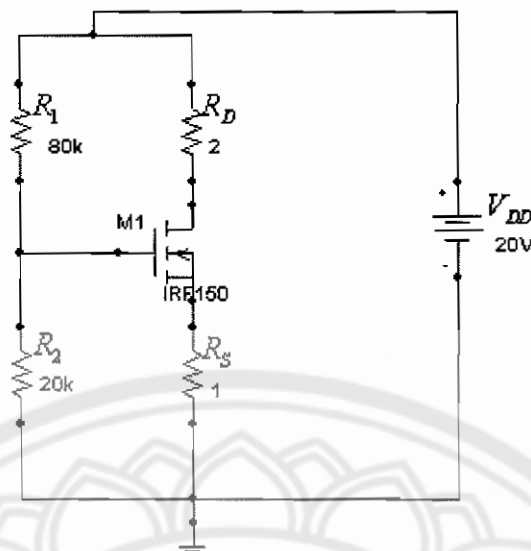
$$\text{ที่ } V_{GS} = 0, I_D = \frac{V_G}{R_S} = \frac{4V}{1} = 4A$$



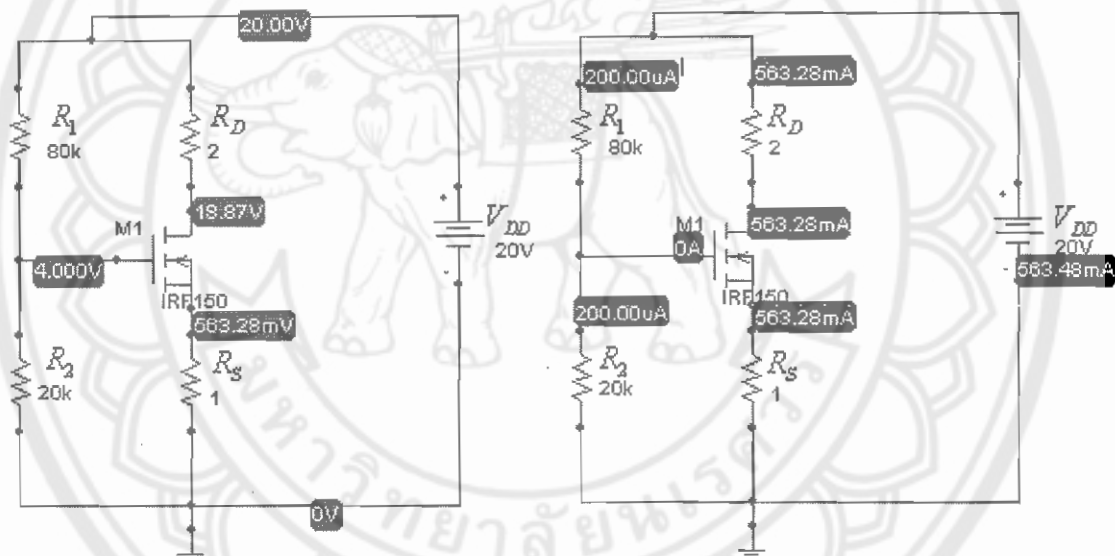
รูปที่ 4.37 กราฟคุณลักษณะและเส้นโคลด์ของวงจร E-MOSFET Voltage-Divider Bias

จากจุด Q-point จะได้ $I_{D_Q} = 570mA$ และ $V_{GS_Q} = 3.44V$

นำค่าความด้านท่านที่กำหนดมาต่อในวงจรจริง จะได้วงจร E-MOSFET Voltage-Divider Bias ดังรูปที่ 4.38 สามารถ Simulate หาค่าแรงตันและค่ากระแสที่จุดต่างๆ ของวงจร ได้ดังรูปที่ 4.39

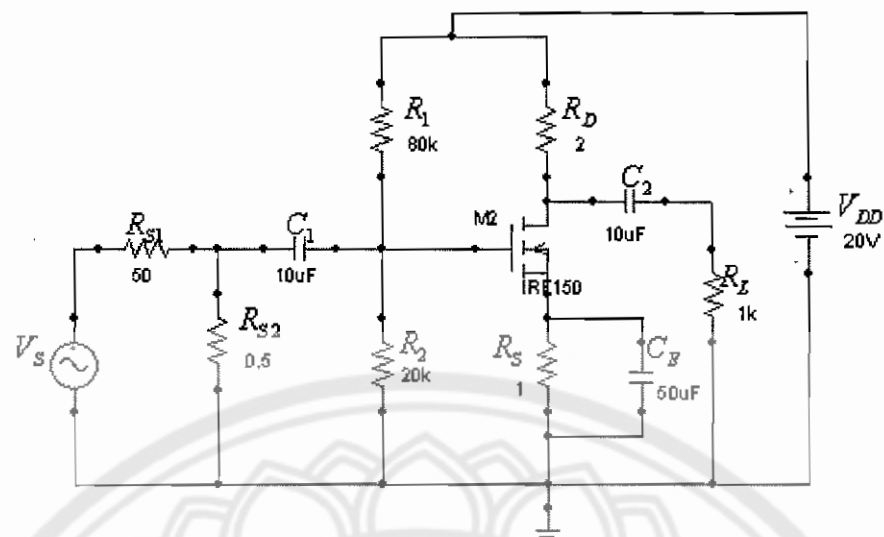


รูปที่ 4.38 แบบจำลองกระแสตรงของวงจร E-MOSFET Voltage-Divider Bias

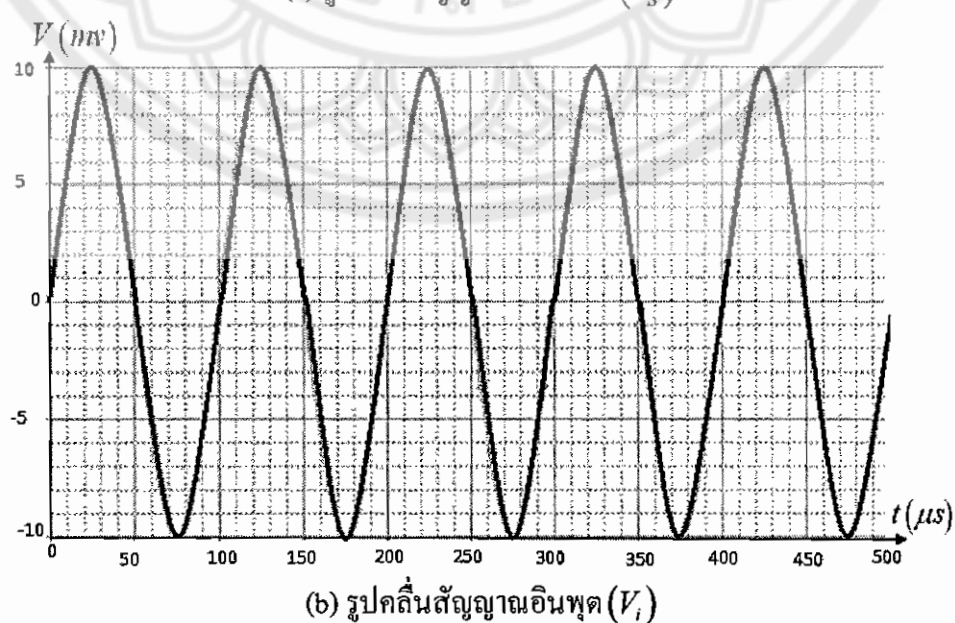
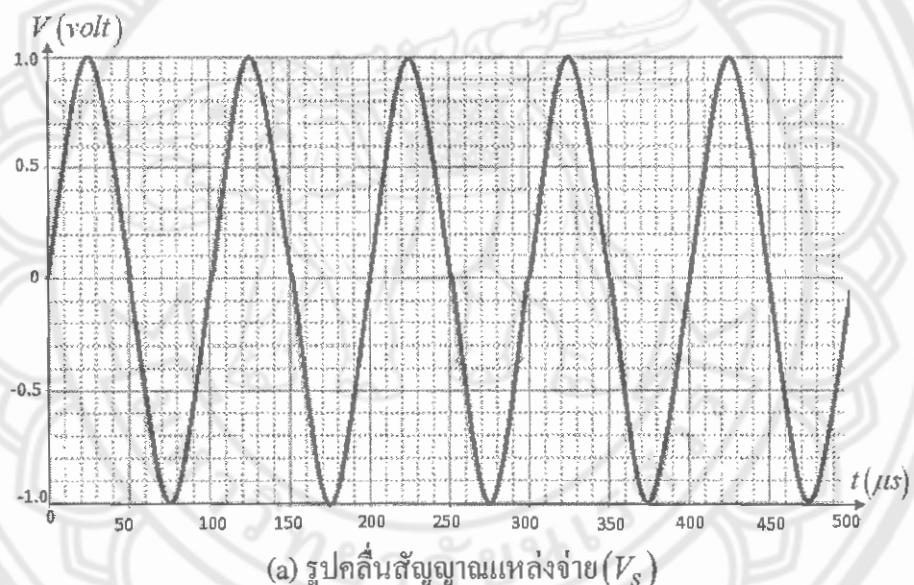


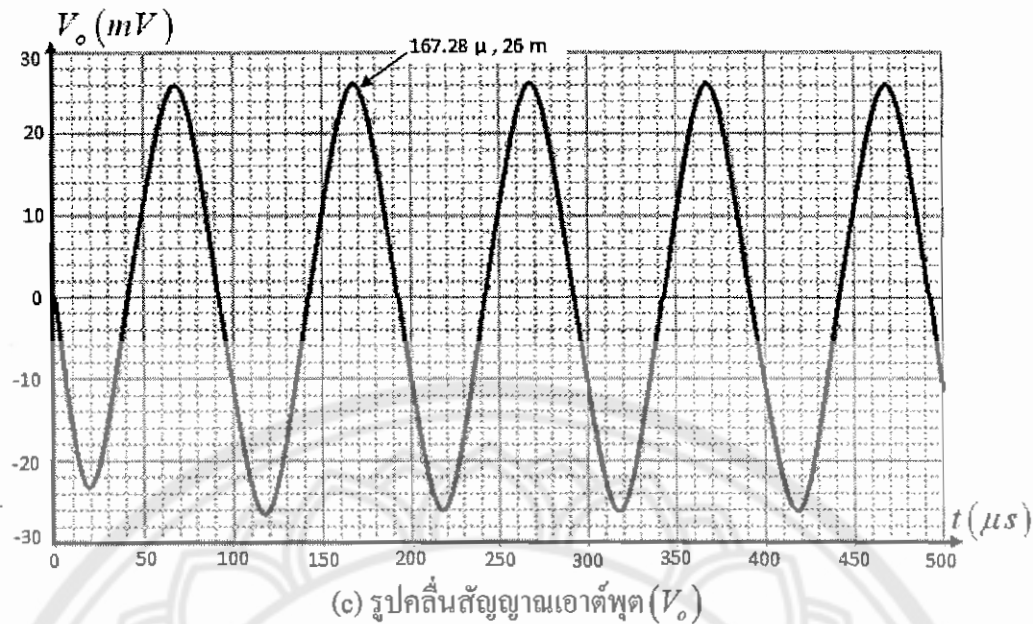
รูปที่ 4.39 แรงดันและกระแสที่จุดต่ำๆ ของวงจร E-MOSFET Voltage-Divider Bias

เมื่อต่อแหล่งจ่ายกระแสสัมบูรณ์ (V_{sin}) เข้ากับวงจรในรูปที่ 4.38 จะได้แบบจำลองสัญญาณขนาดเล็ก ดังรูปที่ 4.40 และสามารถใช้โปรแกรม Probe หาสัญญาณแหล่งจ่าย (V_s), สัญญาณอินพุต (V_i) และสัญญาณเอาต์พุต (V_o) ของวงจร ได้ดังรูปที่ 4.41



รูปที่ 4.40 แบบจำลองสัญญาณนาดเล็กของวงจร E-MOSFET Voltage-Divider Bias





รูปที่ 4.41 รูปคลื่นสัญญาณที่ได้จากโปรแกรม PSpice

จากราฟจะได้ $V_i = 10mV$ และ $V_o = -26mV$

$$A_V = \frac{V_o}{V_i} = -\frac{26mV}{10mV} = -2.6$$

4.2.8 ผลการทดลองจากการคำนวณวงจร E-MOSFET Voltage-Divider Bias

จากสมการ $V_{DS} = V_{DD} - I_D(R_D + R_S)$

จะได้ $V_{DS} = 20 - 0.57(2 \times 1) = 18.29V$

และ $V_S = I_D R_S = 0.57A \times 1\Omega = 0.57V$

$$V_D = V_{DS} + V_S = 18.29 + 0.57 = 18.86V$$

$$V_{GS} = V_G - V_S = 4 - 0.57 = 3.43V$$

จากกฎการแบ่งแรงดัน $V_G = V_{DD} \frac{R_2}{R_1 + R_2} = 20 \frac{20k}{80k + 20k} = 4V$

$$I_G = 0A$$

$$I_D = I_S = 0.57A$$

จากกฎการแบ่งกระแส $I_{R1} = I_{R2} = \frac{V_{DD}}{R_1 + R_2} = \frac{20}{80k + 20k} = 0.2mA$

จากการทดสอบการใบอัสดงของวงจร E-MOSFET Voltage-Divider Bias จะได้

$$I_{D(on)} = 40A, V_{GS(on)} = 8V \text{ และ } V_T = 3V, V_{GS_0} = 3.44V$$

จากสมการ

$$k = \frac{I_{D(on)}}{(V_{GS(on)} - V_T)^2}$$

จะได้

$$k = \frac{40A}{(8V - 3V)^2} = 1.6A/V^2$$

จากสมการ

$$g_m = 2k(V_{GS_0} - V_T)$$

จะได้

$$g_m = 2(1.6)(3.44 - 3) = 1.408S$$

$$Z_{th} = R_1 \| R_2 = 80k \| 20k = 16k\Omega$$

จากสมการ

$$A_V = -g_m(R_D \| R_L)$$

จะได้

$$A_V = 1.408(2 \| 1k) = -2.82$$

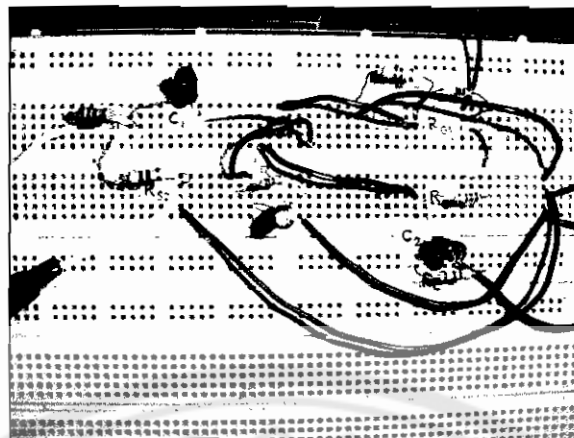
$$A_{V_s} = A_V \frac{Z_i}{Z_i + R_S}$$

$$= (-2.82) \frac{16k}{16k + 50.5}$$

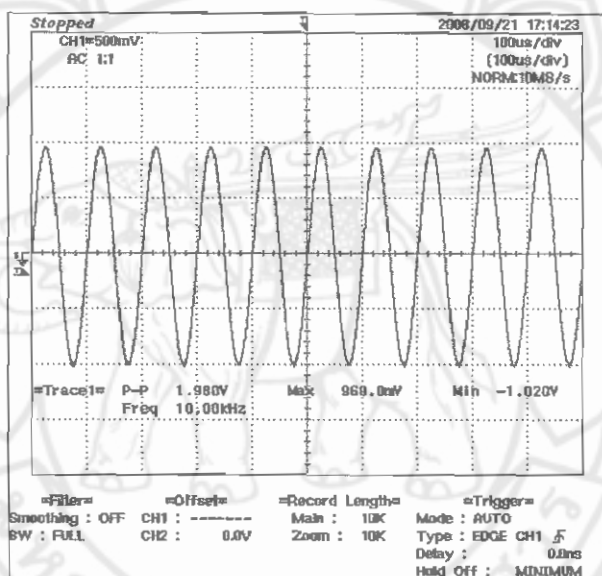
$$= -2.82$$

4.2.9 ผลการทดลองจากการต่อวงจร E-MOSFET Voltage-Divider Bias

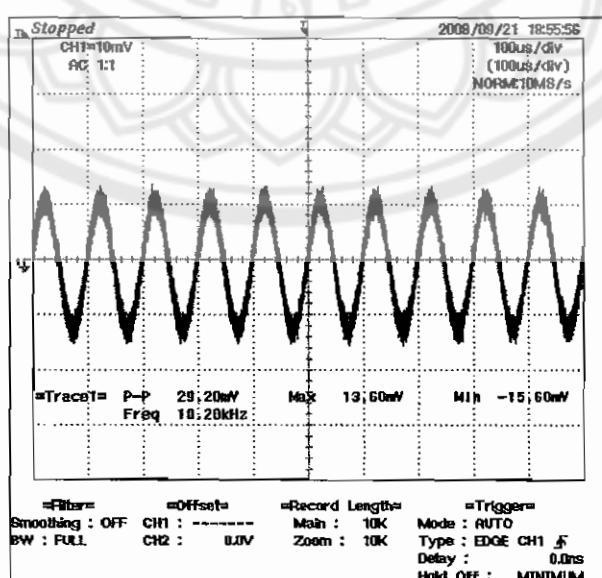
การต่อวงจร E-MOSFET Voltage-Divider Bias ลงบอร์ด BU-1 ในการวิเคราะห์เชิงกระแสตรง จะใช้คิจิตอลมัลติมิเตอร์ในการวัดค่ากระแสและแรงดันที่จุกต่างๆ ส่วนการวิเคราะห์สัญญาณภาคเด็ก จะใช้ออสซิลโลสโคปในการวัดค่าและแสดงรูปคลื่นสัญญาณ



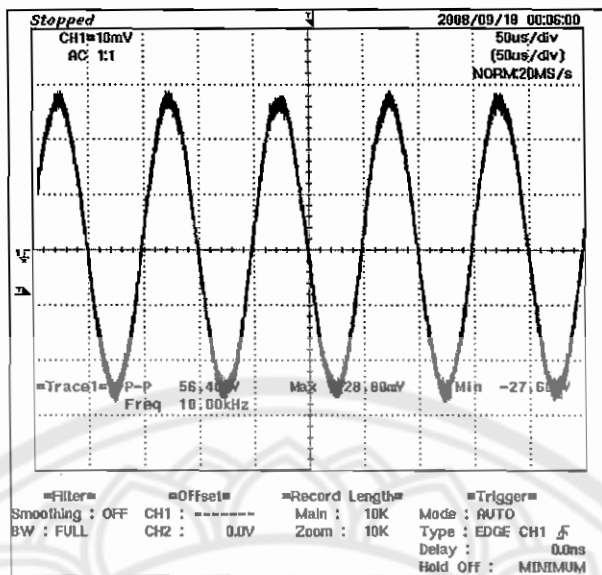
รูปที่ 4.42 การต่อวงจร E-MOSFET Voltage-Divider Bias ลงบอร์ด BU-1



(a) รูปคลื่นสัญญาณแหล่งจ่าย (V_S)



(b) รูปคลื่นสัญญาณอินพุต (I_d)

(c) รูปคลื่นสัญญาณเอาด์พุต (V_o)

รูปที่ 4.43 รูปคลื่นสัญญาณที่ได้จากการต่อวงจร

จากรูปคลื่นสัญญาณในรูปที่ 4.43 จะได้ว่า

$$A_V = \frac{V_o}{V_i} = -\frac{28.8mV}{13.6mV} = -2.12$$

ผลการทดลองจากการสร้างแบบจำลองทั้ง 3 วิธี สามารถสรุปได้ดังตารางที่ 4.5

| พารามิเตอร์ | ค่าจากการ Simulate | ค่าจากการคำนวณ | ค่าจากการต่อวงจร |
|-------------|--------------------|----------------|------------------|
| V_{DS} | 18.3 V | 18.29V | 19.98 V |
| V_{GS} | 3.44 V | 3.43 V | 3.9 V |
| V_G | 4 V | 4 V | 3.91 V |
| V_D | 18.87 V | 18.86 V | 20 V |
| V_S | 563.28 mV | 0.57 V | 0.1 V |
| I_G | 0 A | 0 A | 0 A |
| I_D | 563.28 mA | 0.57 A | 0.1 A |
| I_S | 563.28 mA | 0.57 A | 0.1 A |
| I_{R1} | 0.2 mA | 0.2 mA | 0.2 mA |
| I_{R2} | 0.2 mA | 0.2 mA | 0.2 mA |
| A_V | -2.6 | -2.82 | -2.12 |

ตารางที่ 4.5 แสดงค่ากระแสและแรงดันของวงจร E-MOSFET Voltage-Divider Bias

บทที่ 5

วิเคราะห์และสรุปผลการทดลอง

5.1 สรุปผลการทดลอง

จากการทดลองลักษณะทางไฟฟ้าของทรานซิสเตอร์พบว่าทรานซิสเตอร์แต่ละชนิดต่างมีคุณสมบัติเฉพาะตัวที่ต่างกัน ต่างมีข้อดีและข้อด้อยในตัวเอง ดังนี้เราจึงควรทำความเข้าใจถึงคุณสมบัติต่างๆ ของทรานซิสเตอร์แต่ละชนิด และสามารถนำข้อดีต่างๆ ออกมายาใช้ให้เหมาะสมกับงานของเรา

- เมื่อทดลองไปในระยะเวลาหนึ่ง ทรานซิสเตอร์จะเกิดความร้อนขึ้น แต่ผลการทดลองที่ได้จากเฟตจะมีความคลาดเคลื่อนน้อยกว่าผลที่ได้จากทรานซิสเตอร์แบบรอยต่อ สรุปได้ว่า อุณหภูมิมีผลต่อเฟตน้อยกว่าทรานซิสเตอร์แบบรอยต่อ และเฟตสามารถทำงานที่อุณหภูมิสูงได้ดี
- ทรานซิสเตอร์แบบรอยต่อจะมีอัตราขยายแรงดันที่สูงกว่า จึงเหมาะสมกับการใช้งานในภาคขยายสัญญาณอัตราขยายสูง ส่วนเฟตมีอัตราขยายแรงดันที่ต่ำกว่า จึงเหมาะสมกับการใช้งานในภาคขยายสัญญาณอัตราขยายต่ำและสามารถนำไปต่อขยายหลายภาคได้ดีกว่า
- เฟตมีอินพุตอิมพีเดนซ์ที่สูงกว่าทรานซิสเตอร์แบบรอยต่อ คือ เฟตมี $Z_i \approx 10M\Omega$ ส่วนทรานซิสเตอร์มี $Z_i \approx 2k\Omega$ เท่านั้น
- เนื่องจากสัญญาณเอาต์พุตกลับเฟตกับสัญญาณอินพุต นั้นคือ อัตราขยายที่ได้มีค่าเป็นลบ ดังนั้น ก่อนนำไปใช้งานเราจำเป็นต้องกลับขั้วเสียก่อน

5.2 ปัญหาและแนวทางแก้ไข

- อุปกรณ์ที่มีข่ายตามท้องตลาดไม่ตรงตามที่ต้องการ จึงต้องเปลี่ยนมาใช้อุปกรณ์ที่มีคุณลักษณะที่ใกล้เคียงกับอุปกรณ์ที่ใช้ทดลองในโปรแกรม
- ปัญหาจากการเกิดสัญญาณรบกวนในสโคลป ทำให้สัญญาณเอาต์พุตที่ออกมามีผิดเพี้ยน ค่าแรงดัน (V_{MAX}) ที่ปรากฏจึงมีความคลาดเคลื่อน
- สโคลปไม่สามารถวัดค่าแรงดันต่ำๆ ได้ถ้าแรงดันเอาต์พุตมีค่าต่ำมากๆ (ต่ำกว่า 10mV) รูปคลื่นสัญญาณที่ได้ก็จะมีสัญญาณรบกวนมาก

5.3 ข้อเสนอแนะ

1. ควรต่อวงจรการทดลองในโปรแกรม PSpice ก่อนลงมือปฏิบัติจริง เพื่อลดการเกิดความเสียหาย อันเนื่องมาจากการต่อวงจรผิด
2. ก่อนต่อวงจรควรศึกษาตำแหน่งของทรายชิสเตอร์ให้แม่นยำเสียก่อน เพราะถ้าต่อผิดวงจร อาจจะเกิดการเสียหายได้

5.4 แนวทางในการพัฒนาต่อไป

ความรู้ที่ได้จากการศึกษาและทดลองในโครงการนี้ สามารถนำไปประยุกต์ใช้ในการศึกษาและเป็นแนวทางในการออกแบบวงจรให้มีแรงดัน, กระแสและอัตราขยายตามที่ต้องการ โดยศึกษาจากวงจรสมมูลของอุปกรณ์นั้นๆ



เอกสารอ้างอิง

- [1] มงคล ทองสังเคราม. อิเล็กทรอนิกส์เบื้องต้น. ครั้งที่ 2. ห้างหุ้นส่วนจำกัด วี.เจ.พรินติ้ง
- [2] พันธ์ศักดิ์ พุดมานิตพงษ์. อุปกรณ์อิเล็กทรอนิกส์และวงจร 1. กรุงเทพมหานคร. โรงพิมพ์ศูนย์ - ส่งเสริมวิชาการ.
- [3] พศ.นภัทร วัฒนาพินทร์. การจำลองการทำงานของอิเล็กทรอนิกส์ด้วยโปรแกรม PSpice. ครั้งที่ 1. ปทุมธานี : สถาบันบูกส์, กุมภาพันธ์ 2548
- [4] ธนาวุฒิ เชื้อเจริญ. "Analog Electronic Circuits I." [Online]. Available : [Http://www.sci.nu.ac.th/e-learning/physics/Analog /index.php](http://www.sci.nu.ac.th/e-learning/physics/Analog/index.php). 2008.

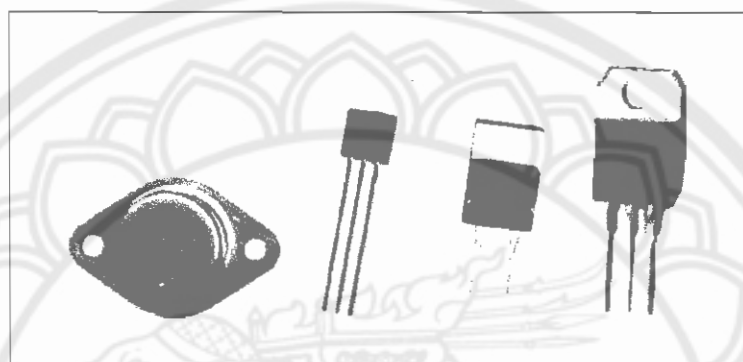




ภาคผนวก ก

การทดสอบทราบชิสเตอร์ด้วยไอหั่มมิเตอร์

รูปร่างหน้าตาของทราบชิสเตอร์แสดงดังรูป พวกรู้ทราบชิสเตอร์กำลังหรือทราบชิสเตอร์ที่ทน กำลังได้สูงๆ (สังเกตได้จากตัวถัง ที่เป็นโลหะ) พวgnีจะต้องมีการระบายความร้อนที่ดี เพราะพวกรู้ทราบชิสเตอร์ เป็นอุปกรณ์ที่ไวต่ออุณหภูมิที่ตัวมันสูงเกินที่กำหนด ทราบชิสเตอร์ประเภทนี้จึงจำเป็น จะต้องติดแผ่นระบายความร้อน (Heat sink) เสนอ เมื่อใช้งาน เช่น ทราบชิสเตอร์ในภาคสุดท้ายของเครื่องขยายเสียง จำเป็นจะต้องติดแผ่นระบายความร้อน



ทราบชิสเตอร์มีรูปร่างหน้าตาแตกต่างกัน แล้วเราจะรู้ได้อย่างไรว่าขาไหนเป็นขา B, C และ E โดยทั่วไปผู้ผลิตอาจจะไม่เขียนหรือพิมพ์ติดไว้บนตัวทราบชิสเตอร์ แต่อาจจะมีรหัสหรือสัญลักษณ์ให้เป็นที่สังเกต หรือไม่ก็เป็นปีกคู่ตำแหน่งจากได้จากคุณภาพของตัวมัน แต่ควรจะตรวจสอบอีกทีด้วยการวัดด้วยไอหั่มมิเตอร์

ในการประกอบโครงงานที่ใช้ทราบชิสเตอร์นั้น คุณควรจะตรวจสอบดูข้างๆ ทราบชิสเตอร์ให้ถูกต้องเดียวกัน จึงลงมือประกอบ และข้อควรระวังอีกประการหนึ่งคือ การบัดกรีความร้อนจากปลายหัวแร้ง อาจทำให้ทราบชิสเตอร์เสียได้ เพราะฉะนั้นจึงไม่ควรบัดกรีทราบชิสเตอร์ เช่นไวนานๆ จนทำให้มันร้อน

การทดสอบทราบชิสเตอร์ด้วยไอหั่มมิเตอร์

| | |
|---|---------------------------------|
| ความผิดพลาดที่เกิดจากทราบชิสเตอร์ที่พบเสมอคือ | การลัดวงจรและการเปิดวงจรระหว่าง |
| รอยต่อของสารกั่งตัวนำของทราบชิสเตอร์ | |

ถ้าให้ใบอัสกลับแก่มินิตเตอร์ได้โดยแต่ละคอลเลคเตอร์ได้โอดของทราบชิสเตอร์ ความต้านทานจะมีค่าสูง แต่ถ้าความต้านทานมีค่าต่ำให้สันนิษฐานว่ารอยต่อระหว่างขาของทราบชิสเตอร์เกิดลัดวงจร ในทำนองเดียวกันถ้าใบอัสตรงแล้ววัดค่าความต้านทานได้สูงก็ให้สันนิษฐานว่ารอยต่อระหว่างขาเกิดลัดวงจร

การทดสอบเพื่อหาตำแหน่งของทรานซิสเตอร์

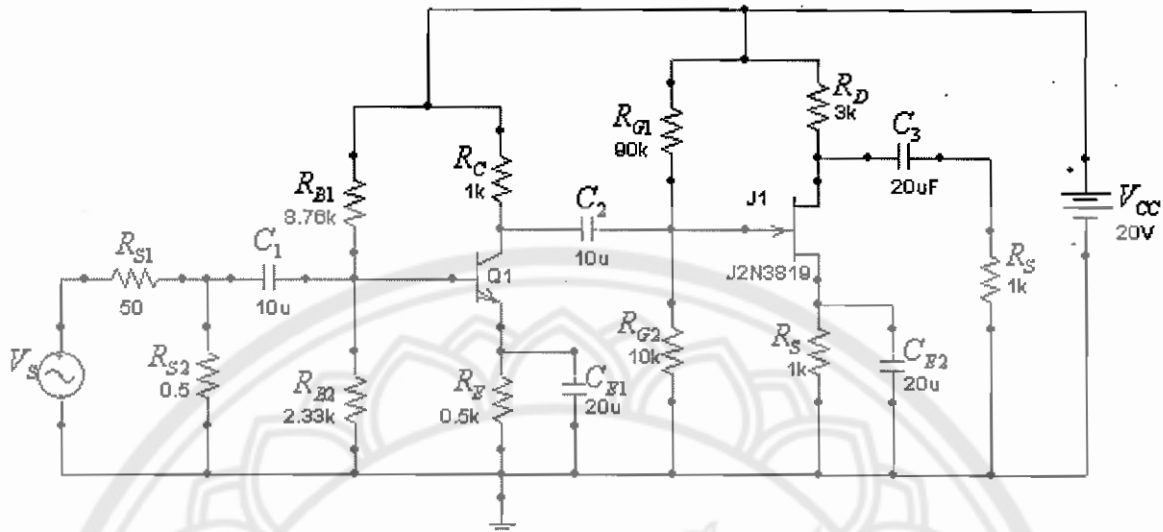
ในการพิสูจน์หาตำแหน่งของทรานซิสเตอร์ โดยการสังเกตุว่า ขาใดอยู่ใกล้กับข้อมือดีอิยเป็นขา E ขาที่อยู่ตรงข้ามเป็นขา C ส่วนตำแหน่งกลางคือขา B

การทดสอบหาชนิดของทรานซิสเตอร์ NPN และ PNP

1. เลือกขาตำแหน่งกลาง แล้วสมมุติให้เป็นขาเบส จากนั้นนำสายวัด (-) ของโอดิมิเตอร์นาและที่ขาเบสส่วนสายวัด (+) ให้นำมาแตะกับสองขาที่เหลือ
2. ถ้าความต้านทานที่อ่านได้จากการแตะขาทั้งสองมีค่าต่ำ สรุปได้ทันทีว่า ขาที่ตำแหน่งกลางเป็นขาเบส และทรานซิสเตอร์ที่ทำการวัดนี้เป็นชนิด PNP
3. สำหรับขาอimitเตอร์ คือ ขาที่อยู่ใกล้ตำแหน่งดีอิย และขาที่เหลือคือขาคอลเลกเตอร์นั่นเอง
4. ถ้าความต้านทานที่อ่านได้มีค่าสูงให้สลับสายวัด
5. ถ้าความต้านทานที่อ่านได้จากการแตะขาทั้งสองมีค่าต่ำ สรุปได้ทันที ขาตำแหน่งกลางคือขาเบส และเป็นทรานซิสเตอร์ชนิด NPN
6. ถ้าหากว่าความต้านทานต่ำไม่ปรากฏในทั้งสองกรณี ให้เปลี่ยนเดือกขาอื่นเป็นขาเบส แล้วทำตามขั้นตอนเดิม



วงจรขยายหลายภาค

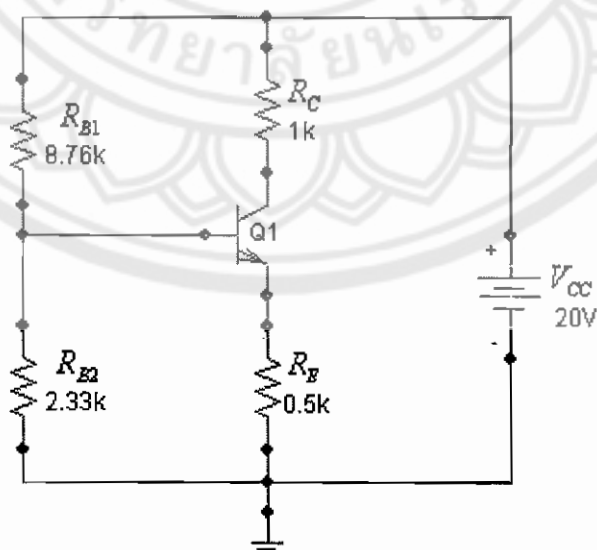


รูปที่ 1 วงจรขยายหลายภาค

จากรูป คือวงจรขยายหลายภาค ซึ่งได้จากการนำวงจรขยาย 2 วงจรมาต่อรวมกัน ในตัวอย่างนี้ จะใช้วงจร BJT Voltage – Divider มาต่อรวมกับวงจร JFET Voltage – Divider

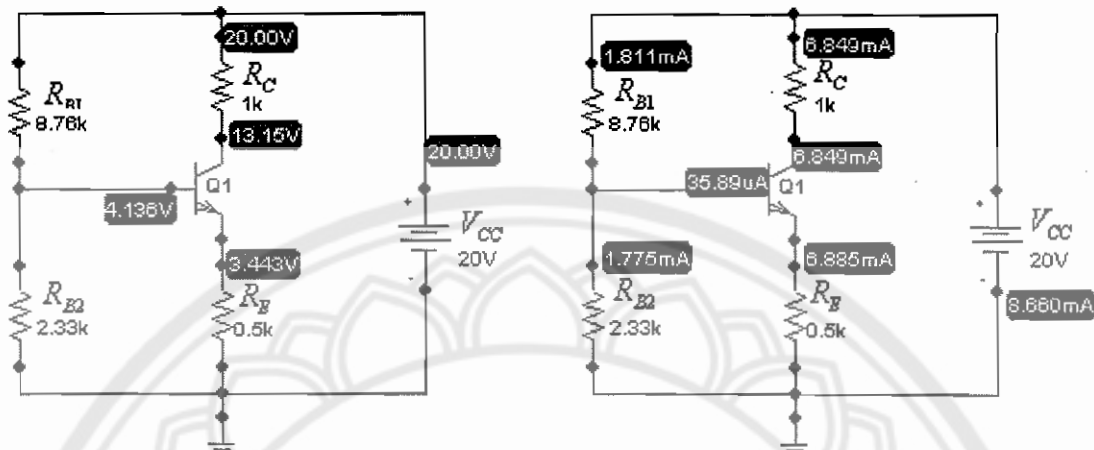
การวิเคราะห์วงจรขยายหลายภาค จะแยกพิจารณาทีละวงจร แล้วนำอัตรายขยายทั้งหมดมาดูรวมกันจะได้เป็นอัตรายขยายรวมของวงจร

1. วงจร BJT Voltage – Divider



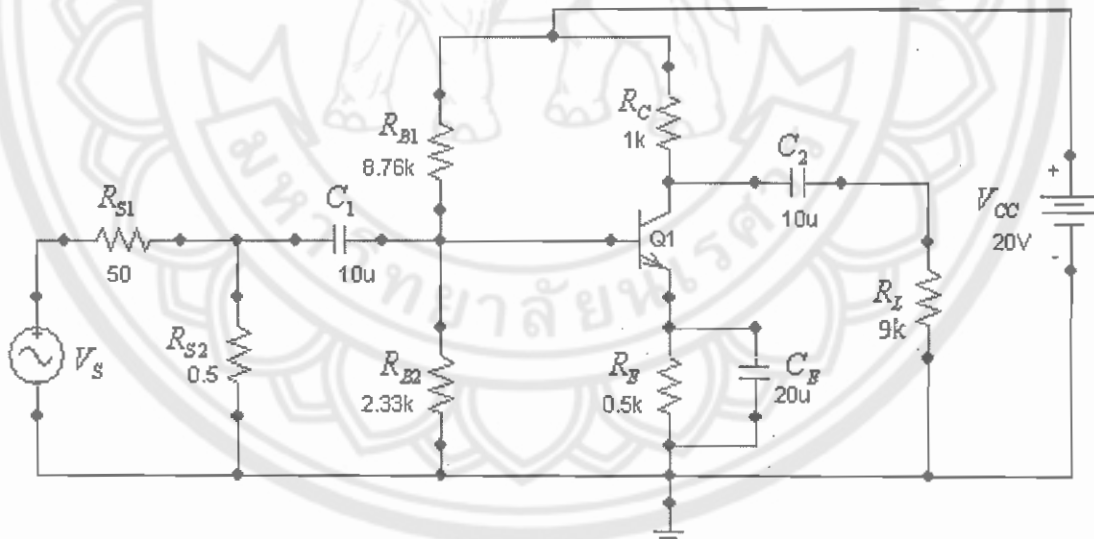
ค่าจาก การ Simulate

จากรูปข้างต้น เมื่อทำการ Simulate จะได้ค่าต่างๆ ดังนี้

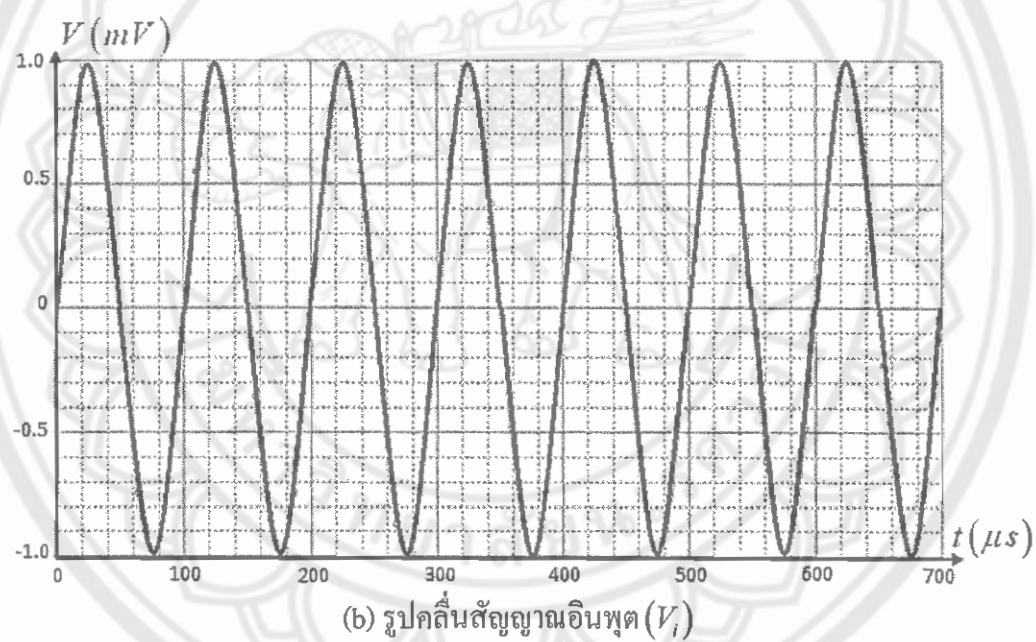
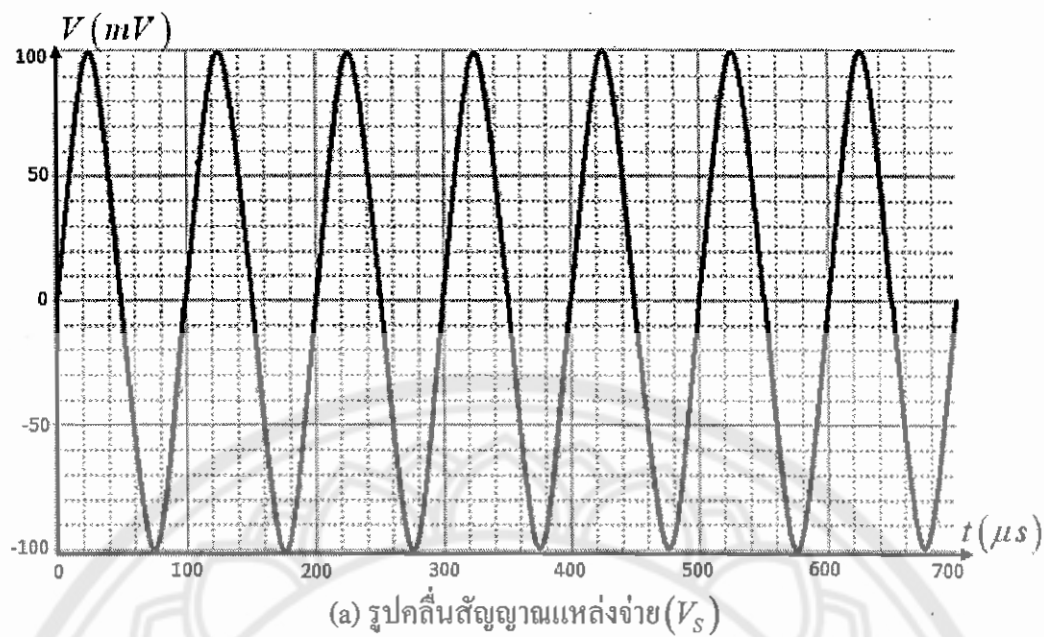


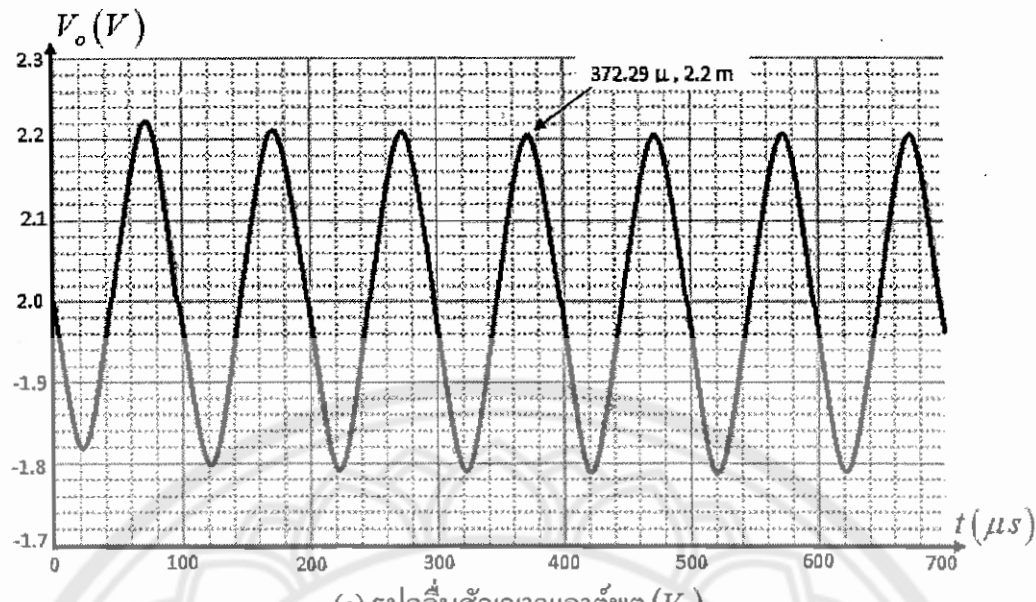
รูปที่ 2 ค่าแรงดันและกระแสที่จุดค่าคงที่ของวงจร BJT Voltage-Divider

ส่วนการวิเคราะห์สัญญาณขนาดเล็กนี้ ในวงจรนี้กำหนดให้แหล่งจ่ายกระแสสลับมีค่า $10mV$



รูปที่ 3 แบบจำลองสัญญาณขนาดเล็กของวงจร BJT Voltage-Divider





รูปที่ 4 รูปคลื่นสัญญาณที่ได้จากโปรแกรม PSpice

จากราฟจะได้ $V_i = 1mV$ และ $V_o = -0.2V$

$$A_V = \frac{V_o}{V_i} = -\frac{0.2V}{1mV} = -200$$

ค่าจากการคำนวณ

จากรูป ใช้หลักการเทวินิน จะได้

$$R_{th} = R_1 \parallel R_2 = 8.76k \parallel 2.33k = 1.84k\Omega$$

จากสมการ

$$E_{th} = V_{R2} = V_{CC} \frac{R_2}{R_1 + R_2}$$

จะได้

$$E_{th} = V_{R2} = 20 \frac{2.33k}{8.76k + 2.33k} = 4.2V$$

จากสมการ

$$I_B = \frac{E_{th} - V_{BE}}{R_{th} + (\beta + 1)R_E}$$

จะได้

$$I_B = \frac{4.2 - 0.7}{1.84k + (191 + 1)0.5k} = 35.77\mu A$$

จากสมการ

$$I_E = (\beta + 1)I_B = (191 + 1)35.77\mu A = 6.87mA$$

และ

$$I_C \equiv I_E = 6.87mA$$

จากสมการ

$$V_{CE} = V_{CC} - I_C(R_C + R_E)$$

$$V_{CE} = 20 - 6.87mA(1k + 0.5k) = 9.7V$$

และ

$$V_E = I_E R_E = 6.87mA \times 0.5k\Omega = 3.435V$$

$$V_B = V_{BE} + V_E = 0.7 + 3.435 = 4.135$$

$$V_C = V_{CE} + V_E = 9.7 + 3.435 = 13.135V$$

จากกฎการแบ่งแรงดันจะได้

$$V_{R1} = V_{CC} \frac{R_1}{R_1 + R_2} = 20 \frac{8.76k}{8.76k + 2.33k} = 15.8V$$

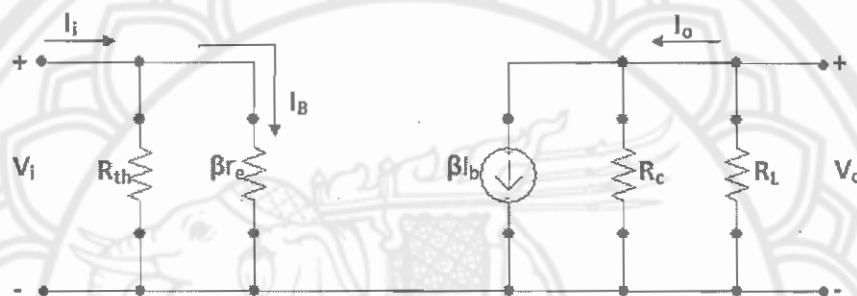
$$I_{R1} = \frac{V_{R1}}{R_1} = \frac{15.8}{8.76k} = 1.8mA$$

จากกฎการแบ่งแรงดันจะได้

$$V_{R2} = V_{CC} \frac{R_2}{R_1 + R_2} = 20 \frac{2.33k}{8.76k + 2.33k} = 4.2V$$

$$I_{R2} = \frac{V_{R2}}{R_2} = \frac{4.2}{2.33k} = 1.8mA$$

ส่วนการวิเคราะห์เชิงกระแสต้น จะใช้วงจรสมมูล ดังรูป



รูปที่ 5 วงจรสมมูลของ BJT Voltage-Divider

จากวงจรจะได้

$$\beta = \frac{I_C}{I_B} = \frac{6.85mA}{36\mu A} = 190$$

$$r_e = \frac{26mV}{I_E} = \frac{26mV}{6.85mV} = 3.8\Omega$$

$$\beta r_e = 190 \times 3.8 = 0.72k\Omega$$

$$R_{th} = R_{B1} \parallel R_{B2} = 8.76k \parallel 2.33k = 1.84k\Omega$$

$$Z_i = R_{th} \parallel \beta r_e = 1.84k \parallel 0.72k = 0.52k\Omega$$

$$R_s = 50\Omega + 0.5\Omega = 50.5\Omega$$

จาก

$$A_V = -\frac{R_C \parallel R_L}{r_e}$$

$$= -\frac{1k \parallel 9k}{3.8}$$

$$= -236.84$$

$$A_{V_s} = A_V \frac{Z_i}{Z_i + R_s}$$

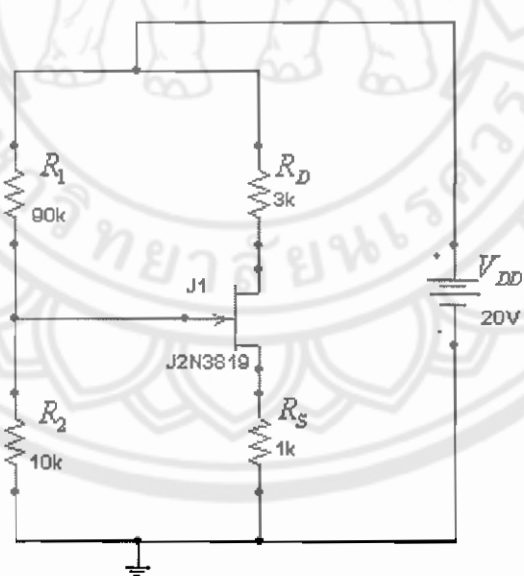
$$= (-236.84) \frac{0.52k}{0.52k + 50.5}$$

$$= -215.88$$

| พารามิเตอร์ | ค่าจาก การ Simulate | ค่าจาก การคำนวณ | ค่าจาก การต่อจริง |
|------------------|---------------------|-----------------|-------------------|
| I_C | 6.849 mA | 6.87 mA | 6.9 mA |
| I_B | 35.89 μ A | 35.77 μ A | 32.14 μ A |
| I_E | 6.885 mA | 6.87 mA | 7.08 mA |
| V_B | 4.136 V | 4.135 V | 4.18 V |
| V_C | 13.15 V | 13.135 V | 3.1 V |
| V_E | 3.443 V | 3.435 V | 3.54 V |
| V_{CE} | 9.707 V | 9.7 V | 9.58 V |
| V_{BE} | 0.693 V | 0.7 | 0.63 V |
| I_{R1}, I_{R2} | 1.8 mA | 1.8 mA | 1.8 mA |
| A_V | -200 | -215.88 | - |

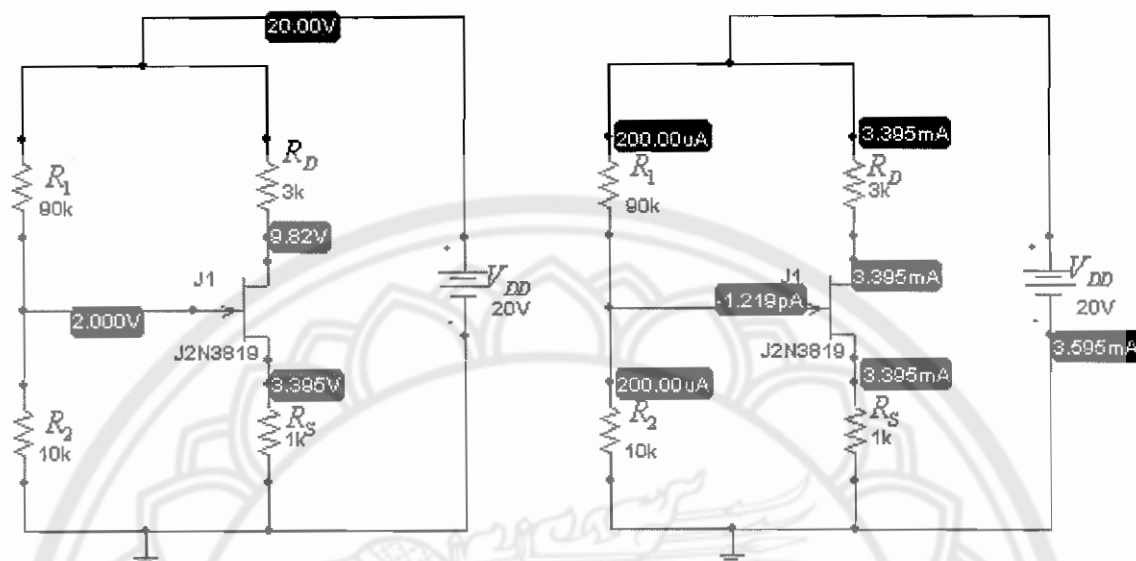
ตารางที่ 1 แสดงค่ากระแสและแรงดันของวงจร BJT Voltage-Divider

2. วงจร JFET Voltage – Divider



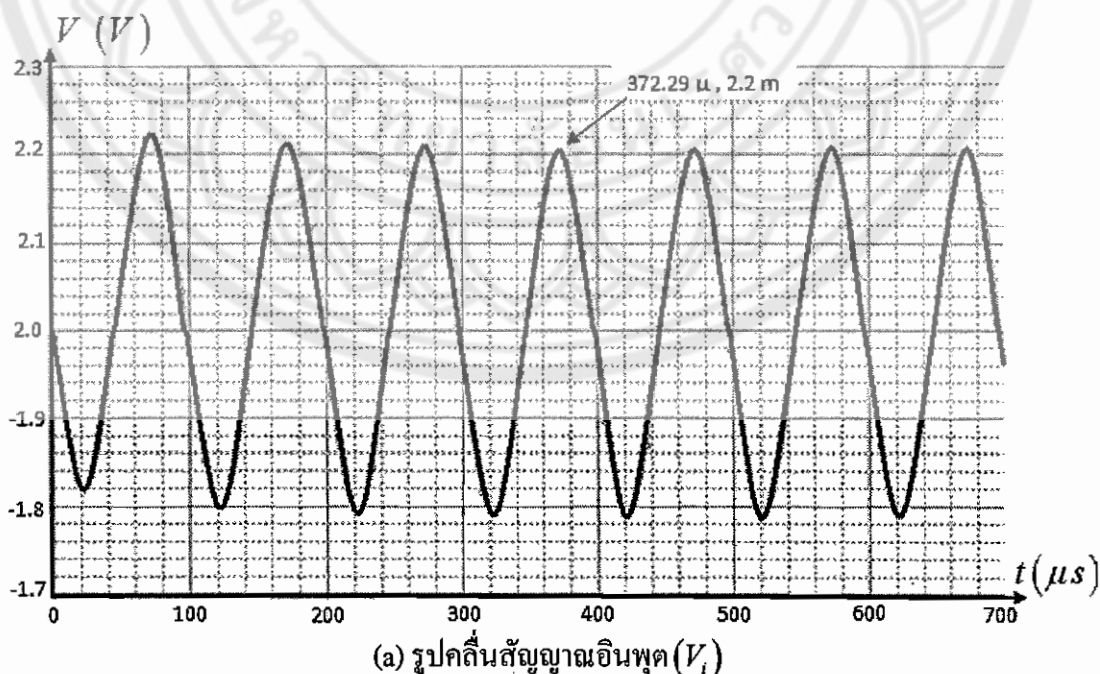
ค่าจาก การ Simulate

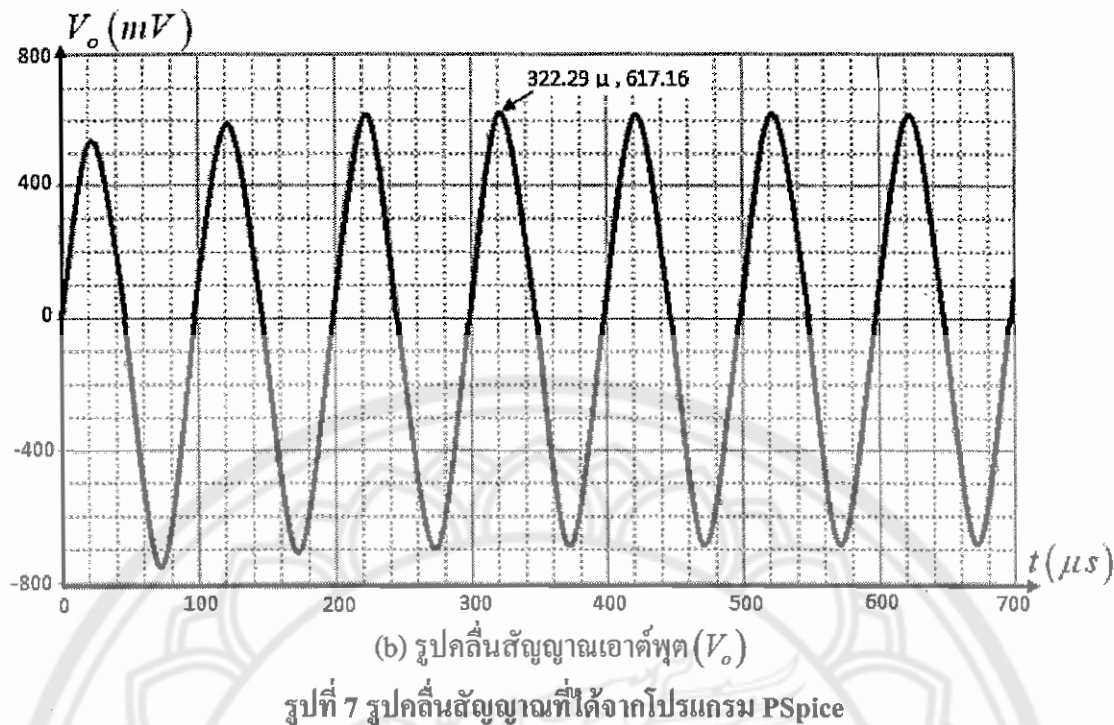
จากรูปข้างต้น เมื่อทำการ Simulate จะได้ค่าต่างๆ ดังนี้



รูปที่ 6 ค่าแรงดันและกระแสที่จุดต่างๆ ของวงจร JFET Voltage-Divider

ส่วนการวิเคราะห์สัญญาณนาคเล็กนี้ ในวงจนี้แหล่งจ่ายกระแสสัมบูรณ์ V_i คือสัญญาณ เอาค์พุตของวงจร BJT Voltage-Divider ซึ่งมีค่าเท่ากับ $0.2V$ จากวงจร JFET Voltage-Divider จะได้ กราฟ ดังรูป





จากกราฟจะได้ $V_i = -0.2V$ และ $V_o = 617.164mV$

$$A_V = \frac{V_o}{V_i} = -\frac{617.164mV}{0.2V} = -3.086$$

ค่าจากการคำนวณ

จากสมการ

$$V_{DS} = V_{DD} - I_D (R_D + R_S)$$

จะได้

$$V_{DS} = 20 - 3.4m(3k \times 1k) = 6.44V$$

และ

$$V_S = I_D R_S = 3.4mA \times 1k\Omega = 3.4V$$

$$V_D = V_{DS} + V_S = 6.44 + 3.4 = 9.84V$$

จากกฎการแบ่งแรงดัน

$$V_G = V_{DD} \frac{R_2}{R_1 + R_2} = 20 \frac{10k}{90k + 10k} = 2V$$

$$I_G = 0A$$

$$I_D = I_S = 3.4mA$$

จากกฎการแบ่งกระแส

$$I_{R1} = I_{R2} = \frac{V_{DD}}{R_1 + R_2} = \frac{20}{90k + 10k} = 0.2mA$$

จากการทดสอบการใบอัลตรองของวงจร JFET Voltage – Divider จะได้

$$I_{DSS} = 12.16mA, V_P = -3V, V_{GS} = -1.4V$$

$$g_{mo} = \frac{2I_{DSS}}{|V_P|}$$

$$= \frac{2 \times 12.16m}{|-3|} = 8.11mS$$

$$g_m = g_{mo} \left(1 - \frac{V_{GS}}{V_P} \right)$$

$$= 8.11m \left(1 - \frac{-1.4}{-3} \right) = 4.33mS$$

$$Z_i = R_{th} = 9k\Omega$$

จากสมการ $A_V = -g_m (R_D \parallel R_L)$

จะได้ $A_V = -4.33m (3k \parallel 1k) = -3.2$

$$A_{V_S} = A_V \frac{Z_i}{Z_i + R_S}$$

$$= (-3.2) \frac{9k}{9k + 50.5}$$

$$= -3.18$$

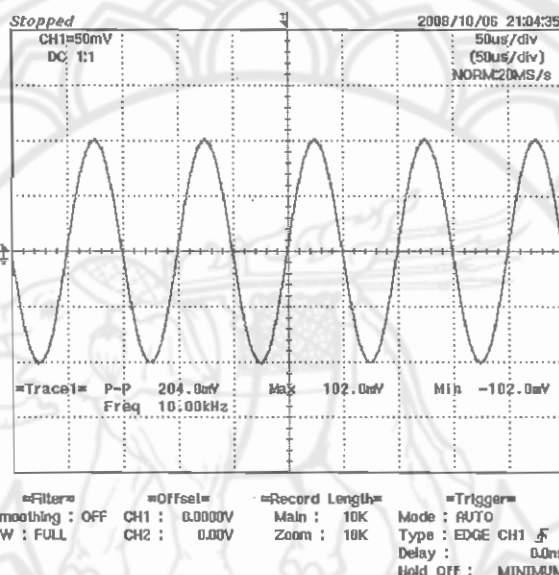
| พารามิเตอร์ | ค่าจากการ Simulate | ค่าจากการคำนวณ | ค่าจากการต่อวงจร |
|-------------|--------------------|----------------|------------------|
| V_{DS} | 6.425 V | 6.44V | 6.95 V |
| V_{GS} | -1.395 V | -1.42 V | -1.02 V |
| V_G | 2 V | 2 V | 1.98 V |
| V_D | 9.82 V | 9.84 V | 10.08 V |
| V_S | 3.395V | 3.4 V | 3.2 V |
| I_G | 1.22 pA | 0 A | 0 A |
| I_D | 3.395 mA | 3.4 mA | 3.25 mA |
| I_S | 3.395 mA | 3.4 mA | 3.25 mA |
| I_{R1} | 0.2 mA | 0.2 mA | 0.2 mA |
| I_{R2} | 0.2 mA | 0.2 mA | 0.2 mA |
| A_V | -3.086 | -3.18 | - |

ตารางที่ 2 แสดงค่ากระแสและแรงดันของวงจร JFET Voltage-Divider

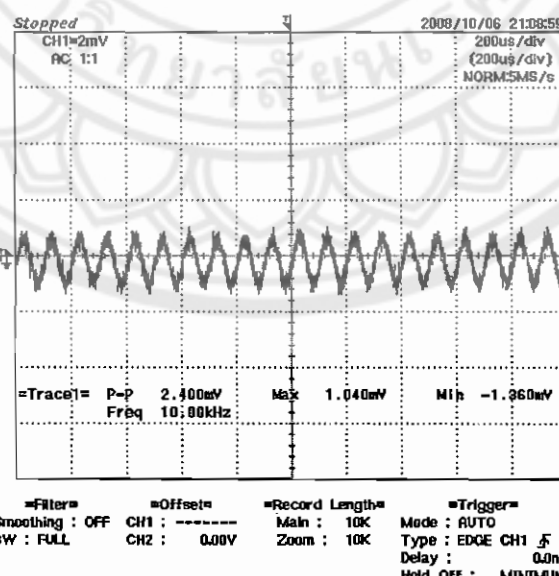
อัตราขยายของจรวจลายภาค คือ การนำอัตราขยายของแต่ละภาคมาบวกกัน ดังนี้ อัตราขยายรวมของวงจรนี้สามารถหาได้ดังนี้

- จากการ Simulate อัตราขยายรวมเท่ากับ $(-200) \times (-3.086) = 617.16$
- จากการคำนวณ อัตราขยายรวมเท่ากับ $(-215.88) \times (-3.18) = 686.5$
- หรือหาอัตราขยายรวมได้จาก อัตราส่วนระหว่าง V_o (ของภาคสุดท้าย) กับ V_i (ของภาคแรก)

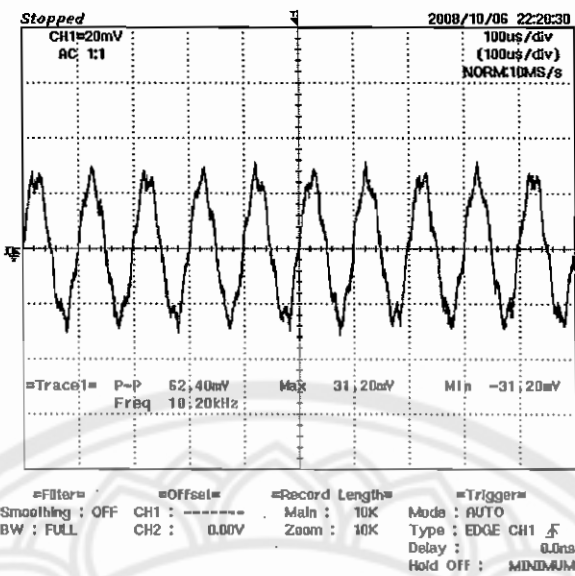
ส่วนอัตราขยายที่ได้จากการต่อวงจรริงนี้ หาได้จากการฟรูปคลื่นสัญญาณ ดังนี้



(a) รูปคลื่นสัญญาณแหล่งจ่าย ($V_s = 100mV$)



(b) รูปคลื่นสัญญาณอินพุต ($V_i = 1.04mV$)

(c) รูปคันสัญญาณเอาท์พุต ($V_o = 31.2mV$)

เนื่องจากมีการปรับคูณ 10 เท่าที่สายวัด ดังนั้นแรงดันที่ได้จริงต้องคูณด้วย 10 จะนั้นจะได้แรงดันเอาท์พุต (V_o) เท่ากับ $312mV$

$$\text{จากการต่อวงจร อัตราขยายรวมเท่ากับ } \frac{V_o}{V_i} = \frac{312}{1.04} = 300$$

หมายเหตุ เนื่องจากอัตราการขยายของวงจรนี้ค่าสูงมาก (มีค่าเท่ากับ 617.16 เท่าถึง 686.5 เท่า) ซึ่งในทางปฏิบัติจริงนั้นค่าอัตราขยายสูงเช่นนี้ไม่สามารถเป็นไปได้ ดังนั้นค่าอัตราขยายที่ได้จากการคือวงจรจริงจึงมีค่าน้อยกว่าค่าที่ได้จากการ Simulation และท่าที่ได้จากการคำนวณ